

**საქართველოს ტექნიკური უნივერსიტეტი
პიდრომეტეოროლოგიის ინსტიტუტი**

შ0340 # IHM-13-15-GTU-2432

გამტკიცებ

დირექტორი, აკად. დოქტორი

----- თ.ცინცაძე

25 დეკემბერი 2013 წ.

**აღმოსავლეთ საქართველოს ტრანსასაზღვრო მდინარეებით
დამაჭუქყიანებელ ინგრედიენტთა მიგრაციის გამოკვლევა**

(დასკვნითი ანგარიში)

ინსტიტუტის სამეცნიერო საბჭოს
თავმჯდომარე, ფ.-მ. დოქტორი

6.პეგალიშვილი

ბუნებრივი გარემოს დაჭუქყიანების
მონიტორინგის და პროგნოზირების
განყოფილების გამგე, ქ.მ.აკ.დ.

ლ.ინწკირველი

მთავარი მეცნიერ თანამშრომელი
ქ.მ.აკ.დ

6.ბუაჩიძე

თბილისი
2013 წ.

შემსრულებლები

- | | |
|--|--|
| 1. ლ.ინწკირველი
ქ.მ.აკად. დოქტორი. | საერთო ხელმძღვანელობა,
განყილების გამგე.
თავი: 1, 2, 3, 4, 5, დასკვნები. |
| 2. ნ.ბუაჩიძე.
უფ. მეც. თანამშრომელი.
აკად. დოქტორი | საერთო ხელმძღვანელობა,
თავები: 1,2,4,5,7,დასკვნები. |
| 3. ა.სურმავა.
მთავარი მეც. თანამშრომელი.
მეც. დოქტორი. | მოდელური გათვლების ჩატარება.
თავი: 6, დასკვნები. |
| 4. ლ.შავლიაშვილი.
უფ. მეც. თანამშრომელი.
აკად.დოქტორი | თავები: 2, 3, 4, დასკვნები. |
| 5. გ.ქუჭავა.
უფ. მეც. თანამშრომელი.
აკად.დოქტორი | ლაბორატორიული ანალიზების
მენეჯერი. |
| 6. მ.ხატიაშვილი.
წამყვანი ინჟინერი. | ნიმუშების აღება,
მათი პირველადი დამუშავება. |
| 7. ნ.ბეგლარაშვილი.
უფ. მეც. თანამშრომელი.
აკად. დოქტორი. | თავი: 2, 3, 4. |
| 8. მ.ტაბატაძე.
უფ. მეც. თანამშრომელი.
აკად. დოქტორი. | ლაბორატორიული ანალიზების
ჩატარება. |
| 9. ნ.დვალიშვილი.
უფ. მეც. თანამშრომელი.
აკად. დოქტორი. | თავი: 3, 4. |
| 10. ს.მდივანი.
მეც. თანამშრომელი. | თავი: 2, 3.. |
| 11. ა.გიორგიშვილი.
წამყვანი ინჟინერი. | ნიმუშების პირველადი დამუშავება,
ანგარიშის ტექნიკური გაფორმება. |

რეფერატი

ანგარიში: 153 გვერდი, 27 ცხრილი, 29 ნახაზი, 50 დასახელებული ლიტერატურული წყარო, დანართი 16 ცხრილი

ზედაპირული წყლები, გაჭუჭყიანება, რიცხვითი მოდელირება, ტრანსასაზღვრო გადატანა, ბიოგენური ნაერთები, მძიმე ლითონები, ფონური მდგომარეობა.

შესწავლით აღმოსავლეთ საქართველოს ტრანსასაზღვრო მდინარეების (მტკვარი, ალაზანი, იორი, ხრამი, კაზრეთულა, მაშავერა) თანამედროვე პიდროლოგიური და პიდროქიმიური მდგომარეობა. განსაზღვრულია მათი ძირითადი ფიზიკო-ქიმიური მაჩვენებლები, დამაბინძურებელ ნივთიერებათა სახეობა და კონცენტრაციები. რიცხვითი მოდელების გამოყენებით განსაზღვრულია დამაბინძურებელ ნივთიერებათა მიგრაცია და საქართველოს ტერიტორიიდან აზერბაიჯანში (მინგეჩაურის წყალსაცავში) ტრანსპორტირებულ ინგრედიენტთა წლიური რაოდენობა. განსაზღვრულია ის დრო, რომელიც საჭიროა იმისთვის, რომ დამაბინძურებელმა ნივთიერებამ განვლოს მდინარეზე განლაგებული პუნქტები, მიაღწიოს საქართველო-აზერბაიჯანის საზღვარს და მინგეჩაურის წყალსაცავს. განსაზღვრულია დამაბინძურებელი ნივთიერების ჩაღვრის შემდეგ ნივთიერების კონცენტრაციის მდინარის კალაპოტში განაწილების სურათი, კონცენტრაციის ცვლილება მდინარის ერთი უბნიდან მეორეში გადასვლისა და ჩადინებულ წყლებში მისი განზავების შედეგად. შეფასებულია მუდმივი დამაბინძურებელი წყაროს შემთხვევში კონცენტრაციის ფარდობითი ცვლილებები მდინარის 10 პირობით უბაში. მიღებული დაბინძურების ინდექსებისა და წყლის ხარისხის ინტეგრალური მაჩვენებლების საშუალებით, კლასიფიცირებულია მდ.მტკვარისა და მისი ზოგიერთი შენაკადის წყლის ხარისხი - „წყლის ჩარჩო დირექტივა“-ს მიხედვით, რომელიც შემოთავაზებულია ევროკომისიის მიერ.

შინაარსი

1. შესავალი	5
2. კვლევის მიმართულების არჩევა და დასაბუთება	6
3. აღმოსავლეთ საქართველოს მდინარეების პიდროლოგიური და პიდროქიმიური დახასიათება	9
3.1. მდ.მტკვარის აუზის ბუნებრივი პირობები. აუზის ზოგადი მიმოხილვა	10
3.2. მდ.მტკვარის პიდროლოგიური და პიდროქიმიური მდგომარეობის ზოგადი დახასიათება	19
3.3. მდ.ლიახვის პიდროლოგიური და პიდროქიმიური დახასიათება	23
3.4. მდ.ალაზნისა და მდ.იორის პიდროლოგიური და პიდროქიმიური დახასიათება	24
3.5. მდ.ხრამის, მდ. კაზრეთულას, მდ.მაშავერას პიდროლოგიური და პიდროქიმიური დახასიათება	26
4. კვლევის მეთოდიკა	29
5. მიღებული ანალიზის შედეგები	29
6. მდ.მტკვარის დაბინძურების რიცხვითი მოდელირება	43
6.1. ამოცანის დასმა	44
6.2. რიცხვითი ექსპერიმენტის შედეგები	48
6.2.1. მდინარის უბნის ლოკალური დაბინძურების გამოთვლა მუდმივი წყაროდან ჩაღვრილი პასიური დაბინძურებული ნივთიერებით	48
6.2.2. მდინარის დაბინძურების გამოკვლევა წყაროდან პასიური ნივთიერების მოკლე პერიოდის განმავლობაში	54
6.2.3. მდ.მტკვარის დაბინძურების გამოკვლევა ქ.თბილისის მიდამოებში ნავთობის ჩაღვრის შემთხვევაში	56
6.2.4. მდ.მტკვარში ამონიუმის იონის (NH_4^+) გაგრცელების რიცხვითი მოდელირება და დაბინძურების გამოკვლევა	58
7. ხარისხის ინტეგრალური მაჩვენებლების (ხარისხის ინდექსების) მეშვეობით მდ.მტკვარის და მისი ზოგიერთი შენაკადისთვის ხარისხის ინდექსის მინიჭება	61
8. დასკვნები	66
გამოყენებული ლიტერატურა	69
დანართი	72

1.შესავალი

მეზობელ ქვეყნებს შორის ურთიერთობას მრავალი ფაქტორი განაპირობებს, თანამედროვე ეტაპზე კი მათ ემატება ეკოლოგიური პრობლემები, კერძოდ, ერთ-ერთი ასეთი პრობლემათაგანია დამაბინძურებელ ნივთიერებათა ტრანსასაზღვრო გადატანა. ეს საკითხი ძალიან აქტუალურია საქართველოს აღმოსავლეთ მეზობელთან – აზერბაიჯანთან მიმართებაში. ეს უკანასკნელი მცირეწყლიანი სახელმწიფოა და მის ერთ-ერთ ძირითად წყლის არტერიას მდ.მტკვარი მიეკუთვნება, რომელიც აზერბაიჯანის სახელმწიფო საზღვრის გადაკვეთამდე მთელ აღმოსავლეთ საქართველოს გადასერავს, შეიერთებს უამრავ შენაკადს და ჩაედინება მინგეჩაურის წყალსაცავში. საქართველოს ტერიტორიის გავლისას მდ. მტკვარი განიცდის საქმაოდ ძლიერ ანთროპოგენულ დატვირთვას. მის ეკოლოგიურ მდგრმარეობას, ამავე დროს, ართულებს შენაკადებიც.

როგორც ტრანსასაზღვრო მდინარეები საინტერესოა ალაზანი, იორი და ხრამი, რომელთაგან მდინარეები ალაზანი და იორი ჩაედინებიან მინგეჩაურის წყალსაცავში, ხრამი კი მდ.მტკვრის შენაკადია. ამდენად, ძალიან მნიშვნელოვანია მათ მიერ ტრანსასორტირებული დამაჭუჭყიანებელი ინგრედიენტების ინგენტარიზაცია და ტრანსასაზღვრო გადატანის თვისობრივი და რაოდენობრივი შედგენილობის გამოკვლევა. ამ კვლევებში განსაკუთრებით აღსანიშნავია რიცხვითი მოდელირების მეთოდების გამოყენებით საკვლევ მდინარეებში აგარიულად ჩაღვრილი მავნე ნივთიერებების გადატანის და მათი გავრცელების არეალის გამოთვლა. ამ კვლევების შედეგად მიღებულია აღმოსავლეთ საქართველოს ტრანსასაზღვრო მდინარეებში არსებული ეკოლოგიური მდგრმარეობის აღმწერი ინფორმაცია, რომელიც უდაოდ სასარგებლო იქნება როგორც საქართველოს, ასევე აზერბაიჯანის ეკოლოგიური განვითარების პროცესებისათვის და გამოსაყენებელი ზოგიერთი სადაო საკითხის გადაჭრისთვის.

ასევე, მნიშვნელოვანია ის ფაქტიც, რომ ჩვენს მიერ მიღებული დაბინძურების ინდექსებისა და წყლის ხარისხის ინტეგრალური მაჩვენებლების საშუალებით, კლასიფიცირებულ იქნა მდ.მტკვარისა და მისი ზოგიერთი შენაკადის წყლის ხარისხი - „წყლის ჩარჩო დირექტივა“-ს მიხედვით, რომელიც შემოთავაზებულია ევროკომისიის მიერ.

2. კვლევის მიმართულების არჩევა და მისი დასაბუთება

ჩვენი ქვეყანა ყოველთვის დადგებითად უყურებდა და უყურებს ევროკავშირთან თანამშრომლობის გაღრმავებას, რასაც ადასტურებს საქართველოს ხელისუფლებასა და ევროკომისიას შორის შეთანხმება თანამშრომლობის შესახებ სხვადასხვა პრიორიტეტ-ულ სფეროებში, რომელთა შორის მოხვდა დონისძიებებიც, რომლებიც უნდა განხორციელდეს საკვანძო გარემოსდაცვით სფეროებში, წყლის მართვის ჩათვლით.

ევროკავშირის ყველაზე მნიშვნელოვანი საკანონმდებლო დოკუმენტი წყლის გარემოსთან მიმართებაში არის „წყლის ჩარჩო დირექტივა“, რომელიც ძირითად პრინციპებთან ერთად განსაზღვრავს უმთავრეს გეგმებსა და ამოცანებს წყლის რესურსების მართვის სფეროში ევროკავშირის მასშტაბით. ჩვენი სამუშაო ჯგუფი შეეცადა, პრობლემები, რომლებიც იღგა ჩვენს წინაშე კვლევითი სამუშაოების შესრულების დროს, გადაგჭრა იმ მიღგომებისა და სტანდარტების მიხედვით, რომელსაც გვთავაზობს „წყლის ჩარჩო დირექტივა“-ს სახელმძღვანელო დოკუმენტი და რომელიც შემოთავაზებულია ევროკომისიის მიერ [1].

„წყლის ჩარჩო დირექტივა“ მოიცავს წყლის ყველა კატეგორიას - მდინარეებს, ტბებს, მიწისქვეშა წყლებს, ასევე ტრანსასაზღვრო ან ტერიტორიულ წყლებს. დირექტივა ემუშავება შემდეგ პრინციპებს:

- წყლის ყველა კატეგორიის დაცვა;
- წყლის „კარგი სტატუსის“ მიღწევა (2013 წლისთვის)
- მოსაზღვრე ქვეყნებს შორის თანამშრომლობა, შესაბამისად, შემოთავაზებული პროგრამა ითვალისწინებს შემდეგ ეტაპობრივ სამუშაოებს:
- წყლის რესურსის წინასწარ დახასიათებას (გეოგრაფიულ, ჰიდროლოგიურ, დატვირთვის ხარისხის მაჩვენებლებზე დაყრდნობით);
- მონიტორინგის შედეგებზე დაყრდნობით წყლის რესურსის სტატუსის დადგენას (ქიმიური და ბიოლოგიური ელემენტების ხარისხის გათვალისწინებით), რათა მოხდეს მისი კლასიფიკაცია;
- და ბოლოს ყველა მდინარის აუზისათვის „მდინარის აუზის მართვის გეგმის“ შემუშავებას კონკრეტული პროგრამების გათვალისწინებით.

ამის შესასრულებლად წევრმა სახელმწიფომ მის ტერიტორიაზე მდებარეობითოვეული მდინარის აუზის უბნისათვის ან მდინარის აუზის საერთაშორისო უბნისთვის უნდა უზრუნველყოს: მისი მახასიათებლების ანალიზის, ზედაპირულ წყალზე ან გრუნტის წყალზე ადამიანის საქმიანობით გამოწვეული ზემოქმედების მიმოხილვისა და წყლის გამოყენების ეკონომიკური ანალიზის განხორციელება.

წევრმა სახელმწიფოებმა უნდა შეკრიბონ და შეინახონ ინფორმაცია მნიშვნელოვანი ანთროპოგენული ზეგავლენების ტიპისა და მასშტაბების შესახებ, რომლებიც შესაძლებელია განიცადონ ზედაპირულმა წყლებმა მდინარის აუზის თითოეულ რაიონში. მაგალითად, შესასწავლ მდინარის აუზში დაბინძურების მნიშვნელოვანი წერტილოვანი ან დიფუზური (გაფანტული) წყაროების შეფასება და იდენტიფიკაცია, კერძოდ, იმ ნივთიერებებით, რომლებიც რეკომენდირებულია როგორც ევროკომისიის მიერ, ასევე თუ საჭიროება მოითხოვს, დამატებით შემოთავაზებულ ადგილობრივი კქ-პერტების მიერაც.

ზედაპირული წყლის ეკოლოგიური მდგომარეობის კლასიფიკაციის ხარისხის მინიჭებისათვის გასათვალისწინებელია და ჩასატარებელია შემდეგი ნორმატივები:

დაკვირვებითი მონიტორინგის სტრუქტურა (მიზანი, მონიტორინგის უბნების ადგილმდებარეობის შერჩევა, ხარისხის ელემენტების შერჩევა)

დაკვირვებითი მონიტორინგი უნდა განხორციელდეს საკმარისად დიდ ზედაპირული წყლების ობიექტებზე, რათა მოხდეს ზედაპირული წყლის ხარისხის სრულყოფილი შეფასება მდინარის აუზის რაიონის ფარგლებში არსებული თითოეული წყალსაკრებისა თუ ქვეწალსაკრებებისათვის.

დაკვირვების წერტილების არჩევისას, წევრი ქვეყნები უზრუნველყოფენ მონიტორინგს, შესაბამისად იმ ადგილებში, სადაც:

- წყლის დინებას გააჩნია საკმარისი სიჩქარე მდინარის აუზის რაიონში მთლიანად. მათ შორის დიდ მდინარეებზე იმ ადგილებში, სადაც წყალსაკრების ფართობი აღემატება 2500m^2 ;
 - არსებული წყლის მოცულობა, ტბებისა და წყალსაცავების ჩათვლით, მნიშვნელოვანია მდინარის აუზის რაიონის ფარგლებში;
 - წევრი ქვეყნის საზღვარს გადაკვეთენ წყლის მნიშვნელოვანი ობიექტები.
- ზედაპირული წყლის ობიექტებზე ზემოქმედების მასშტაბის შეფასების მიზნით, წევრი ქვეყნები უნდა ახორციელებდნენ მონიტორინგს ხარისხის რამდენიმე ძირითად ელემენტზე, რომლებიც დამახასიათებელია იმ ზემოქმედებებისთვის, რომლებსაც განიცდის მოცემული წყლის ობიექტი ან ობიექტები. ამგვარ ზეგავლენათა შეფასების მიზნით, წევრი ქვეყნები ახორციელებენ შესაბამის მონიტორინგს. კერძოდ, ფასდება:
- პარამეტრები, რომლებიც წარმოადგენენ ხარისხის ბიოლოგიური ან ქიმიური ელემენტების, ან იმ ელემენტების ინდიკატორებს, რომლებიც ყველაზე მეტად რეაგირებენ წყლის ობიექტებზე განხორციელებულ ზემოქმედებებზე;
 - პრიორიტეტულ სიაში შეტანილია ყველა დამაბინძურებელი ნივთიერება, რომელიც გადაიყრება და, ასევე, დიდი რაოდენობით გადაყრილი სხვა დამაბინძურებელი ნივთიერებები;
 - პარამეტრები, რომლებიც წარმოადგენენ იმ ხარისხის ჰიდრომორფოლოგიური ელემენტების ინდიკატორებს, რომლებიც ყველაზე მეტად განიცდიან მოცემულ ზემოქმედებას.

მონიტორინგის სიხშირე დაკვირვებითი მონიტორინგის ჩატარებისას, დაცული უნდა იქნეს ხარისხის ფიზიკურ-ქიმიური და ბიოლოგიური ელემენტებისათვის დამახასიათებული პარამეტრების მონიტორინგის სიხშირე ცხრ.1-ის შესაბამისად.

ცხრილი 1. ზედაპირული წყლების ზოგიერთი ინდიკატორის მონიტორინგის სიხშირე

ხარისხის მაჩვენებელი	მდინარეები	ტბები	გარდამავალი წყლები	სანაპირო წყლები
ბიოლოგიური				
ფიტოპლანქტონი	6	6	6	6
წყლის სხვა ფლორა	3	3	3	3
მაქრო- უხერხემლოები	3	3	3	3
ოვეზები	3	3	3	3
ფიზიკო-ქიმიური				
ტემპერატურა	3	3	3	3
ჟანგბადით გაჯერება	3	3	3	3
მარილიანობა	3	3	3	3
საკვები ნივთიერებების შემადგენლობა	3	3	3	3
დაუანგვა	3	3	3	3
სხვა დამაბინძურებელი ნივთიერებები	3	3	3	3
პრიორიტეტული ნივთიერებები	1	1	1	1

წყლის ხარისხის მონიტორინგის ელემენტების სტანდარტები

დაკვირვებითი მონიტორინგი უნდა ჩატარდეს მონიტორინგის თითოეულ პუნქტზე მინიმუმ ერთი წლის განმავლობაში, მდინარის აუზის მართვის გეგმით გათვალისწინებულ პერიოდში, ქვემოთამოთვლილი პარამეტრების გათვალისწინებით:

ბიოლოგიური მაჩვენებლები

- ◎ წყლის ფლორის შემადგენლობა და სიმრავლე;
- ◎ უხერხემლოთა ფაუნის შემადგენლობა და სიმრავლე;
- ◎ თევზის ფაუნის სიმრავლე და ასაკობრივი სტრუქტურა.

ქიმიური და ფიზიკური მაჩვენებლები

- ◎ pH;
- ◎ გამჭირვალობა;
- ◎ ტემპერატურა;
- ◎ წყალში გახსნილი ჟანგბადი;
- ◎ მარილიანობის ხარისხი;
- ◎ ჟანგვის უნარი;
- ◎ მკვებავ ნივთიერებათა კონცენტრაცია;
- ◎ საეციფიური დამაბინძურებელი ნივთიერებები;

ევროკავშირის ქვეყნების წყლის ჩარჩო დირექტივების (2000/60/EC) რეკომენდაციის მიხედვით, მდინარისა და მისი შენაკადების კლასიფიკაციის მინიჭების თვალსაზრისით, შერჩეული ხარისხის ელემენტების, (ინდიკატორების) საშუალებით, თვითოვეული მათგანის მიმართ გამოანგარიშებულ უნდა იყოს ე.წ. წყლის დაბინძურების ინდექსი (S) არანაკლებ 6 ან 7 პიდროქიმიური ან ბიოლოგიური ინდიკატორის გამოყენებით [2]. დაბინძურების ინდექსი გამოითვლება შემდეგი განტოლებით:

$$S = \sum_{i=1}^n \frac{x_i}{N}$$

S - წყლის დაბიმბურების ინდექსი

N - ინდექსების გამოთვლისას გამოყენებული ინდიკატორების რაოდენობა.

ზღვ. - ზღვრულად დასაშვები კონცენტრაციები (შესაბამისი წყლის რესურსის კატეგორიისათვის).

მიღებული შედეგების მიხედვით შეიძლება მივიღოთ სხვადასხვა ხარისხის კლასის (კლასიფიკაციის) მქონე ამა თუ იმ კატეგორიის წყლის რესურსი (ცხრ.2).

ცხრილი 2. წყლის ხარისხის კლასიფიკაციის შეფასება დაბინძურების ინდექსის გამოყენება

ზედაპირული წყალი	დაბინძურების ინდექსი	წყლის ხარისხის კლასი
სუფთა	0.2 - 1,0	1
მცირედ დაბინძურებული	1.0 - 2.0	2
დაბინძურებული	2.0 - 4.0	3
ბინძური	4.0 - 6.0	4
ძლიერ დაბინძურებული	>6.0	5

ევროკავშირის ქვეყნების წყლის ჩარჩო დირექტივების (2000/60/EC) რეგომენდაციით [1,2] ზედაპირული წყლების კლასიფიკაციის მინიჭების პირობებში, ეკოლოგიური ხარისხის კოეფიციენტების სკალა უნდა დაიყოს ხუთ კლასად, დაწყებული კარგი ეკოლოგიური მდგომარეობით და დამთავრებული ცუდი ეკოლოგიური მდგომარეობით. შესაბამისად წევრმა ქვეყნებმა უნდა წარმოადგინონ ფერადად კოდირებული რუკა მდინარის აუზის ოვითოეული რაიონისათვის იმ თანმიმდევრობით როგორც არის მოცემული ყოველივე ეს ცხრილში 3.

ცხრილი 3. ფერადი კოდები მდინარეთა აუზისათვის

მდინარის ეკოლოგიური მდგომარეობის კლასიფიკაცია	ფერადი კოდი
საუკეთესო	ცისფერი
კარგი	მწვანე
საშუალო	ყვითელი
ცუდი	ნარინჯისფერი
ძალიან ცუდი	წითელი

3. აღმოსავლეთ საქართველოს მდინარეების ჰიდროლოგიური და ჰიდროქიმიური დახასიათება

კავკასიის რეგიონი, განსაკუთრებით კი საქართველო მდიდარია წყლის რესურსებით. საქართველოს წყლის ჯამური რესურსები 100 კმ³-ს აღემატება. აქედან, მდინარეების წილად მოდის დაახლოებით 65 კმ³, მყინვარების - 30 კმ³, ტბების - 0,7 კმ³, წყალსაცავების - 3,3 კმ³, ჭაობების - 1,9 კმ³ მოცულობის წყალი, მათ შორის დაახლოებით 36 კმ³, რომელიც თავმოყრილია მყინვარებში, ტბებში, წყალსაცავებსა და ჭაობებში, წყლის რესურსების საუკუნოვან მარაგს წარმოადგენს და წყლის წრებრუნვაში ნაკლებ მონაწილეობას იღებს. 65,2 კმ³ მოცულობის მდინარის ჯამური წლიური ჩამონადენიდან 56,5 კმ³ ფორმირდება საქართველოს ტერიტორიაზე, რაც მთელი ჩამონადენის 87%-ს შეადგენს. დანარჩენი 8,7 კმ³ (13%) შემოდის მის გარეთ მდებარე სომხეთის და თურქეთის ტერიტორიებიდან. საქართველოში ეს რესურსები არათანაბრადაა განაწილებული. დასავლეთ საქართველოზე მოდის 50,4 კმ³ ან 77% წლიური ჩამონადენისა (43,8 კმ³ ადგილობრივი და 6,6 კმ³ ტრანზიტული), ხოლო აღმოსავლეთ საქართველოზე - 14,8 კმ³ ან 23% (12,7 კმ³ ადგილობრივი და 2,1 კმ³ ტრანზიტული). რეგიონებში ჰიდროლოგიურ თავისებურებათა დიდ მრავალფეროვნებას განსაზღვრავს მთაგორიანი ქავენისათვის დამახასიათებელი ფიზიკურ-გეოგრაფიული და კლიმატური პირობების მრავალსახეობა.

მონაცემები რეგიონში ზედაპირული ჩამონადენის რეჟიმის მრავალწლიურ მახასიათებლებზე და წყლის რესურსებზე შესულია მდინარეთა ჰიდროგრაფიული აღწერის მონოგრაფიული ხასიათის შრომებში [3,4,5]. გარდა მდინარეებისა, მათში წარმოდგენილია, აგრეთვე, მონაცემები არხებზე, ტბებზე და წყალსაცავებზე. ცალკე ტბებისა და წყალსაცავების ჰიდროგრაფიულ აღწერას ემდგნება ნაშრომები [6,7]. ყველა ამ საცნობარო გამოცემებში გამოყენებულია ძირითადად გასული საუკუნის დაკვირვებათა მასალები - ინფორმაცია ჰიდროლოგიურ რიგებზე შემოისაზღვრება 60-70-იანი წლების მონაცემებით. მოგვიანებით, 90-იანი წლების დასაწყისისათვის გამოცემულ მონოგრაფიებშიც კი წყლის რესურსების მდგომარეობის შეფასება ეყრდნობა დაკვირვებათა მასალებს 1980 წლის ჩათვლით [8,9]. მხოლოდ გაეროს კლიმატის ჩარჩო კონვენციაზე საქართველოს პირველი ეროვნული შეტყობინების ანგარიშის შედგენისას ნაწილობრივ გამოყენებულია 80-იანი წლების ჰიდროლოგიური მონაცემები [10].

საქართველოს ტერიტორიაზე მდინარეთა საერთო რიცხვია 32198, რომელთა საერთო სიგრძეა 75554კმ. აქედან დასავლეთ საქართველოზე, ანუ შავი ზღვის აუზში მდინარეების რაოდენობა 19988 (61.2%), ხოლო აღმოსავლეთ საქართველოში, ანუ კასპიის ზღვის აუზში 12211 (38.2%). მდინარეთა უმეტესობა 10კმ-ზე ნაკლები სიგრძისაა მათი რაოდენობა თითქმის 97.3%-ს შეადგენს.

რადგანაც აღმოსავლეთ საქართველო ნაკლებად მდიდარია წყლის რესურსებით და მათზე ზრუნვაც ამ რეგიონში განსაკუთრებულ ძალისხმევას მოითხოვს.

3.1. მდინარე მტკვრის აუზის ბუნებრივი პირობები, აუზის ზოგადი მიმოხილვა

საქართველო წყლის რესურსებით მდიდარი ქვეყანაა. უხვი ატმოსფერული ნალექები, მიწისქვეშა წყლები, თოვლის საფარი, განაპირობებენ მდინარეული ჩამონადენის დიდ რაოდენობას.

მის ტერიტორიაზე მიედინება დაახლოებით 26060 მდინარე, რომელთა საერთო სიგრძე 60 ათას კმ-ს აღწევს. საშუალოდ ამ მდინარეების 99.4% ძალიან მცირე სიგრძისა (25 კმ-ზე ნაკლები). შავი ზღვის აუზს მიეკუთვნება 18109 მდინარე, ხოლო კასპიის ზღვის აუზს - 7951. საქართველოს მდინარეთა მთავარი წყალგამყოფია ლიხის ანუ სურამის ქედი. აღსანიშნავია, რომ დასავლეთ საქართველოს მდინარეთა უმრავლესობას დამოუკიდებელი წყალშემკრელი აუზი არ აქვს, ხოლო აღმოსავლეთ საქართველოს ყველა მდინარე მტკვრის აუზს მიეკუთვნება. ის ერთ-ერთი უმნიშვნელოვანესი ტრანსასაზღვრო მდინარეა ჩვენს ქვეყანაში, რომელიც გამოირჩევა წყლის მნიშვნელოვანი რესურსებით.

მტკვარი (1384კმ) სამხრეთ კავკასიის ყველაზე გრძელი მდინარეა. მისი სიგრძე საქართველოს ტერიტორიაზე 351კმ-ია [3].

რელიეფი და გეოლოგია.

მდ.მტკვარი სათავეს იდებს თურქეთში, მთა კიზილ-გალუხის ჩრდილო-აღმოსავლეთ კალთებიდან, შავი ზღვის დონიდან 2742მ სიმაღლეზე. მისი სიგრძე საქართველოს ფარგლებში 290კმ-ია. წყალშემკრები აუზის ფართობი $188 \cdot 10^2$, ხოლო საქართველოს ფარგლებში $31 \cdot 10^3 \text{ km}^2$ -ია. იგი ყველგან თითქმის ერთნაირი სიგანისაა (40-80მ), გამონაკლისს წარმოადგენს ქ.თბილისში მეტების ციხესიმაგრე, სადაც კალაპოტის სიგანე 25მ-ს უზრდდება. სიღრმე მდინარის წყალმცირე ადგილებში 0.5-1.5 მ-ია, ხოლო სწრაფი დინებების მიდამოებში კი 3-4 მეტრი საშუალოდ მდ.მტკვრის წყლის სიჩქარე იცვლება 0.5-1.0 მ/წმ-ის ფარგლებში, თუმცა მაქსიმალური დინების პერიოდში მისმა სიჩქარემ შეიძლება მიაღწიოს 6-7მ/წმ-საც კი ის იკვებება თოვლის ნადნობებით, გრუნტის წყლებითა და მოსული ნალექებით, ამიტომ წყალდიდობა მასში ემთხვევა გაზაფხულს, როცა იზრდება მოსულ ნალექთა რაოდენობა. რაც შეეხება წყალმცირობას, იგი აღინიშნება ზაფხულისა და ზამთრის პერიოდებში [3,4].

მტკვრის აუზი მოიცავს: სომხეთის ტერიტორიის მთლიანად, აზერაიჯანისა და საქართველოს ტერიტორიის დიდ ნაწილს, აგრეთვე თურქეთისა და ირანის ტერიტორიის ნაწილსაც. მტკვარი სათავეში ჯერ ვულკანურ ქანებში ჩაჭრილ ვიწრო ხეობაში მიედინება, შემდეგ განიერ ხეობაში. გიოლის ქვაბულში ტოტს ქმნის, ქვაბულის განაპირობა კი ისევ ვიწრო ხეობაში მიედინება და ფართო ხეობას ივითარებს დაჭაობებულ არტაანის ველზე. საქართველოში ვარდის მახლობლად შემოედინება და ჯავახეთისა და ერუშეთის ველ-კანურ მთიანეთებს შორის დრმა კანიონში მიედინება [4].

სოფელ ხერთვისს ქვემოთ ხეობა განიერდება, მდინარის ორივე მხარეს ტერასები ჩნდება, ასპინძასთან სოფელ მინაქემდე ხეობის ზოგიერთი მონაკვეთი ვიწროა. მინაძიდან მტკვარი ახალციხის ქვაბულზე გადის. ხეობა შემდეგ ისევ ვიწროვდება, მტკვარი სოფ. წნისიდან ტაშისკარამდე მესხეთისა და თრიალეთის ქედებს შორის მიედინება და ბორჯომის ხეობას აჩენს. სოფ. ტაშისკარიდან ძეგვამდე მტკვრის ხეობა განიერი, ჭალიანია, მდინარე ზომიერად დაკლაკნილი და ძლიერ დატოტვილია.

დღ. მტკვრის თანადროული კალაპოტის მდებარეობა ხეობების უფრო ხშირად აღუგიური ფსკერისა და შემომფარგლელი მაღლობების მიმართ რამდენიმეჯერ იცვლება,

მდინარე ზოგან მარცხნივა მოხრილი, ზოგან მარჯვნივ. შესაბამისად ცვალებადობს ტერასული სერიების აღნაგობაც. ზოგადად ტერასები ხეობის მარჯვენა (თრიალეთურ) მხარეზე უკეთესად არის გამოსახული, ვიდრე მარცხენა (კვერნაქულ) მხარეზე.

სოფელ ძეგვთან მტკვარი შედის ძეგვის კლდეკარში, რომელიც გაჭრილია კვერნაქის სერისა და საწევებელას ქედის ურთიერთმიახლოების ადგილში. ქალაქ თბილისთან მტკვარი აჩენს საქმაოდ ფართო ქვაბულს, რომელსაც თბილისის ქვაბულს უწოდებენ. თბილისის სამხრეთით მტკვარი იშლება ქვემო ქართლის ვაკეზე და იტოტება.

თბილისის ქვაბულის შემდეგ მტკვარი ქვემო ქართლის ვაკეზე მიედინება და ტიპური ვაკის მდინარის სახეს იღებს განიერი ჭალით და დაბალი ნაპირებით. კალაპოტი ზომიერად დაკლაკნილი და ძლიერ დატოტვილია, წარმოქმნის მრავალ კუნძულს, რომელთა ნაწილი ტყითაა შემოსილი. ჭალაში მრავალი ნარიონალია. აზერბაიჯანის ტერიტორიაზე მინგეჩაურის წყალსაცავის გავლით ჩაედინება კასპიის ზღვაში.

კლიმატი და მცენარეული საფარი.

საქართველოს ტერიტორია ჰავის დიდი მრავალფეროვნებით გამოირჩევა. შედარებით მცირე ფართობის მიუხედავად, საქართველოში წარმოდგენილია დედამიწის ზედაპირზე არსებული ჰავის თითქმის ყველა ტიპი. ჰავის ასეთი მრავალფეროვნება განპირობებულია ქვეყნის მდებარეობით სუბტროპიკულ და ზომიერ კლიმატურ სარტყელების მიჯნაზე და რელიეფის თავისებურებით, აგრეთვე მნიშვნელოვანია ჰავი ზღვის გავლენაც. საქართველოს ჰავის ჩამოყალიბებაზე მნიშვნელოვან როლს თამაშობს სამი ძირითადი ფაქტორი: მზის რადიაცია, ატმოსფეროს ზოგადი ცირკულაცია და ქვეფენილი ზედაპირის ხასიათი.

როგორც უკვე ავღნიშნეთ მდ მტკვარი საქართველოში თურქეთის ტერიტორიიდან გადმოედინება დაბა ხერთვისის მახლობლად, დაახლოებით 1125 მეტრ სიმაღლეზე ზღვის დონიდან. ეს რეგიონი ხასიათდება სუბალპური ზონისათვის დამახასიათებელი ბუნებრივი პირობებით. აქ მთების კალთებზე და მათ ძირში გავრცელებულია ბუჩქარის ტიპის მცენარეები(უმეტესად ასკილი) და ბალახი, რომელიც გამოიყენება საძოვრად. რეგიონს ახასიათებს მთა-მდელოს ტიპის ნიდაგები, ასევე ყავისფერი ნიადაგი, რომელსაც ზოგჯერ ენაცვლებათ ალუვიური და მუქი მურა ტიპის ნიადაგებიც. მოცემული ზონის სოფლებში გაშენებულია ხილის ბადები (უმეტესად თუთის). უფრო ქვემოთ(ბორჯომის ხეობის მიმართულებით) კი მთის მცენარეულობას თანდათან შეიცავს ურევა შერეული ტიპის ტყეები(მუხა, წიფელა, ნაძვი) და შესაბამისად ზემოთმოხსენებული ნიადაგების ჩამონათვალს ემატება სხვადასხვა ტიპის ტყის ნიადაგებიც.

მოცემული რეგიონის კლიმატი გამოირჩევა მკვეთრად გამოხატული სეზონური ცვლილებებით, მზის რადიაციის მაღალი დონით და ზომიერი ნალექიანობით. ის ხასიათდება ცივი ზამთრით, ცოტაოდგნო თოვლით, გრძელი და შედარებით თბილი გაზაფხულით და მოკლე გრილი ზაფხულით.

შემდგომ მდ.მტკვარი გაივლის ბორჯომის ხეობის ძირითად ნაწილს, რომელიც ხასიათდება ნოტიო ზღვიურიდან ზომიერად კონტინენტურზე გარდამავალი მთის კლიმატის ზონაში ნაკლებად კონტინენტური ჰავით. ანდა უფრო დეტალურად - მდ.მტკვრის და მისი შენაკადების ხეობების გასწვრივ ზღვის დონიდან(ზ.დ.) 1000-1100მ. სიმაღლემდე კლიმატი არის ზომიერად ნოტიო, ცივი ზამთრით და ხანგრძლივი თბილი ზაფხულით, ზ.დ. 1100-1500მ. სიმაღლემდე კი ნოტიო კლიმატი ცივი თოვლიანი ზამთრით და თბილი ზაფხულით, ხ.დ. 1500მ-ზე ზემოთ ზომიერად ნოტიო, ცივი თოვლიანი ზამთრით და ხანგრძლივი გრილი ზაფხულით [3,4].

რეგიონის წლიური საშუალო ტემპერატურაა 9.1°C , ტემპერატურის აბსოლუტური მაქსიმუმი 37°C , აბსოლიტური მინიმუმი კი -2°C . ატმოსფერული ნალექების წლიური ჯამი 655მმ-ს შეადგენს.

მტკვარი გაედინება თრიალეთის ქედის ძირსა და კვერნაქებს შორის, საქმაოდ ფართო ალუვიური ხეობით. მტკვრის თანადროული კალაპოტის მდებარეობა ხეობის ალუვიური ფსკერისა და შემომფარგველი მაღლობების მიმართ რამდენიმეჯერ იცვლება, - მდინარე ზოგან მარცხნივა მოხრილი, ზოგან მარჯვნივ. შესაბამისად ცვალებადობს ტე-

რასული სერიების აღნაგობაც. ზოგადად ტერასები ხეობის მარჯვენა (თრიალეთურ) მხარეზე უკეთესად არის გამოსახული, ვიდრე მარცხენა (კვერნაქულ) მხარეზე. ეს რეგორინი ხასიათდება ალუვიური, ქვიშიანი და თიხიანი ნიადაგით, რომლებზედაც ძირითადათ გავრცელებულია ეკლიანი ბუჩქნარის ტიპის (ტყის კენკროვანი) მცენარეები და ასევე მუხისა და სხვა ველური წამონაზარდები. მოცემული რეგიონის უმეტეს სოფლებში გაშენებულია ხილის ბალები (ძირითადათ ვაშლის).

ამ მხარის კლიმატი კონტინენტურია, საშუალო წლიური ტემპერატურაა დაახლოებით 11°C . ნალექების რაოდენობა წელიწადში საშუალოდ 500მმ-ია, მაქსიმუმი 760მმ, ხოლო მინიმუმი კი უტოლდება დაახლოებით 330მმ-ს.

მცხეთაში, სადაც მდ.მტ.კვარს უერთდება მდ.არაგვი, ზომიერად ნოტიო სუბტროპიკული ჰავაა (საშუალო წლიური ტემპერატურა $10,8^{\circ}\text{C}$; იანვარი - $1,1^{\circ}\text{C}$, ივლისი $22,1^{\circ}\text{C}$). იცის ცივი ზამთარი (აბსოლუტური მინიმალური - 29°C) და ცხელი ზაფხული (აბსოლუტური მაქსიმალური 39°C). ნალექები 590მმ წელიწადში [3,4].

თბილისში ზომიერად თბილი სტეპურიდან ზომიერად ნოტიო სუბტროპიკულზე გარდამავალი ჰავაა. იცის ზომიერად ცივი ზამთარი და ცხელი ზაფხული, საშუალოწლიური ტემპერატურა $12,7^{\circ}\text{C}$, იანვარი $0,9^{\circ}\text{C}$, ივლისი $24,4^{\circ}\text{C}$; აბსოლუტური მინიმალური ტემპერატურა - 23°C , აბსოლუტური მაქსიმალური 40°C . ნალექები 560მმ წელიწადში. უხნალექიანია მაისი (90მმ), მცირენალექიანი - იანვარი (20მმ). თოვლის სახით ნალექი შეიძლება მოვიდეს საშუალოდ 15-25 დღე წელიწადში. გაბატონებულია ჩრდილოეთისა და ჩრდილოეთ-დასავლეთის ქარი, ხშირია აგრეთვე სამხრეთ-აღმოსავლეთის ქარიც.

ქ.რუსთავი აშენებულია უნაყოფო სტეპის ტერიტორიაზე. ახალი რუსთავი (მარჯვნა სანაპირო) შედარებით მშრალი და ცხელია, ვიდრე ძველი. ძველი და ახალი რუსთავი ერთმანეთისგან დაშორებულია 1კმ-თი. მათ შორის, მტკვრის სანაპიროზე არის რუსთავის ტყე, რომელიც ამჟამად კულტურისა და დასვენების პარკის ნაწილია. პარკში მდებარეობს ხელოვნურად შექმნილი ტბა. ზღვის დონიდან ის მდებარეობს 370მ სიმაღლეზე.

რუსთავის კლიმატური პირობები გარდამავალია ხმელთაშუა ზღვისა და სტეპს შორის. ხასიათდება არამკაცრი, თოვლიანი ზამთრით და მშრალი, ზომიერი და ცხელი ზაფხულით.

მდინარეთა ქსელი.

მტკვრის მარჯვენა შენაკადებია: ფარავანი (სიგრძე 74 კმ), ბორჯომულა (სიგრძე 29 კმ), გუჯარეთისწყალი (სიგრძე 43 კმ), ძამა (სიგრძე 42 კმ), ტანა (სიგრძე 39 კმ), თეძამი (სიგრძე 51 კმ), ალგეთი (სიგრძე 108 კმ), ქცია-ხრამი (სიგრძე 201 კმ), აღსთაფა (სიგრძე 121 კმ), თოუზჩაი, შამქორჩაი, განჯაჩაი (სიგრძე 99 კმ), ტერტერი (სიგრძე 184 კმ), ხაჩინჩაი, არაქესი (სიგრძე 1072 კმ); მარცხენა: ფოცხოვისწყალი შენაკად ქვაბლიანით (სიგრძე 64 კმ), ლიახვი (სიგრძე 115 კმ), ქსანი (სიგრძე 84 კმ), არაგვი (სიგრძე 112 კმ), იორი (სიგრძე 320 კმ) და ალაზანი (სიგრძე 390 კმ); მათგან ტრანსასაზღვრო მდინარეებს მიეკუთვნებიან - იორი, ალაზანი და ხრამი, რომლებიც გადაედინებიან აზერბაიჯანის ტერიტორიაზე და უერთდებიან მდ.მტკვარს. დედაქალაქის ტერიტორიაზე მას ასევე უერთდება ისეთი მცირე სიდიდის მდინარეები როგორებიცაა - მდ.ვერე, მდ.დიღმულა და მდ.გლდანულა. უნდა აღინიშნოს ის ფაქტი, რომ მდ.მტკვარი გაივლის რა საქართველოს ტერიტორიას, ის მკვეთრად იცვლის სიმაღლეებს ზღვის დონიდან (დაახლოებით 1125მ-დან 300მ-დე), რაც თავისთავად ცვლის მის სიჩქარეს, ასევე ცვლილებას განიცდის ზრდის ტენდენციით მდინარის აუზის ფართობიც (იხ. ნახ.2-3) [3].

მდინარეული ჩამონადენი.

მტკვრის აუზი მეტად მრავალფეროვანი ლანდშაფტებით ხასიათდება, რაც არსებით გავლენას ახდენს მდინარის რეჟიმზე. მტკვარი შერეული საზრდოობის მდინარეა. საზრდოობს თოვლის, წვიმისა და მიწისქვეშა წყლით. დამახასიათებელია გაზაფხულის წყალდიდობა, ზაფხულისა და ზამთრის წყალმცირობა. გაზაფხულის წყალდიდობა მარტის პირველ ნახევარში იწყება, მაისის დასაწყისში მაქსიმუმს აღწევს, ივნისის ბოლოს კი თავდება. ივლის-აგვისტოში მტკვარზე წყალმცირობაა. შემოდგომაზე წვიმებით გა-

მოწვეული წეალმოვარდნები იცის. ხოლო ზამთრობით ახასიათებს მდგრადი წეალმცირობა.

მტკვრის საშუალო წლიური ხარჯი ხერთვისთან 32,6მ³/წმ, ლიკანთან 84,1მ³/წმ, ძეგვთან 143მ³/წმ, თბილისთან 205მ³/წმ, მინგეჩაურთან 402მ³/წმ, შესართავთან 580მ³/წმ. მტკვარს წლიურად კასპიის ზღვაში 18,1კმ³ წეალი შეაქვს. მტკვრის ჩამონადენი წლის სეზონების მიხედვით ასეთია: გაზაფხულზე ჩამოყდინება წლიური ჩამონადენის 48,5%, ზაფხულში - 26,9%, შემოდგომაზე - 13,7%, ზამთარში - 10,9%. ჩამონადენის განაწილება საზრდოობს შემდეგი კომპონენტების მიხედვით: მიწისქვეშა წყლები - 38,6%, თოვლის წყლები - 36,6%, წვიმის წყლები - 24,8%.

წეალდიდობის დროს მტკვარი დიდი რაოდენობის წეალს ატარებს, ცალკეულ წლებში კი კატასტროფული წეალდიდობა ახასიათებს: მაგალითად - 1968 წელს მტკვრის ხარჯი ხერვისთან 742მ³/წმ იყო, ლიკანთან - 1520მ³/წმ, ძეგვთან - 2170 მ³/წმ, თბილისთან - 2450მ³/წმ, შესართავთან კი 2240მ³/წმ. წეალდიდობა გამოიწვია უწვეულო დათბობამ აპრილის შუა რიცხვებში, რასაც თოვლის ინტენსიური დნობა მოყვა. მას დაქმატა ინტენსიური წვიმები.

ადამიანის საქმიანობა და მათი ტენდენციები.

მოსახლეობა. პირველი დასახლებული პუნქტი, რომელსაც გამოივლის მდინარე მტკვარი საქართველოს ტერიტორიაზე თურქეთის საზღვრის გადმოკვეთის შემდგომ, არის დაბა ხერთვისი.

ხერთვისში - მოსახლეობის რაოდენობა უტოლდება 205-ს, რომელთა უმეტესობა დასაქმებულია სოფლის მეურნეობის სფეროში, რეგიონი მოიცავს ბაზალტისა და ტუფის საბადოებს, მდინარე მტკვარზე აგებულია მცირე სიდიდის ჰიდროელექტროსადგური. ხერთვისის დასახლება ზღვის დონიდან მდებარეობს 1250მ-ზე.

ბორჯომის ხეობა ზღვის დონიდან 800-1000მის სიმაღლეზეა განლაგებული, რომლის მოსახლეობა უტოლდება დასახლოებით 32422 ადამიანს. მათი 62-65% შრომისუნარიანია, ხოლო 21% კი არასრულწლოვანია. მოსახლეობის 80% დასაქმებულია სოფლის მეურნეობით. რეგიონში აწარმოებენ შემდეგი სახის სასოფლო-სამეურნეო პროდუქციას: კარტოფილი - 10%; მესაქონლეობა - 80%; ტყის ველური ხილის მოგროვება - 10%.

ქ.ბორჯომში - ცხოვრობს 14445 მოსახლე. ის ჯერ კიდევ წინა საუკუნიდან მოყოლებული ითვლებოდა ერთ-ერთ საუკეთესო საკურორტო დასასვენებელ ადგილად ააგასიაში. მიზანი უპირველესი მიზეზია ის მიწისქვეშა სამკურნალო მინერალური წყლები, რომლებიც უხვადა რეგიონში, ის წიწვოვანი და შერეული ტყეები, რომლებიც ასევე გადაჭიმულია ხეობის მთებზე და სხვა. 2010 წლის მონაცემების მიხედვით ბორჯომში რეგისტრირებულია 300-მდე საწარმოო ობიექტი (მათ შორის - მინერალური წყლების ჩამოსახმელი ობიექტები, ავეჯის მცირე სამქროები, ხეტყის სახერხი საწარმოები და სხვა) და რამდენიმე მცირე სიმძლავრის პესი (მაგ. 21000კვტ. სიმძლავრის ჰიდროელექტრო სადგური - ჩითახევსი).

ქ.ხაშური - ზღვის დონიდან მდებარეობს 690მ სიმაღლეზე. მის ტერიტორიაზე გაივლის საქართველოს ძირითადი როგორც სარკინიგზო, ასევე სატრანსპორტო კვანძი. ქ.ხაშურში მოქმედებს სხვადასხვა ტიპის მცირე სამრეწველო საწარმოები. რეგიონში ჯერ კიდევ საბჭოთა კავშირის დროიდან აგებულ იქნა და სრული დატვირთვით მუშაობდა ნავთობგადამანაწილებელი ბაზა, რომელიც დღესაც ნაწილობრივ ასრულებს თავის ფუნქციებს, 2006 წლის მონაცემებით მასში ცხოვრობს 28500 ადამიანი. ძირითადი საქმიანობა არის სოფლის მეურნეობა.

ქ.გორის - მუნიციპალიტეტის ტერიტორიაზე ცხოვრობს 144 919 ადამიანი (2010 წლის მონაცემებით), მათი 35% ანუ 51200 მოსახლე თავმოყრილია ქ.გორში. მოცემულ რეგიონი ისევე როგორც ბორჯომის ხეობა, ხასითდება სამკურნალო მინერალური წყლების საქმიანოდ დიდი მარაგით, თუმცა ეს სფერო ადგილობრივი მოსახლეობის მიერ ჯერ კიდევ აუთვისებელია. სამაგიეროდ რეგიონში მრავლად არის სამშენებლი მასალების გა-

დამამუშავებელი საამქროები, რკინა-ბეტონის კონსტრუქციის მწარმოებელი საწარმოები, ხილის კონცენტრანტის მწარმოებელი საწარმოები, ღვინისა და ლუდის წარმოების ობიექტები და სხვა. მუნიციპალიტეტის ტერიტორიაზე მდებარეობს საერთაშორისო და სახელმწიფო მნიშვნელობის გზების გარკვეული მონაკვეთი. მუნიციპალიტეტის ეკონომიკის დარგობრივი სტრუქტურა წარმოდგენილია შემდეგი სახით: სოფლის მუშრნეობა (20.2%), შიდა მუშრნეობის გადამუშავება (4.8%), მრეწველობა (14.8%), მშენებლობა (6%), ტრანსპორტი და კავშირგაბამულობა (12.4%), ვაჭრობა (12.1%), მმართველობა (16.6%), განათლება (5.0%), ჯანდაცვა (2.7%), სხვა მომსახურება (5.8%). წყლის რესურსები საქართველოში რაოდენობითაა წარმოდგენილი გორის მუნიციპალიტეტში. რესურსების ძირითადი წყაროა ზედამიზული და მიწისქვეშა წყლები. გვხვდება სამკურნალო გოგირდწყალბაზოვანი წყლები. ძირითადი მდინარეებია: მტკვარი, დიდი და პატარა ლიახვი, მეჯუდა, ტანა, ტორტლა, ჭარებულა, ოტრისხევი, კოშკების წყალი. ჰიდრორესურსების მუშრნეობრივი მნიშვნელობა გამოიხატება მათი ირიგაციული მიზნით გამოყენებაში, შესაძლებელია მცირე ჰესების მოწყობაც. გორის მუნიციპალიტეტში არსებობს ერთი ნაგავსაყრელი მის სამხრეთ-აღმოსავლეთით. ფართი 53 ა. წლის განმავლობაში წარმოქმნილი ნარჩენების მთლიანი მოცულობა - 93660მ³. ქვეყნის ზღვის დონიდან მდებარეობს 588მ დონეზე.

მცხეთა - რომელიც თბილისიდან დაშორებულია 1,5კმ-ით არის საქართველოს ერთ-ერთი უძველესი დედაქალაქი, სადაც განლაგებულია მრავალი ძველი მონასტერი თუ კულტურული ძეგლი, აქედან გამომდინარე ის ყოველთვის იმყოფება განსაკუთრებული უერადღების ქვეშ ჩამოსული ტურისტებისგან გამომდინარე. მცხეთაში უერთდება მდ. არაგვი მდ.მტკვარს. მასში ცხოვრობს 7700 მოსახლე და ზღვის დონიდან მდებარეობს 480მ-ზე. აქ არის რკინიგზის სადგური, კვების და მსუბუქი მრეწველობის საწარმოები, ზემო ავჭალის ჰესი.

თბილისი - საქართველოს დედაქალაქია, ის მდინარე მტკვრის ორივე სანაპიროზე განლაგებული. ქალაქი ზღვის დონიდან 380-770მ სიმაღლეზე განლაგებული, მას ამფიოფატრის ფორმა აქვს და სამი მსერიდან მთები ემიჯნება. ჩრდილოეთი ესაზღვრება საგურამოს ქედი, აღმოსავლეთით და სამხრეთ-აღმოსავლეთით - ივრის ზეგანი, ხოლო სამხრეთით და დასავლეთით - თრიალეთის ქედის განშტოებები. ქალაქი მდინარე მტკვრის გაყოლებაზე 33გმ მანძილზე გაჭიმული და 720გმ ფართობი უკავია. დღეგანდელი მოაცემებით დედაქალაქში ცხოვრობს 1125500 ადამიანი.

მდინარე მტკვრის ჰიდროლოგიური რეჟიმი ძირითადად დედაქალაქის გარეთა ფორმირებული და ჰიდროლოგიური პროცესების ზემოქმედება ქალაქის ფარგლებში მცირეა.

თბილისის მნიშვნელოვანი წიაღისეულია გოგირდის თერმული წყლები, რომლებიც ქალაქის ძველ უბნებში მტკვრის ორივე მხარეს მრავალ ადგილას გამოდის. 450°C და უფრო მაღალი ტემპერატურის მქონე წყაროები უძველესი დროიდან გოგირდის აბანოებში გამოიყენებოდა, რითაც განსაკუთრებით განთქმულია თბილისი. გოგირდის თერმული წყლები ასევე გამოიყენება თბილისის ბალნეოლოგიურ კლინიკაში. 57-740°C ტემპერატურის შემცველი გეოთერმული წყლები ლისისა და საბურთალოს ტერიტორიაზეც მოიპოვება. საბურთალოს ზოგიერთ ნაწილში ეს წყლები გათბობისა და ცხელი წყლის მომარაგების იხმარება.

თბილისის შემოგარენში არსებობს ნავთობის საბადოები. აქვე მოიპოვება ისეთი სამშენებლო მასალები, როგორიცაა თიხა, კირქვა და კვარციტის შემცველი ქვიშა. ზოგიერთი მათგანი ადრე ქალაქში მიმდინარე სამშენებლო სამუშაოებისთვის გამოიყენებოდა. გარკვეული მასალების ექსპლუატირება დღემდე მიმდინარეობს. 2006 წელს საქართველოს პარლამენტმა თბილისის ახალი ადმინისტრაციული საზღვრები დაადგინა. ახალი საზღვრების მიხედვით ქალაქის შემოგარენში განლაგებული სოფლები, რომლებიც ადრე სარეკრეაციო ზონად ითვლებოდა, დედაქალაქს შეუერთდა. აქედან გამომდინარე, თბილისის ფართობი 378გმ-დან 720გმ-მდე გაიზარდა. ტერიტორია მნიშვნელოვნად გაფართოვდა სამხრეთ-აღმოსავლეთით, სამხრეთ-დასავლეთით და ჩრდილო-დასავლეთით ახლად მიერთებული რაიონები სასოფლო-სამეურნეო, ტყით დაფარული, სარეკრეაციო და საცხოვრებელი სარტყებისგან შედგება. ახალი ტერიტორიების ქალაქის საზღვრების ფარგლებში

გაერთიანება ძირითადად მათი განვითარების მიზნით მოხდა. 2009 წელს თბილისის მერიამ დედაქალაქის ახალი გენერალური გეგმა - დედაქალაქის პერსპექტიული განვითარების გეგმა დაამტკიცა. აღნიშნულის თანახმად, ახლად შემორთობულ აღგილებში განლაგებულმასასოფლო-სამეურნეო და ტყის ზონებმა საცხოვრებელი რაიონების სტატუსი შეიძინეს. ეს იმას ნიშავს, რომ საცხოვრებელი სახლების აგება და შესაბამისი ინფრასტრუქტურის განვითარება ამ აღგილებში ნებადართულია, რაც ბუნებრივია გარემოსათვის ზიანის მიუენების გარეშე ვერ მოხერხდება.

დღესდღეობით, მძიმე დანადგარების, ელექტრო მექანიზმებისა და მიკროელექტრონიკის, საფეიქრო და სხვა ტიპის მრეწველობის მსხვილ საწარმოთა უმტკიცია ან აღარ ფუნქციონირებს ან ძალიან მცირე რაოდენობის პროდუქციას უშვებს. ამჟამად, შედარებით კარგად განვითარებული დარგებია - ღვინის, სხვა ალკოჰოლური ან არაალკოჰოლური სასმელების, საკვები პროდუქტების (ხორცია და რძის პროდუქტები), ხილი და ბოსტნეული), ასევე სამშენებლო მასალების (ცემენტი, ასფალტი) წარმოება.

ქალაქში საკანალიზაციო წყლების შეგროვებასა და გადამუშავებას ახორციელებს ცენტრალური საკანალიზაციო კოლექტორული სისტემა (ჩამდინარე წყლის კოლექტორული ქსელი) და გარდაბნის რეგიონალური გამწმენდი ქარხანა, რომელიც თბილისა და რუსთავის ქმსახურება. ჩამდინარე წყლების ქსელის მთლიანი სიგრძე 72 კილომეტრია.

გარდაბნის გამწმენდი ქარხანა 1979 წელს აშენდა და მისი საპროექტო სიმძლავრე შეადგენდა 1.0 მილიონ მ/დღეში, თუმცა პირველ აგრეგატს დღეში ჩამდინარე წყლების მხოლოდ 80000მ გადამუშვება შეეძლო. 1982 წლიდან 1990-იანი წლების შუა წლებამდე ქარხანა მთლიანი სიმძლავრით მუშაობდა და ახორციელებდა როგორც მექანიკურ, ისე ბიოლოგიურ გადამუშვებას. საბჭოთა კავშირის დაშლის შედეგად გამოწვეული ეკონომიკური სიმხელეებისა და ენერგოდენეტიკის გამო (ბიოლოგიური დამუშავება-დასუფთავები-სათვის მოითხოვება ბევრი ელექტროენერგია) ქარხნის საწარმოო სიმძლავრე დღეში 600 000მ-მდე დაცა. ამჟამად საქართველოში არცერთი გამწმენდი ქარხანა, მათ შორის გარდაბანშიც, არ მუშაობს საპროექტო სიმძლავრეზე. ბიოლოგიური გამწმენდა არსად არ მიმდინარეობს. საუკეთესო შემთხვევაში, ჩამდინარე წყლების გაწმენდა მექანიკურად იწარმოება.

მუნიციპალური ნარჩენების 70-80%-ს შეადგენს საყოფაცხოვრებო ნარჩენები. მუნიციპალური ნარჩენების სხვა წყაროებია: ოფისები, მაღაზიები, სუპერმარკეტები და სავაჭრო ცენტრები, ბაზრები, ადმინისტრაციული შენობები, სკოლები, რესტორნები, სასტუმროები და ტურისტული დაწესებულებები, ქუჩების მონახვები, ბაღები, მოედნები და სასაფლაოები და სხვ.

ამჟამინდელი შეფასებებით თბილისში წარმოიქმნება 850 ტონა მუნიციპალური ნარჩენი დღეში, 350000 ტონა წელიწადში. ეს შეადგენს დაახლოებით 273.75კგ-ს ერთ სულ მოსახლეზე წელიწადში, რაც დაბალია ევროპის ქვეყნებში ერთ სულ მოსახლეზე წელიწადში წარმოქმნილი ნარჩენების რაოდენობაზე (524კგ ერთ სულზე). მოსახლეობის და ეკონომიკური განვითარების ზრდის შესაბამისად, ნავარაუდევია ნარჩენების წარმოქმნის ზრდა 2.25%-ით წელიწადში.

ახალი ნაგავსაყრელის გახსნის შემდეგ (რომელიც გაიხსნა 2010 წელს და განლაგებულია ქალაქის ჩრდილო-აღმოსავლეთით), თბილისის ორ არსებულ ნაგავსაყრელზე - გლდანის და იაღლუჯას ნაგავსაყრელებზე, შეჩერდა მუნიციპალური ნარჩენების მიღება. ორივე ამ ნაგავსაყრელზე უახლოეს მომავალში დაგეგმილია დახურვის/აღდგენის დონისძიებების ჩატარება [11].

10 წლის დაკვირვება აჩვენებს, რომ თბილისში მდინარე მტკვარი, მირითადად ნუტრიენტებით – ამონიუმის იონებით ბინძურდება, რომლის კონცენტრაცია დაკვირვების სამივე წერტილში (დინების ზევით, ქალაქის ცენტრში და დინების ქვევით) რამდენჯერმე აჭარბებს როგორც საქართველოს, ისე ეკორეკავშირის ზღვრულად დასაშვებ სტანდარტებს. ამის მიზეზი გაუწმენდავი საკანალიზაციო წყლების პირდაპირ მდინარეში ჩაშვება უნდა იყოს, რაც ეჭვება ასევე კანალიზაციის სისტემისა და ჩამდინარე წყლების გამწმენდი ნაგებობის გამართულობას. თვეზისათვის მავნებელი სხვა დამაბინძურებელი ნივთიერება

- ნატრიუმის ნიტრიტი, მხოლოდ ევროკავშირის ზღვრულად დასაშვებ კონცენტრაციებს აღემატება, საქართველოს სტანდა რტების ფარგლებში კი ჯდება.

ასევე ღნიშვნის ღირსია ის ფაქტიც, რომ ხშირად (განსაკუთრებით წლის თბილ პერიოდში) თბილისა და მის მიმდებარე ტერიტორიების ნაწილში, მდ.მტკვრის წყალში ასევე ადინიშნება ხოლმე უანგბადის ბიოლოგიური მოხმარების (ჟბმ) მაღალი კონცენტრაციები.

ქ. რუსთავე ცხოვრობს 116384 ადამიანი [12]. აქედან 13250 კაცი დასაქმებულია მცირე საწარმოებში. 58000 ადამიანი - დიდ საწარმოებში. ქალაქის ტერიტორია უტოლდება 60 კმ²-ს. რუსთავი XX საუკუნეში საქართველოს უდიდესი სამრეწველო ცენტრი იყო თბილისის შემდეგ. ქალაქმა აღმავლობა საბჭოთა პერიოდში დაიწყო: აქ ფუნქციონირებდა 90-მდე დიდი და საშუალო საწარმო, მათ შორის: მეტალურგიული კომბინატი, აზოტის, ქიმიკური, ცემენტის, ამწერებების ქარხნები, ს.ს. ლითონგონებრუქცია და სხვა. საბჭოთა კავშირის დაშლის შემდეგ ძველი ეკონომიკური კავშირების მოშლის შედეგად მრავალი საწარმო გაკოტრების პირას დადგა. შედეგად, 90-იანი წლების ქალაქისთვის განსაკუთრებით მძიმე გამოდგა უმუშევრობისა და სიღარიბის დონის სწრაფი ზრდის გამო. 2004-2006 წლებში განხორციელდა სახელმწიფო ქონების ფართომასშტაბიანი პრივატიზაცია, რომელშიც ნაწილობრივ რუსთავის საწარმოებიც მოექცა. ქალაქის ეკონომიკა ისევ აღმავლობის გზას დაადგა.

ქალაქის განაშენიანებისა და ზრდის შედეგად, ტერიტორიის დიდი ნაწილი ასფალტით დაიფარა. ამან მნიშვნელოვნად შეამცირა ზედაპირული წყლების ფილტრაცია და წყლის ჭარბი ჩამონადენის დონემ მოიმატა, რამაც მდინარის დინების რეჟიმი შეცვალა. დასახლებული პუნქტების გაფართოებისა და მოსახლეობის რაოდენობის ზრდის პარალელურად რასაკვირველია იცვლება მუნიციპალური ჩამდინარე წყლების რაოდენობა და შემცველობაც.

პიდროენერგეტიკა და კაშხლების მშენებლობა.

საქართველოს ტერიტორიაზე მდ.მტკვარზე პირველი მცირე სიმძლავრის პესი გეხვდება ხერთვისში, ბორჯომის ხეობაში - ასევე გეხვდება რამდენიმე მცირე სიმძლავრის პესი, რომელთაგან შეიძლება გამოვყოთ „ჩითახევესი“ სეზონური რეგულირების პიდროელექტროსადგური. იგი მდებარეობს მდ.მტკვარზე, სოფელ დვირთან (ბორჯომის რაიონი). პესის დადგმული სიმძლავრეა 21 მგვტ-ი. „ჩითახევესი“ საშუალო წლიური გამომუშავება 110მლნ კვტ.საათია. პესი ექსპლუატაციაში 1949-51 წლებში შევიდა. „ჩითახევესი“ კერძო საკუთრებაში სს „ენერგო-პრო ჯორჯიას“ გადაეცა.

არაგვის აუზში მდებარეობს ჟინვალისა და ნარეკვავის წყალსაცავები. ჟინვალის პიდროელექტროსადგური, დადგმული სიმძლავრით 134 მეგავატი და საშუალო წლიური წარმადობით 350 მილიონი კილოვატი საათში, - ერთ-ერთი უდიდესი პიდროელექტროსადგურია ქვეყანაში. არაგვის აუზში ასევე ორი მცირე პიდროელექტროსადგური ფუნქციონირებს: „მისაქციელი“ და „როშკა“.

„ზაჟესი“ სეზონური რეგულირების პიდროელექტროსადგურია, რომელიც მდებარეობს მცხეთის რაიონში, დაბა ზაჟესში, მდინარე მტკვარზე. მისი დადგმული სიმძლავრეა 36,8მგვტ. საშუალო წლიური გამომუშავება - 160 მლნ კვტ.საათია. პესი ექსპლუატაციაში შევიდა 1927-43 წლებში. „ზაჟესი“ იმყოფება სს „ენერგო-პრო ჯორჯიას“-ს კერძო საკუთრებაში.

„ორთაჭალპესი“ სეზონური რეგულირების პიდროელექტროსადგურია, რომელიც მდებარეობს ქ.თბილისში, ორთაჭალაში, მდინარე მტკვარზე. მისი დადგმული სიმძლავრეა 18მგვტ. პესის საშუალო წლიური გამომუშავება 80 მლნ.კვტ.საათია. „ორთაჭალპესი“ ესპლუატაციაში შევიდა 1954 წელს. პესი იმყოფება სს „ენერგო-პრო ჯორჯიას“ საკუთრებაში.

„საცხენისიჟესი“ წლიური რეგულირების პიდროელექტროსადგურია, რომელიც მდებარეობს გარდაბნის რაიონის ხოფელ სააკაძეში. მუშაობს ზემო სამგორის სარწყავი სისტემის მაგისტრალურ არხზე. მისი დადგმული სიმძლავრეა 14 მგვტ. პესის საშუალო წლი-

ური გამომუშავება 50 მლნ კპტ.საათია. "საცხენისიპესი" ქსპლუატაციაში შევიდა 1952 წელს. პესი იმყოფება კერძო საკუთრებაში.

"ხრამპესები"ს კასკადის პირველ საფეხურია სეზონური რეგულირების, შერეული ტიპის მაღალი და წნევიანი ჰიდროელექტროსადგური "ხრამპეს I". სადგურზე გამოიყენება მდინარე ხრამის წყალჩამონადენი. სათავე ნაგებობანი განთავსებულია წალკის ხეობის დასაწყისში, ხოლო ელექტროსადგურის ძალური კვანძი აშენებულია დრმა ხეობაში, მდინარე ხრამის ყოფილ კალაპოტში. სადგური ექსპლუატაციაში გადაეცა 1947 წელს. მისი დადგმული სიმძლავრეა 112.8 მეგავატი და საპროექტო საშუალო წლიური გამომუშავება 184 მილიონი კილოვატსაათი. პესი იმყოფება კომპანიის „ინტერ რაო“ საკუთრებაში. ხრამპესების კასკადის მეორე საფეხურს წარმოადგენს დერივაციული ტიპის სადღედამისო რეგულირების ჰიდროელექტროსადგური "ხრამპეს II". სადგურზე გამოიყენება "ხრამპეს I"-ის გადამუშავებული წყლის, "ხრამპეს I"-ის და "ხრამპეს II"-ის კაშხლებს შორის მდხრამის დამატებითი დინების, მდყარაბულახისა და მდჭოჭიანის ერთობლივი წყალჩამონადენი. "ხრამპესი III"-ის სათავე ნაგებობანი განთავსებულია წალკის ხეობის დასაწყისში, ხოლო ძალური კვანძი აშენებულია მდინარე ხრამის ხეობის მარჯვენა ერდობზე, მდინარე ყარაბულახის შესართავიდან, წყალაღმა, 2 კმ-ის დაშორებით. სადგური ექსპლუატაციაში გადაეცა 1963 წელს. მისი დადგმული სიმძლავრეა 110 მეგავატი და საპროექტო საშუალო წლიური გამომუშავება 184 მილიონი კილოვატსაათი. პესი იმყოფება კომპანიის „ინტერ რაო“ საკუთრებაში.

კახეთის რეგიონში, მდინარე ალაზნის აუზში ოთხი ჰიდროელექტრო სადგური ფუნქციონირებს: "ხადოპესი" – 24 მეგავატი (სრული სიმძლავრე), "ინტობაპესი" – 1 მეგავატი, "ქაბალპესი" – 1.5 მეგავატი და "ალაზანპესი" – 2.5 მეგავატი. ხადოპესი სეზონური რეგულირების ჰიდროელექტროსადგურია, მდებარეობს ახმეტის რაიონში მდინარეების, ალაზნისა და სამყურისწყლის შესართვით. პესის დადგმული სიმძლავრეა 24მგვტ. საშუალო წლიური გამომუშავება 100 მლნ.კვტსთ. ხადოპესი ექსლუატაციაში 2004 წელს შევიდა. იმყოფება შპს "აღმოსავლეთის ენერგოკორპორაციის" კერძო საკუთრებაში.

საქართველოს სახელმწიფოს აღებული აქცეს ქვეყანაში ჰიდრო-ენერგორესურსების ათვისების კურსი. 2007 წელს მსოფლიო ბანკმა შეაფასა პესების მშენებლობის მრავალი შესაძლო გარიანტი და ეკონომიკური და გარემოსდაცვითი თვალსაზრისით საუკეთესო პროექტად მიიჩნია საქართველოს სამსრეფ-აღმოსავლეთში, მდინარე ფარავანზე (მდ.მტკვრის ერთ-ერთი შენაკადი) პესის მშენებლობა. შპს ჯორჯია ურბან ენერჯი ფარავანპესის პროექტის უფლებამოსილი ინვესტორია, მან ხელი მოაწერა საქართველოს მთავრობასთან შეთანხმებას პროექტის განხორციელების თაობაზე. ფარავანპესის პროექტი ითვალისწინებს 87 მვტ (MW) პესსა და გადამცემ ხაზს ეროვნულ ენერგოქსელთან პესის მისაერთებლად. პროექტი განხორციელდება სამცხე-ჯავახეთის რეგიონში ასპინძის, ახალციხისა და ახალქალაქის მუნიციპალიტეტებში.

აღსანიშნავია ის ფაქტი, რომ სოფ. ხერთვისიდან დაახლოებით 700 მეტრში. გვირაბიდან შემოსული წყალი მიეწოდება ელექტროსადგურის ტურბინებს და შემდეგ ჩაედინება მდინარე მტკვარში [3,4].

მეცნიერების მართვა.

ნარჩენების პირდაპირ საარსებო გარემოში მოხვედრა რამდენიმე სერიოზულ პრობლემას ქმნის. ასეთ ნარჩენებზე წყიმების შემდეგ ნაჟური წყალი გრუნტის წყლებში ხვდება და აბინძურებს მას. გარდა ამისა, ნარჩენების გახრწნის პროცესში წარმოშობილი მეთანი კლიმატზე ზემოქმედებს და ხანძრის საფრთხეს აჩენს. სანიტარული ნაგავსაყრელები კი ნარჩენების უსაფრთხოდ მართვას უზრუნველყოფს.

საქართველოს მთავრობა უცხოელი დონორების დახმარებით ნაგავსაყრელების სახელმწიფო გენერალურ გეგმას ამუშავებს. ნაგავსაყრელების პრობლემების მოგვარებასა და სამომავლო სისტემების გამართვაზე რამდენიმე სამთავრობო უწყება მუშაობს. ევროკავშირის დაფინანსებით, გარემოს დაცვის სამინისტრო ამ სფეროში ზოგადი პოლიტიკის განსაზღვრაზე მუშაობს. საქართველოს რეგიონული განვითარებისა და ინფრასტრუქტუ-

რის სამინისტრო კი შემუშავებული პოლიტიკის განხორციელებასა და ნაგავსაყრელების მართვაზეა პასუხისმგებელი.

რეგიონული განვითარებისა და ინფრასტრუქტურის სამინისტრომ გერმანიის განვითარების ბანკისა და შვედეთის საერთაშორისო განვითარების სააგენტოს დახმარებით უკვე შეისწავლა ნარჩენების შეგროვების კუთხით ქვეყანაში არსებული მდგომარეობა და ნაგავსაყრელების მშენებლობის გეგმაც მოამზადა.

საერთაშორისო სტანდარტების შესაბამისი სანიტარული ნაგავსაყრელები საქართველოში 2014 წლიდან იფუნქციონირებს და ნარჩენების შეგროვება და გადამუშავება მთელი საქართველოს მასშტაბით მოხდება. გეგმა 20 წელზეა გათვლილი [11].

დღეისთვის კი საქართველოში მხოლოდ ორი – თბილისის და რუსთავის სანიტარული ნაგავსაყრელი ფუნქციონირებს. ამ ნაგავსაყრელებზე ნარჩენების მხოლოდ 40%-ის შეგროვება და დახარისხება ხდება, დანარჩენი 60% კი, არალეგალურ სანაბეჭებზე უკონტროლოდ გროვდება, ბუნებაში ხვდება და გარემოს აბინძურებს.

2006 წლიდან საყოფაცხოვრებო მყარი ნარჩენების მართვა თბილისში მნიშვნელოვნად გაუმჯობესდა. ამჟამად, დასუფთავების მომსახურება ფარავს მოსახლეობის 100%-ს, ახლად შემოერთებული ტერიტორიების ჩათვლით. მცირე ხნის წინ ამჟავდა ახალი სანიტარიული ნაგავსაყრელი (ა.წ.ნორიოს). თუმცა, ჯერ კიდევ არსებობს პრობლემები სხვა სახის, კერძოდ, სამრეწველო და სამედიცინო ნარჩენების მართვის კუთხით.

თბილისში ნარჩენების სექტორთან დაკავშირებულ მირითად გარემოსდაცვით პრობლემას ძველი ნაგავსაყრელები წარმოადგენენ, (მაგ. გლდანის ნაგავსაყრელი) რომლებიდანაც გარემოში კვლავ გამოიყოფა მავნე ნივთიერებები და შესაბამისად აბინძურებენ გარემოს. ასევე, სავარაუდოდ, ხდება სახიფათო ნარჩენების გარემოში მოხვედრა სამედიცინო და სხვა სახის ნარჩენებიდან.

რაც შეეხება დანარჩენ შედარებით მსხვილ დასახლებულ რეგიონებს, რომლებსაც გაიკლის მდ.მტკვარი (ბორჯომი, ხაშური, გორიმცხეთა), ნარჩენების განთავსება ხდება პირდაპირ საარსებო გარემოში და რასაკვირველია არ ხდება მათი დახარისხებაც. ყოველივე ეს გარკვეულ ზემოქმედებას ახდენს მდინარის აუზში შემავალ ეკოსისტემებზე.

ნარჩენების გადასაყრელი ადგილების მდებარეობა მჭიდროდ არის დაკავშირებული მოსახლეობის სიმჭიდროვესთან. ჩვენს ქვეყანაში სამწუხაროდ ნარჩენების გადასაყრელი ბევრი ადგილი არაოფიციალურია.

საყოფაცხოვრებო ჩამდინარე წყლები.

დღესდღეობით საქართველოში ზედაპირული წყლების დაბინძურების მირითადი წყაროებია: წყალმომარაგება-კანალიზაციის სექტორი, თბილებურებები, საწარმოო და სამედიცინო დაწესებულებების ჩამდინარე წყლები, სასოფლო-სამუშარეო ფართობებიდან და საყოფაცხოვრებო პოლიგონებიდან (ნაგავსაყრელებიდან) ჩამონადენები.

ამდენად, ზედაპირული წყლების ერთ-ერთი მირითადი დამაბინძურებელი ფაქტორი არის კომუნალური სექტორი (ქალაქებისა და დასახლებული აუნიტების კანალიზაციის ჩამდინარე წყლები). დღევანდელი მდგომარეობით წყლის გამწმენდა არცერთ ნაგებობას არ შეუძლია უზრუნველყოს ჩამდინარე წყლების გაწმენდა საპროექტო ხარისხის შესაბამისად. წყლის ბიოლოგიური გაწმენდა არ ხდება არცერთ ქალაქში. პირველადი მექანიკური გაწმენდა (და არაბიოლოგიური) ხორციელდება მხოლოდ ქ.თბილის-რუსთავის რეგიონულ გამწმენდა ნაგებობაზე. შედეგად, ზედაპირული წყლის ობიექტებში აღინიშნება მნიშვნელოვანი დაბინძურება.

კომუნალურ ნახმარ წყლებს უწინარეს ყოვლისა ეკუთვნის ფეხალური ჩამონადენი წყლები. აღსანიშნავია რომ ცენტრალიზებული საქანალიზაციო სისტემებისა საქართველოში 45 ქალაქს გააჩნია, რომელთაგან გამწმენდი ნაგებობები მხოლოდ 33-ს აქვს (უმრავლესობის ტექნიკური მდგომარეობა არადამატმაყოფილებიდა) [13].

კომუნალური კანალიზაციით დაბინძურება მტკვრის აუზში გვხვდება: მდ. მტკვარი - ქ.გორის, ბორჯომის, თბილისის, რუსთავის ქვემო; მდ.ვერე - ქ.თბილისის ფარგლებში; მდ. ალაზანი - ქ.თელავის ქვემო; მდ.ალგეთი - ქ.მარნეულის ქვემო; მდ.სურამელა - ქ.ხაშურის ქვემო და ა.შ.

ისეთი ადგილებში სადაც არ არის ეს სისტემები, ფეკალური მასა პირდაპირ მდინარეებში ჩაედინება. მდინარე მტკვარში სანიაღვრე კანალიზაცია ყოველგვარი გაწმენდის გარეშე ჩაედინება, სამომხმარებლო კანალიზაცია კი მხოლოდ მექანიკური გაწმენდის (გაფილტვრა, მექანიკური გამოლექვის) შემდეგ ხვდება, ამიტომაც გასაკვირი არცაა რომ კომუნალურ სექტორზე მოდის საქართველოს ზედაპირული წყლების დაბინძურების 67% [13].

საწარმოო და სამედიცინო დაწესებულებების ჩამდინარე წყლები, ასევე წარმოადგენებ წყლის რესურსების ძირითადი გამაჭუჭყიანებლების. მათგან, მდინარეებში ხვდება ისეთი სპეციფიკური დამაბინძურებლები, როგორიცაა ნავთობპროდუქტები, ფენოლები, მძმე მეტალების იონები და სხვა. ამის მაგალითია მდინარეები კაზრეთულა, მაშავერა და ხრამი, (მდ.მტკვრის აუზის ძირითადი შენაკადები), რომლებიც ინტენსურად ბინძურდებიან კომბინატ „მადნეულის“ ჩამდინარე (ნაური) წყლებით.

ქვეყნის წყლის რესურსებზე სერიოზულ უარყოფით გავლენას ახდენს აგრეთვე სოფლის მეურნეობა და მინერალური სასუქების გამოყენება. ზედაპირული წყლები დაბინძურებულია სასუქებით და პესტიციდების ნარჩენებით. არ არსებობს ზუსტი მონაცემები იმის შესახებ, რა დატვირთვაა წყალსატევებზე სასოფლო-სამეურნეო წარმოების შედეგად. მრავალ რეგიონში გამოვლენილია პესტიციდები და ქიმიკატები, რომლებიც ხმარებიდანაა ამოღებული. არ არის უზრუნველყოფილი ზედაპირული და მიწისქვეშა წყლების დაცვა დაბინძურებისაგან და მოსახლეობის ჯანმრთელობის დაცვა წყლების დაბინძურებისაგან.

ზედაპირული წყლების ერთ-ერთი პოტენციური დამაბინძურებელია მეცხოველეობისა და მეფრინგელეობის ფერმებიდან გაუწმენდავი ჩამდინარე წყლებიც. საქმე იმაში მდგომარეობს რომ როგორც დევლი, ასევე ახლად შექმნილი ფერმები არ არიან აღჭურვილი ეფექტური გამწმენდი ნაგებობებით და ნაკელის შეკრებისა და უტილიზაციის სისტემებით.

ზეწოლა, ზეწოლის სახე.

ამ თავში მოკლედ განიხილება და კიდევ ერთხელ ჩამოთვლილ იქნება იმ ზემოქმედებების შედეგი მდინარე მტკვრის აუზის წყლის სხეულებზე, რომელსაც ადგილი აქვს რეალობაში. იგი ეფუძნება ადამიანის საქმიანობის აღწერას წინა თავებში და ფოკუსირებული არის ყველა იმ მნიშვნელოვანი ზემოქმედებების შედეგის და ხასიათის შეფასებაზე, რომლებიც გამოვლენილია იმ ინფორმაციაზე დაყრდნობით, რომელიც წარმოდგენილია წინა თავებში. მე-2 თავში მოცემულ აღწერაზე დაყრდნობით შერჩეულია და გაანალიზებულია ზემოქმედების შემდეგი წყაროები: მუნიციპალური ჩამდინარე წყლები; სოფლის მეურნეობა (მემცნარეობა და მეცხოველეობა), სხვადასხვა ტიპის წარმოება, არასასურსათო მრეწველობა და სამთო მრეწველობა, პიდროველექტროსადგურები, ტრანსპორტი, მყარი ნარჩენები და სხვა. ყოველ ზემოქმედებასთან დაკავშირებით გამოტანილია დასკვნა იმის შესახებ, მნიშვნელოვანია იგი თუ არა. ზემოქმედება მნიშვნელოვნად ითვლება, თუ იგი თავისით ან სხვა ზემოქმედებებთან კომბინაციის შედეგად იწვევს იმას, რომ შეუძლებელი ხდება წყლის ობიექტებთან მიმართებაში ზუსტად განსაზღვრული მიზნების მიღწევა (მაგ. წყლის ობიექტისათვის კარგი სტატუსის მინიჭება).

3.2. მდ. მტკვრის პიდროველოგიური და პიდროველური მდგომარეობის ზოგადი დახასიათება

აღმოსავლეთ საქართველოს წყლის ძირითადი არტერიაა მდ.მტკვარი, რომელიც საქართველოს სახელმწიფო საზღვარს გადმოკვეთავს ხერთვისთან და მიედინება მისი ტერიტორიის 290 კმ-ზე წითელ ხიდამდე. ამ მანძილზე მასში მრავლად ჩაედინება მცირე, თუ დიდი შენაკადი და როგორც წყლის ძირითადი არტერია განიცდის ძლიერ ანთროპოგენულ დატვირთვას. ცხადია, რომ აღმოსავლეთ საქართველოს მდინარეების

ეკოლოგიური მდგომარეობის შეფასებაში ძირითადი აქცენტი უნდა გაკეთდეს მდ.მტკვარსა და მის შენაკადებზე.

მდ.მტკვარი შერეული საზრდოობის მდინარეა. იკვებება თოვლის ნადნობებით, გრუნტის წყლებით და მოსული ნალექებით, ამიტომ წყალდიდობა მასში ემთხვევა გაზაფხულს, როცა იზრდება მოსულ ნალექთა რაოდენობა და ინტენსიური ხდება თოვლის დრობა. რაც შეეხება წყალმცირობას, იგი დაიკვირვება ზაფხულისა და ზამთრის პირობებში. გაზომვებით დადგენილია, რომ გაზაფხულის ჩამონადენი (ხარჯი) წლიური ხარჯის 50%-ს შეადგენს, ხოლო ზაფხულსა და ზამთარში შესაბამისად 25.1 (მ³/მ) და 11%-ია შემოდგომით კი 13.9 [3,4].

მინერალიზაციისა და წყლის ჩამონადენის შიდაწლიური განაწილება მდ.მტკვრის-თვის მოცემულია ცხრილში 6 (საშუალო მრავალწლიური, 1975-1995წ).

ზამთარში და შემოდგომაზე ასეთი მცირე ჩამონადენი მიგვითითებს იმაზე, რომ მდინარის კვება გრუნტის წყლებით მცირეა, ვინაიდან ზამთრის პერიოდში მდინარე ძირითადად იკვებება ამ ტიპის წყლებით. წყალუხვობის მხრივ მდ.მტკვარს რიონის შემდეგ პირველი ადგილი უკავია საქართველოში. თბილისთან მისი საშუალო წლიური ხარჯი შეადგენს 204მ³/წ¹. მრავალწლიური პიდროლოგიური მონაცემები მდ.მტკვარზე მოცემულია ცხრილში 4 და 5.

ცხრილი 4. მდ. მტკვრის მინერალიზაციისა და წყლის ჩამონადენის საშუალო შიდაწლიური განაწილება

მდინარე კუნძული	წყალუხვებრები ფართობი, კმ ²	თვეები												საშ.
		I	II	III	IV	V	VI	VII	VIII	IX	X	XI	XII	
გ/ლ - %														
მტკვარი- ლიანი	10 500	234.9 3.6	232.4 3.7	255.9 5.1	190.1 19.8	139.1 28.2	172.0 12.3	213.2 5.9	220.1 4.2	235.5 4.0	222.4 4.6	202.8 4.9	210.4 3.7	210.7 100
მტკვარი- თბილისი	21 100	316.9 3.7	304.2 3.7	326.0 6.5	228.9 18.3	225.3 24.2	230.7 13.9	276.1 7.7	308.2 4.7	341.1 4.2	285.4 4.8	291.5 4.7	298.3 3.9	286.0 100
მტკვარი- ძეგვი	18 000	310.0 3.4	293.7 4.0	273.3 6.2	219.1 22.0	200.1 23.9	208.2 13.4	268.3 6.0	263.9 3.8	293.3 3.6	291.3 4.9	282.2 4.9	313.8 3.9	268.1 100

ცხრილი 5. მდ. მტკვრის წყლის ხარჯი, დონე და სიმღვრივე პუნქტების მიხედვით

პუნქტი	ს.ხეროვისი	ს.მინამე	ს.ლიკანი	ს.ძეგვი	ქ.თბილისი
წყლის საშუალო მრავალ- წლიური ხარჯი, მ ³ /წ ¹	32.6	55.6	84.1	143.6	205
წყლის მინიმალური მრავალწლიური ხარჯი, მ ³ /წ ¹	5.5	11.0	17.5	11.0	-
წყლის მაქსიმალური მრავალწლიური ხარჯი, მ ³ /წ ¹	710	1110	1520	19.10	2450
მაქსიმალური დონე, მ	2.24	1.68	1.94	2.83	3.28
სიმღვრივე, გ/მ ³	2700	-	7400	25500	120000

წყალუხვობა მდ.მტკვარში, როგორც წესი, მთავრდება ივლისში. მინიმალური დონე წყლისა კი ყველაზე სტაბილური და აღინიშნება იანვარ-თებერვალში.

წყლის სიმღვრივე დინების მიმართულებით იზრდება და თავის მაქსიმუმს აღწევს ქ.თბილისის ფარგლებში, რასაც განაპირობებს მისი კალაპოტის თავისებურება, ვაკე ადგილებში დაბალი სიჩქარე და სანაპირო ზოლის გასწვრივ ფხვიერი, ადგილად შლადი ალუვიური ნიადაგები. მდ.მტკვრის წყლის სიჩქარის საშუალო მრავალწლიური ცვალებადობა მოცემულია ცხრილში 6.

ცხრილი 6. მდ.მტკვრის წყლის სიჩარის ცვალებადობის საშუალო მნიშვნელობები უბნების მიხედვით, მ/წ

მონაცემი	სახ. საზოგადო-გადამზადებელი გდ.ფასაცვანი						სახ. ფარავანი ელექტრო-სამზადებელი გდ.ფ.მინატერიალი						სახ. განვითარებული სამზადებელი გდ. აგრძელები						სახ. აპარატურით გდ. სამზადებელი გდ. აგრძელები					
	მინ.	მაქს.	მინ.	მაქს.	მინ.	მაქს.	მინ.	მაქს.	მინ.	მაქს.	მინ.	მაქს.	მინ.	მაქს.	მინ.	მაქს.	მინ.	მაქს.						
მდინარის მუხელებში	0.3	0.5	0.4	0.8	0.4	0.7	0.7	1.5	0.8	1.0	1.0	1.5												
წქერებზე	-	1.3	1.0	2.0	1.3	2.0	1.3	2.0	1.3	2.0	1.5	3.5												

წყლის ტემპერატურის მაქსიმუმი 33°C მდ.მტკვარში დაიკვირვება ივლის-აგვისტოში. საშუალო თვიური ტემპერატურა, როგორც წესი 13°C -ის დაბლა არ უცემა, ხოლო ზოგჯერ 33°C -საც კი აღწევს. ტემპერატურის მინიმუმი აღინიშნება ზამთრის თვეებში და მერყეობს $1.8\text{-}3.3^{\circ}\text{C}$ -ის ფარგლებში. ყინულის საფარი მდინარეზე მდგრადი არ არის [3,4].

მდ.მტკვარი ქ.თბილისის ფარგლებში ხასიათდება საშუალო მინერალიზაციით, რომლის მნიშვნელობა მერყეობს $150\text{-}400\text{მგ/ლ}$ ფარგლებში. წყალში გვხვდება შემდეგი იონები: HCO_3^- , Cl^- , SO_4^{2-} , Ca^{2+} , Na^+ , K^+ , Mg^{2+} და სხვა (ცხრილი 8.). მდ.მტკვრის წყალი ხასიათდება საშუალო მინერალიზაციით, სუსტი ტუტე რეაქციით. იონების ჯამი დინების მიმართულებით თანდათან მატულობს ს.ხერთვისიდან საქართველოს სახელმწიფო საზღვრამდე. განსაკუთრებით მკვეთრად იზრდება იონების ჯამი ქ.თბილისის გავლის შემდეგ, რაც ცხადია შედეგია ანთროპოგენული დატვირთვისა მდ.მტკვრის წყალზე. მდ.მტკვრის წყლის მინერალიზაცია და ქიმიური შედგენილობის საშუალო მრავალ-წლიური მნიშვნელობები მოცემულია ცხრილში 7.

ცხრილი 7. მდინარის წყლის pH-ის მნიშვნელობის ცვლილების საზღვრები

მდინარე-პუნქტი	pH
მტკვარი-თბილისი	5.98-8.81
მტკვარი-რუსთავი	7.39-8.20
მტკვარი-ქეგვი	5.98-8.27
მტკვარი-ლიქანი	5.98-8.98
მტკვარი-მინაქე	7.42-8.61

ცხრილი 8. მდ. მტკვრის წყლის მინერალური ზაგვისა და ქიმიური შედგენილობის საშუალო მრავალწლიური

მდინარე პუნქტი	პიდროლო- გიური რეჟიმის ფაზა	იჯერება ნარი გველის გვ/მ³	გინერალი აცვი გვ/ლ	ღია ტემპერატურა გვ/ლ	pH	დაგანგუ- ლობა		ორნების შემცველობა, მგ/ლ							
						ჰიდრო- გენენგ ის ნატურალური გველი	ნიკრობ- ანგ ის ნატურალური გველი	HCO ₃ ⁻	SO ₄ ²⁻	CL ⁻	Ca ²⁺	Mg ²⁺	Na ⁺ +K ⁺	NO ₃ ⁻	NO ₂ ⁻
მტკვარი ზაპესი	წყალდიდობის დაცემა	1000	178.5	23	8.02	2.9	28.1	102.4	23.0	3.3	38.4	5.6	7.8	0.614	0.002
	ზაფხულის წყალმცირეობა	540	308.1	15	7.6	2.1	15.1	145.2	65.0	6.6	41.4	11.7	36.2	2.355	0.005
	საშემოდგომო კერიოდი	98.5	367.5	45	7.6	2.3	10.4	141.8	120.8	9.9	43.1	8.6	36.4	2.036	0.041
	ზამთრის წყალმცირეობა	180	439.1	15	8.2	2.1	54.2	203.4	106.4	11.3	68.7	12.1	37.1	3.711	0.104
მტკვარი ობილისი	წყალდიდობის დაცემა	1140	214.6	25	7.41	2.3	14.7	119.0	35.6	2.6	36.9	5.0	13.5	2.000	0.015
	ზაფხულის წყალმცირეობა	331	204.0	20	7.39	3.2	12.0	138.5	23.0	3.3	39.2	5.8	10.5	3.500	0.023
	საშემოდგომო კერიოდი	111	320.9	10	7.41	1.6	10.4	189.7	43.0	4.2	53.6	9.1	8.2	3.000	0.061
	ზამთრის წყალმცირეობა	111	340.1	7	7.61	1.3	9.3	186.7	58.0	3.9	50.9	11.1	18.5	2.000	0.001
მტკვარი რუსთავი	წყალდიდობის დაცემა	1250	184.5	22	7.9	3.3	29.7	160.8	80.3	15.3	67.1	12.6	26.2	2.030	0.024
	ზაფხულის წყალმცირეობა	304	201.7	20	7.75	3.0	21.8	175.7	95.7	21.5	81.9	16.3	35.8	2.370	0.034
	საშემოდგომო კერიოდი	108	300.0	12	7.4	2.8	15.7	137.9	77.1	16.7	70.2	15.2	29.7	1.950	0.044
	ზამთრის წყალმცირეობა	100	344.3	10	7.3	2.5	12.3	140.2	80.8	18.7	77.2	16.8	32.2	2.000	0.040

ცხრილი 9. მდინარის წყლის აგრებიულობის დახასიათება

მდინარე-კუნძული	CO ₂ , მგ/ლ			
	დაკვირვების შედეგად	წონასწორული	სიჭარბე წონასწორულობაზე	აგრესიული
წყალუხვობის პერიოდი				
მტკვარი-თბილისი	1.6 - 2.6	12.6 - 14.1	-	-
მტკვარი-ძეგვი	3.8 - 7.9	14.1 - 15.9	-	-
მტკვარი-ლიქანი	4.1 - 19.4	1.4 - 3.8	2.6 - 15.6	2.8 - 1.2
წყალმცირეობის პერიოდი				
მტკვარი-თბილისი	1.3 - 3.1	0.03 - 0.08	1.3 - 3.1	1.2 - 3.0
მტკვარი-ძეგვი	1.8 - 3.5	0.03 - 0.11	1.7 - 3.4	1.6 - 3.4
მტკვარი-ლიქანი	4.8 - 6.2	0.02 - 1.2	4.6 - 5.0	4.4

ჩატარებულმა გამოთვლებმა გვიჩვენა, რომ სტაციონალური გამაბინძურებელი წყაროები მდ.მტკვარში ქმნიან ე.წ. ფონურ გაჭუჭყიანებას, რადგან ისინი მოქმედებენ მუდმივად, ამავე დროს უნდა აღინიშნოს, რომ სხვადასხვა წყაროების მიერ გამოწვეული კონცენტრაციები იკრიბება და ქმნის მდინარის გაჭუჭყიანების საერთო ფონს. განსაკუთრებით საშიშია გამაჭუჭყიანებელ ნივთიერებათა ჩაშვება მდინარეში წყალმცირობის პერიოდში, რადგან მინარევები იღექება მდინარის ნაპირებსა და ფსკერზე, რაც ქმნის მეორადი გაჭუჭყიანების საფრთხეს, ხოლო წყალდიდობის პერიოდში მინარევები სწრაფად გადაიტანება ქალაქის ფარგლებს გარეთ, ამასთან კონცენტრაციის შემცირება ხდება უმნიშვნელოდ.

3.3. მდ. ლიახვის პიდროლოგიური და პიდროქიმური დახასიათება

მდინარე დიდი ლიახვი კავკასიონის მთავარი წყალგამყოფი ქედის სამხრეთ კალთაზე იღებს სათავეს ყელის ვულკანურ მთიანეთში. წარმოიქმნება მდინარეების ყადლასანისწყლისა და დესკონირდონის შეერთებით ზღვის დონიდან 2338მ-ზე. ერთვის მდინარე მტკვარს მარცხნიდან ქალაქ გორთან. სიგრძე მდინარე ყადლასანისწყლის სათავიდან 115კმ, აუზის ფართობი 2440კმ². მთავარი შენაკადებია ერმანისწყალი, ჯომალისწყალი, გუდისიდონი, პატარა ლიახვი და მეჯუდა. ლიახვის სათავეებში არის 12 მცირე მყინვარი, რომელთა ფართობი 5.5კმ²-ია. საზრდოობს თოვლის, წვიმის, მიწისქვეშა და მყინვარული წყლით. წყალდიდობა იცის მარტის ბოლოდან აგვისტოს დასაწყისამდე. წყალმცირობა - ზაფხულ-შემოდგომაზე, რომელსაც წვიმებით გამოწვეული წყალმოვარდნები არღვევს. მდგრადი წყალმცირობაა დეკემბრიდან თებერვლის ბოლომდე. გაზაფხულსა და ზაფხულზე მოდის წლიური ჩამონადენის 76%, შემოდგომზე 16%, ზამთარზე 8%, საშუალო წლიური ხარჯი ჯავასთან 20.3მ³/წმ, მდინარე პატარა ლიახვის შეერთების შემდეგ 47.3მ³/წმ. ლიახვზე ზამთარში პერიოდულად შეინიშნება ყინულნა-

პირისი, თოში და ბგიფი. იყენებენ სარწყავად. ლიახვიდან გაყვანილია კეხვის, ტირიფონისა და სალთვისის არხები. ოწყავს 62 ათას პა მიწას.

მდ.ლიახვის ქიმიური შედგენილობა წყლის ფაზის სხვადასხვა (ძირითადი) რეჟიმის-თვის მოცემულია ცხრილში 10.

ცხრილი 10. მდ. ლიახვის ქიმიური შედგენილობა

ჩამონადენის რეჟიმის ფაზა	pH	O_2 მგ/ლ	ოონების შემცველობა, მგ/ლ								კურიუნგვანელობა განვითარება		
			Ca ²⁺	Mg ²⁺	Na ⁺ + K ⁺	HCO ₃ ⁻	SO ₄ ²⁻	CL ⁻	NO ₃ ⁻	NO ₂ ⁻	იონების ჯაჭვი		
ზამთრის წყალმცირობა	15.0	10.40	7.59	46.3	10.6	26.2	190.3	39.4	9.4	2.00	0.020	324.2	0.9
		82.7											
გაზაფხულის წყალუხვობა	50.0	10.10	7.49	44.1	6.1	7.8	151.3	19.1	3.0	3.00	0.001	234.4	1.5
		87.0											
ზაფხულის წყალმცირობა	69.6	9.50	7.60	37.0	5.0	10.2	128.1	21.4	3.7	1.25	0.001	206.7	0.5
		108.0											
შემოდგომის წყალუხვობა	26.0	10.80	7.59	41.8	13.7	7.0	156.2	37.6	5.5	1.50	0.001	202.8	0.5
		68											

3.4. მდ. ალაზანისა და იორის ჰიდროლოგიური და ჰიდროქიმიური დახასიათება

ალაზანი, მდინარეა აღმოსავლეთ საქართველოში და აზერბაიჯანში. ის ქვემო დინების გასწვრივ გადის საქართველოსა და აზერბაიჯანის საზღვარზე. სიგრძე 390კმ, აუზის ფართობი 11.8 ათასი კვ.კმ. სათავე კავკასიონზე, მწვერვალი დიდი ბორბალოს აღმოსავლეთ ფერდობზე აქვს. ზემო დინებაში მთის მდინარეა, შემდეგ გადმოდის ალაზნის ვაკეზე და იტოტება. ერთვის მინგეჩაურის წყალსაცავს (აზერბაიჯანი). მდ.ალაზანი საზრდოობს მიწისქვეშა, წვიმისა და თოვლის წყლით. წლიური ჩამონადენის დაახლოებით 40%-ს მიწისქვეშა წყალი შეადგენს, წვიმისა და თოვლის 30-30%-ს. წყალდიდობა გაზაფხულსა და ზაფხულის პირველ ნახევარში იცის, მოვარდნა - შემოდგომაზე. ზამთარში წყალმცირეა. გაზაფხულზე მოდის წლიური ჩამონადენის 38.3%, ზაფხულზე - 29.1%, შემოდგომაზე - 20.3%, ზამთარში - 12.3%. არ იყინება. ალაზნის მარცხენა შენაკადებია სტორი, ლოპორა, ინწობა, ჩელთი, დურუჯი, ავანისხევი, კაბალი, ლაგოდეხისწყალი, მაწიმისწყალი, გიშისწყალი (აგრიჩაი) და სხვა. მარჯვენა ილტო, თურდო, კისისხევი, ჭერემისხევი, ფაფრისხევი და სხვა. ზოგი შენაკადი ღვარცოფულია (მაგ. დურუჯი). ალაზანს მინგეჩაურის წყალსაცავში წლიურად შეაქვს 2.5 მლრდ.კუბ.მ. წყალი. იყენებენ სარწყავად.

მდ.ალაზანის ქიმიური შედგენილობა წყლის ფაზის სხვადასხვა (ძირითადი) რეჟიმისათვის მოცემულია ცხრილში 11 მდინარე ალაზანი ძირითადად გამოიყენება სარწყავად. იორი - მდინარეა აღმოსავლეთ საქართველოში და აზერბაიჯანში. სათავეს იდებს კავკასიონის სამხრეთ კალთაზე, მწვერვალ ბორბალოსთან, ზღვის დონიდან 2600მ. ზემოწელში მიედინება ხეობაში, შუაწელზე კვეთს სამგორის ქვაბულს და ერთვის მინგეჩაურის წყალსაცავს (აღრე უერთდებოდა მდინარე ალაზანს). იორის სიგრძე 320კმ-ია, აუზის ფართობი - 4650კვ.კმ, წყლის საშუალო ხარჯი - 12კუბ.მ/წმ (შესართავიდან 43კმ-ში), საზრდოობს ძირითადად თოვლისა და წვიმის წყლებით. იორის შენაკადებია: მარცხენივ -

საგომა, გომბორი, ორვილი, ლაფიანსევი; მარჯვნივ - ხაჩრულა, ქუსნო, აძეძი, გორანა და სხვა. ქვემო დინებაში აქვს დროებითი შენაკადები.

ცხრილი 11. მდინარე ალაზანის ქიმიური შედგენილობა

ჩამონადენის რეჟიმის ფაზა	ტემპერატური გ/ლ	OO ₂ გ/ლ	pH	ოთხების შემცველობა, მგ/ლ								პერმანენტული ანალიზის დღე	
				Ca ²⁺	Mg ²⁺	Na ⁺ + K ⁺	HCO ₃ ⁻	SO ₄ ²⁻	CL ⁻	NO ₃ ⁻	NO ₂ ⁻	თონების ჯაჭვი	
ზამთრის წყალმცირობა	28.0	8.27 70	7.6	42.8	6.0	5.5	70.2	16.1	2.0	0.2	0.014	221.9	0.5
გაზაფხულის წყალუხვობა	122.2	8.27 75	7.6	38.3	3.0	4.0	80.5	15.7	1.4	0.1	0.012	179.9	0.7
ზაფხულის წყალმცირობა	70.0	7.60 75	7.7 8	30.0	7.5	11.2	103.9	14.4	1.6	0.2	0.008	209.2	1.2
შემოდგომის წყალუხვობა	36.2	7.00 66	7.6 0	40.2	5.7	5.1	120.4	15.1	1.4	0.3	0.014	190.3	1.3

იორზე აგებულია მარეგულირებელი სიონის წყალსაცავი. იორის წყლით შეიქმნა თბილისის წყალსაცავი („თბილისის ზღვა“). ივრის წყლით ირწყვება 90 ათას ჰექტარზე მეტი ფართობი ივრის ზეგანზე. მდინარეზე აგებულია რამდენიმე სარწყავი სისტემა, რომელთაგან მთავარი სამგორის ზემო და ქვემო მაგისტრალური არხებია. მდ. იორის ქიმიური შედგენილობა წყლის ფაზის სხვადასხვა რეჟიმისათვის მოცემულია ცხრილში 12.

ცხრილი 12. მდინარე იორის ქიმიური შედგენილობა

ჩამონადენის რეჟიმის ფაზა	ტემპერატური გ/ლ	OO ₂ გ/ლ	pH	ოთხების შემცველობა, მგ/ლ								პერმანენტული ანალიზის დღე	
				Ca ²⁺	Mg ²⁺	Na ⁺ + K ⁺	HCO ₃ ⁻	SO ₄ ²⁻	CL ⁻	NO ₃ ⁻	NO ₂ ⁻	თონების ჯაჭვი	
ზამთრის წყალმცირობა	15.4	11.80 88	7.81	49.4	4.0	3.0	112.6	7.6	0.6	0.58	0.018	227.1	0.8
გაზაფხულის წყალუხვობა	23.9	9.25 82	7.90	42.3	3.1	6.8	87.4	5.8	0.9	0.70	0.002	211.4	3.2
ზაფხულის წყალმცირობა	12.2	9.80 86	8.20	27.8	4.2	16.7	94.2	6.4	1.7	0.32	0.025	209.1	1.2
შემოდგომის წყალუხვობა	17.2	8.60 83	7.00	39.7	5.1	3.6	86.9	7.1	1.1	0.41	0.009	190.7	2.9

მდინარე იორის წყალი ძირითადად გამოიყენება სასმელად და სარწყავად.

3.5. მდინარეების ხრამის, კაზრეთულასა და მაშავერას ჰიდროლოგიური და ჰიდროქიმიური დახასიათება.

ხრამი – მდინარე აღმოსავლეთ საქართველოში, მტკვრის მარჯვენა შენაკადი. ზემო წელში მას ქციას უწოდებენ. ხრამი სათავეს იღებს თრიალეთის ქედის კალთებზე, მიედინება ღრმა ხეობაში. მდინარის სიგრძე 201კმ-ია, აუზის ფართობი - 8340კვ.კმ, წყლის საშუალო ხარჯი - 51კუბ.მ/წმ, მაქსიმალური - 448კუბ.მ/წმ. საზრდოობს უპირატესად თოვლით, არ იყინება, ქვემო წელში გამოიყენება სარწყავად. ხრამზე აგებულია წალკის წყალსაცავი და სამი ჰიდროელექტროსადგური. ხრამის შენაკადებია: დებედა და მაშვერა (მარჯვენა). მდ. ხრამის ძირითადი ჰიდროლოგიური და ჰიდროქიმიური მასასიათებლები მოცემულია ცხრილში 13.

კერილი 13. მდინარე ხრამის ქმიური შედგენილობა და ძირითადი პიდროლოგიური მახასიათებლები

მდ.ხრამის წყალი გამოიყენება სარწყავად. მისი შენაკადებიდან ეკოლოგიური მდგრადი გადამზადვის მიზანით გამოიყენება საკურადღებო კაზრების და მაშავერა.

მდ.კაზრეთულა მცირე მდინარეთა ჯგუფს მიეკუთვნება, ჩაედინება მდ.მაშავერაში და ორივე ერთად მდ.ხრამში. მდ.კაზრეთულა სიმცირის გამო ჰიდროლოგიური და ჰიდროქიმიური თვალსაზრისით ნაკლებად არის შესწავლილი. შეიძლება მხოლოდ ითქას, რომ ჰიდროქიმიური თვალსაზრისით მიეკუთვნება ჰიდროგრაბონატულ მდინარეთა კლასს, წყალი გამჭვირვალეა, არა აქვს ფერი და სუნი. მისი ქიმიური შედგენილობა და წყლის ხარისხის მაჩვენებლები მკვეთრად შეიცვალა მაღნეულის სამოო-გამამდიდრებელი კომპი-ნაცის ამუშავების შემდეგ .

მდ.მაშავერა ჩამოედინება მთა ქმლიკლის (3056მ) სამხრეთ ფერდობებიდან, მისი სათავე 2003 არის დაშორებული სოფ.ფარავანს. იგი მდ.ქცია-ხრამის მარჯვენა შენაკადია და უერთდება მას სათავიდან 41-ე კმ-ზე. სიგრძე 66 კმ-ია, წყალშემკრები ფართობი 1390მ² შეადგენს. მდინარის ყველა შენაკადი მაშავერას უერთდება აუზის მთიანი ზონის ფარგლებში, ქვევით 27 კმ-ის სიგრძეზე მას არა აქვს არც ერთი მსხვილი შენაკადი, გარდა მდ.ბოლნისისა. მსხვილი შენაკადების საერთო რაოდენობა 10-მდეა, აქვს აგრეთვე მცირე შენაკადებიც, რომლებსაც მიუკუთვნება მდ. ქაზრეთულა.

მდ.მაშავერას აუზი მოიცავს მაღალმთიანი ზონის საკმაოდ დიდ ტერიტორიას 4000-დან 3150მ-მდე, ხასიათდება როგორი რელიეფით, სადაც გახვდება როგორც ხევები, ასევე

ვაკე მონაკვეთები. მდ.მაშავერას განი იცვლება 2მ-დან 20მ-ის ფარგლებში, ძირითადი კი 12მ-ია; სიღრმე მერყეობს 0.4-1.2მ-ის დიაპაზონში, უფრო ხშირად 0.8მ-ია. დინების სიჩქარე ცვალებადობს 0.6-2.0მ/წმ-ის ფარგლებში, უფრო ხშირად იგი უდრის 1.2მ/წმ-ს.

მდინარის ფსკერი ზედა ნაწილში ძირითადად ქვიანია, დაბლობში კი ქვიშნარი. მდინარის მთელ სიგრძეზე იგი ხშირად განიცდის დეფორმაციას.

მდ.მაშავერა ხასიათდება გაზაფხულის წყალუხვობით და არამდგრადი წყალმცირობით წლის დანარჩენ დროს. წყლის დონის მატება ემთხვევა აპრილის დასაწყისს და მაქსიმუმს აღწევს მაისის შუა რიცხვებში. ზაფხულის წყალმცირობა სუსტად არის გამოსახული. შემოდგომის ნიაღვრები მცირე გავლენას ახდენენ წყლის დონეზე. ზამთრის წყალმცირობა კი მდგრადია. მდ.მაშავერა იკვებება ატმოსფერული ნალექებითა და გრუნტის წყლებით.

მდინარის წყლის საშუალო თვიური ტემპერატურა ზამთრის პერიოდში 2.2-3.3-ია, ზაფხულში კი 12.9-24.5. მდინარის ძირითადი ჰიდროლოგიური მახასიათებლები მოცემულია ცხრილში 14.

ცხრილი 14. მდ.მაშავერას ძირითადი ჰიდროლოგიური მახასიათებლები

მახასიათებელი	სათავე	მდ.მოშევანის შესართავამდე	სოფ.დიდი დმანისი	მდ.ბოლნისის შესართავამდე	შესართავი
წყალშემკრები ფართობი, კმ ²	147	373	570	855	1390
აუზის საშუალო სიმაღლე, მ.	2240	1820	1660	1390	1240
საშუალო მრავალწლიური ხარჯი მ ³ /წმ	1.90	3.77	5.09	5.90	7.78
75% უზრუნველყოფა	1.37	2.72	3.72	4.26	5.62
97% უზრუნველყოფა	0.79	1.57	2.13	2.46	3.24
დონის მერყეობის მრავალწლიური ამპლიტუდა, მ, (საშუალო/უდიდესი)	-	-	0.97/1.97	-	-

მდ. მაშავერას წყალს იყენებენ სარწყავად. მდინარეზე არის რამდენიმე სარწყავი არხი. მის ტერიტორიაზე, სოფ.კაზრეთის რაიონში ხდება სპილენძის მაღნის მოპოვება, ფუნქციონირებს მაღნეულის სამთო-გამამდიდრებული კომბინატი.

მდ.მაშავერას აუზის წყლები ქიმიური შედენილობით ჰიდროკარბონატულია, ანიონებიდან მასში ჭარბობს სულფატები და ქლორიდები, კათიონებიდან - ნატრიუმი, კალიუმი და მაგნიუმი. ჰიდრომეტეოლოგიის სამსახურის დაკვირვებების მასალის ანალიზის საფუძველზე მდ.მაშავერას მინერალიზაციისა და ქიმიური შედენილობის საშუალო მრავალწლიური მონაცემები წარმოდგენილია ცხრილებში 15-16.

ცხრილი 15. მდ.მაშვერას (სოფ.კაზრულის ზემოთ) მინერალიზაციისა და ქიმიური შედეგნილობის საშუალო მრავალწლიური მონაცემები

	pH	შეტყობილი ნაწილები	O ₂	მინერალიზაცია	ჰერმანი-ჟანევას დონა	ებძ	გ/ლ							საშროო ე	შეტყობილი ნაპობები	ციანის განვითარების განა	СПАВ
							N _{NH4} ⁺	N _{NO3} ⁻	N _{NO2} ⁻	Al ³⁺	Zn ²⁺	Pb ²⁺	Mn ²⁺				
ჯამი	458.63	3178	585.33	14671	146.82	40.42	24.82	78.38	1.999	6.32	0.356 0	3.329	0.999 0				
რაოდენობა	61	62	63	61	21	19	60	60	58	44	31	58	62				
საშუალო	7.52	83.52	9.29	240.51	6.9	2.13	0.414	1.306	0.034	0.164	0.011	0.057	0.016 1				
	ДДЕ	ДДТ	α- ГХЦГ	γ- ГХЦГ	Ni ²⁺	Cu ²⁺	V ⁵⁺	Sn ²⁺	Ti ⁴⁺	Al ³⁺	Zn ²⁺	Pb ²⁺	Mn ²⁺				
	გბ/ლ				გბ/ლ												
ჯამი	0.0632	0.4447	0.2359	0.211	0.0374	0.3171	0.0319	არა	0.0841	0.578	1.629	არა	0.270 1				
რაოდენობა	21	25	21	23	31	35	31	28	35	35	29	28	28				
საშუალო	0.0030	0.0177	0.011	0.0091	0.0018	0.0090	0.0010	არა	0.0024	0.016 5	0.056 1	არა	0.009 6				

ცხრილი 16. მდ.მაშვერას (სოფ.კაზრულის ქვემოთ) მინერალიზაციისა და ქიმიური შედეგნილობის საშუალო მრავალწლიური მონაცემები

	pH	შეტყობილი ნაწილები	O ₂	მინერალიზაცია	ჰერმანი-ჟანევას დონა	ებძ	გ/ლ							საშროო ე	შეტყობილი ნაპობები	ციანის განვითარების განა	ზანა
							N _{NH4} ⁺	N _{NO3} ⁻	N _{NO2} ⁻	Al ³⁺	Zn ²⁺	Pb ²⁺	Mn ²⁺				
ჯამი	438.63	7518	543.01	19079	144.26	31.71	28.27	90.95	1.020	6.776	0.495	6.219	1.711				
რაოდენობა	59	57	59	57	20	16	57	58	45	40	30	56	60				
საშუალო	7.43	131.89	9.20	334.71	7.21	1.948	0.496	1.568	0.023	0.169	0.017	0.111	0.028				
	ДДЕ	ДДТ	α- ГХЦГ	γ- ГХЦГ	Ni ²⁺	Cu ²⁺	V ⁵⁺	Sn ²⁺	Ti ⁴⁺	Al ³⁺	Zn ²⁺	Pb ²⁺	Mn ²⁺				
	გბ/ლ				გბ/ლ												
ჯამი	0.0608	0.4038	0.1705	0.2082	0.0779	0.5257	0.0099	არა	0.853	0.810	2.286	0.013	0.625 4				
რაოდენობა	20	22	20	23	29	32	27		32	32	24	25	32				

4. პგლევის მეთოდის

წინამდებარე ნაშრომში მდ.მტკვრის აუზის სრული ჰიდროექოქიმიური დახასიათების მიზნით შესწავლილია მდინარეთა წყლები, მათი ტივტივა ნატანი, ფსკერული ნალექები, მიმდებარე ტერიტორიების ნიადაგები. ძირითადი აქცენტი კეთდებოდა ბიოგენურ ნაეროებსა და მძიმე ლითონებზე. ამავდროულად ზედაპირული წყლების ყოველ სინჯში ლაბორატორიულ პირობებში ისაზღვრებოდა წყლის ხარისხის განმსაზღვრელი 30 ინგრედიენტი. ზოგიერთი წყლის სინჯში ჩატარებულ იქნა მიკრობიოლოგიური ანალიზი. დაკვირვების ყოველ პუნქტში მობილური აპარატით “HORIBA” იზომებოდა წყლის ფიზიკურ-ქიმიური მაჩვენებლები: სიმაღლე ზღვის დონიდან, (მ); ტემპერატურა ($^{\circ}\text{C}$); მარილიანობა (%); კონდუქტივიტი (მსმ/სმ); pH (წყალბადი-ონთა კონცენტრაცია); გახსნილი ჟანგბადი (მგ/ლ, %); ტურბიდიმეტრია (NTU); TDS (მგ/ლ); პოტენციომეტრია.

ზედაპირული წყლების ნიმუშებს ვიდებდით და ვინახავდით ჰიდროქიმიურ ლი-ტერატურაში მითითებული მეთოდების შესაბამისად. [14-17].

წყლის ფაზიდან ტივტივა ნატანის გამოსაყოფად წყლებს ვფილტრავდით ლურჯზოლიან ფილტრში. ფსკერულ ნალექებს ვიდებდით პოლიეთოლენის მილების დახმარებით. გამოყოფილ შეწონილ ნივთიერებებს და ფსკერულ ნალექებს ვაშრობდით, წონითი მეთოდით ვსაზღვრავდით მათ ტენიანობას და ვინახავდით ბიუქსებში.

ნიადაგის ნიმუშებს ვიდებდით საკვლევ მდინარეთა მიმდებარე ტერიტორიაზე (მდინარის ნაპირთან ახლოს), ზედაპირიდან 0-15 სმ სიღრმეზე შესაბამისი ტექნიკის დახმარებით. ნიმუშები მიგვყავდა ჰაერმშრალ მასამდე, ვსაზღვრავდით მათში ტენიანობას წონითი მეთოდით და ვინახავდით ბიუქსებში. წყლის ხარისხის განმსაზღვრელ ფიზიკურ-ქიმიურ სიდიდეებს და მთავარი იონების შემცველობას ვსაზღვრავდით ჰიდროქიმიურ პრაქტიკაში საერთაშორისო დონეზე აღიარებული მეთოდების გამოყენებით. Na^{+} , K^{+} , Ca^{2+} და Mg^{2+} ვსაზღვრავდითფოტომეტრული მეთოდით ფიფ-58 მარგის აღებად ფოტომეტრზე.

ბიოგენურ ნაეროებს ვსაზღვრავდით გაფილტრულ და გაციებულ სინჯებში აღებიდან 1-3 დღის განმავლობაში შესაბამისი მეთოდიკის გამოყენებით.

წყლის, ტივტივა ნატანის, ფსკერული ნალექებისა და ნიადაგის ნიმუშებში მიმდებილობები ისაზღვრებოდა ატომურ-ატსორბციული მეთოდით ხელსაწყო AAS-1N გამოყენებით. ნიმუშების დასამუშავებლად ვიყენებდით საერთაშორისო დონეზე აღიარებულ მეთოდიკას.

წყლის ნიმუშებში მიკრობიოლოგიური ანალიზი სრულდებოდა მემბრანულ-ფილტრაციის მეთოდის გამოყენებით, რომელიც შესაბამება ISO-სტანდარტებს და შესაბამისად აკმაყოფილებს თანამედროვე მოთხოვნებს.

5. მიღებული შედეგების ანალიზი

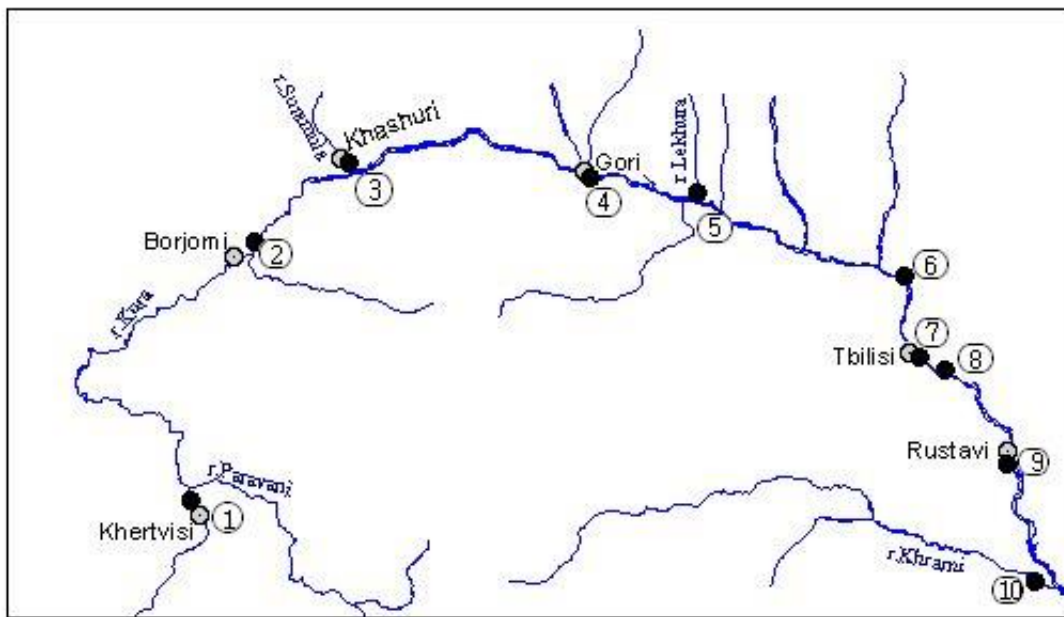
დაკვირვების ობიექტი - მდ.მტკვარი აღმოსავლეთ საქართველოს წყლის ძირითადი არტერიაა, მიედინება მჭიდროდ დასახლებულ და ეკონომიკურად განვითარებულ რეგიონებში და ამავე დროს წარმოადგენს ტრანსსასაზღვრო მდინარეებს. სრული და სანდო მონაცემების მისაღებად ჩატარებულია მდინარეთა წყლების, მათი ტივტივა ნატანის, ფსკერული ნალექების, მიმდებარე ტერიტორიების ნიადაგების ანალიზი. ძირითადი

აქცენტი კეთდებოდა ბიოგენურ ნაერთებსა და მძიმე ლითონებზე. ამავდროულად ზედაპირული წყლების ყოველ სინჯში ლაბორატორიულ პირობებში ისაზღვრებოდა წყლის ხარისხის განმსაზღვრელი 30 ინგრედიენტი. ზოგიერთი წყლის სინჯში ჩატარებულ იქნა მიკრობიოლოგიური ანალიზი.

ურადსალებია, რომ მიღებულ მონაცემთა საფუძველზე გამოანგარიშებული წყლის ხარისხის ინდექსების გამოყენებით, მდინარე მტკვრის თვითონეულ სეგმენტს და მის ზოგიერთ შენაკადს, კვროკომისიის მოთხოვნების გათვალისწინებით მიენიჭა ხარისხის შესაბამისი კლასიფიკაცია.

სამუშაო პერიოდში სულ შესრულებულია 200-ზე მეტი ქიმიური ანალიზი წყლის ნიმუშებში; 52 ანალიზი ნიადაგის და ამდენივე ანალიზი ფსკერული ნალექების ნიმუშებში; ჩატარებულია 23 მიკრობიოლოგიური ანალიზი. მიღებული შედაგები წარმოდგენილია ცხრ.1-15 ის. დანართი.

კვლევის ობიექტის სიდიდის გამო, მდ.მტკვარი და გუმავით შემდეგ სეგმენტებად: ხერთვისი, ბორჯომი, ხაშური, გორი, თბილი, რუსთავი (ნახ. 1).



ნახ.1. დაგვირვების პუნქტების განაწილების სქემა მდ.მტკვარსა
და მის შენაკალებზე

მდ.მტკვრის აუზის დაბინძურების ხარისხის დასახასიათებლად ჩვენს მიერ გამოყოფილ იქნა დამაბინძურებელ ინგრედიენტთა შემდეგი ჯგუფები: მთავარი კათიონები, მთავარი ანიონები, ბიოგენური ელემენტები, მძიმე ლითონები. როგორც დანართის ცხრილებიდან 2,4,6,8,10,12,14. ჩანს, მდ.მტკვრის წყალში დინების მიმართულებით (ხერთვისი-რუსთავი) 2009-2012 წლების განმავლობაში მთავარი კათიონების შემცველებები მატულობს და შესაბამისად მათი კონცენტრაციები მერყეობს:

- K^+ -სთვის 0.9 (ბორჯომი) – 2.1 (წითელი ხიდი) მგ/ლ;
- Na^+ -სთვის 4.0 (გორი) – 29.4 (წითელი ხიდი) მგ/ლ;
- Mg^{++} -სთვის 5.0 (ბორჯომი) – 8.4 (გაჩიანი) მგ/ლ;

- Ca^{++} -თვის 23.0 (ბორჯომი) – 59.0 (გაჩიანი) მგ/ლ.

უნდა აღინიშნოს, რომ მათი მნიშვნელობები მდ.მტკვრის წყალში ნაკლებია და პრაქტიკულად არ აჭარბებს შესაბამის ზღვრულად დასაშვებ კონცენტრაციებს (ზდე).

წყალში Na^{+} -ის მაღალი კონცენტრაციები K^{+} -ის შემცველობებთან შედარებით (თითქმის 10-ჯერ აღემატება) აისხება იმით, რომ K^{+} არის მეტად აუცილებელი პროდუქტი მცენარეთა საფარისათვის და იგი აითვისება ბევრად უფრო დიდი ინტენსივობით, ვიდრე Na^{+} , ასევე K^{+} ბევრად უფრო მტკიცედაა შთანთქმული ნიადაგში არსებულ კომპლექსებში. ხოლო, რაც შეეხება Ca^{++} -ის შემცველობის მატებას წყალში დინების მიმართოლებით, აისხება საქართველოს ნიადაგების სპეციფიურობით (ანუ ნიადაგში Ca^{++} -ის მაღალი შემცველობით) და შესაბამისად მათი წყალში გახსნისას იზრდება კონცენტრაციებიც.

თუ გადავხედავთ სტატისტიკურ მონაცემებს ბოლო 20 წლის განმავლობაში, აღმოვაჩენთ, რომ მთავარი კათიონების შემცველობები მდ.მტკვრის წყალში ბოლო წლების განმავლობაში შედარებით მცირდება.

ძირითად პარამეტრებს წყლის ხარისხის დადგენის პროცესებში კათიონებთან ერთად წარმოადგენენ მთავარი ანიონებიც (SO_4^{2-} , Cl^{-} , HCO_3^{-} , CO_3^{2-}). მათი კონცენტრაციები ასევე მოცემულია ცხრილებში 8-14.

როგორც ვხედავთ, SO_4^{2-} -ისა და Cl^{-} -ის იონების შემცველობები მდ.მტკვრის წყალში ნაკლებია მათ ზდ-ზე, თუმცა მათი კონცენტრაციები მდინარის დინების მიმართულებით (ხერთვისი-წითელი ხიდი) საქმაოდ იზრდება (განსაკუთრების ეს ითქმის სულფატიონებზე). მიუხედავად იმისა, რომ ამ ორი ინგრედიენტის არსებობა წყალში მიუთითებს ზედაპირულ წყლებში ანთროპოგენული დატვირთვის არსებობას, ჩვენ ვთვლით, რომ სულფატიონების კონცენტრაციის მატება მდ.მტკვარში მაჩვენებელია იმ ბუნებრივი ფონისა, რომელსაც მდ.მტკვარი გაივლის მოცემულ ტერიტორიაზე, იმდენად, რამდენადაც მდინარის ქვედა წყლში მიმდებარე ნიადაგის 70-80%-ს როგორც ცნობილია, შეადგენს თაბაშირს - $\text{CaSO}_4 \cdot 2\text{H}_2\text{O}$.

მთავარი კათიონებისა და ანიონების შემცველობების მიხედვით შეგვიძლია ვთქვათ, რომ მდ.მტკვარი არის პიდროკარბონატული, Ca^{++} -ის გამოკვეთილი შემცველობით, რაც შეესაბამება საქართველოს მოცემულ ტერიტორიაზე გრუნტის შემადგენლობას.

მნიშვნელოვან კომპონენტებს წარმოადგენენ ბიოგენური ელემენტები (აზოტი, ფოსფორი), რომლებიც ასახავენ ზედაპირული წყლების დაბინძურების ხარისხს და არიან მათი ინდიკატორები. განსაკუთრებით საინტერესო მათი ცალკეული ფორმების (NO_2^- , NO_3^- , NH_4^+ , PO_4^{3-}) შემცველობების კონტროლი წყალში, რომლებიც ახასიათებენ ისეთი პროცესების გაძლიერებას, როგორიცაა ფერალური დაბინძურება, ევტროფიკაცია, გამოწვეული კომუნალური და სასოფლო-სამეცნიერო ჩამდინარე წყლების ჩაშვებებით მდინარეში. საქართველოს ფონზე ამ კომპონენტების კონტროლი იმენს განსაკუთრებულ მნიშვნელობას, რადგან მდ.მტკვარში ჩამდინარე კომუნალური წყლების 80-90% აღარ ექვემდებარება როგორც მექანიკურ, ასევე ბიოქიმიურ გაწმენდას.

როგორც დანართის ცხრილებიდან (1,3,5,7,9,11,13,15) ჩანს, ნიტრიტ-იონის კონცენტრაციები მდ.მტკვრის წყალში იზრდება მდინარის დინების მიმართულებით, განსაკუთრებით მკვეთრად ქქ.თბილისისა და რუსთავის მონაკვეთში. კერძოდ, მათი კონცენტრაციები მოცემულ წერტილებში შესაბამის ზდ-ს (0,02 მგ/ლ) აღემატება 3-4-ჯერ. ადსანიშნავია, რომ ნიტრიტ-იონების მაღალი კონცენტრაციები აღინიშნება მდ.სურამულასა და ლეხურას წყლებშიც, სადაც მათი შემცველობა აღემატება შესაბამის ზდ-ს 10-20-ჯერ, რაც ჩვენის აზრით ყურადსაღებია.

აუცილებელია აღვნიშნოთ, რომ ამონიუმის იონის კონცენტრაციები აჭარბებს შესაბამის ზდ-ს (0,39 მგ/ლ) 1,5-5-ჯერ დაკვირვების პუნქტების უმეტეს ნაწილში. მისი

კონცენტრაციის მატება იწყება უკვე ქბორჯომიდან და პიკს აღწევს ქქ.თბილისსა და რუსთავში.

2008 წელს აზოგის ფორმების კონცენტრაციები მდ.მტკვრის წყალში ვარირებდნენ შემდეგ დიაპაზონებში:

NO_2^- - 0.006 (ხერთვისი) – 0.157 მგ/ლ (თბილისი) (ზღვა – 1,0 მგ/ლ);

NO_3^- - 0.007 (ხერთვისი) – 0.208 მგ/ლ (თბილისი) (ზღვა – 10 მგ/ლ);

NH_4^+ - 0.184 (ხერთვისი) – 2.33 მგ/ლ (ხაშური) (ზღვა – 0,39 მგ/ლ).

2009 წელს კი მათი კონცენტრაციები იცვლებოდა:

NO_2^- - 0.017 (ხერთვისი) – 0.382 მგ/ლ (რუსთავი) (ზღვა – 1,0 მგ/ლ);

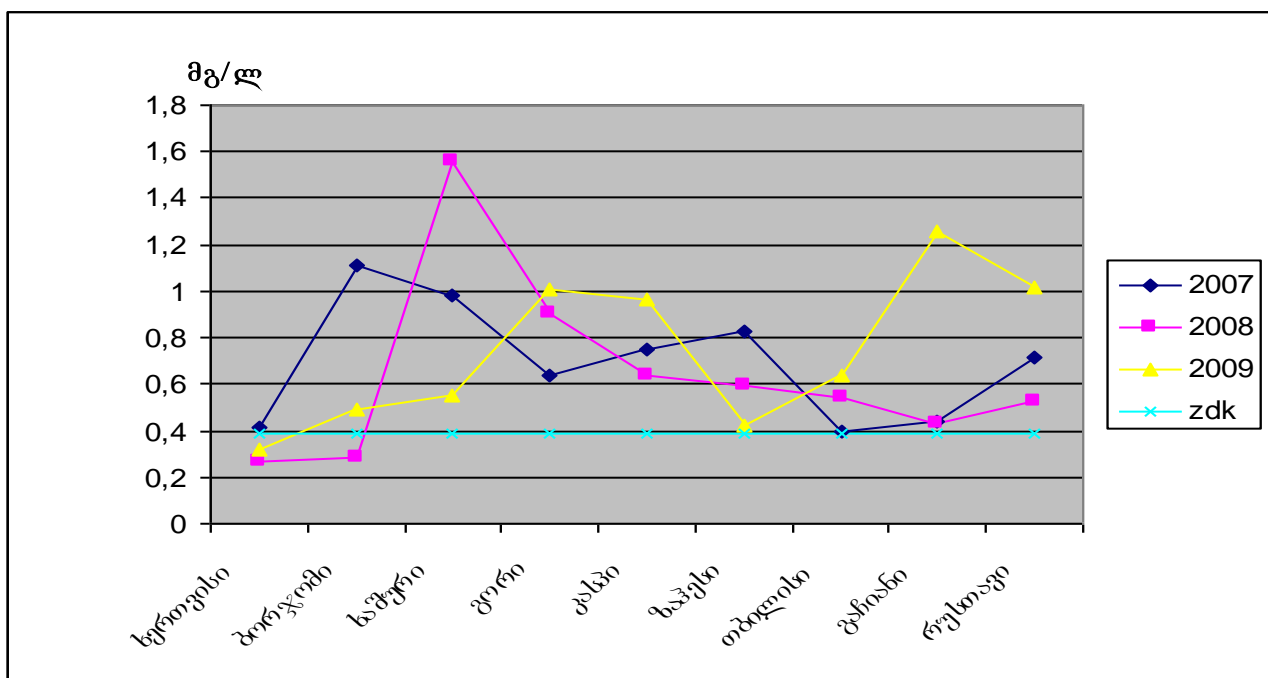
NO_3^- - 0.130 () – 0.920 მგ/ლ (ხაშური) (ზღვა – 10 მგ/ლ);

NH_4^+ - 0.142 (რუსთავი) – 2.88 მგ/ლ (გაჩიანი) (ზღვა – 0,39 მგ/ლ);

NH_3 – 0.003 (ხერთვისი, ბორჯომი) – 0.017 მგ/ლ (რუსთავი) (ზღვა – 0.05 მგ/ლ).

აზოგის ფორმებიდან მხოლოდ ამონიუმის იონის შემცველობა აჭარბებდა შესაბამის ზღვას 2009 წელს. ეს ტენდენცია განსაკუთრებით აღინიშნება ზაფხულის წყალმცირობის პერიოდში, როცა ამ იონის კონცენტრაციის მატება იწყება უკვე ქბორჯომიდან და მაქსიმუმს აღწევს თბილისი-რუსთავის მონაკვეთში.

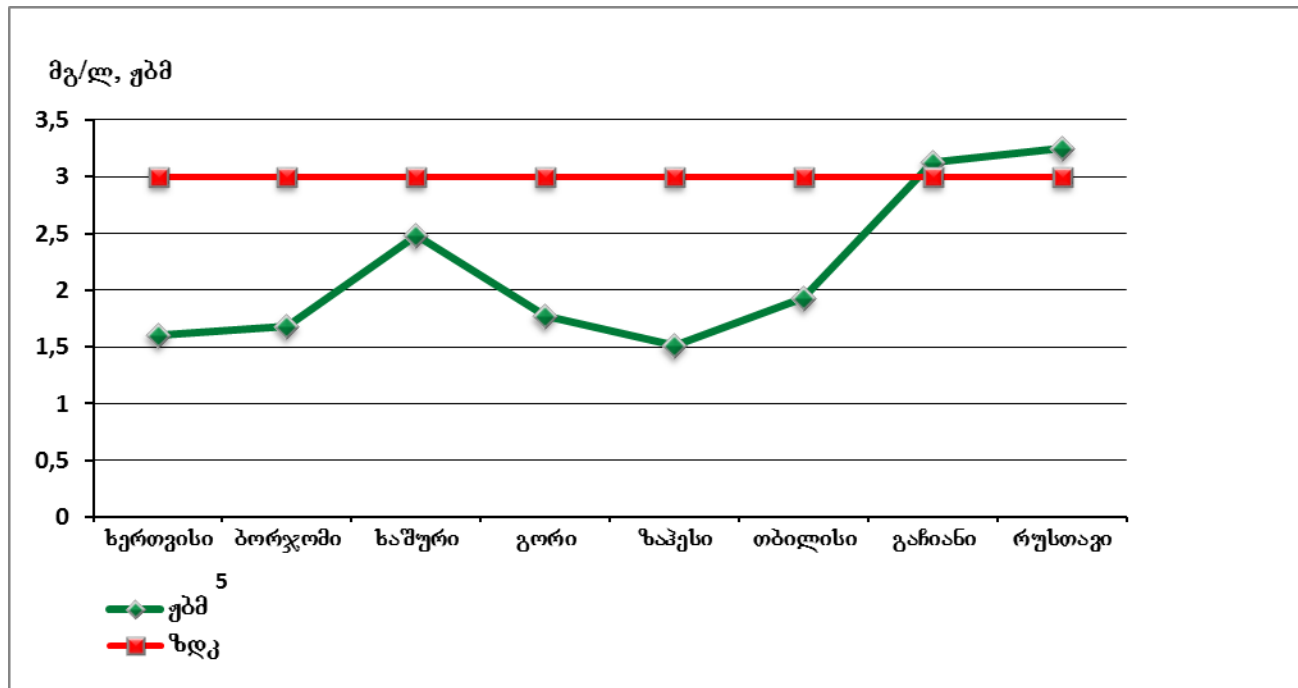
ყურადღებას ვამახსევილებოთ ამ იონის 3 წლიან მსვლელობაზე, რადგან მისი კონცენტრაცია შესაბამის ზღვას ხშირად ბორჯომშიც კი აჭარბებს და ეს ტენდენცია არ დარღვეულა 2009-2012 წლებში (ნახ.2.), მხოლოდ ხერთვისში არის მისი კონცენტრაცია ზღვაზე ნაკლები.



ნახ.2. ამონიუმის იონის კონცენტრაციების ცვლილების დინამიკა მდ.მტკვრის წყალში, 2009-2012 წწ.

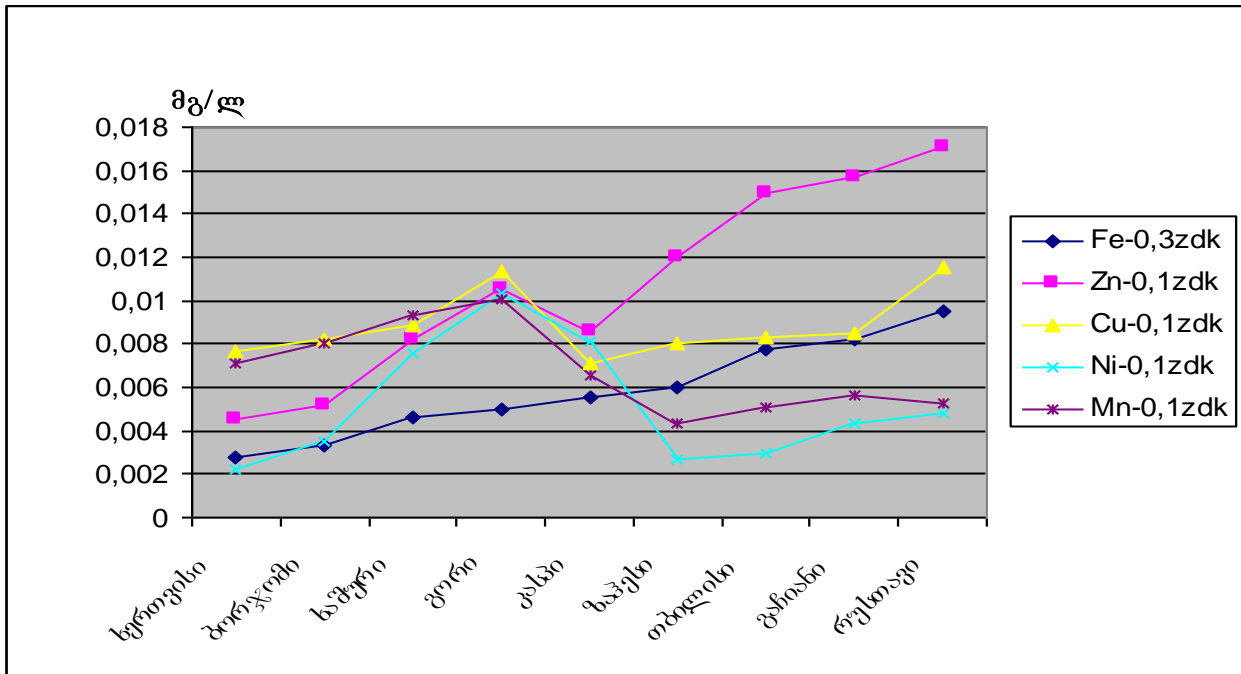
უნდა აღინიშნოს, რომ ამონიუმის იონის კონცენტრაცია ხშირად აჭარბებს შესაბამისი ზდებს მნიშვნელობას. კერძოდ, თუ მისი შემცელობა გაზაფხულზე (აპრილი-მაისი) აღწევს 1,5 ზდებს, წყალმცირობის პერიოდში (ზაფხული-შემოდგომის დასაწყისი) ის უკვე აჭარბებს 2-6 ზდებს. ეს ფაქტი მიგვანიშნებს, რომ მდ.მტკვრის აუზში ადგილი აქვს წყლის ბიოგენური ელემენტებით დაბინძურებას, რაც ანთროპოგენული დატვირთვის შედეგია. NH_4^+ -ის კონცენტრაციების მატება იწყება უკვე ქბორჯომიდან და პიკს აღწევს თბილისი-რუსთავის ზონაში. ამაში ძირითად როლს ფეკალური წყლები თამაშობენ.

ასეთივე ზოდის ტენდენციით (მდინარის მიმართულებით) გამოირჩევა ქბმ5-იც, რომლის მაჩვენებელი მდინარის წყალში მაქსიმუმს აღწევს ქ.თბილისის გავლის შემდგომ. (ნახ. ნახ.3)

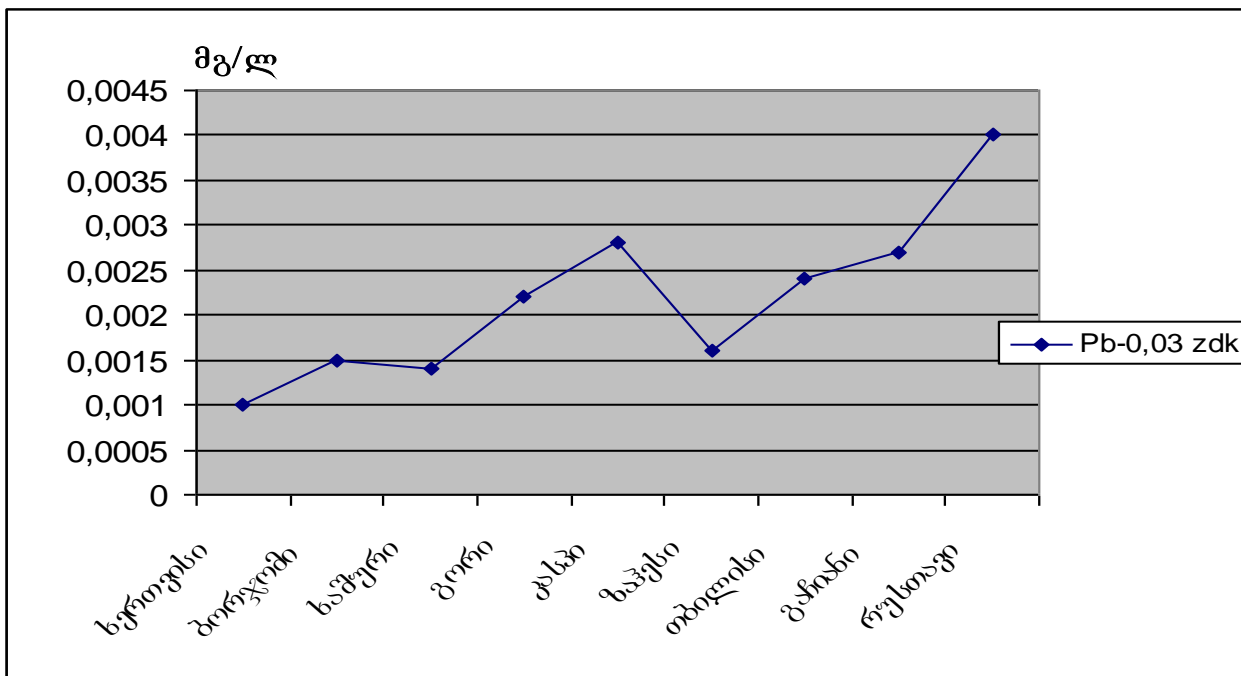


ნახ.3 ქბმ5-ის კონცენტრაციის ცვლილების დინამიკა მდ.მტკვრის წყალში 2009–2012 წ.წ.

რაც შეეხება მძიმე ლითონებს, მათი სსნადი ფორმები წყალში მცირეა, რასაც განაპირობებს წყლის pH (6,5-8,5). ამ დიაპაზონში მიმდინარეობს მათი ჰიდროლიზი და ისინი ჰიდროქსიდების სახით იღექებიან ფსკერულ ნალექებში, ანუ გადანაწილდებიან წყალში შეტივნარებულ ნაწილაკებზე და სედიმუნებში (დანართის ცხრ.2,4,6,8,10,12,14,16). ამიტომაც წყლის ფაზაში მათი კონცენტრაციები არასდროს არ აჭარბებს შესაბამისი ზდებს მნიშვნელობებს (ნახ. 4-5).

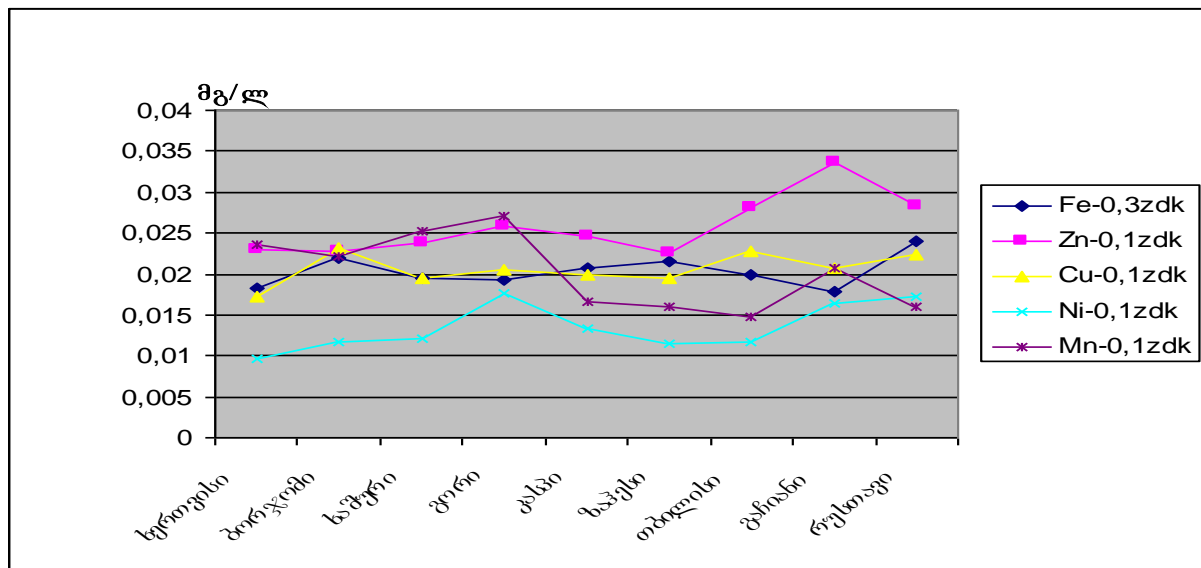


ნახ.4. მძიმე ლითონების საშუალო წლიური გეგმველობები მდ.მტკმრის წყალში,
2009–2012წ.წ.

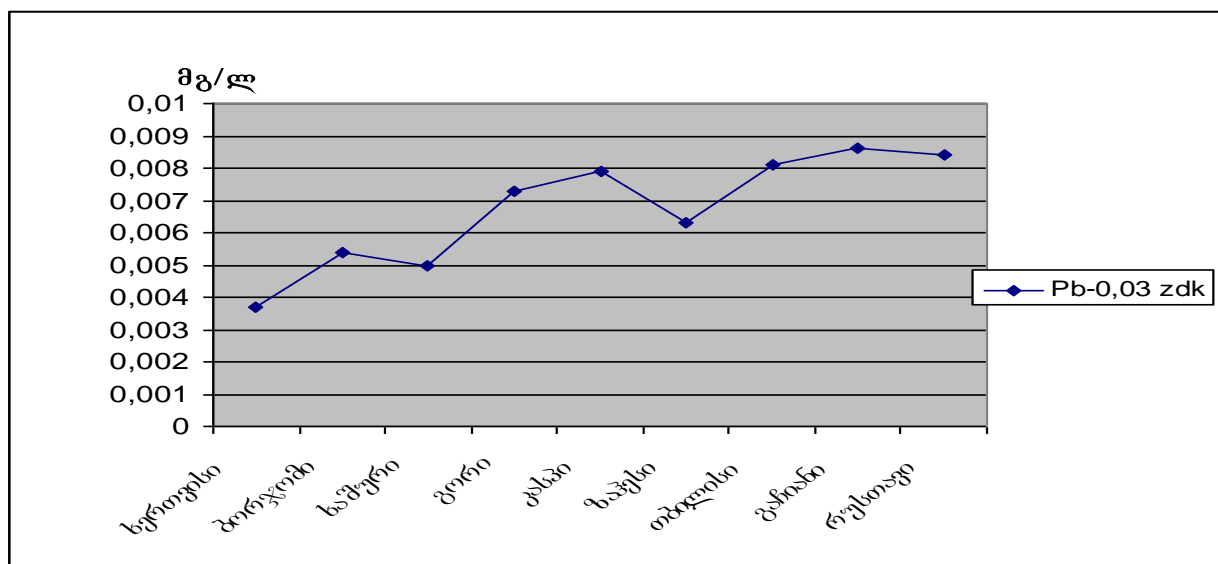


ნახ.5. ტყის საშუალო წლიური გეგმველობები მდ.მტკმრის წყალში, 2009–2012წ.წ.

გაცილებით მეტია მძიმე ლითონების შემცველობა ტივტივა ნატანში, წყლის ამ ფაზისათვის ზღუ-ს მნიშვნელობები არ არის შემუშავებული, ამიტომ ჩვენ შესადარებლად ავირჩიეთ მათი კონცენტრაციები ხეროვისთან აღებულ წერტილში და უნდა ითქვას, რომ ტივტივა ნატანზე ადსორბირებული მძიმე ლითონების კონცენტრაციები მცირედ მატულობს მდინარის დინების მიმართულებით. უნდა აღინიშნოს ის, რომ მათი შემცველობა საგრძნობლად მეტია ტივტივა ნატანზე (50-70%) გახსნილ ფორმებთან შედარებით (ნახ.6-7).



ნახ.6. მძიმე ლითონების საშუალო წლიური შემცველობები მდ. მდგრადის ნატანში, 2009–2012წ.წ.



ნახ.7. ტყვიის საშუალო წლიური შემცველობები მდ. მდგრადის ნატანში, 2009–2012წ.წ.

მეტად საყურადღებოა დაკვირვების წერტილებში მდ.მტკვრის ფსკერული ნალექების ქიმიური ანალიზი მძიმე ლითონების შემცველობაზე. ვინაიდან მდ.მტკვრის pH-დან გამომდინარე (7.5-8.5) მოსალოდნელია მათი უმეტესობის დალექვა. ისინი კონცენტრირდებიან ფსკერულ ნალექებში და შემდგომ განიცდიან მიგრაციას.

მდინარის ფსკერულ ნალექებში მძიმე ლითონთა შემცველობა გაცილებით მეტია წყლის ფაზასთან შედარებით. მკვეთრად არის გამოხატული მდინარის დინების მიმართულებით მატების ტენდენცია (დანართის ცხრ. 2,4,6,8,10,12,1 და ნახ.8). ყველა შემთხვევაში მათი მინიმალური კონცენტრაციები აღინიშნება დაბა სეროვისში, მაქსიმუმები კი – ურბანიზაციის ცენტრებში:

Fe – 8.7 (ხერთვისი) – 34.2 მგ/ლ (თბილისი);

Zn – 11.2 (ხერთვისი) – 40.2 მგ/ლ (გაჩიანი);

Cu – 6.7 (ხერთვისი) – 38.8 მგ/ლ (ზაჟესი);

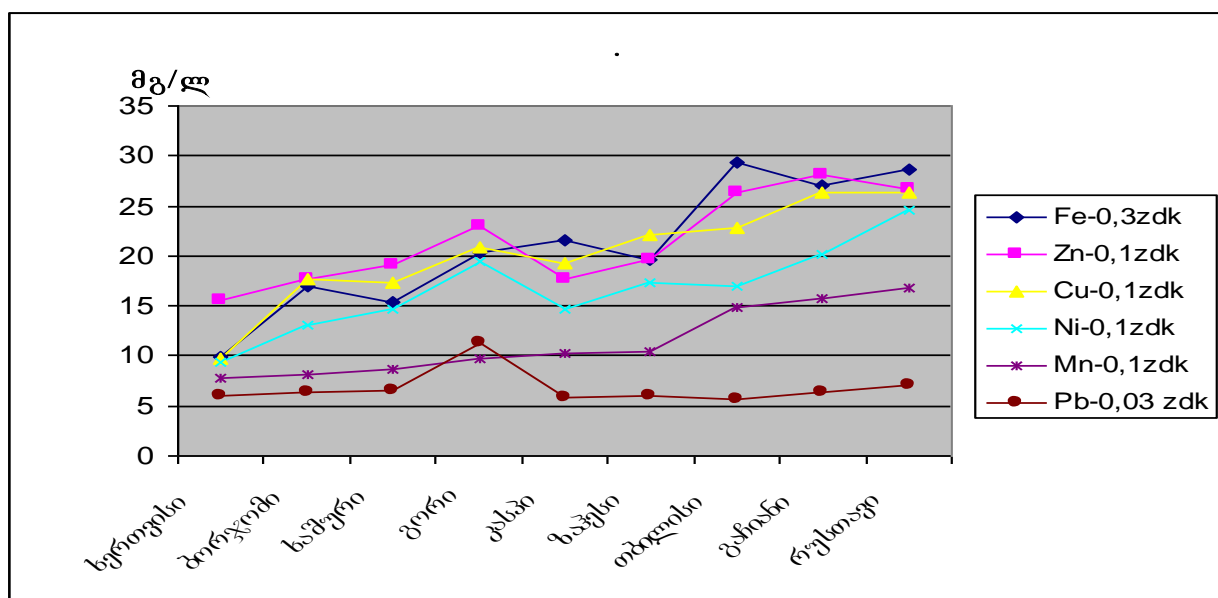
Ni – 9.2 (ხერთვისი) – 28.2 მგ/ლ (გაჩიანი, რუსთავი);

Pb – 4.1 (ხერთვისი) – 10.9 მგ/ლ (ზაჟესი);

Mn – 4.1 (კასპი) – 34.5 მგ/ლ (რუსთავი).

შეგვიძლია გთქათ, რომ მძიმე ლითონების შემცველობები ფსკერულ ნალექებში მატულობს საშუალოდ დაახლოებით 2-8-ჯერ დაწყებული ხერთვისიდან დამთავრებული ქრუსთავით.

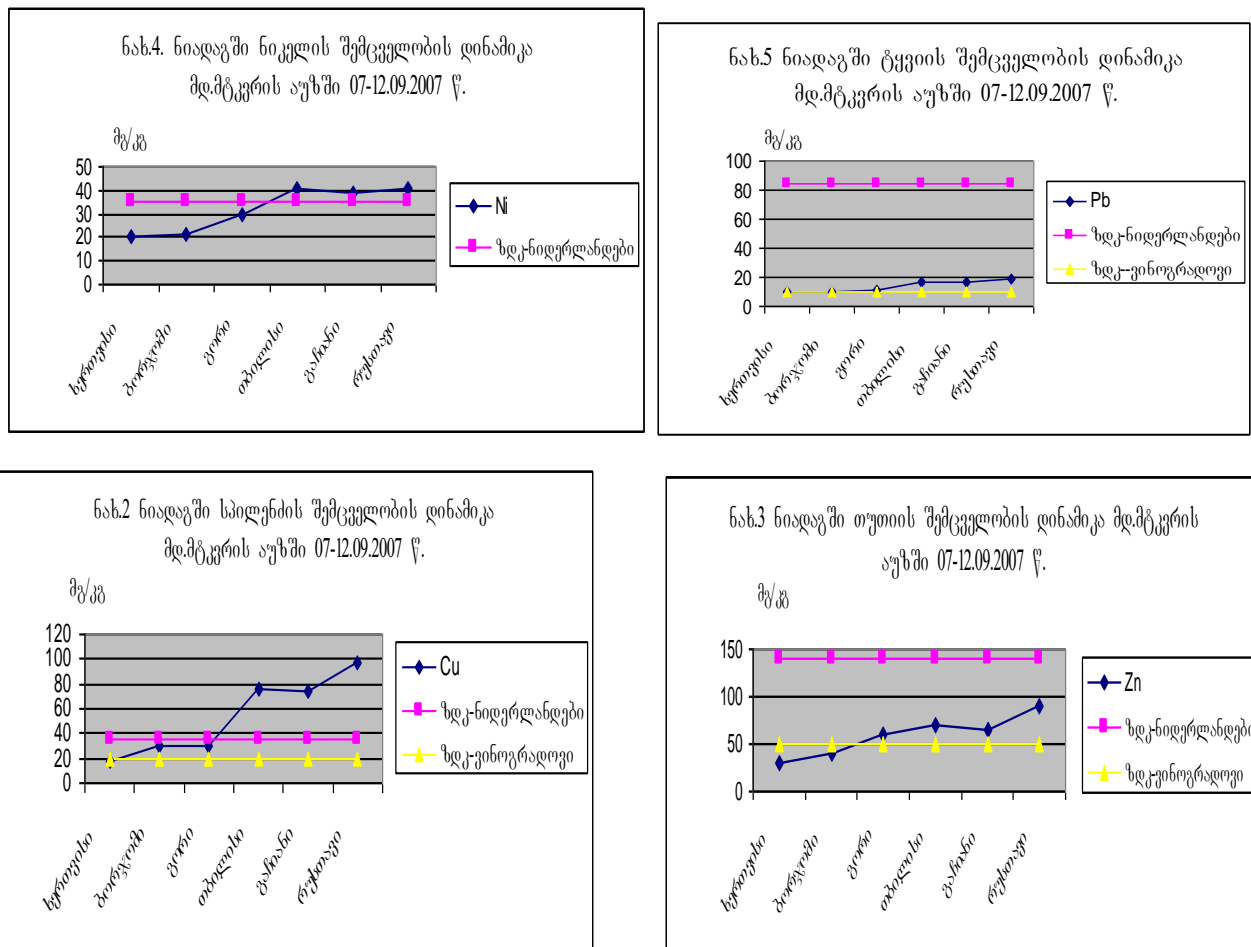
მცირედ მატულობს დინების მიმართულებით მანგანუმის და ტყვიის შემცველობები.



ნახ.8. მძიმე ლითონების საშუალო წლიური შემცველობები მდ.მტკვრის ფსკერულ ნალექები, 2009–2012წ.წ.

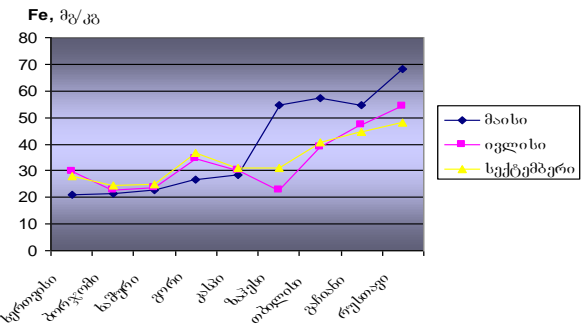
რაც შეეხება მძიმე ლითონების შემცველობას ნიადაგში (დაკვირვების იგივე წერტილებში), ასევე შეინიშნება მათი კონცენტრაციის ზრდა მდინარის დინების მიმართულებით (ნახ. 9-11 მაგ: Cu-ის კონცენტრაციები იზრდება 17.6-დან (ხერთვისი) – 97.5 მგ/კგ-მდე (რუსთავი); Zn-ის – 29.5-დან (ხერთვისი) – 88.9 მგ/კგ-მდე (რუსთავი); Fe-ის –

19.1-დან (ხერთვისი) – 62.0 გგ/კგ-მდე (რუსთავი); Mn-ის – 40-დან (ხერთვისი) – 102.1 გგ/კგ-მდე (რუსთავი) და ა.შ. ანუ მათი შემცველობები ნიადაგში მდინარის აუზის გაყოლებაზე იზრდება დაახლოებით 2-6-ჯერ. მათი კონცენტრაციები ნიადაგში ხშირ შემთხვევაში აღემატებიან იმ ფონურ დასაშვებ კონცენტრაციებს, რომლებიც მიღებულია საერთაშორისო სტანდარტებით (ცხრ.17). აუცილებელია აღინიშნოს, რომ მდ.მტკვრის მთელ გაყოლებაზე ნიადაგებში ძალიან დაბალია რკინისა და მანგანუმის კონცენტრაციები.

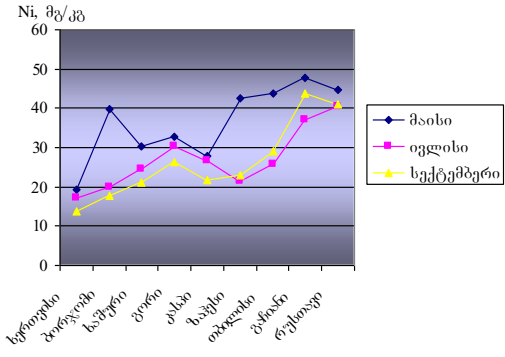


ნახ.9. მძიმე ლითონების საშუალო წლიური შემცველობები მდ.მტკვრის ხეობის ნიადაგებში, 2007წ.

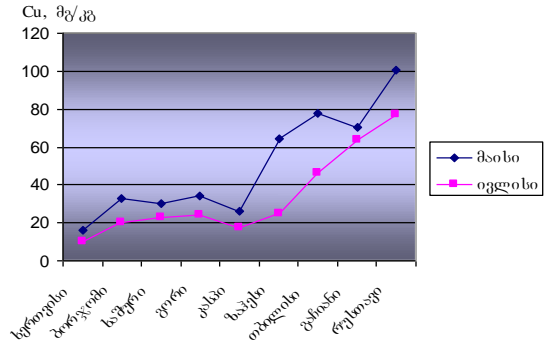
ნახ.2.1. მდ.მტკვრის აუზის მიმდებარე ტერიტორიის ნიადაგის ნიმუშებში ოკინის შემცველობა, 2008 წ.



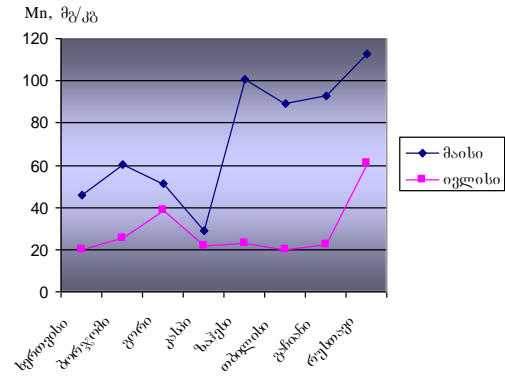
ნახ.2.4. მდ.მტკვრის აუზის მიმდებარე ტერიტორიის ნიადაგის ნიმუშებში ნიკელის შემცველობა, 2008 წ.



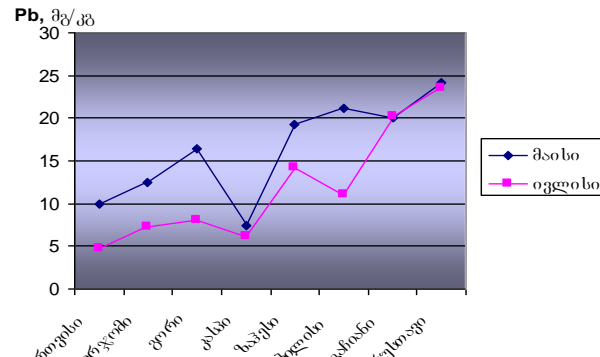
ნახ.2.3. მდ.მტკვრის აუზის მიმდებარე ტერიტორიის ნიადაგის ნიმუშებში სპილენძის შემცველობა, 2008 წ.



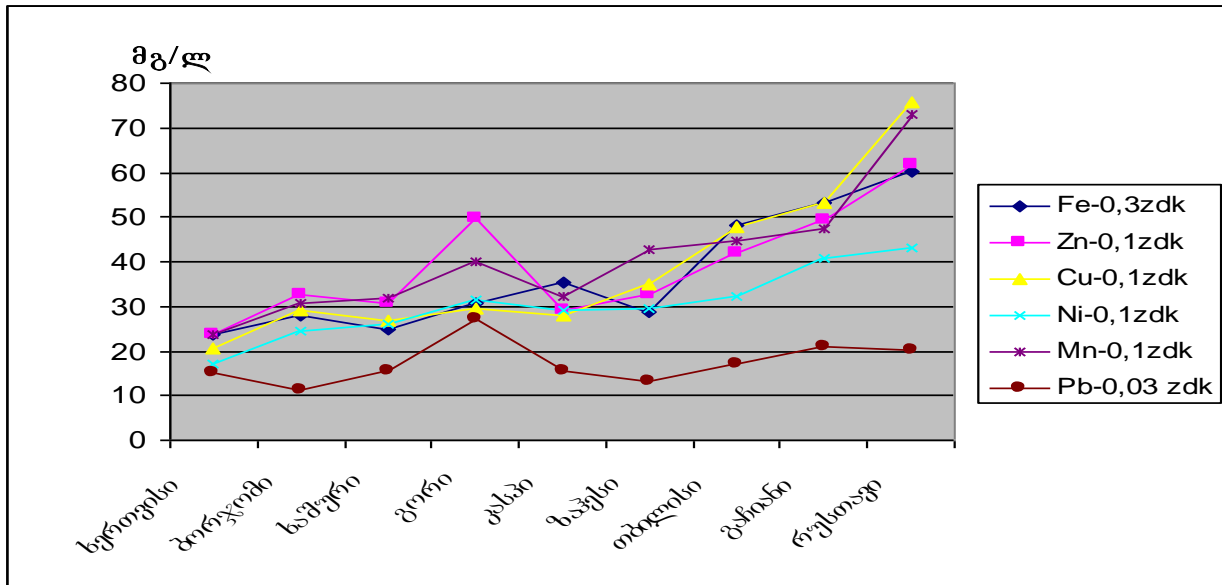
ნახ.2.6. მდ.მტკვრის აუზის მიმდებარე ტერიტორიის ნიადაგის ნიმუშებში მანგანუმის შემცველობა, 2008 წ.



ნახ.2.5. მდ.მტკვრის აუზის მიმდებარე ტერიტორიის ნიადაგის ნიმუშებში ტყვიის შემცველობა, 2008 წ.



ნახ.10. მდიდარი ლითონების საჭალო წლიური შემცველობები მდ.მტკვრის ხეობის ნიადაგებში, 2008 წ.



ნამდვილობების საშუალო წლიური შემცველობები მდგრადი ხეობის ნიადაგებზე, 2009–2010წწ.

კერილი 17. ნადაგში დიოთონთა შემცველობის ნორმატივები ნიდერლანდებისა და რუსთის მიხედვით

ლითონები	ნიდერლანდები			რუსეთი
	A-Wert გვ/პგ	B-Wert გვ/პგ	C-Wert გვ/პგ	გვ/პგ
სპილენბი	36	100	500	20
თურია	140	500	3000	50
ნიკელი	35	100	500	
ტყვეია	85	150	600	10
მანგანუმი				850

შენიშვნა: 1. A-Wert – ბუნებრივი ფონის შესაბამისი ნორმატივი;

2. B-Wert – ნორმაზივი, რომლის გადაჭარბება არ არის რეკომენდირებული;

3. C-Wert – ნორმაზივი, რომლის გადაჭარბება ჯარიმდება.

მძიმე ლითონთა კონცენტრაციების ზრდა აღინიშნება ქართველ და გრძელდება ქრუსთავამდე. ამ რეგიონში მკვეთრად იზრდება მათი შემცველობები, კერძოდ, დაბა ხერთვისთან შედარებით ქრუსთავში:

- სპილენძის შემცველობა გაიზარდა 5-10-ჯერ,
 - რკინის —————— 2-3-ჯერ,
 - თუთიის —————— 4-ჯერ,
 - ნიკელისა და ტყვიის დაახლოებით 2-ჯერ, ხოლო
 - მანგანუმისა —————— 2-3-ჯერ.

2009 წლის ივლისის თვეში დაკვირვების 2 პუნქტში (დაბა ხერთვისი და წითელი ხიდი) გაკეთდა ნიადაგის ჭრილი. ნიმუშები ავიდეთ 0-10, 10-20, 20-30 და 30-50 სმ სიღრმეზე. მათში განისაზღვრა 6 მძიმე ლითონის შემცველობა. ანალიზის შედეგების მიხედვით შეიძლება ითქვას, რომ ამ სიღრმეებზე შესწავლილი მძიმე ლითონების მიგრაციის და აკუმულაციის სურათი მკვეთრად განსხვავებული არ არის. და როგორია!

2010 წელსაც აღინიშნება მძიმე ლითონთა კონცენტრაციების ზრდა ნიადაგის ნიმუშებში მდინარის დინების მიმართულებით, უმცირესი კონცენტრაციები აღინიშნება დაბა ხერთვისთან, რაც მივიჩნიეთ ფონურ მნიშვნელობად. სურათი ასეთია:

Fe – 11.3 (ხერთვისი) – 67.3 მგ/ლ (რუსთავი), გაიზარდა დაახლოებით 6-ჯერ;

Zn – 18.3 (ხერთვისი) – 71.6 მგ/ლ (რუსთავი), გაიზარდა დაახლოებით 4-ჯერ;

Cu – 15.3 (ხერთვისი) – 87.2 მგ/ლ (რუსთავი), გაიზარდა დაახლოებით 5.6-ჯერ;

Ni – 15.2 (ხერთვისი) – 46.7 მგ/ლ (რუსთავი), გაიზარდა დაახლოებით 3.0-ჯერ;

Pb – 6.3 (ხერთვისი) – 51.6 მგ/ლ (გორი), გაიზარდა დაახლოებით 8-ჯერ;

Mn – 10.6 (ხერთვისი) – 81.3 მგ/ლ (ზაჟესი), გაიზარდა დაახლოებით 8-ჯერ.

აქ მატების ტენდენცია ნაკლებად არის გამოხატული ნიკელისა და ტყვიისათვის.

კონკრეტულ შემთხვევაში, 2009 წლის მაგალითზე, თუ ფონურ მნიშვნელობად ჩავთვლით დბ.ხერთვისში აღებულ ნიმუშებში მძიმე ლითონების შემცველობას და მას შევადარბო ქრუსთავში მიღებულ შედეგებს, შეგვიძლია ვთქვათ, რომ სპილენძის შემცველობა იზრდება 5-ჯერ, თუთიისა და რკინის 3-ჯერ, ხოლო ნიკელისა და მანგანუმის 2,5-ჯერ.

აუცილებელია აღინიშნოს, რომ წითელ ხიდთან აღებულ მდ.ხრამის როგორც ფსკერული ნალექები, ასევე ნიადაგის ნიმუშები გამოირჩევა მძიმე ლითონების შედარებით მაღალი შემცველობით, რაც უდაოდ განპირობებულია ბოლნისის რეგიონის გავლენით, სადაც ფუნქციონირებს სს „მაღნეული“ და საიდანაც ჩამოედინება მდ.ხრამი, რომელიც უერთდება მდ.მტკვარს.

როგორც ზმოთ იქმ აღნიშმული, მდ.მტკვრის წყლის ზოგიერთ ნიმუშებში (ძირითადათ ქ.თბილისის ცენტრლურ ნაწილში), ჩატარებულ იქნა მიკრობიოლოგიური ანალიზები, კერძოთ E_CoLi-ის, ტოტალური კოლიფორმებისა და ფეკალური სტრეფტოკოქის შემცველობებზე. მათი კონცენტრაციები მოცემულია ცხრ.18-ში.

ცხრილი 18. მიკრობიოლოგიური ანალიზის შედეგები მდ.მტკვრის წყლის ნიმუშებში (2011–2012 წ.წ.)

შტამის სახეობა	ზამენი 02.2011წ.	ვახუშტის ნიდი 02.2011წ.	ზამენი 04.2011წ.	ვახუშტის ნიდი 04.2011წ.	ზამენი 02.2012წ.	ვახუშტის ნიდი 02.2012წ.	ზამენი 04.2012წ.	ვახუშტის ნიდი 04.2012წ.
E_CoLi , 1დღ ³ -ში	500	8000	4800	30000	450	7000	6000	15000
ტოტალური კოლიფორმი, 1დღ ³ -ში	1200	15000	11000	65000	1800	10000	8000	30000
ფეკალური სტრეფტოკოქები, 1დღ ³ -ში	-	-	-	-	-	-	-	-

როგორც ვხედავთ, ზაჟესის აღების წერტილში, რომელიც მდებარეობს ქ.თბილისის შემოსასვლელთან, მკვეთრად უფრო დაბალია მიკრობიოლოგიური ანალიზის შედეგები,

ვიდრე ქალაქის ცენტრში აღებულ ნიმუშებში(ვახუშტის ხიდი). ყოველივე ეს რასა-კვირველია მიანიშნებს იმას, რომ დედაქალაქი თავისი ფეხალიერით საქმაოდ უარყოფით გავლენას ახდენს მდ.მტკვრის ხარისხზე.

დაბინძურების ხარისხის მიხედვით მდ.მტკვრის შენაკადებიდან შეგვიძლია გამოვყოთ მდ.სურამულა (ხაშურის რეგიონი), მათში ამონიუმის იონის შემცველობამ წყლის ფაზაში ზაფხულში გადაჭარბა 3 ზდკ-ს, ხოლო სექტემბრის თვეში მისმა კონცენტრაციამ მიაღწია 10.00მგ/ლ და შეადგინა 25 ზდკ. თუ შევადარებთ მდ.სურამულას ფსკერულ ნალექებში მძიმე ლითონების შემცველობას ხერთვისის ანალოგიურ მონაცემებს, დავინახავთ, რომ მდ.სურამულას ფსკერული ნალექები მინიმუმ 2-ჯერ უფრო დაბინძურებულია მძიმე ლითონებით ხერთვისთან შედარებით.

სისუფთავით მდ.მტკვრის შენაკადებიდან გამოირჩევიან მდინარეები: არაგვი, იორი და ალაზნის ზედა წელი.

პირველი და მეორე ექსპედიციის შემთხვევებში დაკვირვების იგივე წერტილებში, როგორც წყალში, ფსკერულ ნალექებში, ნიადაგში და მცენარეებში, პარალელურად პიდრექიმიური ანალიზისა განხორციელებულ იქნა ზოგიერთი დამაბინძურებელი ორგანული კომპონენტების განსაზღვრა, კერძოდ სამი ტიპის ფენოლისა – ერთფუძიანი აღვილად აქროლადისა, ორფუძიანი ძნელად აქროლადისა და ჩანაცვლებული ტიპის ფენოლისა, ასევე სამი ტიპის პესტიციდისა: carate; decis (decametri); D.D.T.

აღსანიშნავია, რომ წყლის ყველა ნიმუშის ანალიზის მიხედვით შეგვიძლია ვთქვათ, რომ ორგანული კომპონენტების შემცველობები მდინარის მიმართულების გაყოლებით მატულობს. განსაკუთრებით ეს ტენდენცია აღინიშნება ფენოლების შემთხვევაში. განსაზღვრული სამი ტიპიდან მაღალი კონცენტრაციებით გამოირჩევა ფენოლის ძნელად აქროლადი ფრაქციები, რომლებიც მიგვანიშნებენ იმაზე, რომ მდინარის წყალში ადგილი აქვს ორგანული კომპონენტებით დაბინძურების ფაქტებს (რადგან ამ ტიპის ფენოლები ძირითადად ორგანული ნაერთების წარმოშობისაა).

ძნელად აქროლადი ფენოლების არსებობა ასევე მიგვანიშნებს იმაზე, რომ მდინარეში დომინირებს წყალმცენარეები, ხავსი, ხოლო მის მიმდებარე ტერიტორიებზე არსებობენ სხვადასხვა ტიპის მოქმედი მცირე საწარმოები, კერძოდ კი ხის გადამამუშავებელი ობიექტები.

უნდა აღინიშნოს ის ფაქტიც, რომ დაბა ხერთვისის შემდგომ, სადაც ფენოლისა და პესტიციდების კონცენტრაციები უმნიშვნელოა ან საერთოდ არ არის, უკვე ბორჯომის ტერიტორიაზე მათი შემცველობები იწყებენ დომინირებას. მაგალითად ძნელად აქროლადი ფენოლის კონცენტრაცია აღწევს 6.89 მგ/ლ-ს, ხოლო მდინარის დინების მიმართულებით ის აღწევს თავის მაქსიმუმს გაჩიანის რეგიონში 12.41 მგ/ლ, ეს იმ ფონზე, როდესაც ხერთვისის წყლებში მისი კონცენტრაცია მხოლოდ და მხოლოდ 0.04 მგ/ლ-ია.

არასასიამოვნოა ასევე მდინარე მტკვრის წყლის ნიმუშებში განსაზღვრული პესტიციდების არსებობა, რომელთა კონცენტრაციები შეინიშნება უკვე გორთან და მცირედ მატულობს რუსთავთან.

რაც შეეხება ფსკერული ნალექებისა და ნიადაგის ნიმუშებში მიღებული მონაცემების ანალიზს, შეგვიძლია ვთქვათ, რომ მოცემულ ეკოსისტემებში შეინიშნება იგივე ტენდენციები, ანუ ფენოლისა პესტიციდების კონცენტრაციებს მატება მდინარის დინების მიმართულების მიხედვით. ადსანიშნავია, რომ ფენოლების კონცენტრაციები ფსკერულ ნალექებსა და ნიადაგებში ხასიათდებიან შედარებით მაღალი სიდიდეებით ვიდრე წყალში.

რაც შეეხება მცენარეებს, რომელთა ნიმუშები აღებულ იქნა მდინარის მიმდებარე ტეროტორიიდან (დაკვირვების წერტილებში) მათში ორგანული კომპონენტების შემცველობები გაცილებით ნაკლებია ვიდრე წინა ნიმუშებში. კერძოდ ფენოლების კონცენტრაციები ვარირებს 0.02 მგ/კგ-დან (ხერთვისი) – 4.46 მგ/კგ-მდე (თბილისი, გაჩიანი). პესტიციდის (decis) მაღალი კონცენტრაცია აღინიშნა მცენარის ორ ნიმუშში: 8.6 მგ/კგ (თბილისი, გაჩიანი); 5.3 მგ/კგ (რუსთავი).

მდინარე მტკვრის შენაკადების ანალიზის მიხედვით თვალნათლივ იკვეთება ის ფაქტი, რომ მდინარე ხრამი შედარებით დაბინძურებულია ორგანული კომპონენტებით, ვიდრე მდინარე სურამელა და ლეხურა. მაზე ლაპარაკობს მაშში ფენოლების და პესტიციდების ისეთივე შემცველობები, რაც აღმოჩენილია მდინარე მტკვრის საქართველოს ტერიტორიის ქვედა წელში. რაც შეეხება მდინარე იორსა და ალაზანს, მიღებული მონაცემების მიხედვით შეგვიძლია ვთქვათ, რომ მათი წყლები სუფთაა ორგანული დამაბინძურებელი კომპონენტებისაგან.

საბოლოო დასკვნის გაკეთებისაგან ჯერ ვიკავებთ თავს, მიმდინარე წლის შედეგების მიღებამდე.

6. მდ. მტკვრის დაბინძურების რიცხვითი მოდელირება

უკანასკნელი სამი ათეული წლის განმავლობაში, წყლის რესურსების ინტეგრირებული მართვის პრინციპებზე და ტექნოლოგიებზე გადასვლასთან დაკავშირებით [19-21]. განვითარებული ქვეყნების გარემოსდამცავი და წყალთა მეურნეობის ორგანიზაციები თავიანთ საქმიანობაში მასიურად იყენებენ ჰიდროგლიკის, დანალექების გადატანის, მდინარეთა კალაპოტის დეფორმაციის როგორც შედარებით მარტივ რიცხვით მოდელებს, ასევე მდინარეთა ჰიდროდინამიკის, წყლის დაბინძურებისა და ხარისხის, ბიოლოგიური და სხვა პროცესების მოდელირების რთულ თანამედროვე ინფორმაციულ-გამოთვლით კომპლექსებს ზედაპირული და მიწისქვეშა წყლების ოპტიმალური მართვის სფეროში პრაქტიკული ამოცანების გადასაწყვეტად [22-24]. აღნიშნული მოდელები „ნალექი და ჩამონადენის“ ტიპის წყალშემკრები აუზების მოდელებთან და ეკოლოგიურ-ეკონომიკურინფორმაციულ გამოთვლით სისტემებთან ერთად ქმნიან იმ ბაზას, რომელზედაც ეფუძნება ინტეგრირებული მართვისას გადაწყვეტილების მიღების ინფაციური სისტემას [22,23,25-29]. ეკოლოგიური პრობლემების ეკონომიკურად დასაბუთებული და რაოდენობრივად შეფასებული გადაწყვეტილებების მიღების მზარდება მოთხოვნილებამ კომპიუტერული პროგრამების ბაზარზე წარმოშვა ეკოლოგიური პრობლემების იმიტაციური და ოპტიმიზაციური მოდელირების საშუალებების შექმნის მოთხოვნილება. დღეისათვის დამუშავებული პროგრამული კომპლექსების ნომენკლატურა მოიცავს ათეულობით დასახელების პროდუქტს [30-44] და სხვ. ისინი წარმატებით გამოიყენებიან პრაქტიკაში. აღნიშნული კომპიუტერული პროგრამული კომპლექსებიდან ნაწილი არის თავისუფალ გამოყენებაში. მათი მოძიება შეიძლება ინტერნეტ-ული ქსელით. ამასთან, უნდა აღინიშნოს, რომ ისინი არიან საქმაოდ რთული და მათი გამოყენება მოითხოვს შესაბამისი პარამეტრების მქონე კომპიუტერულ ბაზას, სპეციალურ მომზადებას ფიზიკის, ჰიდროლოგიის, მეტეოროლოგიის, ეკოლოგიისა და სხვა დისციპლინებში. ასეთი შესაძლებლობის არ ქონი პირობებში, პირველი, რაც შეიძლება გაკეთდეს არის არსებული ბაზის გამოყენებით დაფარულოთ იმიტაციური კომპლექსის ცალკეული ამოცანები საქართველოს მდინარეების, ზედაპირული წყლებისა და შავი ზღვის აღმოსავლეთ ნაწილისა. მიღებული შედეგების ანალიზის ბაზაზე, შევარჩიოთ ჩვენი პირობებისათვის

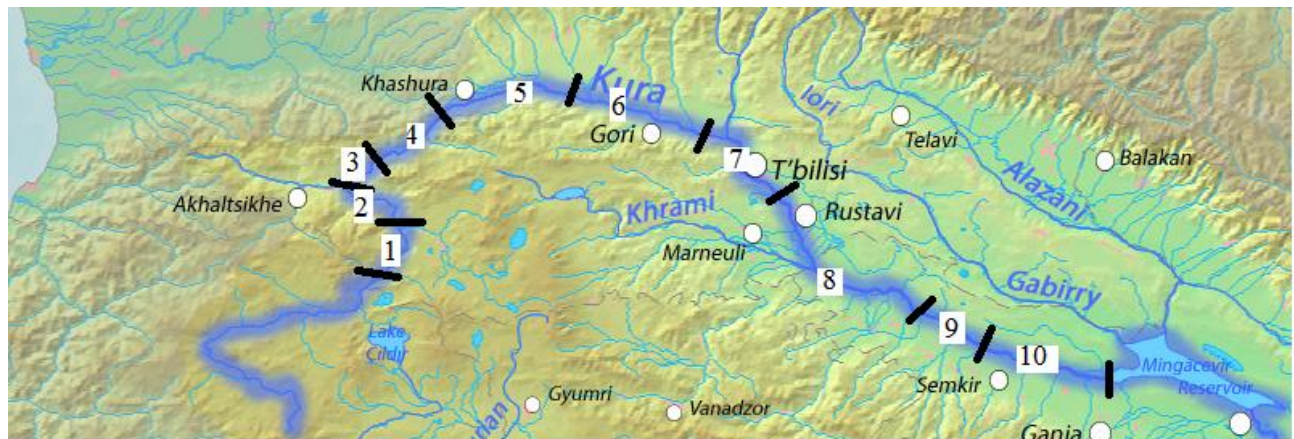
ოპტიმალური პროგრამული კომპლექსები და მათი საშუალებით გადავწყვიტოთ ქვეყნის წინაშე დასახული ამოცანები.

წარმოდგენილი სამუშაოს მიზანია კომპიუტერული ტექნიკისა და რიცხვითი მეთოდების გამოყენებით თეორიულად მოდელირებული იქნეს მდ.მტ.გვარში ჩაღვრილი დამაბინძურებელი ნივთიერების გავრცელების კინემატიკა როგორც მდინარის მთელ მონაკვეთზე საქართველოში, ასევე მისი ცალკეულ უბანზე. სამუშაო განიხილება, როგორც საწყისი ეტაპი მომავალი სრულმასშტაბიანი ეკოლოგიურ-ეკონომიკურ-ინფორმაციული ხასიათის პრობლემის გადაწყვეტის გზაზე.

6.1. ამოცანის დასმა

საქართველოში მდებარეობს მდ.მტ.გვრის მნიშვნელოვანი ნაწილი საქართველო-თურქეთის სახელმწიფო საზღვრიდან მინგეჩაურის წყალსაცავამდე (513 კმ). მდინარეს საქართველოს ფარგლებში უერთდება 12 211 მცირე და საშუალო მდინარე, რაც იწვევს მდინარის პიროლოგიური მახასიათებელი პარამეტრების მნიშვნელოვან ცვლილებას და პირველ რიგში, მდინარის წყლის ხარჯის მნიშვნელობან ზრდას [45]. მდინარის სიგანე მის საქართველოში მდებარე ნაწილში იცვლება 6-40მ-დან საქართველო-თურქეთის სახელმწიფო საზღვრის მიდამოებში, 120-2000მ-დე მინგეჩაურის წყალსაცავთან შესართავის მიდამოებში, მდინარის საშუალო სიღრმე იცვლება 0.4 მ-დან 10-მდე. ხოლო დინების საშუალო მახასიათებელი სიჩქარე 0.1მ/წ დან 1-2მ/წ-დე.

მდინარეში დამაბინძურებელი ნივთიერების გავრცელების მათემატიკური მოდელირებისთვის, მდ.მტ.გვარი საქართველო-თურქეთის საზღვრიდან მინგეჩაურის წყალსაცავამდე, [45]-ის შესაბამისად, დავუავით პირობითად 10 ერთგვაროვან უბნად (ნახ. 12).



ნახ. 12. მდ. მტ.გვრის პირობით ერთგვაროვან უბნებად დაყოფის სქემა.

დავუავით, რომ თითოეული უბანი წარმოადგებს წრფივ არხს რომლის ფარგლებში მდინარის მახასიათებელი პიროლოგიური პარამეტრები უცვლელია და მათი კონკრეტული მნიშვნელობა აღებულია [45]-დან (ცხრ. 22).

განტოლება რომელიც აღწერს მინარევების გავრცელებას მდინარის თითოეულ უბანზე ჩაიწერება შემდეგი სახით [46-47]:

$$\frac{\partial C_i}{\partial t} + u_i \frac{\partial C_i}{\partial x} + w_0 \frac{\partial C_i}{\partial z} = \mu_x \frac{\partial^2 C_i}{\partial x^2} + \mu_y \frac{\partial^2 C_i}{\partial y^2} + \mu_z \frac{\partial^2 C_i}{\partial z^2} + \alpha C_i \quad (1)$$

სადაც t დროა; x, y და z დეპარტეს კორდინატთა სისტემის დერძებია; x დერძი მიმართულია მდინარის დინების გასწვრივ ჰორიზონტალურად, y დერძი ჰორიზონტალურად დინების მართობულად; z დერძი მიმართულია მდინარის ფსკერიდან ვერტიკალურად ზევით; ინდექსი i მდგრავრის უბნის ნომერია; u_i მდინარის დინების სიჩქარეა i -ურ უბანზე; w_0 - დამაბინძურებელი ინგრედიენტის დალექვის სიჩქარეა; μ_x, μ_y და μ_z ტურბულენტური სიბლანტის კინემატიკური კოეფიციენტებია x, y და z დერძების გასწვრივ, შესაბამისად; C_i - დამაბინძურებელი ნივთიერების კონცენტრაციაა მდინარის i -ურ უბანზე; α დამაბინძურებელი ნივთიერების ქიმიური გარდაქმნის სიჩქარეა.

(1) განტოლების რიცხვითი ინტეგრირებისათვის გილგთ შემდეგ საწყის და სასაზღვრო პირობებს:

$$C_i = C_i(0, x, y, z), \quad \text{როცა } t = 0;$$

$$C_i = \begin{cases} C_i(t, 0, y, z), & \text{if } i = 1 \\ C_{i-1}(t, X_{i-1}, y, z) \times Y_{i-1} \times H_{i-1} \times U_i, 0 / (Y_{i-1} \times H_{i-1} \times U_{i-1}, 0), & \text{if } i \neq 1 \end{cases}, \quad \text{როცა } x = 0,$$

$$C_i = C_s(t) \text{ კშეც (უნიტა) } \in \Omega_s \text{ ს } t_t \in \Omega_t \text{ ს } \frac{\partial C_i}{\partial x} = 0 \text{ ს } \text{როცა } y = \text{ უნიტა } \text{ კ} = \text{ უნიტა } \quad (2)$$

$$\frac{\partial C_i}{\partial y} = 0 \text{ და } \frac{\partial C_i}{\partial z} = 0, \quad \text{როცა } y = 0, \text{ და } Y_i, z = 0, H_i, \text{ შესაბამისად,}$$

სადაც Ω_i არის დამაბინძურებელი ნივთიერების მდინარეების ჩაშვების არეა მის i -ურ უბანზე; X_i, Y_i და H_i - i -ური უბნის საზღვრების კოორდინატებია x, y და z დერძების გასწვრივ, შესაბამისად; Ω_s - მდინარეები დამაბინძურებელი ნივთიერების ჩაშვების არეა; Ω_t - დამაბინძურიბელი ნივთიერების მდინარეები ჩაშვების დროითი ინტერვალია; $C_s(t)$ ჩაშვების წერტილში დამაბინძურებელი ნივთიერების კონცენტრაციაა.

ცხრილი 19. გვ. მტკვრის უბნების ზოგიერთი პიდროლოგიური მახასიათებელი
პარამეტრების ძირითადი მნიშვნელობები

უბნის No (i)	უბნის დასახელება	სიგრძე X_i (მ)	სიგანე Y_i (მ)	სიღრმე H_i (მ)	დინების სიჩქარე u_i^0 (მ/წმ)
1	საქ.სახ.საზღვარი- მდ. ფარავანი	27	40	1.0	1.1
2	მდ. ფარავანი- სოფ. მინაძე	42	45	1.2	0.9
3	სოფ. მინაძე- სოფ. აწყური	20	35	1.2	1.2
4	სოფ. აწყური- სოფ. ქვიშეთი	47	40	1.3	1.2
5	სოფ. ქვიშეთი- ქ. გორი	61	75	1.2	1.2
6	ქ. გორი - სოფ. ძეგვი	51	85	1.0	1.5
7	სოფ. ძეგვი - სოფ. სოლანლევი	39	80	1.5	1.5
8	სოფ. სოლანლევი - სოფ. პოლი	94	90	1.6	1.4
9	სოფ. პოლი - მდ. ძეგამჩაი	70	95	1.8	1.3
10	მდ. ძეგამჩაი -მინგ. წელსაცვი	62	100	2.0	1.2

(1) განტოლების რიცხვითი ინტეგრირება (2) საწყისი და სასაზღვრო პირობებით
ხორციელდება კრანკლ-ნიკოლსონის სქემითა და კოორდინატებისა და პროცესების
მიხედვით გახლების მეთოდის გამოყენებით [48].

$$\begin{aligned}
 & \frac{C_{ik,l,m}^{j+1/8} - C_{k,l,m}^j}{\tau/2} + \Delta_x \frac{C_{ik,l,m}^{j+1/8} + C_{k,l,m}^j}{2} = 0 \\
 & \frac{C_{i k,l,m}^{j+2/8} - C_{i k,l,m}^{j+1/8}}{\tau/2} + \Lambda_y \frac{C_{i k,l,m}^{j+2/8} + C_{i k,l,m}^{j+1/8}}{2} = 0 \\
 & \frac{C_{i k,l,m}^{j+3/8} - C_{i k,l,m}^{j+2/8}}{\tau/2} + \Lambda_z \frac{C_{ik,l,m}^{j+3/8} + C_{i k,l,m}^{j+2/8}}{2} = 0 \\
 & C_{i k,l,m}^{j+5/8} = C_{i k,l,m}^{j+3/8} \exp(-\alpha\tau) \\
 & \frac{C_{i k,l,m}^{j+6/8} - C_{i k,l,m}^{j+5/8}}{\tau/2} + \Lambda_z \frac{C_{i k,l,m}^{j+6/8} + C_{i k,l,m}^{j+5/8}}{2} = 0
 \end{aligned} \tag{3}$$

$$\frac{C_i^{j+7/8} - C_i^{j+6/8}}{C_i^{j+1} - \frac{\tau/2}{\tau/2}} + \Lambda_y \frac{C_i^{j+7/8} + C_i^{j+5/8}}{2} = 0$$

$$\frac{C_i^{j+1} - \frac{\tau/2}{\tau/2} C_i^{j+7/8}}{2} + \Lambda_x \frac{C_i^{j+1} + C_i^{j+7/8}}{2} = 0$$

სადაც ოპერატორები გამოისახებიან შემდეგი ფორმულებით:

$$\begin{aligned}\Lambda_x &= \frac{1}{2\Delta x}(U^- C_{i+k,l,m} - U^0 C_{i,k,l,m} - U^+ C_{i-k,l,m}) - \frac{\mu_x}{\Delta x^2}(C_{i+k,l,m} - 2C_{i,k,l,m} + C_{i-k,l,m}), \\ \Lambda_y &= -\left(\frac{\mu_y}{\Delta y^2}(C_{i,k,l+1,m} - 2C_{i,k,l,m} + C_{i,k,l-1,m})\right), \\ \Lambda_z &= \frac{1}{2\Delta z}(W^- C_{i,k,l,m+1} - W^0 C_{i,k,l,m} - W^+ C_{i,k,l,m-1}) - \frac{\mu_z}{\Delta z^2}(C_{i,k,l,m+1} - 2C_{i,k,l,m} + C_{i,k,l,m-1}), \quad (4) \\ U^- &= 0.5(u_{i,k,l,m} + |u_{i,k,l,m}|), \quad U^0 = |u_{i,k,l,m}|, \quad U^+ = 0.5(u_{i,k,l,m} - |u_{i,k,l,m}|), \\ W^- &= 0.5(w_0 + |w_0|) \quad W^0 = |w_0| \quad W^+ = 0.5(w_0 - |w_0|). \\ k_i &= 1, 2, \dots, K_i - 1, K_i; \quad l = 1, \dots, L - 1, L; \quad m = 0, 1, \dots, M - 1, M.\end{aligned}$$

(2) საწყის და სასაზღვრო პირობების სასრულ სხვაობიან ანალოგებს აქვთ სახე:

$$\begin{aligned}C_i^0 &= C_{i,k,l,m}^0, \quad C_i^j = C_{1,l,m}^j \text{ if } i=1 \text{ and } C_{i-1,k-1,l,m}^j = C_{i-1,k-1,l,m}^j \text{ if } i>1, \\ C_{k,l,m}^j &= C_{s,k,l,m}^j \text{ if } (k,l,m) \in \Omega_s, \quad j \in \Omega_t, \quad C_{i,K-l,l,m}^j = C_{i,K-l,l,m}^j, \quad C_{k,l,m}^j = C_{k,2,m}^j, \quad (5) \\ C_{k,L-l,m}^j &= C_{k,L,m}^j, \quad C_{k,l,1}^j = C_{k,l,2}^j, \quad C_{k,l,M-1}^j = C_{k,l,M}^j\end{aligned}$$

სადაც j - დროითი ბიჯის ნომერია; k, l და m – სივრცითი ბადის კვანძებია x, y და z დერძებზე, შესაბამისად; Λ_x, Λ_y და Λ_z სასრულ სხვაობითი ოპერატორები არიან; $\Delta x, \Delta y$ და Δz ; K_i, L და M - სივრცითი ბადის ბიჯები და ბადური წერტილების რაოდენობებია x, y და z დერძებზე; τ - დროითი ბიჯია.

რიცხვითი ბადე შედგება ($K_i, 11, 11$) ბადური წერტილებისაგან. ბადის სივრცითი ბიჯები x, y და z დერძების გასწორივ ტოლია $\Delta x = 1000\delta$ ($N_i = X_i / 100$), $\Delta y = Y_i / 11$ და $\Delta z = H_i / 11$ -ის, შესაბამისად.

ალგებრული განტოლება სისტემა (3) ამოცანას (1) აპროქსიმირებს მეორე რიგის სიზუსტით დროს მიხედვით, სივრცული კოორდინატების მიხედვით – პირველი რიგის სიზუსტით. ამასთან, სქემა აბსოლუტურად მდგრადი და მონოტონურია.

ამოცანის თვლის პროგრამა შედგენილია „Visual Fortran” კომპიუტერულ ენაზე პერსონალური კომპიუტერისათვის და ჩატარებულია რიცხვითი ექსპერიმენტების ციკლი.

მათი საშუალებით გამოკვლეულია მდინარე მტკვარში დამაბინძურებელი ნივთიერებების გავრცელების თავისებურებები.

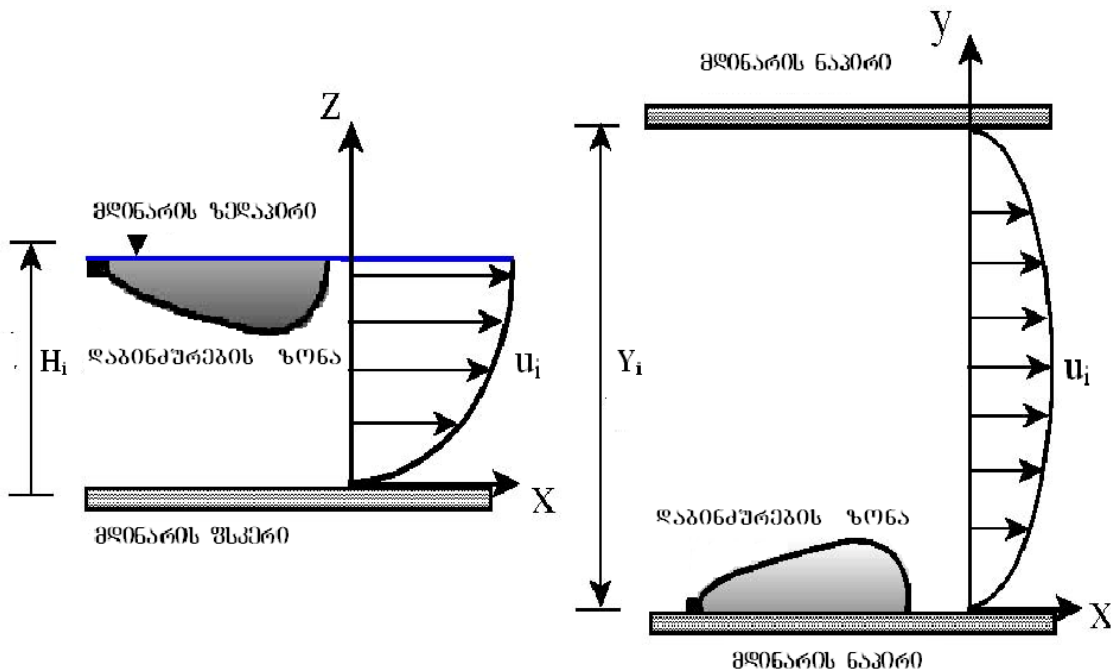
დადგენილია, რომ ტურბულენტური დიფუზია თამაშობს მეტად მნიშვნელოვან როლს მდინარის დინამიკასა და ეკოლოგიურ პროცესების განვითარებაში. ამიტომ, მდინარეთა ტურბულენტური დიფუზიის კოეფიციენტების განსასაზღვრავრისთვის ჩატარებულია მრავალრიცხოვანი გამოკვლევები [49-50]. მდ.მტკვრის შემთხვევაში ტურბულენტური დიფუზიის კოეფიციენტების რიცხვითი მნიშვნელობები განსაზღვრული არ არის. ამიტომ, ნაშრომ [50]-შე დაყრდნობით ტურბულენტური დიფუზიის კოეფიციენტებისთვის ავიდეთ შემდეგი მნიშვნელობები: მთაგორიან ტერიტორიაზე მდებარე უბნებისათვის (უბ.1-4) – $\mu_x = 5 \times 6.4 \times 10^{-4} \text{ მ/წმ}^2$; $\mu_y = \mu_z = 5 \times 5.57 \times 10^{-3} \text{ მ}^2/\text{წმ}$ და ვაკე ტერიტორიაზე მდებარე უბნებისათვის (უბ. 5-10) – $\mu_x = 6.4 \times 10^{-4} \text{ მ/წმ}^2$; $\mu_y = \mu_z = 5.57 \times 10^{-3} \text{ მ/წმ}^2$.

მდინარის კალაპოტის წერტილებში დინების სიჩქარის მნიშვნელობები განვსაზღვდვრეთ [50]-ში მოცემული სქემის ანალოგიურად (ნახ.13) შემდეგი ფორმულით: $U_i(x, y, z) = 1.5U_{i,0} * \sin(\pi y/Y_i) \sin(0.5\pi z/H_i)$. აქ $U_{i,0}$ მდ.მტკვრის i -ურ უბანში დინების საშუალო მახასიათებელი სიჩქარეა.

6.2. რიცხვითი ექსპერიმენტების შედეგები

6.2.1. მდინარის უბნის ლოკალური დაბინძურების გამოკლევა მუდმივი წყაროდან ჩაღვრილი პასიური დამაბინძურებელი ნივთიერებით

ჩატარებული იქნა რიცხვითი ექსპერიმენტების სერია, რომელთა საშუალებით გამორკვეული იქნა პასიური ($\alpha=0$) დამაბინძურებელი ნივთიერების გავრცელება საწყისს ეტაპზე – ჩაშვებიდან სრულ განზავებადე. რიცხვითი ექსპერიმენტისათვის შერჩეული იქნა ორი ერთმანეთისაგან განსხვავებული № 1 და № 6 უბნები. რიცხვითი ექსპერიმენტში ნივთიერების ჩაშვება ხორციელდება №1 უბანზე უწყვეტად რიცხვითი ბაზის $\Omega_s \{ k = 7, l = 1, 2; m = 8, 9, 10 \}$ არეში. ჩაშვების წერტილებში ნივთიერების კონცენტრაცია არის მუდმივი და უდრის 100 პირობით ერთეულს (პ.ე). მდინარის დინების გასწვრივ ბიჯი უდრის $\Delta x = 30 \text{ მ}$ ან 1 კმ ამოცანის კონკრეტული მიზნის შესაბამისად. დროითი ბიჯი ტოლია 6 წმ-ის. გამოთვლებით მიღებული შედეგები ნაჩვენებია ნახ. 14-17

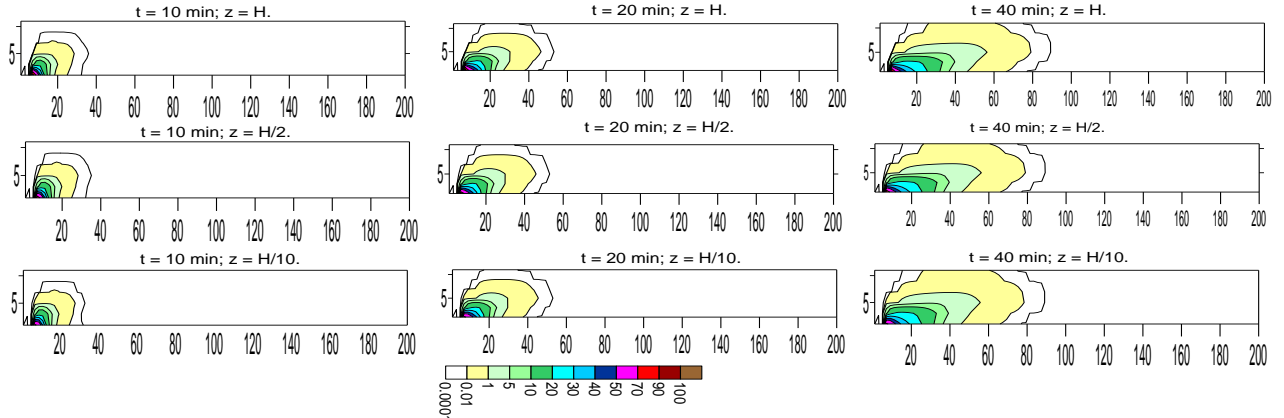


ნახ. 13. მდინარის დინების სიჩქარისა და დაბინძურების ჩაღვრის სქემა

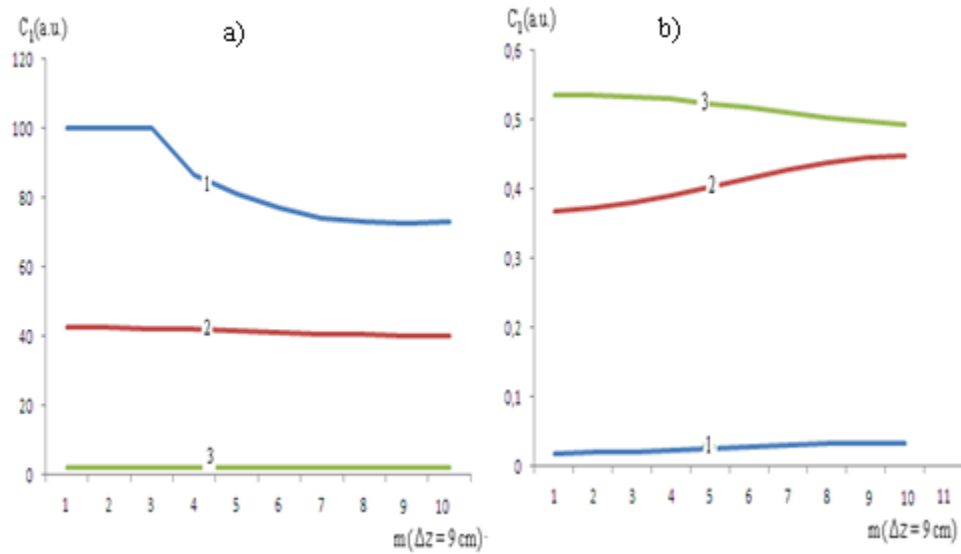
ნახ. 14-დან ჩანს, რომ დამაბინძურებელი ნივთიერება გადაიტანება ორი მექანიზმით – ადვექციით და ტურბულენტური დიფუზიით. ადვექციური გადატანა გაცილებით ინტენსიურია ტურბულენტურთან შედარებით. ამიტომ მდინარის გასწვრივ ნივთიერება გადატანილია გაცილებით მეტ მანძილზე ვიდრე დინების მართობულად. კონკრეტულად, მდინარის ზედაპირზე ($z=H$) ნივთიერების ჩაშვებიდან $t=10$ წუთისათვის დინების მიმართულებით დაბინძურება გავრცელებულია წყაროდან დაახლოებით 700მ მანძილზე. დინების გარდიგარდო და სიღრმეში ნივთიერების გადატანა მხოლოდ ტურბულენტური დიფუზიით. დიფუზიური გადატანის სიჩქარე გაცილებით ნაკლებია ადვექციურზე. ამიტომ $t=10$ წთ-თვის დამაბინძურებელი ნივთიერება გავრცელებულია კალაპოტის 0.8 სიგანის არეში (36 მ) და მთელ სიღრმეზე.

ჩაშვების წერტილებში კონცენტრაცია მდინარის სიღრმეში თანდათანობით მცირდება (ნახ.15). ნაპირის მიმდებარედ მდინარის ზედაპირზე $C_1 \approx 100$ პ.ე., ნახევარ სიღრმეზე $C_1 \approx 85$ (პ.ე) და ფსკერის მიდამოებში ($z = 0.1H$) $C_1 \approx 75$ (პ.ე). წყაროს გასწვრივ და დინების მიმართულებით მისგან 120 და 240 მეტრის მოშორებით კონცენტრაციის მნიშვნელობები მდინარის მთელ სიღრმეზე ერთნაირია. მდინარის შუაგულში წყაროს მიმდებარედ კონცენტრაცია მინიმალურია და თანდათანობით იზრდება წყაროდან დინების გასწვრივ დაშორებისას.

მდინარის ზედაპირზე $t=20$ და 40 წთ-თვის დაბინძურების ფრონტი გადადგილებულია წყარდან დაახლოებით 1.3გმ და 2.7გმ მანძილებზე, შესაბამისად. ამასთან, დამაბინძურებელი ნივთიერებაუკვე გავრცელებულია მდინარის მთელ სიგანეზე თანაც ისე, რომ ნივთიერების მირითადი ნაწილი კონცენტრირებულია ჩაშვების წყაროს მიმდებარე ნაპირის გასწვრივ.



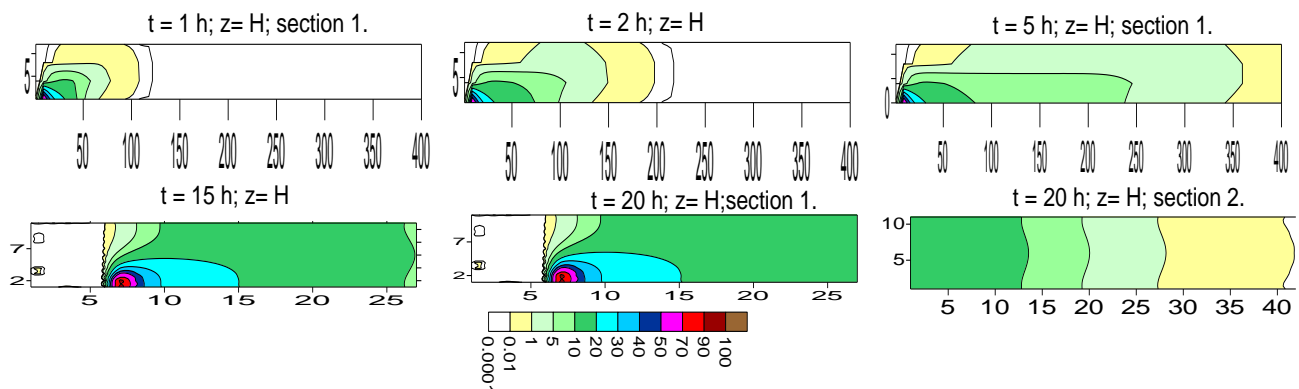
ნახ.14. პასიური დამაბინძურებელი ნივთიერების კონცენტრაციის C_1 (გ.გ.) გამოთვლებით მიღებული მნიშვნელობების განაწილება წელის ზედაპირზე ($z = H$), ნახვარ სიღრმეზე ($z = H/2$) და ფსკერის მახლობლად ($z = 0.1 H$) მდ. მტკვრის № 1 მონაკვეთზე ხა. სახლმწიფო სახლვარი - მდ. ფარაგანი ჩაშვებიდან $t = 10$, 20 და 40 წთ-ის შემდეგ. (ბადის ბიჯი მდინარის გასწვრივ $\Delta x = 30$ გ).



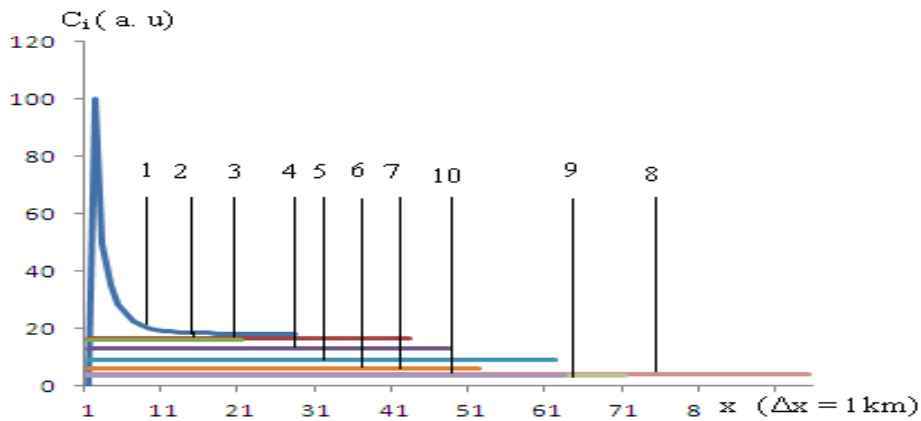
ნახ. 15. კონცენტრაციის სიღრმეული განაწილება დინების გასწრივ ნაპირის მიღებარედ (a) და მდინარის შეაგულში (b) ჩაშვების წერტილში (გაიურები 1), წერტილიდან 120 გ (გაიურები 2) და 240 გ (გაიურები 3) მანძილზე როცა $t = 10$ წთ.

ნახ.16-ზე ნაჩვენებია №1 უბანზე მდინარის ზედაპირზე $C_1(t, x, y, H)$ კონცენტრაციების განაწილება $t = 1, 2, 5, 15$ და 20 სთ-თვის. ნახაზიდან ჩანს, რომ ნივთიერების ჩაშვებიდან დაწყებული პირველი საათების განმავლობაში დამაბინძურებელი ნივთიერება გრცელდება მდ. მტკვრის საქ. სახლმწიფო საზღვარი - მდ. ფარაგანის უბნის ფარგლებში და $t = 3$ საათისათვის მისი ფრონტი აღწევს №2 უბნის დასაწყისს. დროის შემდგომ მომენტებში №1 უბანში კონცენტრაციის სიდიდე თანდათანობით იზრდება $t=17$ სთ-თვის

№1 უბანში მყარდება კონცენტრაციის კვაზისტატიკური განაწილება. დროის ამ მომენტისათვისათვის №1 უბის ბოლოში მდინარის მთელს განიკვეთზე დამაბინძურებელი ნივთიერების კონცენტრაცია მუდმივია დროსა და სივრცეში. დროის შენდგომი მომენტებისათვის დაბინძურება როგორც ერთგვაროვანი მასა ვრცელდება მდინარის დინების მიმართულებით. როცა $t=20$ სთ დამაბინძურებელი ნივთიერების მასა მთლიანად გავრცელებულია მდ. მტკვრის №2 უბანში (ფარავანი-სოფ. მინაქ) და შესულია №3 უბანში (სოფ. აწყური-სოფ. ქვიშეთი). დროის შემდგომ მომენტებში დამაბინძურებელი ნივთიერება ვრცელდება ანალოგიურად – იმ უბნებში სადაც დამყარებულია ნივთიერების კვაზისტაციონალური განაწილება კონცენტრაცია უცვლელი რჩება. კონცენტრაციის მნიშვნელობები იზრდებიან მხოლოდ იმ უბნებში სადაც ხდება დაბინძურების ფრონტის შემოღწევა. ნახ.17 მოცემულია ნივთიერების კონცენტრაციების ეპიურები მდინარის 10 უბანზე კვაზისტაციონარული განაწილების დამყარების მომენტისათვის $t=307$ სთ. როგორც ნახაზიდან ჩანს კონცენტრაციის მნიშვნელობა დინების გასწვრივ მკვეტრად მცირდება მხოლოდ №1 უბანის მახლობლად, დაახლოებით 8-10 კმ მონაკვეთზე. დანარჩენ უბნებზე კონცენტრაციის მნიშვნელობა მუდმივია და მცირდება მდინარის გასწვრივ ერთი უბნიდან მეორეზე გადასვლისას. აღნიშნული ეფექტი გამოწვეულია იმით, რომ



ნახ. 16. პასიური დამაბინძურებელი ნივთიერების კონცენტრაციის მნიშვნელობები წყლის ზედაპირზე ($z=H$) მდ. მტკვრის მონაკვეთზე საქართველოს სახლმწიფო საზღვარი - მდ. ფარავანი C_1 (ვე) ჩაშვებიდან: 1) $t=1, 2, 5, 15$ და 20 სთ ($\Delta x = 30 \text{ მ}$) და მონაკვეთზე მდ. არავანი - სოფ. მინაქ C_2 (ვე) და $t=20$ სთ ($\Delta x = 10 \text{ მ}$).



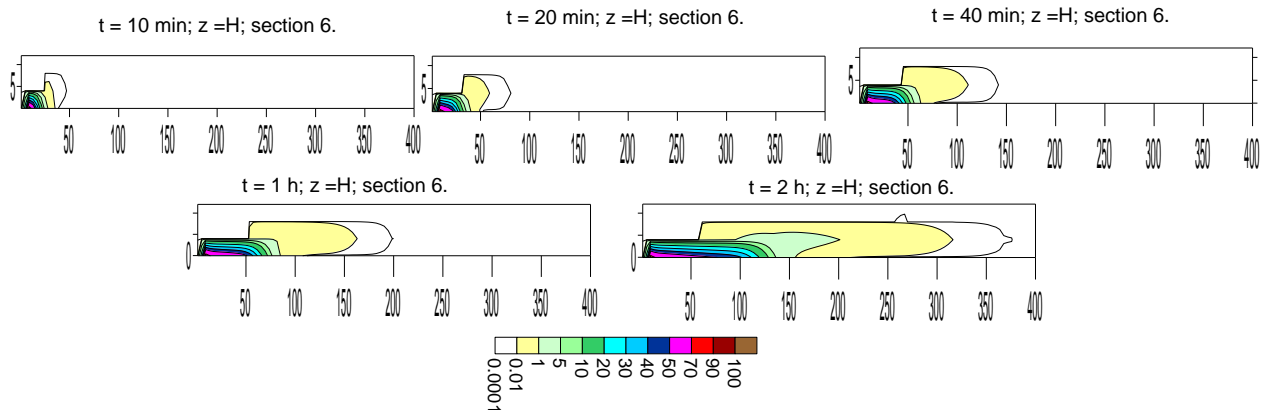
- ნახ. 17. კონცენტრაციის მნიშვნელობები წყლის ზედაპირზე ($z=H$) მდ.მტკვრის 10 მონაცემთა გვარის C_i (ა.უ.) კვაზისტაციონალური მდგომარეობის დამყარების მომენტში ჩაშვებიდან $t=b$ ციფრებით 1-10 მოთითებულია მდინარე მტკვრის მონაცემთა გვარი.

მდინარეში სუფთა შენაკადების ჩადინება იწვევს წყლის ნაკადის ზრდასა და კონცენტრაციის შემცირებას, შესაბამისად. კონცენტრაციის სიდიდე განსაკუთრებით მცირდება სოფ. აწყური - ქვიშხეთის, და ქვიშხეთი - ქვორის და სოფ.ქეგვი - სოფ.სოლანლუღის უბნებზე. ამ უბნებზე კონცენტრაციის შემცირება გამიწვეულია მდ.მტკვარში მდინარეების გუჯარეთის წყლის, ლიახვის, არაგვისა და სხვა მცირე მდინარეების ჩადინებით. მათი ჩადინება იწვევს დაბინძურებული წყლის სუფთა შენაკადების წყლებით განზავებასა და კონცენტრაციის მკეთრ შემცირებას.

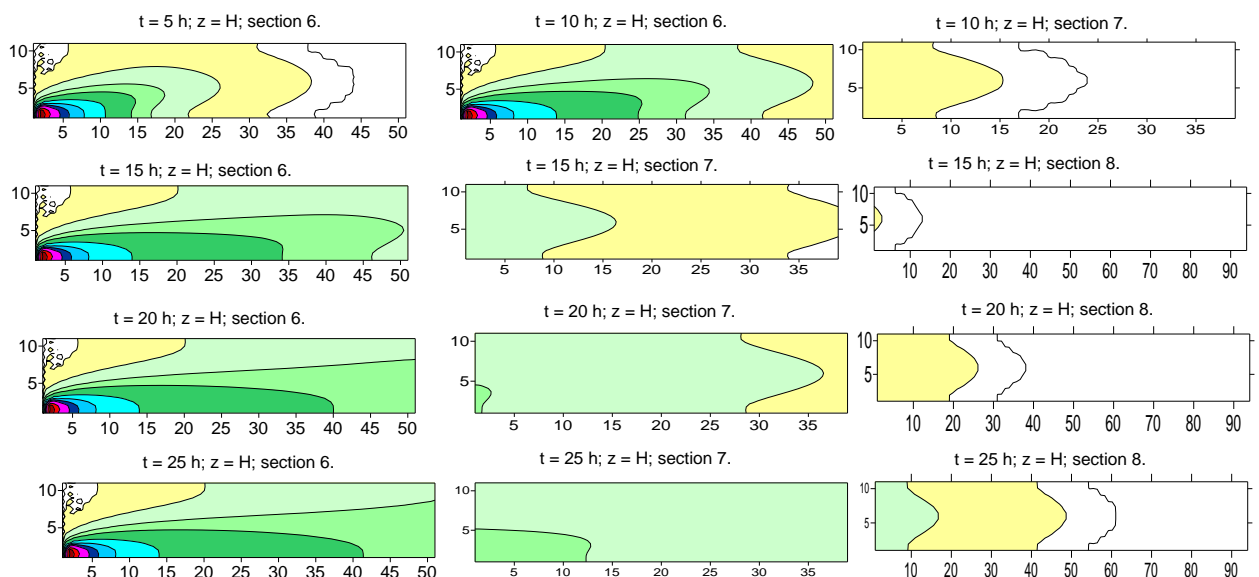
ცხრდ 20-ში ნაჩვენებია მდინარის ცალკეულ უბნებში დამაბინძურებელი ნივთიერების შემოსვლის t_{\min} და კონცენტრაციის მაქსიმალური მნიშვნელობის მიღწევის დროები t_{\max} . ცხრილიდან ჩანს, რომ საქართველო-თურქეთის საზღვართან მუდმივი დამაბინძურებელი წყაროს არსებობის შემთხვევაში, დამაბინძურებელი ნივთიერება საქართველო-აზერბაიჯანის საზღვარს მიაღწევს დაახლოებით $t=74.7$ საათში, ხოლო მინგეჩაურის წყალსაცავს $t=117.1$ საათში. ამავე პუნქტებში მაქსიმალური კონცენტრაციები დამყარდება დაბინძურების დაფიქსირებიდან $t=247.7$ და $t=307.0$ საათებში. ცხრილი იძლევა საშუალებას განისაზღვროს დროები რომელიც სჭირდება ნივთიერებას იმისათვის, რომ გაიაროს მდინარის უბანი და დამყარდეს სტაციონალური მნიშვნელობა.

- ცხრილი 20. მდ.მტკვრის ცალკეულ უბნებამდე დამაბინძურებელი ნივთიერების მიღწევის და მუდმივი კონცენტრაციის დამყარების დროები.

უბნის №	1	2	3	4	5	6	7	8	9	10
t_{\min} (სთ)	0	6.2	17.8	23.4	37.1	53.7	65.8	74.7	98.1	117.1
t_{\max} (სთ)	83.3	91.0	103.3	122.1	178.6	196.8	210.7	247.7	277.6	307.0



ნახ. 18 პასიური დამაბინძურებელი ნივთიერების კონცენტრაციის მნიშვნელობები წყლის ზედაპირზე ($z=H$) მდ.მტკვრის მონაკვეთზე ქართლი - სოფ. ქვევი ც₆ (პ. გ.) ჩაშვებიდან:
1) $t = 10, 20, 40$ წთ, 1 და 2 სთ (ბიჯი $\Delta x = 30$).



ნახ. 19. პასიური დამაბინძურებელი ნივთიერების კონცენტრაციის მნიშვნელობები წყლის ზედაპირზე ($z=H$) მდ.მტკვრის მონიკვეთებზე 6, 7, 8 (ქართლი - სოფ. ქვევი; სოფ. ქვევი - სოფ. სოდანლუდი; სოფ. სოდანლუდი - სოფ. პოლი) ც₆, ც₇, ც₈ (პ. გ.) ჩაშვებიდან: 1) $t = 5, 10, 15, 20$ და 25 სთ (ბიჯი $\Delta x = 1$ კმ).

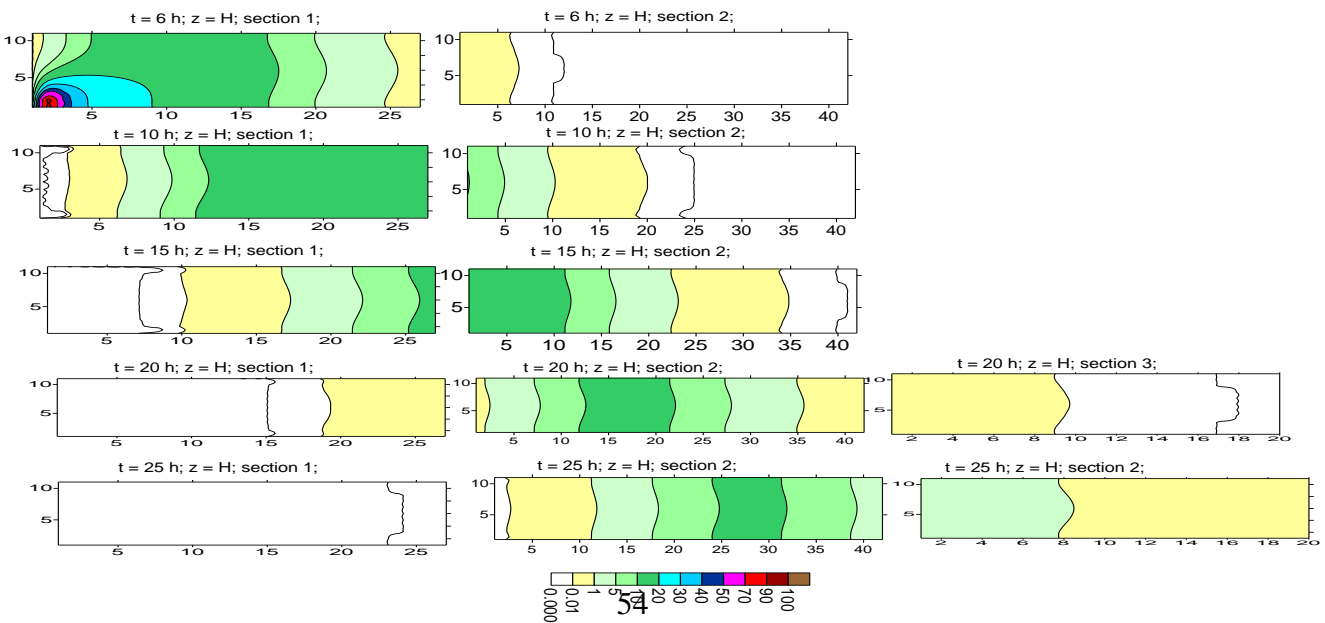
ნახაზებზე. 18 და 19 მოცემული არიან მდინარე მტკვრის დაბინძურების სურათები როდესაც დაბინძურების მუდმივი წყარო მოთავსებულია №6 უბნის (ქართლი - სოფ. ქვევი) დასაწყისში. ნახაზებიდან ჩანს, რომ დამაბინძურებელი ნივთიერება ვრცელდება მდინარეში თვისებრივად ისევე როგორც აღწერილი იყო ზევით. არის მხოლოდ რაოდენობრივი განსხვავება. ვინაიდან უბნები 6, 7, და 8 მდებარეობენ ქართლის ვაკის ტერიტორიაზე, ამ უბნებში მდინარის კალაპოტის ხორციანობა ნაკლებია ვიდრე მთაგორიან

ტერიტორიაზე. შესაბამისად, ტურბულენციურის კოეფიციენტების მნიშვნელობები ვაკე ტერიტორიაზე ჩვენს მიერ აღებულია 5-ჯერ ნაკლები, ვიდრე მათი მნიშვნელობები მთაგორიან ტერიტორიაზე. აღნიშნულმა განსხვავებამ გამოიწვია ნივთიერების განზავების ინტენსივობის შემცირება და გაზარდა ის მანძილი რომელზედაც ხდება ნივთიერების გავრცელება მთელი კალაპოტის სიგანეზე.

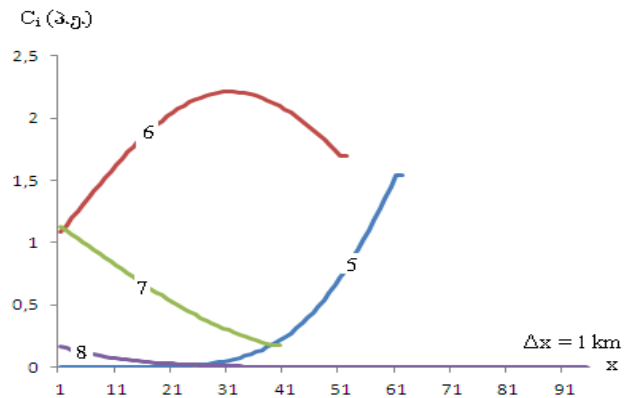
6.2.2. მდინარის დაბინძურების გამოქლევა წყაროდან პასიური ნივთიერების მოქლე ჟეროიდის განმავლობაში განხორციელებული ჩაღვრის შემთხვევაში

მდ.მტკვარში დამაბინძურებელი ნივთიერების გავრცელების კანოზომიერბის გამოკვლევის მიზნით მოდელირებულია პასიური ნივთიერების გავრცელება, რომელიც №1 უბანში იღვრება მხოლოდ 6სთ-ის განმავლობაში და შემდეგ ჩაღვრა წელება. ნახ.20 ნაჩვენებია ნივთიერების გავრცელების სურათი ჩაღვრის შეწყვეტიდან 25სთ-მდე. ნახ.20-დან ჩანს, რომ ჩაღვრის დაწყებიდან მის შეწყვეტამდე (6სთ) დამაბინძურებელი ნივთიერება გავრცელებული მთელ პირველ უბანზე და გადასცულია მეორე უბნის 10-12კ-იან მონაკვეთზე. ნივთიერების კონცენტრაცია მაქსიმალურია წეაროს მიდამოებში და მცირდება მისგან დაშორებით დინების მიმართულებით. ჩაღვრის წერტილის მიდამოებში ჩაღვრის შეწყვეტის შედეგ კონცენტრაცია თანდათანობით მცირდება, დამაბინძურებელი ნივთიერება და მისი მაქსიმალური მნიშვნელობების ზონა თანდათანობით გადადგილდება დინების მიმართულებით. როცა $t=10$ სთ მდინარის წყალი დაბინძურებულია მდინარის დაახლოებით 50კმ მონაკვეთზე. დროის შემდგომი მომენტებისათვის $t=25$, 20სთ და ა.შ. ნივთიერება, როგორც ერთიანი მასა გადადგილდება დინების მიმართულებით და დაბინძურებული მონაკვეთის სიგრძე იზრდება. როცა $t=20$ სთ დაბინძურებულია მდინარის დაახლოებით 75კმ-იანი მონაკვეთი. ამავე დროს ხდება წყლის გასუფთავება დაბინძურების ჩაღვრის მიდამოებში და მთელ №1 მონაკვეთში.

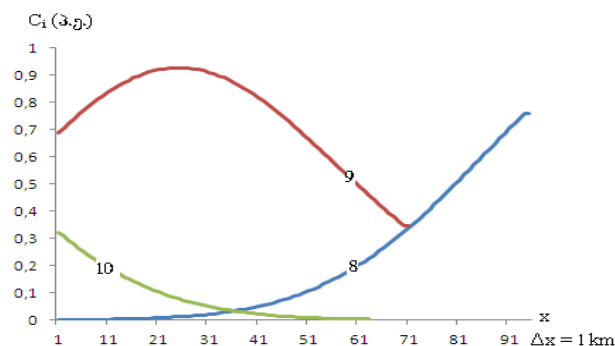
როცა $t=80$ სთ დამაბინძურებელი ნივთიერება გამოტანილია მდინარის №14 მონაკვეთებიდან ($C_{1-4}=0$) და ის გადატანილია №5, 6, 7 და 8 მონაკვეთებში (ნახ.21). დაბინძურების ზონა შეადგენს მდინარის დაახლოებით 140კმ-იან მონაკვეთს: სოფ.ქვიშეეთი - ქ.გორის შეადგენს სოფ.სოდანლუდი - სოფ.პოილის დასაწისამდე. დამაბინძურებელი ნივთიერების გავრცელებამ დიდ სივრცეში გამოიწვია ნივთიერების განზავება და კონცენტრაციის შემცირება. მაქსიმალური კონცენტრაცია შეადგენს მხოლოდ 2.3 კ.გ. და ის მიღებულია ქ.გორი - სოფ.ქვიშეეთის შეადგენს ნაწილში.



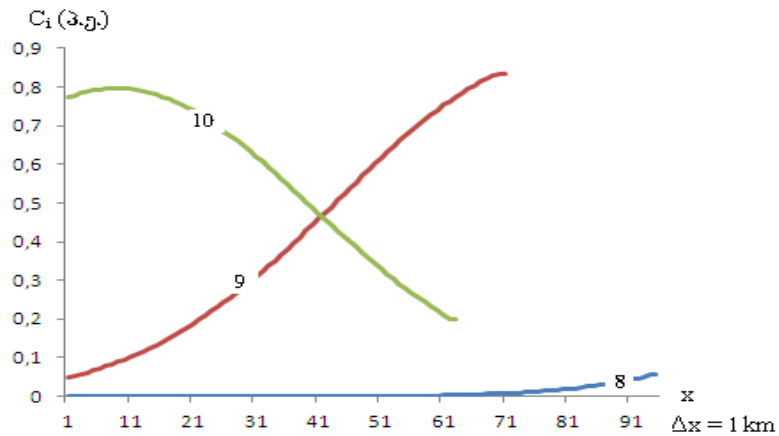
ნახ.20. პასიური დამაბინძურებელი ნივთიერების კონცენტრაციის მნიშვნელობები წელის ზედაპირზე ($z=H$) მდ.მტკვრის მონაკვეთებზე არასტაციონალური ჩაღვრის შემთხვევაში. (ბიჯი $\Delta x = 1 \text{ კმ}$).



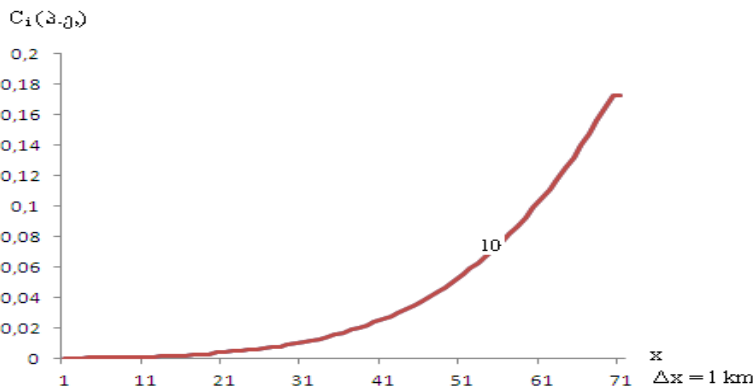
ნახ.21. კონკენტრაციის მნიშვნელობები C_i (კ.გ.) წელის ზედაპირზე ($z=H$) ძლიერების №5-8 მონაკვეთებში როცა $t=80$ სთ.



ნახ.22. კონკენტრაციის მნიშვნელობები C_i (კ.გ.) წელის ზედაპირზე ($z=H$) ძლიერების №8-10 მონაკვეთებში როცა $t=130$ სთ.



ნახ.23. კონცენტრაციის მნიშვნელობები C_i (გ.გ.) წყლის ზედაპირზე ($z=H$) მდ. მდგრადის №8-10 მონაკვეთში როცა $t=150$ სთ.



ნახ. 24. კონცენტრაციის მნიშვნელობები C_i (გ.გ.) წყლის ზედაპირზე ($z = H$) მდ. მდგრადის №10 მონაკვეთში როცა $t=165$ სთ.

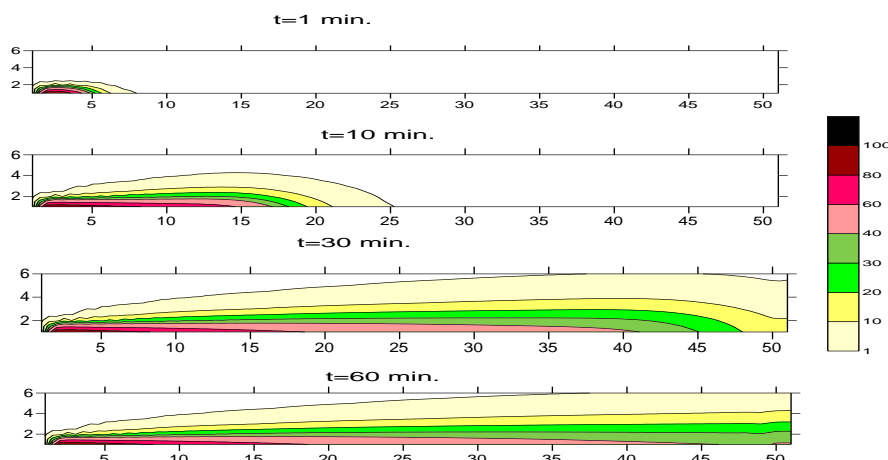
ნახ.22-24-დან ჩანს, რომ $t=80$ სთ-დან დაწყებული დამაბინძურებელი ნივთიერება შემოდის მდინარის №8 უბანში (სოფ.სოდანლუდი - სოფ.პოილი), შემდგომ მისი კონცენტრაცია თანდათანობით იზრდება, $t=125$ საათისათვის აღწევს მაქსიმალურ მნიშვნელობას (0.7 გ.გ.) და დროის შემდგომ მომეტანებში იწყებს კლებას. როცა $t=150$ სთ დამაბინძურებელი ნივთიერება გადის №8 უბანიდან და მისი კონცენტრაცია თანდათანობით უახლოვდება 0-ს. ანალოგიურად მიმდინარეობს დამაბინძურებელი ნივთიერების გადატანა №9 და №10 უბანებში. საბოლოოდ, როცა $t=165$ სთ ნივთიერების მცირე რაოდენობაა დარჩენილი მინგეჩაურის წყალსაცავის მიმდებარე 50 კმ მონაკვეთში. იქ კოცენტრაციის მაქსიმალური მნიშვნელობა 500-ჯერ ნაკლებია ჩაღვრის წერტილში არსებულ კონცენტრაციასთან და თანდათანობით კიდევ უფრო მცირდება. განოთვლებმა აჩვენეს, რომ ამის შემდეგ კიდევ დაახლოებით 10სთ-ია საჭირო იმისათვის, რომ დამაბინძურებელი ნივთიერება მოლიანად გავიდეს მოდელირების არედან და გადავიდეს მინგეჩაურის წყალსაცავში.

მოკლეპერიოდიანი ჩაღვრების შემთხვევებში კონცენტრაციის მაქსიმალური მნიშვნელობები მდინარის ცალკეულ წერტილებში მით უფრო ნაკლებია, რაც უფრო მეტადაა

დაშორებული ეს წერტილები ჩადგრის წერტილს. აღნიშნული ეფექტი გამოწვეულია დამაბინძურებელი ნივთიერების გაშლით და განზავებით მდინარის გასწვრივ.

6.2.3. მდ. მტკვარის დაბინძურების გამოკლევა ქ. თბილის მიდამოებში ნავთობის ჩადგრის შემთხვევაში

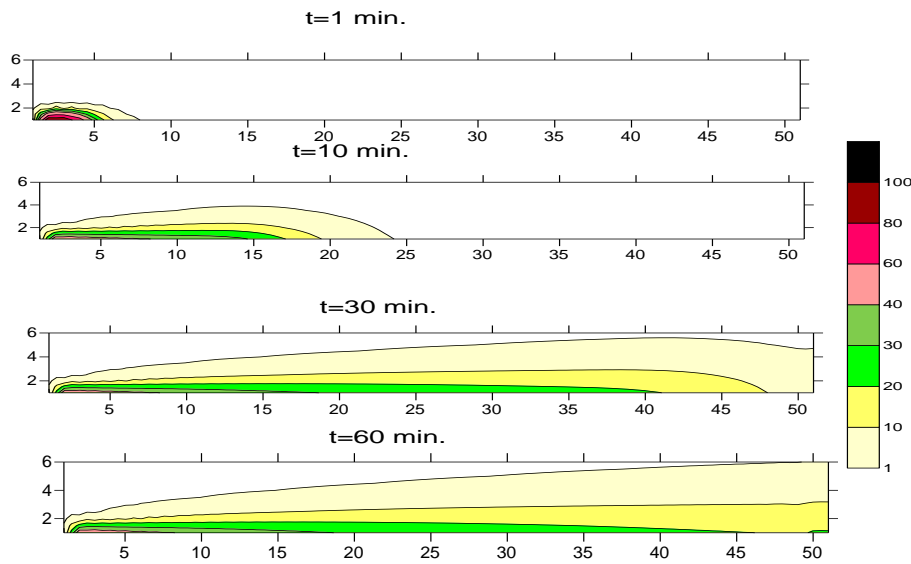
ნახ.25-ზე ნაჩვენბია ნავთობპროდუქტების გაფრცელება და მისი კონცენტრაცია $t=1, 10, 30$ წთ-ისა და 1 საათის შემდეგ. როგორც ნახაზიდან ჩანს, დამაბინძურებელი ინგრედიენტის კონცენტრაცია პირველი 10 წთ-ის განმავლობაში ლოკალიზირებულია მდინარის 400-მეტრიან მონაკვეთზე და მისი სიგანის ნახევარზე. კონცენტრაცია მაქსიმალურია ჩადგრის წერტილის მიდამოებში და თანდათანობით მცირდება მისგან გაშორებით. 30 წთ-ის შემდეგ ნავთობპროდუქტი ვრცელდება მდინარის მთელ სიგანეზე ჩადგრის წერტილიდან დაახლოებით 700მ მანძილზე დაშორებით და შემდგომ ის უკეთ ეფინება მდინარის მთელ ზედაპირს ზემოთ მითითებული მანძილიდან დინების მიმართულებით.



ნახ. 25. ნავთობპროდუქტების კონცენტრაციის C (g/m^3) განაწილება მდინარის ზედაპირზე როცა $t=1, 10, 30$ წთ და 60 წთ-ს. პორიზონტალური ძიჯები $\Delta x = 20$ მ; $\Delta y = 10$ მ

თვისობრივად ანალოგიური სივრცელი განაწილებაა მიღებული მდინარის ფსკერის სიახლოეს (ნახ.26), მხოლოდ იმ განსხვავებით, რომ ჩადგრის წერტილიდან მოშორებით ფსკერის სიახლოეს კონცენტრაციის მნიშვნელობა დაახლოებით მესამედია იმ მნიშვნელობისა, რომელიც მას აქვს წყლის ზედაპირზე შესაბამის წერტილში.

მიღებული შედეგი მიუთითებს იმას, რომ მიუხედავად ნავთობპროდუქტების ნაკლები სიმკვრივისა, ვერტიკალური ტურბულენტური აღრევა იწვევს მდინარის წყლის ნავთობპროდუქტებით დაბინძურებას სიღრმეში. აღნიშნული ეთანხმება იმ მოსაზრებას, რომ ვერტიკალური ტურბულენტური თამაშობს მნიშვნელოვან როლს წყლის ობიექტების დაბინძურებისა და დამაბინძურებელი ინგრედიენტების სივრცელი განაწილების პროცესში.



ნავთობპროდუქტების კონცენტრაციის C (g/m^3) განაწილება მდინარის სიღრმეში გსერიდან 30სმ სიმაღლეზე როცა $t=1$, 10 , 30 და 60 წთ-ს.

6.2.4. მდ. მტკვრში ამონიუმის იონის (NH_4^+) გავრცელების რიცხვითი მოდლირება და დაბინძურების გამოკვლევა

ამონიუმის იონი არის მდინარე მტკვრის ერთერთი მნიშვნელოვანი დამაბინძურებელი ინგრედიენტი. მდ.მტკვრის საქართველოს მონაკვეთში ის მდინარეში შეიძლება მოხვედეს საყფაცხოვრებო და სასოფლო-სამეურნეო წარმოშობის ფერალური წყლების საშუალებით. ვინაიდან, მდინარის აუზში არის განლაგებული NH_4^+ -ის გამომოყოფი მსხვილი სამრეწველო ობიექტები, მრავალრიცხოვანი მესაქონლეობის ფერმები და მეცხოველეობის კომპლექსები, ამიტომ სასოფლო-სამეურნეო წარმოების გავლენა ამონიუმის იონით მდინარის დაბინძურებაში, პირველ მიახლოებაში, შეიძლება უგულყოფილი იყოს. შესაბამისად, მდ.მტკვრის აუზში ამონიუმის იონის ძირითად წყაროებად შეიძლება ჩაითვალოს მის ნაპირებზე განლაგებული ქალაქების ფერალური ჩანადენი წყლები.

საქართველოს ქალაქების ფერალურ წყლებში ამონიუმის კონცენტრაციის ნატურული გაზომვებით მიღებული საიმედო მონაცემის მოძიება დღეისათვის შეუძლებელია. ამიტომ, მდ.მტკვრის წყალის ამონიუმის იონით დაბინძურების რიცხვითი მოდელირებისთვის შეიძლება გამოვიყენოთ ზოგადი შეფასებები.

გამოკვლევებით დადგენილია, რომ თანამედროვე ქალაქის მცხოვრები 1 სული მოსახლე დღე-დამეში საშუალოდ გამოყოფს 7-8გ NH_4^+ -ს [50], და 1ლ საყოფაცხოვრებო ფერალური წყლები შეიცავს 10მგ-მდე ანონიუმის იონს [32]. მაშინ, მდ.მტკვრის ნაპირგანლაგებული საქართველოს ქალაქების ფერალური წყლებით მდ.მტკვარში 1წ-ში შეტანილი NH_4^+ -ის რაოდენობა გამოითვლება ფორმულით

$$Q = \frac{7 \times N}{3600 \times 24} \quad \text{g/Vd},$$

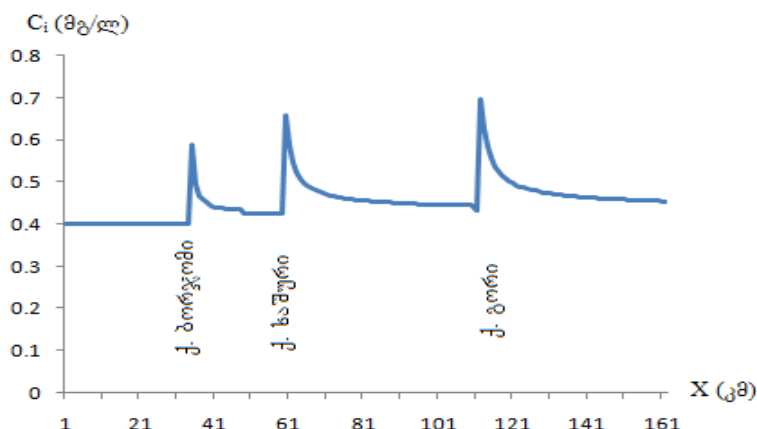
აქ, Q არის ჩაღვრის ინტენსივობა, N – მცხოვრებთა რაოდენობა. მიღებული შედეგები მოყვანილია ცხრილ 65-ში.

ცხრილი 21. საქართველოს ქალაქიდიან მდ. მტკვარზე ჩაღვრილი ამონიუმის იონის ინტენსივობა (გ/წმ)

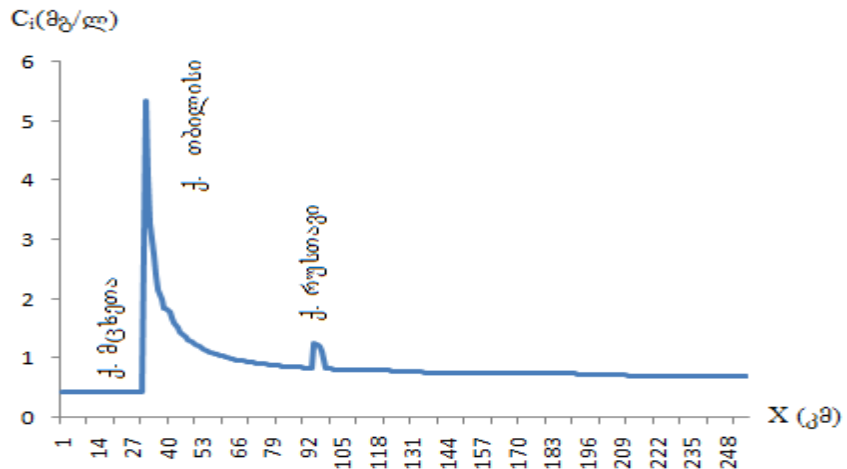
№	1	2	3	4	5	6
ქალაქი	ბორჯომი	ხაშური	გორი	მცხეთა	თბილისი	რუსთავი
მოსახლეობა (ათასი)	14.4	28.5	46.7	7.7	1 200.0	122.0
NH_4^+ ჩანადენი (გ/წმ)	1.17	2.31	3.78	0.62	97.20	9.88

მოდელირებისათვის საჭირო ამონიუმის იონის ფონური მნიშვნელობად მიღებული იქნა საქართველოს გარემოს ეროვნული სააგენტოს მონაცემი საქართველო-თურქეთის სახელმწიფო საზღვრის მახლობლად ნატურული გაზომვებით განსაზღვრული ამონიუმის იონის კონცენტრაციის სიდიდე $C_{1,0} = 0.4 \text{ მგ/ლ}$.

ნახ.25-27-ზე ნაჩვენებია მოდელირებით მიღებული კონცენტრაციების მნიშვნელობები დდ. მტკვრის საქართველის მონაკვეთებში. ნახ.27-დან ჩანს, რომ

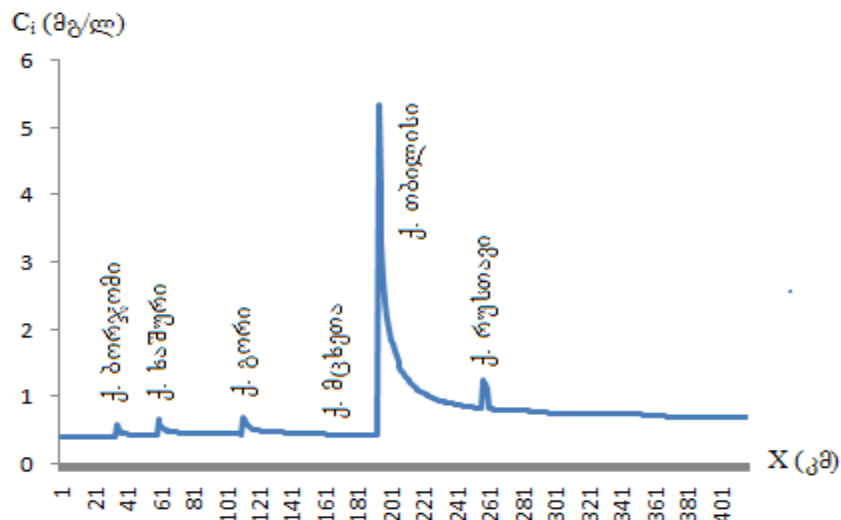


ნახ. 27. ამონიუმის იონის კონცენტრაციის განაწილება მდ. მტკვარზე ხოფ. აწყურიდან ხოფ. ძეგვაძღეულიდან.



ნახ.28. ამონიუმის იონის კონცენტრაციის განაწილება მდ.მტბპარშით სოფ.ქვევიდან მინგებაურის წყალსაცავამდე.

ქალაქების ბორჯომის, ხაშურისა და გორის გავლენით ამონიუმის შემცველობა, მდინარე მტკვარში ჩამდინარე შენაკადებში განზავების გათვალისწინებით, იზრდება 0.054 მგ/ლ -ით. კონცენტრაციის განსაკუთრებით დიდი სიდიდით გაზრდა მიღებულია უმუალოდ დაბინძურების ჩაშვების წერტილებიდან 3-5 კმ-ის მანძილზე. განსაკუთრებით დიდია ქ-თბილისის წვლილი მდ.მტბპარის NH_4^+ -ით დაბინძურებაში (ნახ.28). ქ-თბილისის ჩანადენები იწვევენ მდ. მტკვარში ამონიუმის შემცველობის გაზრდას მისი სრული განზავების შემდეგ $\Delta C_i = 0.5 \text{ მგ/ლ}$ -ით.



ნახ. 29. ამონიუმის იონის კონცენტრაციის განაწილება მდ. მტკვარის საქართველოს მონაცემში.

ცხრილი 22. მდ. მდგვრის პუნქტებში ამონიუმის იონის კონცენტრაციის (მგ/ლ) ლაბორატორიული გაზომვის მონაცემები

თარიღი	ბორჯომი	გორი	ზაჟესი	თბილისი	რუსთავი
2007-2010 წწ. საშუალო მრავალწლიური კონცენტრაცია	0.490	0.520	0.530	0.580	0.880
2013 წ. აგვისტო	0,420	0,358	0,350	0,365	0,350
2013 წ. სექტემბერი	0,482	0,513	0,474	1,019	0,715

მნიშვნელოვნად ნაკლებია ქრუსთავით გამოწვეული კონცენტრაციის ნაზრდი $\Delta C_i = 0.15$ მგ/ლ. რაც შეეხება ქმცხეთის წვლილს მდინარის დაბინძურებაში ის უმნიშვნელოა, რადგან, მდ არაგვის ჩანადენების გამო ხდება კონცენტრაციის მკვეთრი შემცირება (ნახ. 28).

ცხრილ 22-ში მოცემულია გარემოს ეროვნული სააგენტოს მიერ ჩატარებული გაზომვის შედეგები. მათი შეადარებით მოდელირების შედეგებთან შეიძლება დავასკვნათ, რომ მოდელირებით მიღებული ამონიუმის იონის კონცენტრაციის სიდიდეები ახლოსაა ნატურული გაზომვებით მიღებულ საშუალო მრავალწლიურ სიდიდეებთან. მათ შორის განსხვავება დასაშვებ ფარგლებშია. ასევე ტანხვედრაშია კონცენტრაციების ზრდის ტენდენცია მდინარის დინების გასწვრივ. განსხვავება მოდელირებით მიღებულ კონცენტრაციების რიცხვით მნიშვნელობებსა და 2013 წლის აგვისტოსა და სექტემბრის თვეებში დაკვირვებულ კონცენტრაციებს შორის. განსხვავებები გამოწვეული არიან იმით, რომ რიცხვითი მოდელირებისას გამოყენებული იყო ჰიდროლოგიური პარამეტრების საშუალო მახასიათებელი სიდიდეები. ე.ო. მოდელირებისას ითვლება საშუალო მახასიათებელი კონცენტრაცია და არა პროგნოსტიკული, კონკრეტულ კონცენტრაციის საშუალო დღიური მნიშვნელობა.

7. ხარისხის ინტეგრალური მაჩვენებლების (ხარისხის ინდექსების) მეშვეობით, მდ. მტკვრის და მისი ზოგიერთი შენაკადის ხარისხის კლასიფიკაციის მინიჭება.

ევროკავშირის ქვეყნების წყლის ჩარჩო დირექტივების (2000/60/EC) რეკომენდაციის მიხედვით მდ. მტკვრის და მისი ზოგიერთი შენაკადის კლასიფიკაციის მინიჭების ოფალსაზრისით, თვითოვეული მათგანის მიმართ გამოანგარიშებულ იქნა ეწ. წყლის დაბინძურების ინდექსი (S) არანაკლებ 6 ან 7 ჰიდროქიმიური მაჩვენებელის (ინდიკატორის) გამოყენებით. დაბინძურების ინდექსი გამოთვლილ იქნა შემდეგი განტოლებით:

$$S = \sum_{i=1}^N \frac{C_i / \theta_i}{N}$$

შერჩეული ინდიკატორების ნუსხა მოცემულია ცხრილში 23-24.

ცხრ.23. მდ.მტკვრის და მისი შენაკადებისთვის შერჩეული ინდიკატორები

ინდიკატორი	ზღვა
PH	7.5-8.5
DO	4-6
ჟბმ5	3
NO ₂ ⁻	1.1
NO ₃ ⁻	10
NH ₄ ⁺	0.39
NH ₃	0.05
PO ₄ ³⁻	3.5
SO ₄ ²⁻	500
Cl ⁻	350

ცხრ.24. მდ.ხრამისა და მდ.მამავერასთვის შერჩეული ინდიკატორები

ინდიკატორი	ზღვა
PH	7.5-8.5
DO	4-6
ჟბმ5	3
NO ₂ ⁻	1.1
NO ₃ ⁻	10
NH ₄ ⁺	0.39
NH ₃	0.05
Fe	0.3
Zn	1
Cu	1

წყლის ხარისხის ინდიკატორების გამოთვლა მდ. მტკვრის თვითოვეული სეგმენტისთვის მიმდინარეობდა შემდეგნაირად.

$$S = \sum_{i=1}^n \frac{C_i / \text{მგდ}}{N}$$

1. ხათავე - ხეროვინი

$$S = \frac{\frac{8.28\text{pH}}{7.5} + \frac{7.62\text{DO}}{5} + \frac{1.60}{3} + \frac{0.04\text{NO}_2^-}{1.1} + \frac{0.77\text{NO}_3^-}{10} + \frac{0.310\text{NH}_4^+}{0.39} + \frac{0.014\text{NH}_3}{0.05} + \frac{0.09\text{PO}_4^{3-}}{3.5} + \frac{11.2\text{SO}_4}{500} + \frac{4.45\text{Cl}^-}{350}}{10} = \\ = \frac{1.11 + 1.52 + 0.53 + 0.04 + 0.08 + 0.79 + 0.02 + 0.03 + 0.022 + 0.013}{10} = \boxed{0.42}$$

2. ხეროვინი - ბორჯომი

$$S = \frac{\frac{8.3}{7.5} + \frac{7.60}{5} + \frac{1.68}{3} + \frac{0.05}{1.1} + \frac{0.85}{10} + \frac{0.710}{0.39} + \frac{0.010}{0.05} + \frac{0.09}{3.5} + \frac{13.2}{500} + \frac{3.82}{350}}{10} = \\ = \frac{1.1.1 + 1.52 + 0.56 + 0.05 + 0.09 + 1.82 + 0.2 + 0.026 + 0.026 + 0.011}{10} = \boxed{0.54}$$

3. ბორჯომი - გორი

$$S = \frac{\frac{8.36}{7.5} + \frac{8.57}{5} + \frac{1.98}{3} + \frac{0.04}{1.1} + \frac{0.90}{10} + \frac{0.844}{0.39} + \frac{0.009}{0.05} + \frac{0.07}{3.5} + \frac{15.1}{500} + \frac{3.93}{350}}{10} = \\ = \frac{1.12 + 1.72 + 0.66 + 0.04 + 0.09 + 2.15 + 0.18 + 0.02 + 0.03 + 0.01}{10} = \boxed{0.61}$$

4. გორი - ზაქეთი

$$S = \frac{\frac{8.43}{7.5} + \frac{8.14}{5} + \frac{2.50}{3} + \frac{0.06}{1.1} + \frac{0.82}{10} + \frac{0.822}{0.39} + \frac{0.022}{0.05} + \frac{0.131}{3.5} + \frac{26.82}{500} + \frac{4.85}{350}}{10} = \\ = \frac{1.13 + 1.63 + 0.83 + 0.054 + 0.082 + 2.11 + 0.44 + 0.04 + 0.053 + 0.014}{10} = \boxed{0.64}$$

5. ზაქეთი - გამიანი

$$S = \frac{\frac{8.14}{7.5} + \frac{8.15}{5} + \frac{3.20}{3} + \frac{0.132}{1.1} + \frac{1.04}{10} + \frac{0.780}{0.39} + \frac{0.023}{0.05} + \frac{0.261}{3.5} + \frac{51.6}{500} + \frac{6.4}{350}}{10} = \\ = \frac{1.1 + 1.63 + 1.1 + 0.12 + 0.11 + 2.0 + 0.46 + 0.075 + 0.10 + 0.02}{10} = \boxed{0.67}$$

6. გამიანი - რუსთავი

$$S = \frac{\frac{8.16}{7.5} + \frac{8.45}{5} + \frac{3.32}{3} + \frac{0.210}{1.1} + \frac{1.21}{10} + \frac{0.862}{0.39} + \frac{0.015}{0.05} + \frac{0.22}{3.5} + \frac{63.0}{500} + \frac{7.2}{350}}{10} = \\ = \frac{1.1 + 1.7 + 1.1 + 0.2 + 0.12 + 0.22 + 0.3 + 0.06 + 0.13 + 0.021}{10} = \boxed{0.70}$$

ანალოგიურად ინდექსების გამოთვლა შესრულებულ იქნა თვითონეული ჩვენს მიერ შესწავლილი შენაკადებისთვისაც. შედეგად მივიღეთ ცალკეული მდინარესთვის წყლის ხარისხის კლასიფიკაციის შემდეგი შეფასებები (ცხრ. 25-26)

ცხრ.25. მდ.მტკვრის სეგმენტებისათვის მინიჭებული წყლის ხარისხის კლასიფიკაციები

მდ.მტკვარი	დაბინძურების ინდექსი	წყლის ხარისხის კლასი
სათავე-ხერთვისი	0.42	1
ხერთვისი-ბორჯომი	0.54	1
ბორჯომი-გორი	0.61	1
გორი-ზაჟესი	0.64	1
ზაჟესი-გაჩიანი	0.67	1
გაჩიანი-რუსთავი	0.70	1

როგორც ვხედავთ (ცხრ.25) მდინარე მტკვრის წყლის დაბინძურების ინდექსები დინების მიმართულების მიხედვით მატულობს (0.42-იდან 0.70-მდე) და შესაბამისად კლასიფიკირდების მიხედვით მდინარის ყველა სეგმენტი ჯდება წყლის პირველი კლასის მაჩვენებელში, თუმცა გაჩიანი-რუსთავის მონაკვეთში მისი მნიშვნელობა უახლოვდება ერთს, რაც ჩვენი აზრით ყურადსაღებია.

ცხრ. 26. მდ.მტკვრის ზოგიერთი შენაკადებისათვის მინიჭებული წყლის ხარისხის კლასიფიკაციები

მდინარე	დაბინძურების ინდექსი	წყლის ხარისხის კლასი	ვერადი კოდი
მაშავერა (ზედა კვეთი)	0.64	1	სუფთა (მწვანე)
მაშავერა (ქვედა კვეთი)	2,18	3	დაბინძურებული (ნარინჯისფერი)
ხრამი (წო.ხიდი)	0.76	1	სუფთა (მწვანე)
სურამულა (ხაშური)	1,30	2	მცირედ დაბინძურებული (ყვითელი)
ლიახვი (ზედა კვეთი)	1.66	2	მცირედ დაბინძურებული (ყვითელი)
ლიახვი (ქვედა კვეთი)	0.82	1	სუფთა (მწვანე)
ალაზანი (შაქრიანი)	0.52	1	სუფთა (მწვანე)
არაგვი	0.47	1	სუფთა (მწვანე)

ჩვენს მიერ, ასევე მიღებულ იქნა მდ.მტკვრის და მისი ზოგიერთი შენაკადის დაბინძურების ინდექსები გამოთვლილი წლის თბილი და ცივი სეზონების მონაცემებიდან. მიღებული მნიშვნელობები მოცემულია ცხრილში 27.

ცხრ. 27. მდ.მტკვრისა და მისი ზოგიერთი შენაკადების ხარისხის კლასიფიკაციის ცვალებადობა წლის სეზონურობის მიხდვით

მდინარე	სეზონი	დაბინძურების ინდექსი	წყლის ხარისხის კლასი	ფერადი კოდი
მტკარი (გაჩიანი- რუსთავი)	გაზაფხული	0.61	1	(მწვანე)
	ზაფხული	1.05	2	(ყვითელი)
ხრამი (წითელი ხიდი)	გაზაფხული	0.56	1	(მწვანე)
	ზაფხული	1.01	2	(ყვითელი)
სურამულა (ხაშური)	გაზაფხული	0.76	1	(მწვანე)
	ზაფხული	1.66	2	(ყვითელი)

შეგვიძლია ვთქვათ, რომ წყალმცირობის პერიოდში შედარებით გადატვირთულ მონაცემებში ზოგიერთი მდინარის ხარისხი უარესდება (ცხრ.23).

განხილულ იქნა ზედაპირული წყლების ხარისხის კლასიფიკაციის მინიჭების ჩვენს მიერ შერჩეული მეთოდი, მდ.მტკვრის აუზის მაგალითზე. დადგენილ იქნა ის პრიორიტეტული ინდიკატორები, რომლებიც ჩვენი აზრით ყველაზე უფრო დამახასიათებელი და მისაღებია მოცემული მდინარის აუზის წყლის ხარისხისა და შესაბამისად კლასიფიკაციის მინიჭებისათვის. აღმოჩნდა, რომ მდ. მტკვრის ზოგიერთი შენაკადის წყლები შექსაბამება „დაბინძურებულის“ ან „მცირედ დაბინძურებულის“ კლასს, რაც თავისთავად დამაფიქრებელია, ასევე გაირკვა, რომ მათი დაბინძურების ხარისხი გარკვეულწილად დამოკიდებულია წლის სეზონურობასთანაც.

ჩატარებული გამოკვლევის შედეგად შეგვიძლია დავასკვნათ, რომ მდ.მტკვრის და მისი შენაკადების წყლების ხარისხი უარესდება მათი დინების მიმართულებით და ეს ტენდენცია გამორჩეულად თავს იჩენს წყალმცირობის პერიოდში. მდ.მტკვრის აუზის ზოგიერთი სეგმენტი იმუოფება ფერადური დაბინძურების ქვეშ. იდენტიფიცირებულია მდ. მტკვრის „სუფთა“, „მცირედ დაბინძურებული“ და „დაბინძურებული“ შენაკადები. შეგვიძლია ვთქვათ, რომ საქართველოს ძირითადი ტრანსასაზღვრო მდინარეების ეკოქიმიური მდგომარეობა დღეს ნორმის ფარგლებშია, მაგრამ აუცილებელია მათზე ანთროპოგენური დატვირთვის მკაცრი კონტროლი.

დ ა ს კ ვ ნ ე ბ ი

1. ჩატარებული კვლევების შედეგად შეიძლება ვთქვათ, რომ მდ.მტკვრის წყალი მკვეთრად გამოხსატული ჰიდროკარბონატულია Ca^{+2} -ის შედარებით მაღალი შემცველობით.

2. შესწავლით ინგრედიენტთა (30) შემცველობის და მათი სტატისტიკურ მონაცემებთან შედარების მიხედვით 2009-2012 წლებში მდინარე მტკვარზე და მის შენაკადებზე სამრეწველო ანთროპოგენული დატვირთვა მკვეთრად არ არის გამოხსატული.

3. მდ.მტკვრის წყლის ფაზაში ანთროპოგენული დატვირთვით გამოწვეულ ინგრედიენტთა სახით შეიძლება გამოვყოთ აზოტის ფორმები (NO_2^- , NO_3^- , NH_4^+), განსაკუთრებით ამონიუმის იონები, რომელთა შემცველობა წყალმცირობის პერიოდში წყლის ფაზაში აჭარბებს შესაბამის ზღვას მნიშვნელობას 5-10-ჯერ. აზოტის ფორმების კონცენტრაციები მდინარის დინების მიმართულებით იზრდება და თავის მაქსიმუმს აღწევს თბილისი-რუსთავის რეგიონში.

4. ქბმ-ის კონცენტრაციები მკვეთრად იზრდება წყალმცირობის პერიოდში (ზდგ-3 მგ/ლ) და მდ.მტკვრის წყლებში მისი შემცველობა მერყეობს:

$$0.82 - 2.90 \text{ მგ/ლ გაზაფხული.}$$

$$2.00 - 4.00 \text{ მგ/ლ ზაფხული.}$$

$$1.52 - 3.71 \text{ მგ/ლ შემოდგომა.}$$

5. მდ.მტკვრის აუზის წყლებზე დიდია საყოფაცხოვრებო-კომუნალური ჩამდინარე წყლების გავლენა, რაც გამოხსატულია ქბმს და აზოტის ფორმების მკვეთრ ზრდაში. ამდენად, თუკი ქვეყანაში მოწესრიგდება საყოფაცხოვრებო-კომუნალური ჩამდინარე წყლების გამწმენდი ნაგებობები მდინარეთა წყლის ხარისხი ბევრად გაუმჯობესდება.

6. შენაკადებიდან აღსანიშნავია მდ.ხრამის მდგომარეობა, რომლის დაბინძურებას მძიმე ლითონებით განაპირობებს მდ.კაზრეთულა და მაშავერა. მძიმე ლითონების შემცველობა ამ რეგიონში განსაკუთრებით მაღალია ფსკერულ ნალექებსა და ნიადაგებში. მომავალში მოსალოდნელია დაბინძურების არეალის გაზრდა.

7. მაღალია მდ.სურამულას დაბინძურება ფეკალური წყლებით. მისი დღევანდელი მდგომარეობა სავალალოა.

მდ.სურამულას წყლებში – ქბმ-ის მაქსიმუმი დაფიქსირდა 10,7 მგ/ლ, ამ დროს NH_4^+ -ის კონცენტრაცია ტოლი იყო 10,1 მგ/ლ, რაც აბსოლუტურ მაქსიმუმს შეადგენს.

8. მდ.ლეხურას წყლებში არ შეინიშნება ბიოგენურ ელემენტთა მაღალი კონცენტრაციები, რაც კიდევ ერთხელ ადასტურებს მოსაზრებას, რომ აქ ძირითადი დამატებულიანებელი ცემენტის ქარსანაა.

9. მდ.მტკვრის აუზის წყლებში შედარებით მაღალია Ca^{+2} -ის იონის კონცენტრაცია, მაგრამ აქ ანთროპოგენულ დატვირთვაზე ვერ ვილაპარაკებთ, რადგან ამის მიზეზად მიგვაჩნია მდ.მტკვრის ქვედა წელის მიმდებარე ნიადაგების მკვეთრად გამოხსატული თაბაშირული ($\text{CaSO}_4 \cdot 2\text{H}_2\text{O}$) შედგენილობა. ამ მოსაზრებას ადასტურებს წყალუხვობის პერიოდში აღებული ნიმუშების ანალიზის შედეგები, როცა ნიადაგიდან გამორეცხვის ხარჯზე წყლის ფაზაში Ca^{+2} -ის იონის კონცენტრაცია მკვეთრად იზრდება.

10. მძიმე ლითონების კონცენტრაციების ცვლილება წყლის ფაზაში მონაცემების მიხედვით სეზონურობას არ ექვემდებარება. უნდა აღინიშნოს მხოლოდ, რომ ცალკეულ ნიმუშებში, როცა იყო ძლიერი წყალდიდობა და მდინარეში იყო მომატებული ტივტივა ნატანი, გაზრდილია ზოგიერთი ლითონის (მაგ. რკინის, სპილენძის) კონცენტრაციები, რაც შეიძლება აიხსნას წყლის ნაკადების აღრევით გამოწვეული მეორადი დაჭუჭყაფიანებით.

აუცილებელია ავღნიშნოთ, რომ მდ.მტკვრის მიერ მძიმე ლითონების ტრანსპორტირება ძირითადად ხდება შეწონილი ნაწილაკების ხარჯზე.

11. მძიმე ლითონების კონცენტრაციების ზრდა მდინარის დინების მიმართულებით გველაზე მკვეთრად გამოსახულია ფსკერულ ნალექებსა და ნიადაგების სინჯებში. გამონაკლისს წარმოადგენს მანგანუმი და ტყვია, რომელთა შემცველობები სტაბილურად ერთნაირია როგორც დინების მიმართულებით, ასევე პიდროლოგიური რეჟიმის ყველა ფაზაში. ამდენად წყალუხვობის პერიოდში როცა ხდება ფაზათ აღრევა, ფსკერული ნალექები და მდინარის მიმღებარე ტერიტორიების ნიადაგები ფაქტიურად განაპირობებენ წყლების მეორად დაჭუჭყიანებას.

12. ჩატარებული გამოკვლევის შედეგით დავასკვნათ, რომ მდ.მტკვრის და მისი შენაკადების წყლების ხარისხი უარესდება მათი დინების მიმართულებით და ეს ტენდენცია გამორჩეულად თავს იჩენს წყალმცირობის პერიოდში. მდ.მტკვრის აუზის ზოგიერთი სეგმენტი იმყოფება ფეკალური დაბინძურებების ქვეშ. იდენტიფიცირებულია მდ.მტკვრის „სუფთა“, „მცირედ დაბინძურებული“ და „დაბინძურებული“ შენაკადები. შეგვიძლია ვთქვათ, რომ საქართველოს ძირითადი ტრანსასაზღვრო მდინარეების ეკოქიმიური მდგომარეობა დღეს ნორმის ფარგლებშია, მაგრამ აუცილებელია მათზე ანთროპოგენური დატვირთვის მკაცრი კონტროლი

13. უწყვეტ გარემოში ნივთიერების გადატანა-დიფუზიის არასტაციონალური სამგანზომილებიანი განტოლების გამოყენებით დამუშავებულია მდ. მტკვარში მოხვედრილი დამაბინძურებელი ნივთიერების გავრცელების რიცხვითი მოდელი და მოდელის ინტეგრირების ალგორითმი, რიცხვითი სქემა და კომპიუტერული პროგრამა შედგენილია კომპიუტერულ ენაზე „Visual Fortran“. მოდელი ითვალისწინებს ნივთიერების სედიმენტაციისა და გარდაქნის პროცესებს. ალგორითმი ემყარება, კრანკლ-ნიკოლსონის, კორდინტების და პროცესების მიხედვით გახლების მეთოდებს და მონოტონურ სქემას. მოდელში მდინარის პიდროდიმნამიგური პროცესების შესაბამისი პარამეტრების მნიშვნელობები ცნობილია და ისინი წარმოადგენენ მდ. მტკვრის საშუალო მახასიათებად სიდესიდიდებს. ამრიგად მოდელი გათვალისწინებულია იმისათვის, რომ მან პირველ მიახლოებაში აღწეროს დამაბინძურებელი ნივტიერების გავრცელება მდ. მტკვარში.

14. ჩატარებულია სერია რიცხვითი ექსპერიმეტებისა. ამ ექსპერიმენტების სასუალებით მოდელირებულია და თეორიულად შეისწავლება მდ. მტკვარში დამაბინზურებელი ნივტიერების გავრცელების თავისებურებები.

15. განსაზღვრულია ის დრო, რომელიც საჭიროა იმითვის, რომ დამაბინძურებელმა ნივთიერებამ მიაღწიოს მდინარეზე განლაგებულ პუნქტებს, განვლოს მდინარის სხვადასხვა უბანი, მიაღწიოს საქართველო-აზერბაიჯანის საზღვარს და მინგეჩაურის წყალსაცავს.

16. განსაზღვრულია დამაბინძურებელი ნივთიერების ჩაღვრის შემდეგ ნივთიერების კონცენტრაციის მდინარის კალაპოტში განაწილების სურათი, კონცენტრაციის ცვლილება მდინარის ერთი უბნიდან მეორეში გადასვლისა და ჩაღინებულ წყლებში მისი განზავების შედეგად.

17. შეფასებულია მუდმივი დამაბინძურებელი წყაროს შემთხვევში კონცენტრაციის ფარდობითი ცვლილება მდინარის 10 პირობით უბანში. შესწავლილია მოკვლევადიანი ჩაღვრის შემთხვევაში დანაბინძურებელი ნივთიერების გავრცელების ზოგადი, დაბინძურების ფრონტის, მაქსიმალური კონცენტრაციის ზონის გადადგილების სურათები და მდინარის დაბინძურებისაგან გასუფთავების პროცესის მიმდინარეობა.

18. მოდელირებული და გაანალიზირებულია მდ. მტკვარზე განლაგებული ქალაქების საკანალიზაციო სისტემის ჩანადენებით გამოწვეული მდინარის წყლის ამონიუმის იონით დაბინძურების სურათი. შესწავლილია NH_4^+ კონცენტრაციები თითოეული ქალაქის საკანალიზაციო წყლების ჩაღვრის წერტილებში, ამ წერტილების სიახლოეს და მდინარის საქარტველოს მონაკვეთზე. ნაჩვენებია თითოეული ქალაქის წყლილი ამონიუმის იონით მდ. ტკბილის სრულ დაბინძურებაში.

19. მოდელირების შედეგები შედარებულია ლაბორატორიული გაზომვების მონაცემებთან. ნაჩვენებია, რომ მოდელირების შედეგები რაოდენობრივად დამაკმაყოფილებელ თანხმობაშია ლაბორატორიული გაზომვებით მიღებულ საშუალო მრავალწლიურ მონაცემებთან. მოდელირების შედეგები განსხვავდება ცალკეული გაზომვებისას მიღებული სიდიდეებისაგან. განსხვავდება არ სცილდება დასაშვებ ზღვარს. რაც გამოწვეულია იმით, რომ მოდელირება იყენებს მდინარის მახასიათებელ საშუალო პიდროლოგიურ პარამეტრებს და არა დროის კონკრეტულ მომენტში არსებულ მნიშვნელობებს.

20. მიღებული შედეგები გმიჩვენებს რომ მოდელი პირველ მიახლოებაში თვისებრივად სწორად და რაოდენობრივად დამაკმაყოფილებელი სიზუსტით აღწერს მდ. მტკვარის საშუალი დაბინძურების სურათს. მოდელი იძლევა საშუალებას განისაზღვროს დაბინძურების გავრცელების მახასატებელი პარამეტრები.

21. მიღებული შედეგებზე დაყრდნობით შეიძლება დავასკვნათ, რომ მიზანშეწონილია მოდელის შედგომი განვითარება. განვითარება უნდა განხორციელდეს დინების სიჩქარის, კალოპოტის სიმრუდის და ჩანადენი დამაბინძურებელი ნივთიერებების დროში და სივრცეში ცვლილების გათვალისწინებით.

გამოყენებული ლიტერატურა

1. წყლის ჩარჩო დირექტივა – Water Framework Directive. 2000/60/EC.
2. Гидрохимические показатели состояния окружающей среды справочные материалы под редакцией Г.С. Шуршакова, Издательство «Форум» , Москва, 2006.
3. Ресурсы поверхностных вод СССР. т.9. Закавказье и Дагестан. Вып.1. Западное Закавказье. Под редакцией В.Ш.Цомая. Гидрометеоиздат, Ленинград, 1974.
4. Гидрология СССР. Т. X., Грузинская ССР , М. Недра, 1970.
5. Гачечиладзе Г.А. Гидрологические аспекты химической денудации в горных регионах . Л.Гидрометеоиздат, 1989.
6. Супаташвили Г.Д. Гидрохимия Грузии(Пресные воды). Изд-во ТГУ, Тбилиси,2003.
7. ცისკარიშვილი ლ.П. Гидрохимический режим и первичная продукция водоемов Грузии. Автореферат. Киев,1968.
8. Чантладзе З.И. Условия формирования и гидрохимическая характеристика поверхностных вод Грузии.Автореферат, Тбилиси, 1968.
9. Чантладзе З.И. Гидрохимия речных вод Грузинской ССР в условиях антропогенного воздействия, Ленинград, Гидрометеоиздат, 1987.
10. საქართველოს მეორე ეროვნული შეტყობინება კლიმატის ცვლილების ჩარჩო კონკრეტულისათვის.თბილისი,2009.
11. www.Cleanup.ge/dokument/report_geo.pdf.
12. ძირითადი მონაცემები და მიმართულებები 2008-2011 წლებისათვის.საქართველოს მთავრობა,2007.
13. Geo-ქალაქები:ანგარიში თბილისის შესახებ,2010წ.
14. Алекин Д.А.. Семёнов А.Д., Скопинцев Б.А. – Руководство по химическому анализу вод суши. Л. Гидрометеоиздат, 1973.
15. Резников А.А., Муликовская Е.П., Соколов И.Ю. – Методы анализа природных вод. Москва, Недра, 1970
16. Унифицированные методы анализа вод. Москва, Химия, 1973.
17. Фомин Г.С., Фомин А.Г. – Вода. Контроль качества и экологической безопасности по международным стандартам. Справочник. Москва, 2001.
18. Фомин Г.С., Фомин А.Г. – Почва. Контроль качества и экологической безопасности по международным стандартам. Справочник. Москва, 2001.
19. GWP TAC, Background Paper No. 4. Integrated Water Resources Management. Global Water Partnership, Stockholm, Sweden, 2000. 71
20. IWRM ToolBox Version 2 – Foreword - GWP 2008, 154 P.
21. A Handbook for Integrated Water Resources Management in Basins – GWP, INBO, 2009. 104 p.
22. Loucks D. P. and Eelco van Beek. Water resources systems planning and management: an introduction to methods, models and applications / Daniel P. Loucks and Eelco van Beek with contributions from Jerry R. Stedinger, Jozef P.M. Dijkman, Monique T. Villars. Paris: UNESCO Publishing – ISBN 92-3-103998-9, 2005. 680 p
23. Modelling Aspects of Water Framework Directive Implementation / Peter A Vanrolleghem. London; New-York: IWA Publishing - ISBN 9781843392231, 2010. V. 1. 352 p.

24. Water framework directive: model supported implementation. A water manager's guide / F.F.Hattermann, Z.W.Kundzewicz. London; New-York: IWA Publishing - ISBN 9781843392736, 2010. 268 р.
25. Пряжинская В.Г., Ярошевский Д.М., Левит-Гуревич Л.К. Компьютерное моделирование в управлении водными ресурсами. М.: ФИЗМАТЛИТ, 2002. 496 с.
26. Водные ресурсы и качество вод: состояние и проблемы управления / В. И. Данилов-Данильян, В. Г. Пряжинская. М.: РАСХ, 2010. 415 с.
27. Алимов А.Ф., Андреев О.А. и др. Интегрированное управление водными ресурсами Санкт-Петербурга и Ленинградской области / опыт создания системы поддержки принятия решений. Спб.: Borey Print, 2001, 419 с.
28. <http://www.cdss.state.co.us>;
29. <http://elise.bafg.de>.
30. Hantush M.M., Dai T., Koenig J. TMDL model evaluation and research needs. U.S. Environmental Protection Agency, Washington, DC, EPA/600/R-05/149 (NTIS PB2006 101508), 2005. 403 р.
31. Пушистов П.Ю., Вторушин М.Н., Романенко Р.Д., Земцов В.А. Разработка электронного реестра-справочника информационно-вычислительных средств для планирования и управления системой водных ресурсов // Водные проблемы крупных речных бассейнов и пути их решения / : сб. науч. тр. Барнаул: ООО «Агентство рекламных технологий», 2009а. С. 546-557.
32. <http://www.epa.go>;
33. <http://www.hec.usace.army.mil>;
34. <http://www.erm-smg.com>;
35. <http://www.ce.pdx.edu/w2>;
36. <http://www.aquaveo.com>;
37. <http://www.deltares.nl>;
38. <http://www.dhisoftware.com>;
39. <http://www.volgaltd.ru>;
40. <http://www.mixzon.com>.
41. HEC-RAS 3.1, HEC-6. (<http://www.hec.usace.army.mil>).
42. RMA2.<http://chl.erdc.usace.army.mil/rma2>).
43. MIKE 11, MIKE 21, MOUSE, MIKE 3 – Flow Model, GETM.<http://www.getm.eu>.
44. GETM. <http://www.getm.eu>.
45. Ресурсы поверхносерыхъ вод СССР.1974. Т. 9, Закавказье и Дагесиан. Ленинград: Гидрометеоиздат. 579 с.
46. Марчук Г. И. Численное решение задач динамики атмосферы и океана. Л. Гидрометеоиздат. 1974 303 с.
47. Пушистов П. Ю, Данчев В.Н.Информационно-вычислительные комплексы водных объектов бассейна Оби. Часть 1 – ИВК «Северная Сосьва. Часть 2 – ИВК «Телецкое озеро». <https://www.lap-publishing.com/catalog/>
48. Марчук –численные методы решения задач прогноза погоды. Л.: Гидрометеоиздат, 1967, 356 с.

49. <https://ceprofs.civil.tamu.edu/ssocolofsky/cven489/downloads/book/ch3.pdf>
50. Жуков Б. Д. Состав сточных вод. <http://www.water-tec.ru/paper/outwater.htm>

ଫାନ୍ଦାରତୀ

ცხრილი 1. მდ.მტკვარი ხერთვისიდან ჭირებულ ხილამზე 07-12.09.09

Nº	დასახელება	მოძვარი ხერთვისი	მოძვარი გორჯომი	სურამშლა ხაშური	მოძვარი გორი	ლიახვი გორი	ლეპრა ქანი	მოძვარი ზაქესი
1	გამჭვირვალობა, სმ	6	3	30	5	28	20	5
2	pH	7.85	8.12	7.95	8.14	7.97	8.40	8.30
3	ტემპერატურა, °C	23.1	21.2	24.4	22.2	29.3	25.2	24.4
4	გასნილი ქანგბადი, მგ/ლ	5.70	5.40	4.78	9.90	9.43	8.51	6.27
5	ელექტროგამტარობა, სმ/სმ	307.4	270.0	458.5	66.9	387.1	673.0	383.8
6	ქანგვა-აღდგენითი პოტენციალი, მ/ვ	190	180	305	260	260	290	280
7	ჟბმ, მგ/ლ	1.35	1.30	3.02	1.90	2.50	2.75	1.47
8	სისისტე, მგ.ექგ/ლ	1.65	1.70	3.00	2.50	2.70	3.17	2.40
9	კარბონატი, მგ/ლ	6.8	6.5	7.6	7.8	9.0	7.7	8.9
10	ქანგბადის გაჯერების ხარისხი, %	66.76	61.10	57.70	115.0	109.0	128.0	71.9
11	ნიტრიტის აზოტი, მგ/ლ	0.024	0.130	0.460	0.060	0.050	0.530	0.190
12	ნიტრატის აზოტი, მგ/ლ	2.70	4.00	9.02	4.62	4.25	7.64	4.06
13	ამონიუმის აზოტი, მგ/ლ	0.400	1.684	2.277	0.750	0.508	2.020	0.860
14	ამიაკი, მგ/ლ	0.055	0.017	0.040	0.011	0.032	0.23	0.011
15	ფოსფატი, მგ/ლ	0.220	0.225	0.601	0.120	0.106	0.107	0.126
16	სულფატები, მგ/ლ	4.7	23.1	37.0	25.2	50.5	68.0	29.1
17	ქლორიდები, მგ/ლ	7.8	6.0	13.4	6.1	12.5	15.8	7.00
18	ჰიდროკარბონატები, მგ/ლ	146.5	150.7	219.1	182.9	154.2	256.8	212.9
19	კალიუმი, მგ/ლ	1.1	0.9	1.8	1.1	1.5	2.2	1.0
20	ნატრიუმი, მგ/ლ	17.2	20.0	17.3	4.0	12.6	17.6	17.7
21	კალციუმი, მგ/ლ	23.1	23.0	40.5	30.8	45.2	40.9	30.7

22	მაგნიუმი, მგ/ლ	5.4	5.0	8.7	8.5	7.7	9.0	9.4
23	მინერალიზაცია, %	0.2	0.1	0.2	0.2	0.2	0.3	0.2
24	ზასხ, მგ/ლ	0.02	0.05	0.30	0.06	0.05	0.25	0.05
25	რკინა, მკგ/ლ	0.08	0.09	0.18	0.14	0.22	0.22	0.25
26	თუთია, მგბ/ლ	16.4	45.0	8.6	25.0	15.2	7.3	19.0
27	სპოლენია, მკგ/ლ	1.50	10.70	4.33	2.50	5.62	4.9	9.0
28	ნიკელი, მკგ/ლ	2.4	2.9	3.0	2.4	5.2	2.0	3.4
29	ტყვია, მგბ/ლ	1.4	4.4	3.0	2.2	1.8	1.6	2.0
29	მანგანუმი	12.8	15.0	13.7	12.9	15.4	16.0	17.2

ცხრილი 1. (ბაბრმელება)

№	დასახელება	მფარვი თგილისი	მფარვი განიანი	მფარვი რჟსთავი	ზრავი ფითოლი ზღვი	0390 თიანეთი ზეპა	ალაზანი შაქრიანი	0390 სართიშვალა გვედა
1	გამჭვირვალობა, სმ	4	8	7	16	20	25	21
2	pH	8.01	8.00	7.90	8.53	8.29	7.90	8.55
3	ტემპერატურა, C°	26.5	26.4	26.7	25.5	23.3	20.0	21.0
4	განხილი ჟანგბადი, მგ/ლ	6.70	6.20	7.50	8.55	8.61	9.93	9.07
5	ელექტროგამტარობა, სმ/სმ	403.2	470.7	520.4	587.0	120.0	34.0	88.0
6	ჟანგბა-ადდგენითი პოტენციალი, მ/ვ	285	285	300	255	225	234	195
7	ჟბმ, მგ/ლ	1.65	1.80	1.55	1.65	1.37	1.25	1.48
8	სიხისტე, მგ-ექვ/ლ	3.50	3.50	3.15	2.60	2.55	1.70	2.20
9	კარბონატი, მგ/ლ	7.5	7.4	4.4	6.5	5.5	6.6	6.8
10	ჟანგბადის გაჯერების ხარისხი, %	74.2	74.7	87.4	106.3	100.8	110.8	103.3
11	ნიტრიტის აზოტი, მგ/ლ	0.660	0.564	1.101	0.045	0.223	0.158	0.185
12	ნიტრატის აზოტი, მგ/ლ	5.02	4.75	5.65	9.24	6.35	4.24	4.20
13	ამონიუმის აზოტი, მგ/ლ	0.558	0.650	1.014	1.722	1.225	0.890	0.785

14	ამიაკი, მგ/ლ	0.010	0.015	0.018	0.023	0.045	0.028	0.017
15	ფოსფატი, მგ/ლ	0.170	0.160	0.398	0.090	0.102	0.210	0.222
16	სულფატები, მგ/ლ	40.3	45.0	70.1	90.2	55.6	75.2	45.6
17	ქლორიდები, მგ/ლ	7.5	7.1	8.9	12.3	15.8	14.2	22.3
18	პიდროპარბონატები	220.7	170.8	178.1	200.9	185.6	194.3	179.0
19	კალიუმი, მგ/ლ	1.1	0.8	1.0	1.0	0.9	0.8	1.2
20	ნატრიუმი, მგ/ლ	4.5	1.9.0	30.0	20.1	15.6	14.8	24.5
21	კალციუმი, მგ/ლ	51.2	50.7	47.1	35.8	38.9	40.0	37.5
22	მაგნიუმი, მგ/ლ	8.0	9.7	9.5	9.0	7.5	8.6	6.9
23	მინერალიზაცია, მგ/ლ	0.2	0.2	0.2	0.3	0.2	0.1	0.1
24	ზასნ, მგ/ლ	0.15	0.17	0.18	0.03	0.02	0.02	0.02
25	რკინა, მკგ/ლ	0.28	0.34	0.32	0.26	0.15	0.19	0.21
26	თუმთავა, მკგ/ლ	16.1	30.0	16.2	30.0	27.8	25.6	24.9
27	სპილენდი, მკგ/ლ	6.7	3.4	1.5	7.9	5.2	4.3	6.0
28	ნიკელი, მკგ/ლ	2.6	3.0	3.7	3.9	5.2	2.6	4.2
29	ტფილი, მკგ/ლ	2.3	3.2	3.0	3.9	5.6	6.7	5.4
30	მანგანუმი, მკგ/ლ	14.0	15.2	14.7	12.9	13.8	13.4	14.0

ცხრილი 2. მდინარე მტკვრის აუზში აღებულ ნიმუშებში მძიმე ლითონების შემცველობა

(7-12 სექტემბერი, 2009)

Nº	დაკვირვების პუნქტი, ნიმუშის სახეობა	განზომილება	სპილენძი Cu	თუთია Zn	რკინა Fe	ნიკელი Ni	მანგანუმი Mn	ტიკვია Pb
1	2	3	4	5	6	7	8	9
1	მტკვარი- ხერთვისი							
	წყლის ფაზა	10^{-3} , მგ/ლ	0.0015	0.0164	0.0008	0.0024	0.0128	0.0014
	ტიკვია- ნატანი	მგ/ლ	0.0037	0.0402	0.00021	0.0090	0.0244	0.0021
	ჯამი	მგ/ლ	0.0052	0.0566	0.00029	0.0114	0.0372	0.0035
	ფსკერული ნალექი	მგ/კგ	11.4	17.7	10.2	10.7	9.4	6.1
2	ნიადაგი	მგ/კგ	17.6	29.5	19.1	20.4	40.0	9.7
	მტკვარი- ბორჯომი							
	წყლის ფაზა	10^{-3} , მგ/ლ	0.0107	0.0450	0.00009	0.0029	0.0150	0.0044
	ტიკვია- ნატანი	მგ/ლ	0.0441	0.0802	0.00033	0.0079	0.0270	0.0076
	ჯამი	მგ/ლ	0.0548	0.1252	0.00042	0.0108	0.0420	0.0120
	ფსკერული ნალექი	მგ/კგ	24.1	19.0	17.4	11.8	9.8	6.8
	ნიადაგი	მგ/კგ	30.6	40.1	20.2	21.1	42.0	10.2

	სურამული-ნაშერი							
3	წყლის ფაზა	10^{-3} , მგ/ლ	0.0043	0.0086	0.00018	0.0030	0.0137	0.0030
	ტივტივა ნატანი	მგ/ლ	0.0106	0.0204	0.00051	0.0082	0.0280	0.0080
	ჯამი	მგ/ლ	0.0149	0.0290	0.00069	0.0112	0.0417	0.0110
	ფსკერული ნალექი	მგ/კბ	20.4	26.2	16.7	17.1	10.2	7.4
	ნიადაგი	მგ/კბ	27.2	47.2	19.8	28.4	44.7	11.4
1	2	3	4	5	6	7	8	9
	მტბგარი-გორი							
4	წყლის ფაზა	10^{-3} , მგ/ლ	0.0025	0.0250	0.00014	0.0024	0.0129	0.0022
	ტივტივა ნატანი	მგ/ლ	0.0097	0.0567	0.00062	0.0102	0.0263	0.0070
	ჯამი	მგ/ლ	0.0122	0.0817	0.00076	0.0126	0.0492	0.0092
	ფსკერული ნალექი	მგ/კბ	24.2	47.1	21.1	24.2	19.4	8.8
	ნიადაგი	მგ/კბ	30.4	61.0	25.8	29.9	60.2	10.9
	ლიახვი-გორი							
5	წყლის ფაზა	10^{-3} , მგ/ლ	0.0056	0.0152	0.00022	0.0052	0.0154	0.0018
	ტივტივა ნატანი	მგ/ლ	0.0107	0.0271	0.00079	0.0122	0.0215	0.0064

	ჯამი	მგ/ლ	0.0163	0.0423	0.00101	0.0174	0.0369	0.0082
	ფსკერული ნალექი	მგ/კბ	27.8	39.2	18.7	25.8	24.1	6.7
	ნიადაგი	მგ/კბ	34.2	52.9	23.8	30.5	67.8	15.8
	ლეხურა- კასპი							
6	წყლის ფაზა	10^{-3} , მგ/ლ	0.0049	0.0073	0.00022	0.0020	0.0160	0.0016
	ტივტივა ნატანი	მგ/ლ	0.0142	0.0204	0.00089	0.0077	0.0219	0.0051
	ჯამი	მგ/ლ	0.0191	0.0277	0.00112	0.0097	0.0379	0.0067
	ფსკერული ნალექი	მგ/კბ	31.7	42.9	22.5	23.4	22.4	7.1
	ნიადაგი	მგ/კბ	43.4	51.2	29.7	31.1	70.2	16.0

1	2	3	4	5	6	7	8	9
	მტკვარი- ზაჟესი							
7	წყლის ფაზა	10^{-3} , მგ/ლ	0.090	0.0190	0.00025	0.0034	0.0172	0.0020
	ტივტივა ნატანი	მგ/ლ	0.0203	0.0371	0.00075	0.0090	0.0301	0.0080
	ჯამი	მგ/ლ	0.0293	0.0561	0.00100	0.0124	0.0473	0.0100

	მტკგარი-თბილისი						
	წყლის ფაზა	10^{-3} , მგ/ლ	0.0067	0.0016	0.00028	0.0026	0.0140
	ტივტოვანი ნატანი	მგ/ლ	0.0306	0.0201	0.00077	0.0084	0.0242
	ჯამი	მგ/ლ	0.0373	0.0217	0.00105	0.0110	0.0382
	ფსკერული ნალექი	მგ/კგ	48.6	61.6	30.4	31.2	44.2
	ნიადაგი	მგ/კგ	75.1	70.4	52.9	40.9	97.4
9	მტკგარი-გაჩიანი						
	წყლის ფაზა	10^{-3} , მგ/ლ	0.0034	0.0300	0.00034	0.0030	0.0152
	ტივტოვანი ნატანი	მგ/ლ	0.0183	0.0702	0.00101	0.0087	0.0301
	ჯამი	მგ/ლ	0.0217	0.1002	0.00135	0.0117	0.0453
	ფსკერული ნალექი	მგ/კგ	43.2	55.7	28.3	27.8	43.2
	ნიადაგი	მგ/კგ	74.5	64.5	47.5	38.7	89.3

1	2	3	4	5	6	7	8	9
10	მტკვარი-რუსთავი							
	წყლის ფაზა	10^{-3} , მგ/ლ	0.0015	0.0162	0.0003	0.0037	0.0147	0.0030
	ტიპიური ნატანი	მგ/ლ	0.0200	0.0337	0.00088	0.0101	0.0264	0.0120
	ჯამი	მგ/ლ	0.0215	0.0499	0.00118	0.0138	0.0411	0.0150
	ფსკერული ნალექი	მგ/კბ	44.7	70.4	35.4	29.1	51.9	9.9
11	ნიადაგი	მგ/კბ	97.5	88.9	62.0	40.4	102.1	18.4
	ხრამი-წითელი ხიდი							
	წყლის ფაზა	10^{-3} , მგ/ლ	0.0079	0.0300	0.00026	0.0052	0.0138	0.0056
	ტიპიური ნატანი	მგ/ლ	0.0330	0.0512	0.00096	0.0123	0.0311	0.0120
	ჯამი	მგ/ლ	0.0409	0.0812	0.00122	0.0175	0.0449	0.0176
12	ფსკერული ნალექი	მგ/კბ	21.4	43.6	19.8	30.1	29.4	7.8
	ნიადაგი	მგ/კბ	62.2	50.2	30.7	44.0	52.1	11.2
	იორი-თიანეთი ზედა							
	წყლის ფაზა	10^{-3} , მგ/ლ	0.0052	0.0278	0.00015	0.0039	0.0129	0.0039

	ტიპითან ნატანი	$\partial\vartheta/\partial\zeta$	0.0141	0.0516	0.00082	0.0081	0.0250	0.0121
	ჯამი	$\partial\vartheta/\partial\zeta$	0.0193	0.0794	0.00097	0.0120	0.0379	0.0160
	ფსკერული ნალექი	$\partial\vartheta/\partial\zeta$	11.7	70.1	9.0	21.4	29.9	6.9
	ნიადაგი	$\partial\vartheta/\partial\zeta$	24.8	88.4	20.1	24.7	32.6	13.4
1	2	3	4	5	6	7	8	9

	ალაზანი- შაქრიანი							
	წყლის ფაზა	$10^{-3}, \partial\vartheta/\partial\zeta$	0.0043	0.0256	0.00019	0.0026	0.0134	0.0067
13	ტიპითან ნატანი	$\partial\vartheta/\partial\zeta$	0.0124	0.0412	0.00101	0.0076	0.0280	0.0142
	ჯამი	$\partial\vartheta/\partial\zeta$	0.0167	0.0668	0.00120	0.0102	0.0414	0.0209
	ფსკერული ნალექი	$\partial\vartheta/\partial\zeta$	9.7	61.4	8.9	20.2	27.8	10.7
	ნიადაგი	$\partial\vartheta/\partial\zeta$	30.0	78.1	26.7	30.1	40.0	20.1
	იორი-სართი- ჭალა ქვედა							
	წყლის ფაზა	$10^{-3}, \partial\vartheta/\partial\zeta$	0.0060	0.0249	0.00021	0.0042	0.0140	0.0054
14	ტიპითან ნატანი	$\partial\vartheta/\partial\zeta$	0.0107	0.0442	0.00112	0.0097	0.0304	0.0123
	ჯამი	$\partial\vartheta/\partial\zeta$	0.0167	0.0691	0.00133	0.0139	0.0444	0.0177

ცხრილი 3. მდ.მტკვარი ხერთვისიდან ჭითელ ხილამზე 09-16.11.09

№	დასახელება	მოპვარი ხერთვისი	მოპვარი გორჯომი	სურამულა ხაშური	მოპვარი გორი	ლიახვი გორი	ლაზერა გასა	არაბვი ზოგადი
1	გამჭვირვალობა, სმ	22	13	33	15	30	34	36
2	pH	8.50	7.99	7.65	8.76	8.14	8.36	8.68
3	ტემპერატურა, °C	6.7	6.6	7.0	7.5	8.5	9.6	9.9
4	გასსნილი ჟანგბალი, მგ/ლ	6.2	7.0	6.8	6.9	7.9	6.5	6.8
5	O ₂ -ის გაჯერების ხარისხი, %	70.8	88.2	73.7	74.2	89.0	106.6	73.8
6	ელექტროგამტარ- ობა, სმ/სმ	320	310	280	214	198	208	220
7	ჟანგვა-აღდგენითი ჰოტენციალი, მ/გ	94	204	273	130	90	32	-
8	ჟბმ, მგO ₂ /ლ	2.40	3.47	5.23	2.56	2.75	2.00	2.85
9	კარბონატი, მგ/ლ	3.6	2.6	8.5(CO ₂)	3.0	5.7	6.0	6.2
10	სინისტე, მგ-ექვ/ლ	1.76	2.05	3.15	2.35	3.05	3.84	2.10
11	ნიტრიტის აზოტი, მგN/ლ	0.030	0.020	0.058	0.035	0.020	0.051	0.025
12	ნიტრატის აზოტი, მგN/ლ	1.90	1.42	1.05	1.39	1.36	1.00	1.35
13	ამონიუმის აზოტი, მგN/ლ	0.42	0.54	0.44	0.54	0.95	0.95	0.49
14	ამიაკი, მგN/ლ	0.0056	0.0059	0.0050	0.0059	0.0140	0.014	0.0052
15	ფოსფატი, მგ/ლ	0.160	0.045	0.585	0.030	0.420	0.221	0.065
16	სულფატი, მგ/ლ	14.8	15.9	29.5	16.9	27.7	45.2	15.5
17	ქლორიდები, მგ/ლ	8.0	7.9	10.8	9.2	8.0	10.8	8.5
18	ჰიდროგარბონატი, მგ/ლ	120.5	130.5	175.5	140.2	195.9	202.5	155.3
19	კალიუმი, მგ/ლ	2.0	1.9	2.8	1.4	1.3	2.0	1.1
20	ნატრიუმი, მგ/ლ	15.8	12.2	30.6	15.4	10.2	45.3	16.6
21	კალციუმი, მგ/ლ	25.3	26.5	35.6	30.5	40.8	55.3	26.5

22	მაგნიუმი, მგ/ლ	6.5	6.4	8.6	8.0	7.5	9.5	6.7
23	მინერალიზაცია, %	0.2	0.2	0.3	0.1	0.2	0.3	0.2
24	ზასნ, მგ/ლ	0.01	0.04	0.05	0.01	0.02	0.02	0.01
25	რკინა, მკგ/ლ	0.07	0.09	0.20	0.11	0.18	0.20	0.08
26	თუთია, მკგ/ლ	11.8	10.5	12.5	11.0	9.5	12.5	5.3
27	სპოლენდი, მკგ/ლ	8.2	7.0	8.9	8.2	6.2	7.9	5.5
28	ნიკელი, მკგ/ლ	2.2	2.0	2.9	1.5	2.2	2.3	1.4
29	ტყვია, მკგ/ლ	2.5	3.9	9.8	2.4	1.8	3.5	2.2
30	მანგანუმი, მკგ/ლ	4.3	4.8	5.0	5.6	3.5	8.8	4.8

ტხრილი 3. (გაბრძელება)

	დასახლება	მუნიციპალიტეტი ზარისი	მუნიციპალიტეტი განკიცხვისი	მუნიციპალიტეტი განკიცხვისი	მუნიციპალიტეტი განკიცხვისი	ნორაზი ზონის მდგრადი მდგრადი	0100 მილიმეტრი წლიური	ალაზანი შარიანი	ალაზანი ახმეტა	0100 სარისის მდგრადი მდგრადი
1	გამჭვირვალობა, სმ	14	10	18	35	8	29	22	15	10
2	pH	8.54	8.46	8.10	7.13	8.33	8.71	8.03	7.85	8.68
3	ტემპერატურა, °C	7.8	8.8	7.6	7.6	8.2	9.2	10.4	10.3	7.4
4	განსხილი ჟანგბადი, მგ/ლ	7.5	7.3	7.2	7.5	7.5	6.8	6.9	7.0	7.3
5	O ₂ -ის გავერდების ხარისხი, %	87.2	86.2	85.8	87.4	87.2	74.4	74.6	88.0	86.2
6	ელექტროგამტარო ბა, სმ/სმ	243	236	241	239	229	216	243	247	234
7	ჟანგვა-აღდღენითი ჟოტენციალი, მ/3	60	50	67	62	56	0	49	25	43
8	ჟიმ, მგ O ₂ /ლ	2.05	3.10	3.44	3.35	3.25	3.15	1.85	2.46	1.95
9	კარბონატი, მგ/ლ	5.0	3.5	4.9	9.9(CO ₂)	3.0	3.3	3.4	3.1	3.6
10	სიხისტე, მგ-ექგ/ლ	2.64	3.05	3.45	3.21	3.55	3.26	2.34	2.45	2.25
11	ნიტრიტის აზოტი, მგ/ლ	0.040	0.060	0.058	0.070	0.080	0.45	0.015	0.024	0.046
12	ნიტრატის აზოტი, მგ/ლ	1.31	1.25	1.46	1.49	2.15	1.34	0.97	1.24	1.65

13	ამონიუმის აზოტი, მგ/ლ	0.80	0.25	0.24	0.41	1.00	0.45	0.60	0.65	0.84
14	ამიაკი, მგ/ლ	0.009	0.0014	0.006	0.0055	0.012	0.0051	0.0065	0.0074	0.011
15	ფოსფატი, მგ/ლ	0.180	0.378	0.395	0.429	0.202	0.095	0.020	0.045	0.060
16	სულფატები, მგ/ლ	35.9	50.5	95.5	102.2	99.6	25.8	20.4	26.4	42.3
17	ქლორიდები, მგ/ლ	10.9	11.5	11.2	11.9	15.8	8.7	5.7	7.8	9.0
18	ჰიდროკარბონატი, მგ/ლ	164.3	180.1	176.2	179.5	198.6	140.8	135.4	145.6	174.9
19	კალიუმი, მგ/ლ	1.5	1.2	1.3	1.1	2.1	1.1	1.2	1.3	1.5
20	ნატრიუმი, მგ/ლ	18.3	11.4	14.3	26.8	29.4	14.3	14.9	16.1	16.8
21	კალციუმი, მგ/ლ	40.5	50.0	59.0	49.0	58.5	36.2	30.3	41.0	49.2
22	მაგნიუმი, მგ/ლ	7.9	6.4	8.4	7.0	8.2	7.4	6.5	6.9	7.4
23	მინერალიზაცია, %	0.2	0.2	0.2	0.3	0.3	0.1	0.1	0.1	0.1
24	ზასხ, მგ/ლ	0.03	0.03	0.02	0.04	0.04	0.01	0.04	0.02	0.02
25	რეინა, მდგ/ლ	0.22	0.26	0.31	0.31	0.28	0.09	0.11	0.13	0.10
26	თუთია, მდგ/ლ	11.9	11.2	12.5	12.9	11.6	5.3	6.8	6.9	7.0
27	სპილენდი, მდგ/ლ	9.6	9.0	9.9	8.5	9.5	4.5	6.7	5.9	6.5
28	ნიძელი, მდგ/ლ	2.0	3.5	2.2	2.1	3.0	2.3	5.2	5.4	7.1
29	ტყვია, მდგ/ლ	4.0	3.2	3.4	4.8	2.5	1.2	3.0	4.3	5.2
30	მანგანუმი, მდგ/ლ	6.0	7.3	6.9	9.5	9.9	4.5	6.2	6.8	7.0

ცხრილი 4. მდინარე მტკვრის აუზში აღებულ ნიმუშებში მძიმე ლითონების შემცველობა

(9-16 ნოემბერი, 2009)

Nº	დაკვირვების პუნქტი, ნიმუშის სახეობა	განზომილება	სპილენძი Cu	თუთია Zn	რკინა Fe	ნიკელი Ni	მანგანუმი Mn	ტიკვია Pb
1	2	3	4	5	6	7	8	9
1	მტკვარი- ხერთვისი							
	წყლის ფაზა	მგ/ლ	0.0082	0.0118	0.00007	0.0022	0.0043	0.0025
	ტიკვია- ნატანი	მგ/ლ	0.0465	0.0444	0.00019	0.0098	0.0199	0.0092
	ჯამი	მგ/ლ	0.0547	0.0562	0.00026	0.0120	0.0242	0.0117
	ფსკერული ნალექი	მგ/კგ						
2	ნიადაგი	მგ/კგ						
	მტკვარი- ბორჯომი							
	წყლის ფაზა	10 ⁻³ , მგ/ლ	0.0070	0.0105	0.00009	0.0020	0.0048	0.0039
	ტიკვია- ნატანი	მგ/ლ	0.0380	0.0682	0.00031	0.0107	0.0251	0.0114
	ჯამი	მგ/ლ	0.0450	0.0787	0.00040	0.0127	0.0299	0.0153
	ფსკერული ნალექი	მგ/კგ						
	ნიადაგი	მგ/კგ						

	სურამული-ნაშერი							
3	წყლის ფაზა	10^{-3} , მგ/ლ	0.0089	0.0125	0.00020	0.0029	0.0050	0.0098
	ტივტივა ნატანი	მგ/ლ	0.0534	0.0757	0.00101	0.0131	0.0275	0.0323
	ჯამი	მგ/ლ	0.0623	0.0882	0.00121	0.0160	0.0325	0.0421
	ფსკერული ნალექი	მგ/კბ						
	ნიადაგი	მგ/კბ						
1	2	3	4	5	6	7	8	9
	მტბგარი-გორი							
4	წყლის ფაზა	მგ/ლ	0.0082	0.0110	0.00011	0.0015	0.0056	0.0024
	ტივტივა ნატანი	მგ/ლ	0.0529	0.0572	0.00079	0.0096	0.0243	0.0177
	ჯამი	მგ/ლ	0.0611	0.0682	0.00090	0.0111	0.0299	0.0201
	ფსკერული ნალექი	მგ/კბ						
	ნიადაგი	მგ/კბ						
	ლიახვი-გორი							
5	წყლის ფაზა	მგ/ლ	0.0062	0.0095	0.00018	0.0022	0.0035	0.0018
	ტივტივა ნატანი	მგ/ლ	0.0472	0.0523	0.00098	0.0119	0.0193	0.0206

	ჯამი	მგ/ლ	0.0534	0.0618	0.00116	0.0141	0.0228	0.0224
	ფსკერული ნალექი	მგ/კბ						
	ნიადაგი	მგ/კბ						
	ლეხურა- კასპი							
	წყლის ფაზა	მგ/ლ	0.0079	0.0126	0.00020	0.0023	0.0088	0.0035
6	ტივტივა ნატანი	მგ/ლ	0.0474	0.0782	0.00135	0.0149	0.0378	0.0253
	ჯამი	მგ/ლ	0.0553	0.0908	0.00155	0.0172	0.0466	0.0288
	ფსკერული ნალექი	მგ/კბ						
	ნიადაგი	მგ/კბ						

1	2	3	4	5	6	7	8	9
	არაგვი- ჟინვალი							
	წყლის ფაზა	მგ/ლ	0.0055	0.0053	0.00008	0.0014	0.0048	0.0022
7	ტივტივა ნატანი	მგ/ლ	0.0098	0.0089	0.00037	0.0067	0.0106	0.0088
	ჯამი	მგ/ლ	0.0153	0.0142	0.00045	0.0081	0.0154	0.0110
	ფსკერული	მგ/კბ	10.9	13.4	9.8	8.7	8.5	4.7

	ნალექი						
	ნიადაგი	მგ/კბ	16.7	27.9	17.7	18.6	31.3
	მტკვარი-ზაპესი						
	წყლის ფაზა	მგ/ლ	0.0096	0.0119	0.00022	0.0020	0.0060
8	ტიპოვანი ნატანი	მგ/ლ	0.0174	0.0213	0.00188	0.0083	0.0167
	ჯამი	მგ/ლ	0.0270	0.0332	0.0210	0.0103	0.0227
	ფსკერული ნალექი	მგ/კბ					
	ნიადაგი	მგ/კბ					
	მტკვარი-თბილისი						
	წყლის ფაზა	მგ/ლ	0.0090	0.0112	0.00026	0.0035	0.0073
9	ტიპოვანი ნატანი	მგ/ლ	0.0293	0.0382	0.00080	0.0097	0.0164
	ჯამი	მგ/ლ	0.0383	0.0494	0.00106	0.0132	0.0237
	ფსკერული ნალექი	მგ/კბ	61.2	82.5	42.5	37.4	60.4
	ნიადაგი	მგ/კბ	90.7	95.1	60.7	42.1	90.6
							11.9
							28.3

1	2	3	4	5	6	7	8	9
10	მტკგარი-გაჩიანი							
	წყლის ფაზა	მგ/ლ	0.0099	0.0125	0.00031	0.0022	0.0069	0.0034
	ტივტივა ნატანი	მგ/ლ	0.0142	0.0171	0.00263	0.0061	0.0180	0.0097
	ჯამი	მგ/ლ	0.0241	0.0296	0.00294	0.0083	0.0249	0.0131
	ფსკერული ნალექი							
11	ნიადაგი							
	მტკგარი-რუსთავი							
	წყლის ფაზა	მგ/ლ	0.0085	0.0129	0.00031	0.0021	0.0095	0.0048
	ტივტივა ნატანი	მგ/ლ	0.0192	0.0274	0.00259	0.0081	0.0214	0.0117
	ჯამი	მგ/ლ	0.0277	0.0403	0.00290	0.0102	0.0309	0.0165
12	ფსკერული ნალექი	მგ/პბ						
	ნიადაგი	მგ/პბ						
	ხრამი-წითელი ნიდი							
	წყლის ფაზა	მგ/ლ	0.0095	0.0116	0.00028	0.0030	0.0099	0.0025

	ტიპტიგა ნატანი	გვ/ლ	0.0213	0.0243	0.00211	0.0097	0.0264	0.0090
	ჯამი	გვ/ლ	0.0308	0.0359	0.00239	0.0127	0.0363	0.0115
	ფსკერული ნალექი	გვ/ბბ						
	ნიადაგი	გვ/ბბ						

1	2	3	4	5	6	7	8	9
13	იორი-თიანე- თი ზედა							
	წყლის ფაზა	გვ/ლ	0.0045	0.0053	0.00009	0.0023	0.0045	0.0012
	ტიპტიგა ნატანი	გვ/ლ	0.0091	0.0076	0.00041	0.0042	0.0114	0.0063
	ჯამი	გვ/ლ	0.0136	0.0129	0.00050	0.0065	0.0159	0.0075
	ფსკერული ნალექი	გვ/ბბ						
	ნიადაგი	გვ/ბბ						
14	ალაზანი- შაქრიანი							
	წყლის ფაზა	გვ/ლ	0.0067	0.0068	0.00011	0.0052	0.0062	0.0030
	ტიპტიგა ნატანი	გვ/ლ	0.0143	0.0121	0.00086	0.0119	0.0017	0.0088

	ჯამი	გვ/ლ	0.0210	0.0189	0.00097	0.0171	0.0232	0.0118
	ვსკერული ნალექი	გვ/კბ						
	ნიადაგი	გვ/კბ						
	ალაზანი- ახმეტა							
15	წყლის ფაზა	გვ/ლ	0.0059	0.0069	0.00013	0.0054	0.0068	0.0043
	ტივტივი ნატანი	გვ/ლ	0.0127	0.0092	0.00064	0.0127	0.0142	0.0071
	ჯამი	გვ/ლ	0.0186	0.0161	0.00077	0.0181	0.0210	0.0114
	ვსკერული ნალექი	გვ/კბ	18.6	18.1	8.0	9.7	10.5	6.4
	ნიადაგი	გვ/კბ	23.4	22.9	21.1	25.3	40.2	12.1

ცხრილი 5. მდ.მტკვარი სერთვისიდან ჭირებულ სიღამი 29.04-07.05 2010

№	დასახელება	მტკვარი სერთვისი	მტკვარი გორჯომი	სურამუ ლა ხაშური	მტკვარი გორი	ჭირები გორი	ლესურა კასა	მტკვარი ზაჟაში
1	ტემპერატურა, °C	13.1	12.3	16.6	14.0	12.7	15.5	10.0
2	pH	8.06	7.74	8.43	8.04	8.26	8.64	8.50
3	გახსნილი ქანგბადი, მგ/ლ	6.4	6.4	6.6	6.4	6.6	6.0	6.7
4	მშრალი ნაშთი, გ/ლ	0.07	0.08	0.25	0.11	0.17	0.28	0.18
5	ელექტროგამტარობა, სმ/სმ	185	192	298	210	230	292	298
6	ქანგვა-აღდღენითი პოტენციალი, მ/ვ	86	190	190	216	208	194	215
7	ტურბიდიტეტია	59	140	10	200	-5	4	-5
8	მარილიანობა	0	0	0	0	0	0	0
9	სისისტე, მგ-ექვ/ლ	1.79	2.03	2.77	1.96	1.91	2.74	2.64
10	გამჭვირვალობა, სმ	12	10	11	9	7	9	8
11	შეწონილი ნაწილაკები, მგ/ლ	188	118	119	130	123	146	164
12	კარბონატი, მგ/ლ	2.9	2.4	1.9	2.5	6.1	6.5	3.1
13	ჟბმ, მგ/ლ	0.82	1.06	5.45	1.41	0.79	0.88	1.00
14	ნიტრიტის აზოტი, მგN/ლ	0.022	0.026	0.118	0.026	0.037	0.073	0.059
15	ნიტრატის აზოტი, მგN/ლ	0.070	0.032	0.197	0.030	0.040	0.098	0.089
16	ამონიუმის აზოტი, მგN/ლ	0.184	0.221	0.488	0.497	0.670	0.387	0.572
17	ამიაკი, მგN/ლ	0.0022	0.0030	0.0025	0.0061	0.0078	0.0052	0.0069
18	ფოსფატი, მგP/ლ	0.005	0.004	0.059	0.078	0.007	0.002	0.035
19	სულფატები, მგ/ლ	5.267	6.042	28.135	3.994	5.793	26.985	14.084
20	ქლორიდები, მგ/ლ	1.632	1.871	9.088	1.097	1.673	3.720	1.624
21	ჰიდროგარბონატი, მგ/ლ	90.1	94.7	174.9	109.7	164.0	187.6	137.1
22	კალიუმი, მგ/ლ	1.4	1.2	1.2	1.5	1.0	1.4	1.1

23	ნატრიუმი, მგ/ლ	9.2	9.8	19.2	10.9	9.1	15.6	16.4
24	კალციუმი, მგ/ლ	26.5	30.1	41.8	29.4	28.9	37.2	37.1
25	მაგნიუმი, მგ/ლ	5.3	5.8	11.4	6.8	6.0	9.8	7.4
26	მინერალიზაცია, მგ/ლ	138.7	149.8	297.6	160.4	221.3	287.1	212.3
27	მინერალიზაცია, %	0.1	0.1	0.3	0.2	0.2	0.3	0.2
28	ზასნ, მგ/ლ	0.001	0.003	0.005	0.001	0.001	0.002	0.002
29	რინა, მგ/ლ	0.0054	0.0071	0.0062	0.0058	0.0049	0.0051	0.0078
30	თუთია, მგ/ლ	0.0048	0.0067	0.00185	0.0104	0.0057	0.0097	0.0112
31	სპილენდი, მგ/ლ	0.0078	0.0088	0.0086	0.0091	0.0068	0.0077	0.0069
32	ნიკელი, მგ/ლ	0.0018	0.00141	0.00120	0.00192	0.00123	0.00142	0.00197
33	ტყვია, მგ/ლ	0.0007	0.0007	0.0007	0.00079	0.0007	0.00088	0.00095
34	მანგანუმი, მგ/ლ	0.0094	0.0116	0.0092	0.0134	0.0088	0.0098	0.0121

ცხრილი 5. (გაბომელება)

№	დასახელება	მოკვარი თბილისი	მოკვარი განიანი	მოკვარი რუსთავი	ხრამი ჭირდებული ხილი	პრაგა შემცირებული ხილი	0190 თიანეთი ზედა	0390 სართის კლა ჰელი	ალაზანი (ზედა) სამეტა	ალაზანი (ქვედა) შაძრიანი
1	ტემპერატურა, °C	11.0	12.7	12.8	13.1	13.6	12.6	15.7	6.4	10.5
2	pH	8.57	8.21	8.27	8.45	8.80	8.66	8.16	7.99	8.56
3	გასსნილი ქანგბალი, მგ/ლ	6.8	6.2	6.4	6.6	6.6	5.2	6.0	6.4	6.4
4	მშრალი ნაშთი, გ/ლ	0.20	0.23	0.24	0.26	0.22	0.15	0.16	0.14	0.37
5	კლეიტონგამტარო ბა, სმ/სმ	285	300	342	368	204	210	204	200	228
6	ქანგვა-აღდგენითი ჰოტელიალი, გ/ვ	213	227	222	214	199	200	228	241	228
7	ტურბიდიტექტია	-5	-5	-5	320	31	78	83	580	-5
8	მარილიანობა	0	0	0	0	0	0	0	0	0
9	სიხისტე, მგ-ექვ/ლ	2.62	2.49	3.69	3.40	2.11	2.05	2.31	2.44	2.17
10	გამჭვირვალობა, სმ	8	9	10	9	17	12	10	9	9

11	გერმნიული ნაწილაკები, მგ/ლ	141	149	100	137	125	127	123	130	111
12	ქარბონატი, მგ/ლ	3.3	2.6	3.1	2.8	5.9	3.1	3.2	3.4	3.5
13	ჟებ, მგ/ლ	1.62	2.40	2.90	1.17	0.71	1.16	1.64	1.82	1.84
14	ნიტრიტის აზოტი, მგN/ლ	0.157	0.061	0.069	0.172	0.020	0.033	0.014	0.025	0.031
15	ნიტრატის აზოტი, მგN/ლ	0.196	0.143	0.165	0.168	1.02	1.10	1.07	1.21	1.46
16	ამონიუმის აზოტი, მგN/ლ	0.481	0.232	0.321	0.341	0.144	0.137	0.151	0.170	0.140
17	ამიაკი, მგN/ლ	0.0064	0.0030	0.0040	0.0042	0.004	0.006	0.004	0.005	0.009
18	ფოსფატი, მგP/ლ	0.068	1.197	0.124	0.091	0.047	0.071	0.017	0.021	0.070
19	სულფატები, მგ/ლ	31.296	18.794	19.716	47.711	14.1	20.5	17.4	21.6	32.7
20	ქლორიდები, მგ/ლ	3.011	2.872	3.020	7.190	6.8	7.7	4.6	6.7	8.0
21	ჰიდროგარბონატი, მგ/ლ	149,8	160.6	171.7	177.6	145.3	137.8	129.4	134.5	164.7
22	ქალიუმი, მგ/ლ	1.2	1.6	1.8	1.2	1.0	1.2	1.1	1.1	1.2
23	ნატრიუმი, მგ/ლ	16.7	18.0	17.5	21.2	14.2	13.3	12.7	13.8	14.9
24	ქალციუმი, მგ/ლ	38.0	37.5	41.8	51.9	24.5	31.2	24.3	33.7	36.1
25	მაგნიუმი, მგ/ლ	8.0	7.5	11.9	7.1	5.9	6.8	6.0	6.1	6.9
26	მინერალიზაცია, მგ/ლ	250.5	247.6	270.2	316.4	216.4	221.6	200.6	218.1	270.0
27	მინერალიზაცია, %	0.2	0.2	0.3	0.3	0.2	0.2	0.2	0.2	0.3
28	ზასხ, მგ/ლ	0.003	0.003	0.003	0.002	0.001	0.001	0.002	0.002	0.002
29	რეინა, მგ/ლ	0.0097	0.0106	0.0119	0.0177	0.0046	0.0043	0.0039	0.0046	0.0055
30	ოუთია, მგ/ლ	0.0130	0.0131	0.0128	0.0155	0.0038	0.0032	0.0040	0.0041	0.0032
31	სპილენი, მგ/ლ	0.0089	0.0081	0.0092	0.0103	0.0043	0.0039	0.0048	0.0051	0.0042
32	ნიკელი, მგ/ლ	0.00201	0.00108	0.00130	0.00127	0.00071	0.00082	0.00069	0.00077	0.00097
33	ტიკია, მგ/ლ	0.00091	0.00109	0.00101	0.00198	0.00070	0.00070	0.00070	0.00070	0.00070
34	მანგანუმი, მგ/ლ	0.0138	0.0109	0.0117	0.0149	0.0069	0.0071	0.0068	0.0073	0.0077

ცხრილი 6. მდინარე მტკვრის აუზში აღებულ ნიმუშებში მძიმე ლითონების შემცველობა

(29.IV-07.V 2010)

№	დაკვირვების პუნქტი, ნიმუშის სახეობა	განზომილება	რკინა Fe	თუთია Zn	სპილენდი Cu	ნიკელი Ni	ტყვია Pb	მანგანუმი Mn
1	2	3	4	5	6	7	8	9
1	მტკვარი- ხერთვისი							
	წყლის ფაზა	მგ/ლ	0.0054	0.0048	0.0078	0.0018	0.0007	0.0094
	ტიპური ნატანი	მგ/ლ	0.0208	0.0182	0.0107	0.0052	0.0016	0.0217
	ჯამი	მგ/ლ	0.0262	0.0230	0.0185	0.0070	0.0023	0.0311
	ფსკერული ნალექი	მგ/კგ	7.8	19.4	8.7	10.9	5.6	10.0
2	ნიადაგი	მგ/კგ	20.9	28.9	16.3	19.4	9.9	46.1
	მტკვარი- ბორჯომი							
	წყლის ფაზა	მგ/ლ	0.0071	0.0067	0.0088	0.0014	0.0007	0.0116
	ტიპური ნატანი	მგ/ლ	0.0152	0.0224	0.0352	0.0043	0.0021	0.0354
	ჯამი	მგ/ლ	0.0223	0.0291	0.0440	0.0057	0.0028	0.0470
	ფსკერული ნალექი	მგ/კგ	11.2	20.8	21.4	12.0	6.1	9.3

	ნიადაგი	მგ/კგ	21.4	44.5	32.6	39.9	12.4	60.6
3	სურამული-საშური							
	წყლის ფაზა	მგ/ლ	0.0062	0.0185	0.0086	0.0012	0.0007	0.0092
	ტოვტივა ნატანი	მგ/ლ	0.0151	0.0318	0.0198	0.057	0.0019	0.0304
	ჯამი	მგ/ლ	0.0213	0.0503	0.0284	0.0069	0.0026	0.0396
	ფსკერული ნალექი	მგ/კგ	14.6	20.4	17.9	15.1	7.0	8.1
	ნიადაგი	მგ/კგ	20.8	51.3	30.6	30.2	13.9	49.8
1	2	3	4	5	6	7	8	9

	მტბგარი-გორი							
4	წყლის ფაზა	მგ/ლ	0.0058	0.0104	0.0091	0.0019	0.0008	0.0134
	ტოვტივა ნატანი	მგ/ლ	0.0174	0.0389	0.0167	0.0060	0.0018	0.0307
	ჯამი	მგ/ლ	0.0232	0.0493	0.0258	0.0079	0.0026	0.0441
	ფსკერული ნალექი	მგ/კგ	19.2	39.9	20.3	19.6	7.0	15.9
	ნიადაგი	მგ/კგ	26.5	65.1	34.2	32.9	16.4	51.5
	ლიახვი-გორი							
5	წყლის ფაზა	მგ/ლ	0.0049	0.0057	0.0068	0.0012	0.0007	0.0088

	ტივტივა ნატანი	გვ/ლ	0.0104	0.0172	0.0194	0.0065	0.0074	0.0255
	ჯამი	გვ/ლ	0.0153	0.0229	0.0262	0.0077	0.0081	0.0343
	ფსკერული ნალექი	გვ/გბ	20.4	31.2	20.2	19.7	7.4	21.7
	ნიადაგი	გვ/გბ	27.2	64.9	34.1	37.4	18.5	70.8
6	ლეხურა- კასპი							
	წყლის ფაზა	გვ/ლ	0.0051	0.0097	0.0077	0.0014	0.0009	0.0098
	ტივტივა ნატანი	გვ/ლ	0.0133	0.0267	0.0242	0.0047	0.0049	0.0227
	ჯამი	გვ/ლ	0.0184	0.0364	0.0319	0.0061	0.0058	0.0325
	ფსკერული ნალექი	გვ/გბ	18.2	39.2	22.9	19.5	6.9	17.5
	ნიადაგი	გვ/გბ	30.9	52.7	40.7	32.7	17.2	87.2

1	2	3	4	5	6	7	8	9
7	მტკვარი- ზაჟესი							
	წყლის ფაზა	გვ/ლ	0.0078	0.0112	0.0069	0.0020	0.0009	0.0121
	ტივტივა ნატანი	გვ/ლ	0.0188	0.0307	0.0223	0.0073	0.0038	0.0370

	ჯამი	ბგ/ლ	0.0266	0.0419	0.0292	0.0093	0.0047	0.0491
	ფსკერული ნალექი	ბგ/კბ	26.4	50.1	43.3	23.8	12.3	0.040
	ნიადაგი	ბგ/კბ	54.8	61.7	64.1	42.7	19.2	100.9
	მტბგარი- თბილისი							
8	წყლის ფაზა	ბგ/ლ	0.0097	0.0130	0.0089	0.0020	0.0009	0.0138
	ტივტივა ნატანი	ბგ/ლ	0.0163	0.0242	0.0362	0.0069	0.0067	0.0283
	ჯამი	ბგ/ლ	0.0260	0.0372	0.0451	0.0089	0.0076	0.0421
	ფსკერული ნალექი	ბგ/კბ	22.3	49.8	36.8	21.2	6.9	39.4
	ნიადაგი	ბგ/კბ	57.2	74.0	78.0	43.7	21.1	89.4
	მტბგარი- გაჩიანი							
9	წყლის ფაზა	ბგ/ლ	0.0106	0.0131	0.0081	0.0011	0.0011	0.0109
	ტივტივა ნატანი	ბგ/ლ	0.0242	0.0399	0.0201	0.0071	0.0060	0.0382
	ჯამი	ბგ/ლ	0.0348	0.0530	0.0282	0.0082	0.0071	0.0491
	ფსკერული ნალექი	ბგ/კბ	20.7	42.5	34.2	17.3	7.8	39.3
	ნიადაგი	ბგ/კბ	54.5	61.4	70.3	47.7	20.1	92.8

1	2	3	4	5	6	7	8	9
10	მტკვარი- რუსთავი							
	წყლის ფაზა	მგ/ლ	0.0119	0.0128	0.0092	0.0013	0.0010	0.0117
	ტიპტივა ნატანი	მგ/ლ	0.0200	0.0246	0.0213	0.0080	0.0053	0.0300
	ჯამი	მგ/ლ	0.0319	0.0374	0.0305	0.093	0.0063	0.0417
	ფსკერული ნალექი	მგ/კგ	24.8	12.4	37.2	20.1	8.9	39.1
11	ნიადაგი	მგ/კგ	68.2	80.8	100.7	44.7	24.1	112.9
	ხრამი-წითე- ლი ხიდი							
	წყლის ფაზა	მგ/ლ	0.0177	0.0155	0.0103	0.0013	0.0020	0.0149
	ტიპტივა ნატანი	მგ/ლ	0.0283	0.0360	0.0303	0.0068	0.0079	0.0347
	ჯამი	მგ/ლ	0.0460	0.0515	0.0406	0.0081	0.0099	0.0496
12	ფსკერული ნალექი	მგ/კგ	14.2	37.6	20.6	21.3	6.8	20.1
	ნიადაგი	მგ/კგ	32.4	49.5	67.2	49.4	12.1	60.2
	არაგვი- ჟინვალი							
	წყლის ფაზა	მგ/ლ	0.0046	0.0038	0.0043	0.0007	0.0007	0.0069

	ტივტივა ნატანი	მგ/ლ	0.0108	0.0089	0.0122	0.0057	0.0061	0.0143
	ჯამი	მგ/ლ	0.0154	0.0127	0.0165	0.0064	0.0068	0.0212
	ფსკერული ნალექი	მგ/კგ	7.7	10.3	9.3	6.8	4.0	8.1
	ნიადაგი	მგ/კგ	20.4	30.8	17.9	20.6	9.9	30.7

1	2	3	4	5	6	7	8	9
13	იორი-თიანე- თი ზედა							
	წყლის ფაზა	მგ/ლ	0.0043	0.0032	0.0039	0.0008	0.0007	0.0071
	ტივტივა ნატანი	მგ/ლ	0.0087	0.0129	0.0091	0.0062	0.0031	0.0135
	ჯამი	მგ/ლ	0.0130	0.0161	0.0130	0.0070	0.0038	0.0206
	ფსკერული ნალექი	მგ/კგ	67.1	46.2	8.4	15.3	8.7	20.7
	ნიადაგი	მგ/კგ	29.7	81.7	37.1	35.1	24.6	44.6
14	იორი-სართი- ჭალა ქედა							
	წყლის ფაზა	მგ/ლ	0.0039	0.0040	0.0048	0.0007	0.0007	0.0068
	ტივტივა ნატანი	მგ/ლ	0.0111	0.0144	0.0153	0.0079	0.0067	0.0201

	ჯამი	მგ/ლ	0.0150	0.0184	0.0201	0.0086	0.0074	0.0269
	ფსკერული ნალექი	მგ/კგ	6.7	66.3	9.6	20.2	10.1	27.6
	ნიადაგი	მგ/კგ	24.3	90.6	28.3	38.3	28.3	40.8
	ალაზანი- ახმეტა (ზედა)							
15	წყლის ფაზა	მგ/ლ	0.0046	0.0041	0.0051	0.0008	0.0007	0.0073
	ტივტივა ნატანი	მგ/ლ	0.0070	0.0169	0.0157	0.0107	0.0079	0.0171
	ჯამი	მგ/ლ	0.0116	0.0210	0.0208	0.0115	0.0086	0.0244
	ფსკერული ნალექი	მგ/კგ	7.1	16.7	16.8	8.3	6.0	7.5
	ნიადაგი	მგ/კგ	27.1	29.0	27.3	29.4	17.3	41.0

	2	3	4	5	6	7	8	9
	ალაზანი- შაქრიანი (ქვედა)							
16	წყლის ფაზა	მგ/ლ	0.0055	0.0032	0.0042	0.0010	0.0007	0.0077
	ტივტივა ნატანი	მგ/ლ	0.0137	0.0123	0.0153	0.0087	0.0063	0.0201
	ჯამი	მგ/ლ	0.0192	0.0155	0.0195	0.0097	0.0070	0.0278

ცხრილი 7. მდ.მტკვარი სერთვისიღან ზოთელ ხილამდე – 24-31.VII.2011

№	დასახელება	მოპგარი ხერთვი- სი	მოპგარი გორჯერი	სურამულა საშუალი	მოპგარი ხაშუალი	მოპგარი გორი	ლიახვი გორი	ლახურა გასალი	მოპგარი გასალი	პრაგმა ზონალი
1	გამჭვირვალობა, სმ	7	9	6	9	9	8	8	8	17
2	pH	7.85	8.02	8.3	8.60	7.72	7.95	8.76	8.89	8.49
3	ტემპერატურა, °C	24.4	23.7	28.2	21.0	22.9	20.0	29.4	21.6	24.2
4	გახსნილი ჟანგბადი, მგ/ლ	6.8	7.2	8.5	8.0	8.7	7.3	6.9	8.7	10.0
5	O ₂ -ის გაჯერების ხარისხი, %	82.2	85.9	123.1	90.5	102.1	80.9	91.8	99.5	120.5
6	კლემბროგამტარ- ობა, სმ/სმ	31	30	41	42	45	37	46	45	26
7	ჟანგვა-აღდღენითი ჰოტენციალი, მ/კ	214	209	240	230	220	215	280	240	185
8	ქბმ, მგ O ₂ /ლ	1.70	1.69	2.00	1.71	1.90	1.20	1.10	1.41	1.00
9	კარბონატი, მგ/ლ	3.80	3.75	5.95	4.57	6.45	5.65	2.2	3.31	2.0
10	სიხისტე, მგ-კეპ/ლ	1.09	1.11	2.25	1.22	1.45	1.35	2.98	1.82	1.24
11	შეწონილილი ნაწილაკები, მგ/ლ	125	120	155	119	118	20	45	76	-
12	ნიტრიტის აზოტი, მგN/ლ	0.035	0.051	0.103	0.062	0.015	0.045	0.016	0.014	0.011
13	ნიტრატის აზოტი, მგN/ლ	0.088	0.098	0.086	0.088	0.100	0.098	0.122	0.100	0.075
14	ამონიუმის აზოტი, მგN/ლ	0.255	0.324	1.225	0.791	0.395	0.325	0.086	0.197	0.095
15	ამიაკი, მგN/ლ	0.0028	0.0040	0.028	0.026	0.0056	0.0040	0.0014	0.0045	0.0022
16	ფოსფატი, მგ/ლ	0.0022	0.125	0.856	0.433	0.245	0.0035	0.0045	0.129	0.0056
17	სულფატები, მგ/ლ	17.9	22.7	30.6	23.4	20.5	22.4	45.8	29.2	18.0
18	ქლოროდები, მგ/ლ	3.25	2.95	8.24	6.21	4.11	3.29	8.22	5.27	3.55
19	ჰიდროკარბონატი, მგ/ლ	102.3	144.2	204.5	182.4	195.6	178.6	225.8	200.1	115.3
20	კალიუმი, მგ/ლ	1.3	1.1	1.9	1.5	1.4	1.2	1.3	1.3	1.0

21	ნატრიუმი, მგ/ლ	7.5	8.6	15.5	12.8	12.5	9.5	14.6	12.8	7.2
22	კალციუმი, მგ/ლ	15.8	16.8	25.8	22.7	20.1	22.2	30.4	23.7	18.2
23	მაგნიუმი, მგ/ლ	2.3	3.4	5.6	4.0	3.9	4.2	6.6	4.9	2.5
24	მინერალიზაცია, %	0.2	0.2	0.3	0.3	0.3	0.2	0.3	0.3	0.2
25	ზასნ, მგ/ლ	0.01	0.01	0.02	0.02	0.03	0.01	0.01	0.02	0.01
26	რკინა, მგ/ლ	0.0031	0.0065	0.0038	0.0030	0.0078	0.0029	0.0027	0.0042	0.0008
27	თუთია, მგ/ლ	0.0098	0.0079	0.0097	0.0081	0.0140	0.0091	0.0068	0.0055	0.0043
28	სპილენდი, მგ/ლ	0.0046	0.0083	0.0048	0.0039	0.0040	0.0132	0.0051	0.0043	0.0061
29	ნიკელი, მგ/ლ	0.0035	0.0042	0.0041	0.0030	0.0032	0.0059	0.0040	0.0034	0.0024
30	ტყვია, მგ/ლ	0.0017	0.0027	0.0034	0.0020	0.0027	0.0016	0.0018	0.0019	0.0017
31	მანგანუმი, მგ/ლ	0.0121	0.0142	0.0122	0.0089	0.0162	0.0177	0.0019	0.0084	0.0011

ცხრილი 7. (ბაბრძმელება)

№	დასახელება	მოკვარი ზაჟესი	მოკვარი თაილისი	მოკვარი გაჩია-60	მოკვარი ეუსტაზი	ზრავი ჭირველი ზოდი	0ორი თიანეთი ზედა	კლაზანი შარიანი	კლაზანი ახშეთა	0ორი სართისალა ძველა
1	გამჭვირვალობა, სმ	7	8	7	6	9	15	19	17	21
2	pH	8.55	8.45	8.11	8.20	8.50	8.48	7.80	7.76	8.00
3	ტემპერატურა, °C	26.0	25.3	26.8	25.3	28.6	23.1	26.8	26.8	18.8
4	განსინოდი ჯანგბალი, მგ/ლ	9.6	9.5	9.2	9.7	8.4	10.5	9.6	8.7	8.4
5	O ₂ -ის გაჯერების ხარისხი, %	119.7	116.8	116.5	119.3	109.9	123.8	121.5	110.1	90.8
6	ელექტროგამტარო ბა, სმ/სმ	38	45	47	54	67	29	30	25	30
7	ფანგვა-აღდგენითი ჰოტენციალი, მ/გ	220	300	315	321	325	120	225	220	125
8	ჟმბ, მგ O ₂ /ლ	1.70	2.95	3.80	4.00	2.75	1.30	2.10	1.90	2.30
9	კარბონატი, მგ/ლ	2.85	1.65	6.88	7.00	7.00	2.25	4.55	3.56	3.45
10	სიხისტე, მგ-ექვ/ლ	2.00	2.45	2.66	2.72	2.75	2.15	2.35	2.45	3.00
11	ჟერინილი ნატორალები, მგ/ლ	98	85	115	118	122	-	-	-	-

12	ნიტრიტის აზოტი, მგ/ლ	0.035	0.024	0.098	0.110	0.122	0.025	0.055	0.036	0.045
13	ნიტრატის აზოტი, მგ/ლ	0.115	0.120	0.122	0.125	0.245	0.076	0.065	0.084	0.072
14	ამონიუმის აზოტი, მგ/ლ	0.324	0.422	0.226	0.209	0.200	0.125	0.250	0.234	0.165
15	ამიაკი, მგ/ლ	0.0040	0.0048	0.0029	0.0024	0.0022	0.0014	0.0032	0.0030	0.0018
16	ფოსფატი, მგ/ლ	0.0078	0.122	0.138	0.172	0.0425	0.0410	0.235	0.285	0.0425
17	სულფატები, მგ/ლ	49.6	55.6	62.3	68.4	122.0	25.6	45.0	55.2	35.8
18	ქლორიდები, მგ/ლ	7.20	6.08	5.22	5.65	10.90	4.25	6.85	7.24	4.35
19	ჰიდროკარბონატი, მგ/ლ	184.6	195.8	205.6	216.4	254.3	186.5	205.4	235.4	194.8
20	კალიუმი, მგ/ლ	1.2	1.3	1.2	1.0	1.4	0.9	1.2	1.1	0.9
21	ნატრიუმი, მგ/ლ	11.0	11.4	10.5	9.5	18.5	8.6	10.5	11.2	9.6
22	კალციუმი, მგ/ლ	33.4	35.6	36.5	38.4	38.9	18.5	22.4	23.6	19.7
23	მაგნიუმი, მგ/ლ	7.5	7.6	8.0	8.5	9.5	3.3	5.4	6.2	4.0
24	მინერალიზაცია, %	0.3	0.3	0.3	0.4	0.4	0.2	0.3	0.3	0.3
25	ზასნ, მგ/ლ	0.02	0.03	0.03	0.03	0.04	0.01	0.02	0.02	0.01
26	რეინა, მგ/ლ	0.0038	0.0042	0.0046	0.0059	0.0084	0.0007	0.0016	0.0009	0.0013
27	თუთია, მგ/ლ	0.0162	0.0178	0.0189	0.0198	0.0185	0.0064	0.0072	0.0048	0.0096
28	სპილენი, მგ/ლ	0.0189	0.0074	0.0095	0.0078	0.0130	0.0059	0.0041	0.0032	0.0052
29	ნიკელი, მგ/ლ	0.0043	0.0037	0.0031	0.0042	0.0064	0.0015	0.0029	0.0018	0.0035
30	ტუფია, მგ/ლ	0.0022	0.0031	0.0047	0.0045	0.0049	0.0022	0.0027	0.0033	0.0030
31	მანგანუმი, მგ/ლ	0.0092	0.0102	0.0113	0.0118	0.0131	0.0087	0.0071	0.0080	0.0101

ცხრილი 8. მდინარე მტკვრის აუზში აღებულ ნიმუშებში მძიმე ლითონების შემცველობა

(24-31 ივნისი, 2011)

Nº	დაკვირვების პუნქტი, ნიმუშის სახეობა	განზომილება	სპილენძი Cu	თუთია Zn	რკინა Fe	ნიკელი Ni	მანგანუმი Mn	ტყვია Pb
1	2	3	4	5	6	7	8	9
1	მტკვარი- ხერთვისი							
	წყლის ფაზა	მგ/ლ	0.0046	0.0098	0.0031	0.0035	0.0121	0.0017
	ტივტივა ნატანი	მგ/ლ	0.0204	0.0409	0.0088	0.0121	0.0279	0.0062
	ჯამი	მგ/ლ	0.0250	0.0507	0.0119	0.0156	0.0400	0.0079
	ვსკერული ნალექი	მგ/კბ	10.6	17.9	10.8	9.9	8.8	3.8
	ნიადაგი (0-10)სმ	მგ/კბ	10.2	19.8	29.7	17.2	17.2	4.8
	(10-20)სმ	მგ/კბ	10.2	18.1	30.0	18.7	16.4	4.0
	(20-30)სმ	მგ/კბ	10.8	17.2	38.2	20.0	17.8	4.2
2	(30-50)სმ	მგ/კბ	6.8	16.0	20.8	16.9	14.8	4.2
	მტკვარი- ბორჯომი							
	წყლის ფაზა	მგ/ლ	0.0083	0.0079	0.0065	0.0042	0.0142	0.0027
	ტივტივა ნატანი	მგ/ლ	0.0302	0.0403	0.0213	0.0137	0.0301	0.0067

	ჯამი	გვ/ლ	0.0385	0.0482	0.0278	0.0179	0.0443	0.0094
	ფსკერული ნალექი	გვ/პბ	16.8	21.0	11.6	13.0	8.9	4.6
	ნიადაგი	გვ/პბ	20.4	28.6	22.8	20.0	30.1	7.2
1	2	3	4	5	6	7	8	9
	მტკგარი- ხაშური							
	წყლის ფაზა	გვ/ლ	0.0039	0.0081	0.0030	0.0030	0.0089	0.0020
3	ტივტივა ნატანი	გვ/ლ	0.0136	0.0389	0.0173	0.0102	0.0121	0.0066
	ჯამი	გვ/ლ	0.0175	0.0470	0.0203	0.0132	0.0210	0.0086
	ფსკერული ნალექი	გვ/პბ	17.4	22.7	12.0	12.9	10.0	4.1
	ნიადაგი	გვ/პბ	22.8	30.5	23.6	24.4	31.2	8.0
	სურამული- ხაშური							
	წყლის ფაზა	გვ/ლ	0.0048	0.0097	0.0038	0.0041	0.0122	0.0034
4	ტივტივა ნატანი	გვ/ლ	0.0169	0.0416	0.0204	0.0143	0.0137	0.0081
	ჯამი	გვ/ლ	0.0217	0.0513	0.0242	0.0184	0.0259	0.0115
	ფსკერული ნალექი	გვ/პბ	17.7	18.9	15.8	16.0	6.7	5.9
	ნიადაგი	გვ/პბ	33.0	48.1	28.1	29.0	27.8	14.7
5	მტკგარი- გორი							

	წყლის ფაზა	მგ/ლ	0.0040	0.0140	0.0078	0.0032	0.0162	0.0027
	ტივტივა ნატანი	მგ/ლ	0.0182	0.0427	0.0226	0.0170	0.0146	0.0101
	ჯამი	მგ/ლ	0.0222	0.0567	0.0304	0.0202	0.0308	0.0128
	ფსკერული ნალექი	მგ/პგ	18.4	16.2	20.5	14.4	7.2	6.0
	ნიადაგი	მგ/პგ	24.2	44.8	34.6	30.2	40.6	14.2
1	2	3	4	5	6	7	8	9
	ლიახვი-გორი							
	წყლის ფაზა	მგ/ლ	0.0132	0.0091	0.0029	0.0059	0.0177	0.0016
6	ტივტივა ნატანი	მგ/ლ	0.0169	0.0314	0.0189	0.0160	0.0165	0.0082
	ჯამი	მგ/ლ	0.0301	0.0405	0.0218	0.0219	0.0342	0.0098
	ფსკერული ნალექი	მგ/პგ	13.0	10.2	15.2	10.2	5.1	3.1
	ნიადაგი	მგ/პგ	19.4	30.4	20.6	25.4	26.2	9.2
	მტკვარი- კასპი							
	წყლის ფაზა	მგ/ლ	0.0043	0.0055	0.0042	0.0034	0.0084	0.0019
7	ტივტივა ნატანი	მგ/ლ	0.0140	0.0269	0.0217	0.0129	0.0126	0.0072
	ჯამი	მგ/ლ	0.0183	0.0324	0.0259	0.0163	0.0210	0.0091
	ფსკერული ნალექი	მგ/პგ	13.2	11.7	16.8	12.8	5.7	2.9
	ნიადაგი	მგ/პგ	17.2	24.1	30.2	26.6	24.2	6.2

	ლესურა- ქასპი							
8	წყლის ფაზა	მგ/ლ	0.0051	0.0068	0.0027	0.0040	0.0019	0.0018
	ტივტივა ნატანი	მგ/ლ	0.0172	0.0178	0.0177	0.0162	0.0098	0.0059
	ჰამი	მგ/ლ	0.0223	0.0246	0.0204	0.0202	0.0117	0.0077
	ფსკერული ნალექი	მგ/კგ	10.2	8.8	9.1	5.1	3.2	2.1
	ნიადაგი	მგ/კგ	24.4	26.2	23.2	20.0	20.8	10.1
1	2	3	4	5	6	7	8	9
9	მტკგარი- ზაჟესი							
	წყლის ფაზა	მგ/ლ	0.0189	0.0162	0.0038	0.0043	0.0092	0.0022
	ტივტივა ნატანი	მგ/ლ	0.0224	0.0219	0.0190	0.0147	0.0111	0.0080
	ჰამი	მგ/ლ	0.0413	0.0381	0.0228	0.0190	0.0203	0.0102
	ფსკერული ნალექი	მგ/კგ	11.9	9.7	12.2	16.2	5.9	3.7
10	ნიადაგი	მგ/კგ	25.1	28.3	22.9	21.4	23.1	11.0
	მტკგარი- თბილისი							
	წყლის ფაზა	მგ/ლ	0.0074	0.0178	0.0042	0.0037	0.0102	0.0031
	ტივტივა ნატანი	მგ/ლ	0.0142	0.0291	0.0203	0.0168	0.0200	0.0090
	ჰამი	მგ/ლ	0.0216	0.0469	0.0245	0.0205	0.0302	0.0121
	ფსკერული ნალექი	მგ/კგ	16.3	21.9	28.1	8.3	6.7	4.1
	ნიადაგი	მგ/კგ	46.2	37.1	38.7	25.6	48.7	13.8

	მტკვარი-გაჩიანი							
11	წყლის ფაზა	მგ/ლ	0.0095	0.0189	0.0046	0.0031	0.0113	0.0047
	ტივტივა ნატანი	მგ/ლ	0.0165	0.0312	0.0267	0.0183	0.0232	0.0110
	ჯამი	მგ/ლ	0.0260	0.0501	0.0313	0.0214	0.0345	0.0157
	ფსკერული ნალექი	მგ/კბ	20.0	22.8	30.5	18.4	7.1	5.0
	ნიადაგი	მგ/კბ	63.8	47.7	47.4	37.0	54.3	20.2
1	2	3	4	5	6	7	8	9
12	მტკვარი-რუსთავი							
	წყლის ფაზა	მგ/ლ	0.0078	0.0198	0.0059	0.0042	0.0118	0.0045
	ტივტივა ნატანი	მგ/ლ	0.0172	0.0322	0.0281	0.0180	0.0251	0.0105
	ჯამი	მგ/ლ	0.0250	0.0520	0.0340	0.0222	0.0369	0.0150
	ფსკერული ნალექი	მგ/კბ	19.2	20.1	31.1	20.8	7.8	8.2
13	ნიადაგი	მგ/კბ	77.2	69.8	54.4	40.5	90.2	23.5
	ხრამი-წითელი ხიდი							
	წყლის ფაზა	მგ/ლ	0.0130	0.0185	0.0084	0.0064	0.0131	0.0049
	ტივტივა ნატანი	მგ/ლ	0.0304	0.0344	0.0247	0.0125	0.0364	0.0102
	ჯამი	მგ/ლ	0.0434	0.0529	0.0331	0.0189	0.0495	0.0151
	ფსკერული ნალექი	მგ/კბ	28.4	34.7	28.2	23.2	19.0	8.2
	ნიადაგი, (10-20)სმ	მგ/კბ	48.2	50.1	52.6	50.2	40.5	15.8

	(10-20)სმ	მგ/კგ	36.0	38.7	50.8	41.3	38.2	8.0
	(20-30)სმ	მგ/კგ	22.8	21.0	50.8	29.4	21.4	6.4
	(30-50)სმ	მგ/კგ	10.6	13.4	42.5	16.8	17.2	5.8
14	არაგვი-ჟინგალი							
	წყლის ფაზა	მგ/ლ	0.0061	0.0043	0.0008	0.0024	0.0011	0.0017
	ტივტივა ნატანი	მგ/ლ	0.0091	0.0084	0.0061	0.0057	0.0077	0.0042
	ჯამი	მგ/ლ	0.0152	0.0127	0.0069	0.0081	0.0088	0.0059
	ფსკერული ნალექი	მგ/კგ	6.2	7.0	8.1	5.9	5.5	2.9
	ნიადაგი	მგ/კგ	20.9	18.2	29.4	21.7	30.0	8.2
1	2	3	4	5	6	7	8	9
15	იორი ბედა-თიანეთი							
	წყლის ფაზა	მგ/ლ	0.0059	0.0064	0.0007	0.0015	0.0087	0.0022
	ტივტივა ნატანი	მგ/ლ	0.0088	0.0090	0.0057	0.0068	0.0070	0.0051
	ჯამი	მგ/ლ	0.0147	0.0154	0.0064	0.0083	0.0157	0.0073
	ფსკერული ნალექი	მგ/კგ	6.2	27.4	27.8	16.1	15.1	3.2
16	ნიადაგი	მგ/კგ	22.1	49.0	34.9	29.9	27.1	19.8
	იორი ქვედა-სართიჭალა							
	წყლის ფაზა	მგ/ლ	0.0052	0.0096	0.0013	0.0035	0.0101	0.0030

	ტივტივა ნატანი	მგ/ლ	0.0097	0.0126	0.0079	0.0065	0.0153	0.0077
	ჯამი	მგ/ლ	0.0149	0.0222	0.0092	0.0100	0.0254	0.0107
	ფსკერული ნალექი	მგ/კბ	6.9	43.1	19.9	18.1	11.1	6.6
	ნიადაგი	მგ/კბ	31.7	69.3	31.2	33.8	31.2	23.8
17	ალაზანი ზედა-ახმეტა							
	წყლის ფაზა	მგ/ლ	0.0032	0.0048	0.0009	0.0018	0.0080	0.0033
	ტივტივა ნატანი	მგ/ლ	0.0097	0.0142	0.0060	0.0123	0.0182	0.0144
	ჯამი	მგ/ლ	0.0129	0.0190	0.0069	0.0141	0.0262	0.0177
	ფსკერული ნალექი	მგ/კბ	7.8	28.1	8.9	11.2	8.1	4.9
	ნიადაგი	მგ/კბ	30.7	35.7	25.1	29.3	40.3	22.1
1	2	3	4	5	6	7	8	9
18	ალაზანი ქვედა-შაქრიანი							
	წყლის ფაზა	მგ/ლ	0.0041	0.0072	0.0016	0.0029	0.0071	0.0027
	ტივტივა ნატანი	მგ/ლ	0.0165	0.0180	0.0107	0.0119	0.0182	0.0070
	ჯამი	მგ/ლ	0.0206	0.0252	0.0123	0.0148	0.0253	0.0097
	ფსკერული ნალექი	მგ/კბ	6.4	32.3	11.7	9.1	9.9	5.0
	ნიადაგი	მგ/კბ	27.9	44.2	38.2	35.6	27.8	19.8

ცხრილი 9. მდ.მტკვარი სერთვისიდან ჭითელ ხილამდე – 21-28.IX.2011წ.

№	დასახელება	მოპგარი სერთვი- სი	მოპგარი გორჯოში	სურამულა ხაშური	მოპგარი ხაშური	მოპგარი გორი	ლიახვი გორი	ლაზერა ქასა	არაგვი ქოცხალი	მოპგარი ქასა
1	გამჭვირვალობა, სმ	24	26	8	23	27	28	9	3	24
2	pH	8.87	8.51	8.75	8.95	8.69	8.45	7.90	8.74	8.20
3	ტემპერატურა, °C	16.6	17.9	20.8	19.1	18.8	18.7	21.9	17.9	20.8
4	გასსნილი ჟანგბალი, მგ/ლ	9.1	8.1	7.7	7.7	10.6	9.1	8.4	8.2	7.7
5	O ₂ -ის გაჯერების ხარისხი, %	90	79	62	91	80	90	93	-	92
6	ელექტროგამტარ- ობა, სმ/სმ	37	32	45	34	44	54	71	29	41
7	ჟანგბა-აღდგენითი ჰოტენციალი, მ/გ	147	156	142	115	109	110	165	126	136
8	ჟბმ, მგO ₂ /ლ	1.52	0.87	10.7	4.61	1.80	0.93	0.99	0.80	1.97
9	კარბონატი, მგ/ლ	9.7	9.0	6.1	8.3	7.1	1.9	5.7	1.8	6.4
10	სიხისტე, მგ-ექვ/ლ	1.69	1.60	2.94	2.04	1.62	1.58	2.00	1.42	2.10
11	ნიტრიტის აზოტი, მგN/ლ	0.006	0.018	0.094	0.067	0.033	0.024	0.080	0.006	0.023
12	ნიტრატის აზოტი, მგN/ლ	0.208	0.446	1.773	0.455	0.550	1.400	0.990	0.047	0.703
13	ამონიუმის აზოტი, მგN/ლ	0.350	0.300	10.100	2.33	1.810	1.320	0.380	0.096	1.07
14	ამიაკი, მგN/ლ	0.0033	0.0034	0.1000	0.0075	0.0100	0.0100	0.0036	0.0012	0.0092
15	ფოსფატი, მგP/ლ	0.143	0.080	0.179	0.178	0.078	0.047	0.060	0.006	0.099
16	სულფატები, მგ/ლ	6.2	9.3	24.4	28.5	18.4	26.1	110.2	20.1	50.2
17	ქლორიდები, მგ/ლ	9.0	6.5	20.2	7.2	7.7	6.6	18.5	3.05	6.42
18	ჰიდროკარბონატი, მგ/ლ	150.5	124.6	210.8	197.3	169.8	214.1	235.7	125.6	240.1
19	კალიუმი, მგ/ლ	2.0	1.5	4.6	1.9	1.3	1.0	2.0	1.1	1.7
20	ნატრიუმი, მგ/ლ	21.6	20.8	31.0	22.1	20.0	20.0	40.5	9.4	17.9
21	კალციუმი, მგ/ლ	20.1	19.3	40.1	30.4	20.1	22.7	31.0	18.0	24.8

22	მაგნიუმი, მგ/ლ	8.3	8.0	11.7	5.7	8.5	6.3	6.7	3.7	7.7
23	მინერალიზაცია, %	0.2	0.2	0.2	0.3	0.2	0.3	0.4	0.2	0.3
24	ზასნ, მგ/ლ	0.01	0.01	0.09	0.02	0.02	0.02	0.02	0.00	0.02
25	რკინა, მგ/ლ	0.0012	0.0034	0.0021	0.0047	0.0035	0.0041	0.0022	კვალი	0.0031
26	თუთია, მგ/ლ	0.0042	0.0050	0.0064	0.0069	0.0071	0.0083	0.0017	0.0051	0.0065
27	სპილენდი, მგ/ლ	0.0069	0.0066	0.0072	0.0077	0.0079	0.0090	0.0095	0.0077	0.0081
28	ნიკელი, მგ/ლ	0.0022	0.0028	0.0018	0.0032	0.0036	0.0038	0.0028	0.0020	0.0052
29	ტუფია, მგ/ლ	0.0007	0.0010	0.0011	0.0021	0.0013	0.0015	0.0011	კვალი	0.0018
30	მანგანუმი, მგ/ლ	0.0092	0.0101	0.0082	0.0092	0.0090	0.0101	0.0014	0.0014	0.0056

ცხრილი 9. (გამოყენებები)

№	დასახმლება	მუკვარი ზაჟესი	მუკვარი თბილისი	მუკვარი გაჩია-60	მუკვარი რუსთავი	ხრამი წილები ზოდი	03-ი თბილისი ზედა	ალაზანი (ძველი) ჭარია-60	ალაზანი (ზედა) ახმეტა	03-ი სართიშ კლა მგედა
1	გამჭვირვალობა, სმ	24	25	26	25	13	4	7	6	8
2	pH	8.40	8.50	8.12	8.26	8.30	8.59	8.30	8.64	8.44
3	ტემპერატურა, °C	19.8	19.2	17.9	18.4	13.3	20.0	17.8	23.0	16.2
4	გასსნილი ჟანგბადი, მგ/ლ	8.0	8.0	8.5	9.0	9.8	8.1	9.0	7.6	7.9
5	O ₂ -ის გაჯერების ხარისხი, %	81	64	85	84	94	108	108	115	91
6	ელექტროგამტარო ბა, სმ/სმ	43	49	76	62	67	31	31	26	40
7	ჟანგვა-აღდღენის პოტენციალი, მ/ვ	122	132	126	162	178	149	177	154	166
8	ჟგნ, მგ O ₂ /ლ	1.40	1.53	3.71	3.47	1.53	1.00	1.33	1.04	1.31
9	კარბონატი, მგ/ლ	4.8	5.6	3.3	3.0	6.2	2.4	5.6	4.7	2.8
10	სიხისტე, მგ-ექვ/ლ	2.30	2.28	2.30	2.47	2.50	1.95	2.21	2.40	2.78
11	ნიტრიტის აზოტი, მგN/ლ	0.049	0.078	0.089	0.094	0.070	0.026	0.071	0.056	0.032
12	ნიტრატის აზოტი, მგN/ლ	0.402	0.456	0.600	0.761	2.049	0.068	0.062	0.049	0.077

13	ამონიუმის აზოტი, მგN/ლ	0.891	0.730	0.830	1.030	1.900	0.135	0.250	0.244	0.264
14	ამიაკი, მგN/ლ	0.0110	0.0200	0.0109	0.0110	0.0401	0.0021	0.0037	0.0030	0.0032
15	ფოსფატი, მგP/ლ	0.384	0.095	0.029	0.009	0.007	0.049	0.235	0.181	0.061
16	სულფატები, მგ/ლ	45.6	26.2	59.3	90.5	110.2	27.8	61.2	49.4	38.1
17	ქლორიდები, მგ/ლ	6.90	7.90	8.10	9.30	10.40	6.25	8.42	8.57	7.02
18	ჰიდროკარბონატი, მგ/ლ	182.1	186.9	182.5	209.1	220.6	175.6	253.8	215.4	198.8
19	კალიუმი, მგ/ლ	1.3	1.5	1.4	1.7	1.4	1.0	1.5	1.3	1.1
20	ნატრიუმი, მგ/ლ	24.2	25.9	26.6	29.4	33.8	9.2	14.7	12.5	10.1
21	კალციუმი, მგ/ლ	31.5	31.2	32.3	34.2	40.9	17.8	26.3	24.2	19.0
22	მაგნიუმი, მგ/ლ	9.7	8.9	8.8	12.4	8.2	3.7	7.1	6.5	4.8
23	მინერალიზაცია, %	0.3	0.3	0.3	0.4	0.4	0.2	0.2	0.2	0.3
24	ზასნ, მგ/ლ	0.04	0.07	0.04	0.03	0.02	0.01	0.01	0.01	0.01
25	რკინა, მგ/ლ	0.0041	0.0040	0.0047	0.0055	0.0071	ვვალი	ვვალი	ვვალი	ვვალი
26	თუთია, მგ/ლ	0.0180	0.0172	0.0143	0.0137	0.0200	0.0076	0.0090	0.0072	0.0088
27	სპილენი, მგ/ლ	0.0076	0.0088	0.0053	0.0102	0.0145	0.0079	0.0060	0.0054	0.0081
28	ნიკელი, მგ/ლ	0.0028	0.0037	0.0039	0.0041	0.0105	0.0016	0.0024	0.0031	0.0030
29	ტყვია, მგ/ლ	0.0020	0.0012	0.0022	0.0037	0.0071	ვვალი	ვვალი	ვვალი	ვვალი
30	მანგანუმი, მგ/ლ	0.0089	0.0088	0.0101	0.0093	0.0067	0.0071	0.0109	0.0090	0.0082

ცხრილი 10. მდინარე მტკვრის აუზში აღებულ ნიმუშებში მძიმე ლითონების შემცველობა

(21-28 სექტემბერი, 2011)

Nº	დაკვირვების პუნქტი, ნიმუშის სახეობა	განზომილება	სპილენძი Cu	თუთია Zn	რკინა Fe	ნიკელი Ni	მანგანუმი Mn	ტყვია Pb
1	2	3	4	5	6	7	8	9
1	მტკვარი- ხერთვისი							
	წყლის ფაზა	მგ/ლ	0.0069	0.0042	0.0012	0.0022	0.0092	0.0007
	ტივტივა ნატანი	მგ/ლ	-	-	-	-	-	-
	ჯამი	მგ/ლ	0.0069	0.0042	0.0012	0.0022	0.0092	0.0007
	ვსკერული ნალექი	მგ/კგ	11.4	20.2	9.9	8.6	9.1	4.1
2	ნიადაგი	მგ/კგ	15.9	24.7	27.8	13.9	20.2	6.8
	მტკვარი- ბორჯომი							
	წყლის ფაზა	მგ/ლ	0.0066	0.0050	0.0034	0.0028	0.0101	0.0010
	ტივტივა ნატანი	მგ/ლ	-	-	-	-	-	-
	ჯამი	მგ/ლ	0.0066	0.0050	0.0034	0.0028	0.0101	0.0010
	ვსკერული ნალექი	მგ/კგ	17.2	22.0	14.8	12.6	7.8	5.1
	ნიადაგი	მგ/კგ	18.9	30.7	24.4	17.9	25.6	8.8

	2	3	4	5	6	7	8	9
3	მტკვარი-ხაშური							
	წყლის ფაზა	მგ/ლ	0.0077	0.0069	0.0047	0.0032	0.0092	0.0021
	ტივტივა ნატანი	მგ/ლ	-	-	-	-	-	-
	ჯამი	მგ/ლ	0.0077	0.0069	0.0047	0.0032	0.0092	0.0021
	ფსკერული ნალექი	მგ/კბ	18.7	20.9	13.9	14.0	9.7	4.8
4	ნიადაგი	მგ/კბ	24.1	32.6	25.0	21.1	29.3	9.8
	სურამული-ხაშური							
	წყლის ფაზა	მგ/ლ	0.0072	0.0064	0.0021	0.0018	0.0082	0.0011
	ტივტივა ნატანი	მგ/ლ	0.0114	0.0091	0.0072	0.0030	0.0107	0.0024
	ჯამი	მგ/ლ	0.0186	0.0155	0.0093	0.0048	0.0189	0.0035
5	ფსკერული ნალექი	მგ/კბ	18.0	19.7	14.7	15.7	7.9	5.1
	ნიადაგი	მგ/კბ	30.4	40.4	27.8	24.8	30.2	13.2
	მტკვარი-გორი							
	წყლის ფაზა	მგ/ლ	0.0079	0.0071	0.0035	0.0036	0.0090	0.0013
	ტივტივა ნატანი	მგ/ლ	-	-	-	-	-	-
	ჯამი	მგ/ლ	0.0079	0.0071	0.0035	0.0036	0.0090	0.0013
	ფსკერული ნალექი	მგ/კბ	17.9	16.9	22.3	13.7	8.0	6.2
	ნიადაგი	მგ/კბ	29.8	36.2	36.8	26.2	38.8	14.8

	2	3	4	5	6	7	8	9
6	ლიახვი-გორი							
	წყლის ფაზა	მგ/ლ	0.0090	0.0083	0.0041	0.0038	0.0101	0.0015
	ტივტივა ნატანი	მგ/ლ	-	-	-	-	-	-
	ჯამი	მგ/ლ	0.0090	0.0083	0.0041	0.0038	0.0101	0.0015
	ფსკერული ნალექი	მგ/კგ	13.2	11.9	16.4	9.7	5.4	2.1
	ნიაღაგი	მგ/კგ	20.8	27.1	27.8	20.1	19.8	10.4
7	მტკვარი-კასპი							
	წყლის ფაზა	მგ/ლ	0.0081	0.0065	0.0031	0.0052	0.0056	0.0018
	ტივტივა ნატანი	მგ/ლ	-	-	-	-	-	-
	ჯამი	მგ/ლ	0.0081	0.0065	0.0031	0.0052	0.0056	0.0018
	ფსკერული ნალექი	მგ/კგ	14.8	12.3	18.1	11.4	6.5	3.0
8	ნიაღაგი	მგ/კგ	18.9	19.2	31.2	21.6	21.8	7.8
	ლეხურა-კასპი							
	წყლის ფაზა	მგ/ლ	0.0095	0.0017	0.0022	0.0028	0.0014	0.0011
	ტივტივა ნატანი	მგ/ლ	0.0040	0.0009	0.0020	0.0017	0.0024	0.0009
	ჯამი	მგ/ლ	0.0135	0.0026	0.0042	0.0045	0.0038	0.0020
	ფსკერული ნალექი	მგ/კგ	9.8	9.1	11.2	7.8	4.6	2.9

1	2	3	4	5	6	7	8	9
9	მტკვარი-ზაჟესი							
	წყლის ფაზა	მგ/ლ	0.0076	0.0162	0.0041	0.0028	0.0089	0.0020
	ტივტივა ნატანი	მგ/ლ	-	-	-	-	-	-
	ჯამი	მგ/ლ	0.0076	0.0162	0.0041	0.0028	0.0089	0.0020
10	ფსკერული ნალექი	მგ/კგ	12.4	14.2	21.3	13.4	7.0	3.9
	ნიადაგი	მგ/კგ	22.7	22.1	30.9	22.9	23.0	9.7
	მტკვარი-თბილისი							
	წყლის ფაზა	მგ/ლ	0.0088	0.0172	0.0040	0.0037	0.0088	0.0012
11	ტივტივა ნატანი	მგ/ლ	-	-	-	-	-	-
	ჯამი	მგ/ლ	0.0088	0.0172	0.0040	0.0037	0.0088	0.0012
	ფსკერული ნალექი	მგ/კგ	20.4	19.7	30.1	16.2	6.3	4.0
	ნიადაგი	მგ/კგ	24.6	25.1	40.8	29.1	20.2	15.6
11	მტკვარი-გაჩიანი							
	წყლის ფაზა	მგ/ლ	0.0053	0.0143	0.0047	0.0039	0.0101	0.0022
	ტივტივა ნატანი	მგ/ლ	-	-	-	-	-	-
	ჯამი	მგ/ლ	0.0053	0.0143	0.0047	0.0039	0.0101	0.0022

1	2	3	4	5	6	7	8	9
12	მტკვარი-რუსთავი							
	წყლის ფაზა	მგ/ლ	0.0102	0.0137	0.0055	0.0041	0.0093	0.0037
	ტივტივა ნატანი	მგ/ლ	-	-	-	-	-	-
	ჯამი	მგ/ლ	0.0102	0.0137	0.0055	0.0041	0.0093	0.0037
	ფსკერული ნალექი	მგ/კგ	20.1	23.3	42.4	24.3	6.1	7.3
13	ნიადაგი	მგ/კგ	70.0	51.8	48.1	41.1	61.0	10.3
	ხრამი-წითელი ნიდი							
	წყლის ფაზა	მგ/ლ	0.0145	0.0200	0.0071	0.0105	0.0067	0.0071
	ტივტივა ნატანი	მგ/ლ	-	-	-	-	-	-
	ჯამი	მგ/ლ	0.0145	0.0200	0.0071	0.0105	0.0067	0.0071
14	ფსკერული ნალექი	მგ/კგ	27.8	37.1	62.1	28.1	10.5	6.9
	ნიადაგი	მგ/კგ	31.6	51.1	49.4	54.1	39.9	10.9
	არაგვი-უინგალი							
	წყლის ფაზა	მგ/ლ	0.0077	0.0051	კვალი	0.0020	კვალი	0.0014
	ტივტივა ნატანი	მგ/ლ	-	-	-	-	-	-
	ჯამი	მგ/ლ	0.0077	0.0051	კვალი	0.0020	კვალი	0.0014
	ფსკერული ნალექი	მგ/კგ	7.9	8.2	6.3	7.0	5.8	2.0

1	2	3	4	5	6	7	8	9
15	იორი ზედა-თიანეთი							
	წყლის ფაზა	მგ/ლ	0.0079	0.0076	კვალი	0.0016	0.0071	კვალი
	ტივტივა ნატანი	მგ/ლ	-	-	-	-	-	-
	ჯამი	მგ/ლ	0.0079	0.0076	კვალი	0.0016	0.0071	კვალი
	ფსკერული ნალექი	მგ/კბ	10.4	40.9	56.6	13.5	17.2	6.8
16	ნიადაგი	მგ/კბ	32.8	88.7	30.7	39.3	25.4	20.6
	იორი ქვედა-სართიჭალა							
	წყლის ფაზა	მგ/ლ	0.0081	0.0088	კვალი	0.0030	0.0082	კვალი
	ტივტივა ნატანი	მგ/ლ	0.0042	0.0102	0.0017	0.0042	0.0031	კვალი
	ჯამი	მგ/ლ	0.0123	0.0190	0.0017	0.0072	0.0113	კვალი
17	ფსკერული ნალექი	მგ/კბ	10.2	46.3	24.7	19.2	19.8	3.4
	ნიადაგი	მგ/კბ	33.8	62.1	29.2	41.2	38.4	23.1
	ალაზანი ზედა-ახმეტა							
	წყლის ფაზა	მგ/ლ	0.0054	0.0072	კვალი	0.0031	0.0090	კვალი
	ტივტივა ნატანი	მგ/ლ	-	-	-	-	-	-
	ჯამი	მგ/ლ	0.0054	0.0072	კვალი	0.0031	0.0090	კვალი

ცხრილი 11. მდ.მტკვარი სერთვისიდან ჭირებულ ხილამზე – 01-08.05.12

№	დასახელება	მოპგარი სერთვი- სი	მოპგარი ბორჯომი	სურამულა ხაშური	მოპგარი ხაშური	მოპგარი ბორი	ლიახვი ბორი	ლენურა გასა	არაგვი შიდები	მოპგარი გასა
1	გამჭვირვალობა, სმ	10	11	14	12	9	11	13	16	11
2	pH	8.34	8.70	8.50	8.70	8.57	8.42	8.41	8.68	8.70
3	ტემპერატურა, °C	11.0	10.1	14.0	12.2	13.1	12.6	15.0	10.7	14.6
4	გასნილი ჟანგბადი, მგ/ლ	6.6	7.1	6.4	7.0	7.0	6.9	6.3	6.9	6.5
5	O ₂ -ის განვერების ხარისხი, %	87.5	88.0	75.8	78.9	80.3	76.7	75.6	83.1	80.2
6	ელექტროგამტარ- ობა, სმ/სმ	16	16	36	25	36	38	41	44	26
7	ჟანგბა-აღდგენითი პოტენციალი, მ/ვ	189	144	156	142	153	164	164	180	165
8	ჟბმ, მგO ₂ /ლ	1.71	1.67	5.08	3.24	1.40	1.34	1.69	0.82	1.48
9	კარბონატი, მგ/ლ	1.4	1.6	5.18	3.87	2.0	4.2	7.0	0.73	1.09
10	სიხისტე, მგ-ექვ/ლ	1.75	2.10	2.89	2.43	2.00	2.81	2.87	5.80	2.18
11	ნიტრიტის აზოტი, მგ/ლ	0.069	0.057	0.317	0.169	0.030	0.017	0.060	0.070	0.062
12	ნიტრატის აზოტი, მგ/ლ	0.182	0.126	1.027	0.618	0.197	0.203	0.283	0.089	0.226
13	ამონიუმის აზოტი, მგ/ლ	0.204	0.315	1.371	0.462	0.511	0.627	0.879	0.091	0.418
14	ამიაკი, მგ/ლ	0.0027	0.0031	0.0178	0.0086	0.0090	0.0095	0.0130	0.0022	0.0061
15	ფოსფატი, მგ/ლ	0.038	0.023	0.044	0.038	0.016	0.022	0.022	0.020	0.063
16	სულფატები, მგ/ლ	11.79	18.73	19.15	10.03	9.04	16.92	25.50	16.41	29.37
17	ქლორიდები, მგ/ლ	2.40	2.17	6.81	3.17	2.97	2.07	2.95	3.40	2.13
18	ჰიდროკარბონატი, მგ/ლ	104.3	119.4	170.6	149.1	129.6	154.6	178.9	153.1	149.1
19	კალიუმი, მგ/ლ	1.3	1.4	1.1	1.1	1.3	1.1	1.4	1.0	1.2
20	ნატრიუმი, მგ/ლ	7.2	7.0	11.9	7.7	8.6	7.0	8.8	15.2	8.1
21	კალციუმი, მგ/ლ	24.3	29.7	39.4	35.1	30.5	37.3	40.4	36.9	32.3

22	მაგნიუმი, მგ/ლ	6.9	6.8	8.2	8.0	8.1	9.2	9.8	8.8	8.4
23	მინერალიზაცია, %	0.2	0.2	0.3	0.2	0.3	0.2	0.3	0.3	0.3
24	ზასნ, მგ/ლ	0.001	0.002	0.006	0.003	0.003	0.002	0.003	0.001	0.003
25	რკინა, მგ/ლ	0.0031	0.0036	0.0027	0.0051	0.0042	0.0047	0.0034	0.0017	0.0055
26	თუთია, მგ/ლ	0.0029	0.0033	0.0056	0.0085	0.0103	0.0050	0.0073	0.0039	0.0089
27	სპილენდი, მგ/ლ	0.0071	0.0073	0.0069	0.0079	0.0097	0.0090	0.0082	0.0063	0.0058
28	ნიკელი, მგ/ლ	0.0020	0.0036	0.0014	0.0146	0.0180	0.0144	0.0131	0.0062	0.0085
29	ტყვია, მგ/ლ	0.0007	0.0011	0.0007	0.0008	0.0008	0.0009	0.0013	0.0008	0.0017
30	მანგანუმი, მგ/ლ	0.0087	0.0097	0.0102	0.0116	0.0125	0.0093	0.0090	0.0046	0.0061

ცხრილი 11. (ბაბრძელება)

№	დასახელება	მომვარი ზავისი	მომვარი იგივესი	მომვარი განისაზღვისი	მომვარი ოუზებულებები	ხრამი ზოთვები ზედა	0990 თიხანითი ზედა	პლაზანი (ძველი) გამრისალი	პლაზანი (ზედა) ახშემუა	0990 სართისალა ძველი
1	გამჭვირვალობა, სმ	10	9	8	9	15	13	10	11	10
2	pH	8.60	8.76	8.50	8.63	8.45	8.72	8.61	8.52	8.42
3	ტემპერატურა, °C	14.1	13.2	13.4	13.2	16.3	10.9	14.3	14.4	17.3
4	გასხნილი ჟანგბადი, მგ/ლ	6.7	6.5	7.9	7.5	5.8	8.2	6.5	6.9	6.1
5	O ₂ -ის გაჯერების ხარისხი, %	88.1	79.8	79.1	81.2	76.7	81.7	78.9	82.1	80.2
6	ელექტროგამტარო ბა, სმ/სმ	25	27	29	26	30	22	24	28	25
7	ჟანგვა-აღდგენითი პოტენციალი, მ/ვ	173	180	176	173	170	184	186	181	164
8	ჟბმ, მგ O ₂ /ლ	2.01	1.81	2.62	2.09	1.15	1.03	1.78	1.62	1.13
9	კარბონატი, მგ/ლ	2.69	3.01	2.72	3.47	3.98	3.01	2.83	2.74	3.21
10	სიხისტე, მგ-მგ/ლ	2.47	2.61	2.70	3.00	3.11	2.88	2.47	2.51	2.73
11	ნიტრიტის აზოტი, მგ/ლ	0.061	0.098	0.062	0.110	0.086	0.042	0.044	0.039	0.053
12	ნიტრატის აზოტი, მგ/ლ	0.365	0.402	0.411	0.439	0.348	0.107	0.379	0.423	0.135

13	Տմբույթի անոցի, Ց/Ը	0.482	0.629	0.577	0.682	0.803	0.087	0.590	0.493	0.103
14	Տմօչո, Ց/Ը	0.0075	0.0109	0.0096	0.0112	0.0170	0.0076	0.0040	0.0033	0.0082
15	Գումարածո, Ց/Ը	0.057	0.127	0.109	0.298	0.021	0.024	0.061	0.081	0.082
16	Եշլապարագի, Ց/Ը	20.88	33.26	11.76	24.81	30.14	15.17	12.44	18.03	13.71
17	Ժլորուցյան, Ց/Ը	4.18	4.98	3.28	6.17	3.73	6.09	2.28	2.94	5.13
18	Ճուղարձունածո, Ց/Ը	146.5	151.6	170.5	177.2	178.6	130.8	135.3	140.9	137.7
19	Ճալույթո, Ց/Ը	1.2	1.3	1.2	1.3	1.4	1.1	1.2	1.3	1.1
20	Եաթույթո, Ց/Ը	7.7	14.9	15.1	19.3	9.3	10.3	7.4	7.9	9.9
21	Ճալույթո, Ց/Ը	37.6	41.7	31.2	43.9	39.1	33.7	35.2	37.1	29.9
22	Թաջնույթո, Ց/Ը	9.0	9.3	8.0	8.2	9.9	7.2	7.3	7.4	7.0
23	Թօնքացութացո, %	0.2	0.3	0.2	0.3	0.3	0.2	0.2	0.2	0.2
24	Կաեն, Ց/Ը	0.003	0.004	0.004	0.004	0.003	0.001	0.002	0.001	0.002
25	Ռյոնա, Ց/Ը	0.0071	0.0069	0.0079	0.0102	0.0157	0.0036	0.0042	0.0038	0.0033
26	Մայոս, Ց/Ը	0.0140	0.0155	0.0160	0.0149	0.0168	0.0040	0.0029	0.0033	0.0044
27	Եճույթո, Ց/Ը	0.0079	0.0088	0.0097	0.0107	0.0124	0.0051	0.0037	0.0050	0.0061
28	Խոճլո, Ց/Ը	0.0020	0.0020	0.0031	0.0042	0.0067	0.0020	0.0015	0.0010	0.0009
29	Ծպաս, Ց/Ը	0.0011	0.0021	0.0027	0.0040	0.0055	0.0007	0.0007	0.0006	0.0007
30	Թանգանույթո, Ց/Ը	0.0020	0.0033	0.0029	0.0037	0.0036	0.0019	0.0029	0.0031	0.0046

ცხრილი 12. მდინარე მტკვრის აუზში აღებულ ნიმუშებში მძიმე ლითონების
შემცველობა (01-08.05.12)

Nº	დაკვირვების პუნქტი, ნიმუშის სახეობა	განზომილება	რკინა Fe	თუთია Zn	სპილენბი Cu	ნიკელი Ni	ტყვია Pb	მანგანუმი Mn
1	2	3	4	5	6	7	8	9
1	მტკვარი- ხეროვისი							
	წყლის ფაზა	მგ/ლ	0.0031	0.0029	0.0071	0.0020	0.0007	0.0087
	ტიპი 03 ნატანი	მგ/ლ	0.0245	0.0172	0.0124	0.0061	0.0020	0.0288
	ჯამი	მგ/ლ	0.0276	0.0201	0.0195	0.0081	0.0027	0.0375
	ფსკერული ნალექი	მგ/კბ	8.7	11.2	6.7	9.2	5.1	9.4
	ნიადაგი (0-10)სმ	მგ/კბ	25.6	26.6	15.3	17.8	8.9	40.8
	(10-20)სმ	მგ/კბ						
	(20-30)სმ	მგ/კბ						
2	მტკვარი- ბორჯომი							
	წყლის ფაზა	მგ/ლ	0.0036	0.0033	0.0073	0.0036	0.0011	0.0097
	ტიპი 03 ნატანი	მგ/ლ	0.0203	0.0187	0.0207	0.0082	0.0028	0.0285

	ჯამი	გვ/ლ	0.0239	0.0220	0.0280	0.0118	0.0032	0.0382
	ფსკერული ნალექი	გვ/პბ	9.6	12.4	14.9	14.2	5.5	9.3
	ნიადაგი	გვ/პბ	26.1	30.4	27.6	27.9	9.8	51.8
1	2	3	4	5	6	7	8	9
	მტკვარი- ხაშური							
	წყლის ფაზა	გვ/ლ	0.0051	0.0085	0.0079	0.0146	0.0008	0.0116
3	ტიგბივა ნატანი	გვ/ლ	0.0195	0.0140	0.0146	0.0130	0.0025	0.0305
	ჯამი	გვ/ლ	0.0246	0.0225	0.0225	0.0276	0.0033	0.0421
	ფსკერული ნალექი	გვ/პბ	9.3	13.1	15.8	16.8	6.2	9.7
	ნიადაგი	გვ/პბ	27.4	26.8	29.2	30.7	10.2	53.5
	სურამული- ხაშური							
	წყლის ფაზა	გვ/ლ	0.0027	0.0056	0.0069	0.0014	0.0007	0.0102
4	ტიგბივა ნატანი	გვ/ლ	0.0115	0.0088	0.0109	0.0062	0.0020	0.0311
	ჯამი	გვ/ლ	0.0142	0.0144	0.0178	0.0076	0.0027	0.0413
	ფსკერული ნალექი	გვ/პბ	16.2	10.9	11.6	18.6	6.2	7.6
	ნიადაგი	გვ/პბ	22.9	24.7	24.2	29.3	9.7	43.9

	მტკვარი-გორი							
5	წყლის ფაზა	გვ/ლ	0.0042	0.0103	0.0097	0.0180	0.0008	0.0125
	ტიპტივა ნატანი	გვ/ლ	0.0204	0.0289	0.0147	0.0100	0.0024	0.0342
	ჯამი	გვ/ლ	0.0246	0.0392	0.0244	0.0280	0.0032	0.0467
	ფსკერული ნალექი	გვ/გვ	18.7	20.1	17.8	18.0	6.8	14.2
	ნიადაგი	გვ/გვ	28.0	51.6	30.4	31.9	14.5	70.6
1	2	3	4	5	6	7	8	9
6	ლიახვი-გორი							
	წყლის ფაზა	გვ/ლ	0.0047	0.0050	0.0090	0.0144	0.0009	0.0093
	ტიპტივა ნატანი	გვ/ლ	0.0094	0.0121	0.0167	0.0160	0.0043	0.0216
	ჯამი	გვ/ლ	0.0141	0.0171	0.0257	0.0304	0.0052	0.0309
	ფსკერული ნალექი	გვ/გვ	21.3	25.5	14.6	20.2	7.9	18.9
	ნიადაგი	გვ/გვ	26.6	42.6	29.7	36.1	17.3	61.6
7	მტკვარი-კასპი							
	წყლის ფაზა	გვ/ლ	0.0055	0.0089	0.0058	0.0085	0.0017	0.0061
	ტიპტივა ნატანი	გვ/ლ	0.0182	0.0180	0.0201	0.0126	0.0042	0.0184

	ჯამი	მგ/ლ	0.0237	0.0269	0.0259	0.0211	0.0059	0.0245
	ფსკერული ნალექი	მგ/კგ	19.0	24.8	26.2	18.9	8.1	19.2
	ნიადაგი	მგ/კგ	29.2	39.9	41.2	34.6	18.0	60.9
8	ლეხურა- კასპი							
	წყლის ფაზა	მგ/ლ	0.0034	0.0073	0.0082	0.0131	0.0013	0.0090
	ტივტივა ნატანი	მგ/ლ	0.0166	0.0102	0.0214	0.0170	0.0039	0.0209
	ჯამი	მგ/ლ	0.0200	0.0175	0.0296	0.0301	0.0052	0.0299
	ფსკერული ნალექი	მგ/კგ	15.7	18.7	23.7	20.3	7.3	16.4
	ნიადაგი	მგ/კგ	20.5	30.2	38.8	28.7	18.9	74.3
1	2	3	4	5	6	7	8	9
9	მტკვარი- ზაჟესი							
	წყლის ფაზა	მგ/ლ	0.0071	0.0140	0.0079	0.0020	0.0011	0.0020
	ტივტივა ნატანი	მგ/ლ	0.0200	0.0251	0.0193	0.0097	0.0050	0.0211
	ჯამი	მგ/ლ	0.0271	0.0391	0.0272	0.0117	0.0061	0.0231
	ფსკერული ნალექი	მგ/კგ	17.2	29.7	38.8	24.2	10.9	17.1
	ნიადაგი	მგ/კგ	28.8	52.4	56.1	43.4	18.4	81.3

	მტკგარი- თბილისი								
	წყლის ფაზა	მგ/ლ	0.0069	0.0155	0.0088	0.0020	0.0021	0.0033	
10	ტივტივა ნატანი	მგ/ლ	0.0176	0.0260	0.0262	0.0082	0.0076	0.0190	
	ჯამი	მგ/ლ	0.0245	0.0415	0.0350	0.0102	0.0097	0.0223	
	ფსკერული ნალექი	მგ/კგ	24.7	38.7	30.6	25.1	8.5	29.7	
	ნიადაგი	მგ/კგ	60.0	57.6	68.7	40.3	19.7	72.5	
11	მტკგარი- გაჩიანი								
	წყლის ფაზა	მგ/ლ	0.0079	0.0160	0.0097	0.0031	0.0027	0.0029	
	ტივტივა ნატანი	მგ/ლ	0.0206	0.0312	0.0242	0.0074	0.0080	0.0201	
	ჯამი	მგ/ლ	0.0285	0.0472	0.0339	0.0105	0.0107	0.0230	
	ფსკერული ნალექი	მგ/კგ	19.2	40.2	36.2	16.3	8.1	31.8	
12	ნიადაგი	მგ/კგ	50.5	60.1	69.7	42.6	21.0	70.9	
	1	2	3	4	5	6	7	8	9
	მტკგარი- რუსთავი								
	წყლის ფაზა	მგ/ლ	0.0102	0.0149	0.0107	0.0042	0.0040	0.0037	
	ტივტივა	მგ/ლ	0.0264	0.0270	0.0230	0.0108	0.0074	0.0250	

	ნატანი							
	ჯამი	გვ/ლ	0.0366	0.0419	0.0337	0.0150	0.0114	0.0287
	ფსკერული ნალექი	გვ/კბ	23.9	31.7	36.8	26.1	9.0	34.5
	ნიადაგი	გვ/კბ	67.3	62.6	87.2	46.7	22.7	80.6
	ხრამი-წით- ელი ხიდი							
	წყლის ფაზა	გვ/ლ	0.0157	0.0168	0.0124	0.0067	0.0055	0.0036
13	ტივტივა ნატანი	გვ/ლ	0.0381	0.0309	0.0314	0.0101	0.0080	0.0266
	ჯამი	გვ/ლ	0.0538	0.0477	0.0438	0.0168	0.0135	0.0302
	ფსკერული ნალექი	გვ/კბ	24.4	40.4	21.3	20.9	12.4	30.2
	ნიადაგი, (10-20)სმ	გვ/კბ	63.2	51.9	62.8	56.7	23.1	56.7
	(10-20)სმ	გვ/კბ						
	(20-30)სმ	გვ/კბ						
14	არაგვი- ჟინგალი							
	წყლის ფაზა	გვ/ლ	0.0017	0.0039	0.0063	0.0062	0.0008	0.0046
	ტივტივა ნატანი	გვ/ლ	0.0095	0.0075	0.0100	0.0042	0.0043	0.0109
	ჯამი	გვ/ლ	0.0112	0.0114	0.0163	0.0104	0.0051	0.0155

	ფსკერული ნალექი	მგ/კგ	6.8	9.1	8.8	5.9	5.9	7.9
	ნიადაგი	მგ/კგ	18.7	24.2	16.4	21.6	10.2	31.8
1	2	3	4	5	6	7	8	9
15	იორი ზედა- თიანეთი							
	წყლის ფაზა	მგ/ლ	0.0036	0.0040	0.0051	0.0020	0.0007	0.0019
	ტივტივა ნატანი	მგ/ლ	0.0102	0.0109	0.0102	0.0077	0.0040	0.0102
	ჯამი	მგ/ლ	0.0138	0.0149	0.0153	0.0097	0.0047	0.0121
	ფსკერული ნალექი	მგ/კგ	19.2	32.3	7.8	14.9	7.9	16.7
16	ნიადაგი	მგ/კგ	20.1	70.6	31.6	31.3	22.4	39.6
	იორი ქვედა- სართიჭალა							
	წყლის ფაზა	მგ/ლ	0.0033	0.0044	0.0061	0.0009	0.0007	0.0046
	ტივტივა ნატანი	მგ/ლ	0.0120	0.0121	0.0122	0.0064	0.0051	0.0162
	ჯამი	მგ/ლ	0.0153	0.0165	0.0183	0.0073	0.0058	0.0208
17	ფსკერული ნალექი	მგ/კგ	10.2	40.6	8.6	23.4	9.7	20.4
	ნიადაგი	მგ/კგ	19.0	71.2	24.3	36.8	26.4	40.8
17	ალაზანი ზედა-ახმეტა							

	წყლის ფაზა	გვ/ლ	0.0038	0.0033	0.0050	0.0010	0.0006	0.0031
	ტივტივა ნატანი	გვ/ლ	0.0111	0.0130	0.0160	0.0092	0.0070	0.0180
	ჯამი	გვ/ლ	0.0149	0.0163	0.0210	0.0102	0.0076	0.0211
	ფსკერული ნალექი	გვ/კბ	13.7	15.5	14.6	7.6	6.3	11.7
	ნიადაგი	გვ/კბ	21.1	24.3	26.2	28.4	16.5	38.1
1	2	3	4	5	6	7	8	9
18	ალაზანი ქვედა- შაქრიანი							
	წყლის ფაზა	გვ/ლ	0.0042	0.0029	0.0037	0.0015	0.0007	0.0029
	ტივტივა ნატანი	გვ/ლ	0.0140	0.0102	0.0147	0.0077	0.0052	0.0171
	ჯამი	გვ/ლ	0.0182	0.0131	0.0184	0.0092	0.0059	0.0200
	ფსკერული ნალექი	გვ/კბ	6.7	20.6	6.9	17.9	8.2	13.6
	ნიადაგი	გვ/კბ	23.6	51.8	27.1	30.7	19.6	34.8

ცხრილი 13. მდ.მტკბარი ხერთვისიდან ჭირებულ ხილამზე – 16-23.VII.012

№	დასახელება	მოპგარი ხერთვი- სი	მოპგარი გორევები	სურამულა ხაშური	მოპგარი ხაშური	მოპგარი გორი	ლიახვი გორი	ლეხურა გასა	მოპგარი გასპა	პრაგბი ჯინალი
1	გამჭვირვალობა, სმ	9	8	11	7	7	10	13	8	15
2	pH	8.10	8.16	8.62	8.66	8.65	8.27	8.51	8.68	8.81
3	ტემპერატურა, °C	20.0	19.3	22.0	20.9	22.0	20.8	28.0	25.9	15.9
4	გახსნილი ჟანგბადი, მგ/ლ	7.2	7.3	7.0	7.2	8.2	8.6	8.0	7.8	7.8
5	O ₂ -ის გაჯერების ხარისხი, %	86.1	87.0	68.9	70.8	78.2	77.0	73.6	79.5	82.3
6	ელექტროგამტარ- ობა, სმ/სმ	202	215	320	240	290	306	630	390	300
7	ჟანგვა-აღდღენითი ჰოტენციალი, მ/გ	182	147	166	181	189	181	138	123	158
8	ჟბმ, მგ O ₂ /ლ	1.75	1.83	3.86	2.14	1.52	1.83	1.41	1.36	1.10
9	კარბონატი, მგ/ლ	3.8	6.4	5.6	5.2	2.1	4.1	3.6	2.2	1.43
10	სინიტები, მგ-ექვ/ლ	2.02	1.71	1.78	1.75	2.01	2.37	1.62	1.89	2.44
11	ნიტრიტის აზოტი, მგ/ლ	0.017	0.029	0.390	0.142	0.042	0.007	0.006	0.044	0.002
12	ნიტრატის აზოტი, მგ/ლ	0.78	0.79	2.71	0.80	0.72	0.56	1.07	0.77	0.18
13	ამონიუმის აზოტი, მგ/ლ	0.56	0.91	12.61	0.96	2.23	0.36	2.29	2.32	0.17
14	ამიაკი, მგ/ლ	0.0031	0.0040	0.0298	0.0104	0.0073	0.0069	0.0043	0.0067	0.0019
15	ფოსფატი, მგ/ლ	0.102	0.189	0.076	0.177	0.081	0.027	0.117	0.075	0.002
16	სულფატები, მგ/ლ	28.14	12.16	18.66	14.62	21.61	19.72	37.12	22.32	15.24
17	ქლორიდები, მგ/ლ	5.76	4.03	9.12	5.27	3.07	2.23	4.76	3.21	2.22
18	ჰიდროკარბონატი, მგ/ლ	110.7	119.2	157.4	121.7	142.3	138.4	248.6	146.8	148.4
19	კალიუმი, მგ/ლ	1.8	2.2	2.7	2.3	2.3	1.7	2.9	2.7	1.2
20	ნატრიუმი, მგ/ლ	12.6	10.1	19.0	11.2	10.7	9.2	9.7	11.4	6.5

21	კალციუმი, მგ/ლ	28.2	22.4	23.1	22.8	31.7	36.4	70.6	33.5	32.1
22	მაგნიუმი, მგ/ლ	8.5	8.9	8.1	8.3	8.8	7.7	11.8	10.4	8.0
23	მინერალიზაცია, %	0.2	0.2	0.3	0.2	0.2	0.2	0.4	0.3	0.1
24	ზასნ, მგ/ლ	0.001	0.002	0.003	0.003	0.002	0.001	0.001	0.002	0.001
25	რკინა, მგ/ლ	0.0042	0.0041	0.0033	0.0047	0.0036	0.0040	0.0039	0.0051	0.0012
26	თუთია, მგ/ლ	0.0033	0.0030	0.0049	0.0071	0.0078	0.0046	0.0066	0.0076	0.0022
27	სპილენდი, მგ/ლ	0.0098	0.0091	0.0072	0.0082	0.0082	0.0078	0.0078	0.0063	0.0057
28	ნიკელი, მგ/ლ	0.0023	0.0034	0.0022	0.0020	0.0079	0.0121	0.0127	0.0097	0.0041
29	ტყვია, მგ/ლ	0.0009	0.0012	0.0010	0.0009	0.0011	0.0009	0.0011	0.0015	0.0006
30	მანგანუმი, მგ/ლ	0.0094	0.0098	0.0117	0.0101	0.0107	0.0093	0.0082	0.0074	0.0032

ცხრილი 13. (ბაზრებლება)

№	დასახელება	მოკვარი ზაჟსი	მოკვარი თბილისი	მოკვარი გაჩიანი	მოკვარი რუსთავი	ნრაზი ჭითელი ხილი	01რი თიანეთი ზედა	01რი სართიშალა ზედა	ალაზანი (ზედა) ახმეტა	ალაზანი (ქვედა) შაქრიანი
1	გამჭვირვალობა, სმ	10	8	9	7	6	11	9	11	12
2	pH	8.65	8.76	8.49	8.45	8.68	8.20	8.77	8.40	8.70
3	ტემპერატურა, °C	23.1	21.8	21.9	22.3	26.1	20.1	17.3	25.0	20.6
4	გახსნილი ჯანგბადი, მგ/ლ	8.1	7.6	7.9	8.1	6.8	8.0	7.4	7.1	7.4
5	O ₂ -ის გაჯერების ხარისხი, %	84.6	81.8	76.8	79.3	74.7	79.7	78.6	80.8	77.4
84. 66	ელექტროგამტარო ბა, სმ/სმ	330	380	400	430	330	270	350	270	320
7	შანგვა-აღდღენითი პოტენციალი, მ/ვ	146	200	205	199	176	177	186	203	186
8	ჟმ, მგ O ₂ /ლ	1.23	1.12	4.22	4.51	1.87	1.11	1.57	1.84	2.47
9	კარბონატი, მგ/ლ	4.5	1.45	1.41	4.40	4.21	2.38	2.42	3.12	4.30
10	სისისტემური, მგ·მეტ/ლ	2.52	2.81	3.43	3.22	3.83	2.33	2.09	2.13	2.50
11	ნიტრიტის აზოტი, მგ/ლ	0.018	0.038	0.112	0.382	0.122	0.053	0.040	0.038	0.022
12	ნიტრატის აზოტი,	0.68	0.70	0.82	1.12	0.78	0.12	0.14	0.47	0.61

	მგ/ლ									
13	ამონიუმის აზოვი, მგ/ლ	0.45	0.88	2.88	2.23	4.23	0.11	0.12	0.40	0.46
14	ამიაკი, მგ/ლ	0.0133	0.0144	0.0129	0.0174	0.0152	0.0127	0.0099	0.0074	0.0069
15	ფოსფატი, მგ/ლ	0.086	0.062	0.058	0.320	0.159	0.081	0.073	0.054	0.021
16	სულფატები, მგ/ლ	20.11	48.23	58.31	62.42	65.31	16.09	12.81	17.23	18.70
17	ქლორიდები, მგ/ლ	4.19	4.71	6.22	7.34	5.81	5.17	4.35	2.75	2.51
18	ჰიდროკარბონატი, მგ/ლ	153.6	152.3	182.5	181.6	182.9	139.2	141.9	159.8	163.5
19	კალიუმი, მგ/ლ	2.8	2.8	2.8	2.7	4.2	1.1	1.2	1.3	1.1
20	ნატრიუმი, მგ/ლ	10.5	12.2	11.8	18.5	19.7	9.5	9.07	8.2	9.8
21	კალციუმი, მგ/ლ	36.3	42.5	42.3	52.8	48.5	32.6	30.2	36.3	35.9
22	მაგნიუმი, მგ/ლ	8.2	8.8	12.1	11.2	8.2	7.4	7.5	6.9	7.1
23	მინერალიზაცია, %	0.2	0.3	0.3	0.3	0.3	0.1	0.1	0.2	0.2
24	ზასი, მგ/ლ	0.003	0.003	0.003	0.003	0.002	0.002	0.001	0.001	0.002
25	რკინა, მგ/ლ	0.0065	0.0078	0.0085	0.0098	0.0168	0.0027	0.0043	0.0039	0.0040
26	თუმთია, მგ/ლ	0.0128	0.0162	0.0148	0.0152	0.0172	0.0033	0.0050	0.0047	0.0041
27	სპილენდი, მგ/ლ	0.0088	0.0082	0.0078	0.0097	0.0128	0.0053	0.0066	0.0034	0.0053
28	ნიკელი, მგ/ლ	0.0019	0.0014	0.0025	0.0040	0.0062	0.0027	0.0036	0.0019	0.0026
29	ტუფია, მგ/ლ	0.0014	0.0018	0.0022	0.0039	0.0047	0.0008	0.0009	0.0010	0.0009
30	მანგანუმი, მგ/ლ	0.0018	0.0028	0.0034	0.0042	0.0061	0.0040	0.0031	0.0027	0.0017

ცხრილი 14. მდინარე მტკვრის აუზში აღებულ ნიმუშებში მძიმე ლითონების შემცველობა
(16-23 ივლისი, 2012)

№	დაკვირვების პუნქტი, ნიმუშის სახეობა	განზომილება	რკინა Fe	თუთია Zn	სპილენდი Cu	ნიკელი Ni	ტყვია Pb	მანგანუმი Mn
1	2	3	4	5	6	7	8	9
1	მტკვარი- სერთვისი							
	წყლის ფაზა	მგ/ლ	0.0042	0.0033	0.0098	0.0023	0.0009	0.0094
	ტივილის ნატანი	მგ/ლ	0.0198	0.0249	0.0192	0.0109	0.0048	0.0216
	ჯამი	მგ/ლ	0.0240	0.0282	0.0290	0.0132	0.0057	0.0310
	ფსკერული ნალექი	მგ/კგ	9.7	15.7	12.3	10.0	4.1	8.2
2	ნიადაგი (0-10)სმ	მგ/კგ	11.3	18.4	28.6	15.2	6.3	19.6
	მტკვარი- ბორჯომი							
	წყლის ფაზა	მგ/ლ	0.0041	0.0030	0.00691	0.0034	0.0012	0.0098
	ტივილის ნატანი	მგ/ლ	0.0244	0.0237	0.0255	0.0140	0.0056	0.0217
	ჯამი	მგ/ლ	0.0285	0.0267	0.0346	0.0174	0.0068	0.0315
	ფსკერული ნალექი	მგ/კგ	17.1	20.2	12.7	14.5	5.1	9.2
	ნიადაგი	მგ/კგ	19.8	27.6	26.8	21.9	8.3	27.5

1	2	3	4	5	6	7	8	9
3	მტკვარი-საშური							
	წყლის ფაზა	მგ/ლ	0.0047	0.0071	0.0082	0.0020	0.0009	0.0101
	ტიპტივა ნატანი	მგ/ლ	0.0164	0.0298	0.0206	0.0111	0.0058	0.0247
	ჯამი	მგ/ლ	0.0211	0.0369	0.0288	0.0131	0.0067	0.0348
	ფსკერული ნალექი	მგ/კგ	18.9	22.4	18.3	13.2	5.0	11.6
	ნიადაგი	მგ/კგ	23.6	31.3	23.1	24.7	8.6	30.9
4	სურამული-საშური							
	წყლის ფაზა	მგ/ლ	0.0033	0.0049	0.0072	0.0022	0.0010	0.0117
	ტიპტივა ნატანი	მგ/ლ	0.0226	0.0301	0.0204	0.0107	0.0093	0.0170
	ჯამი	მგ/ლ	0.0259	0.0350	0.0276	0.0129	0.0103	0.0287
	ფსკერული ნალექი	მგ/კგ	17.1	19.2	18.3	17.4	6.3	7.2
	ნიადაგი	მგ/კგ	29.3	47.4	34.6	30.7	13.9	28.5
5	მტკვარი-გორი							
	წყლის ფაზა	მგ/ლ	0.0036	0.0078	0.0082	0.0079	0.0011	0.0107
	ტიპტივა ნატანი	მგ/ლ	0.0169	0.0233	0.0211	0.0230	0.0087	0.0270

	ჯამი	მგ/ლ	0.0205	0.0311	0.0293	0.0309	0.0098	0.0377
	ფსკერული ნალექი	მგ/კგ	21.7	17.4	19.6	17.1	6.9	8.0
	ნიადაგი	მგ/კგ	33.8	42.7	24.9	32.3	15.2	38.5
1	2	3	4	5	6	7	8	9
	ლიახვი-გორი							
6	წყლის ფაზა	მგ/ლ	0.0040	0.0046	0.0078	0.0121	0.0009	0.0023
	ტიგბივა ნატანი	მგ/ლ	0.0207	0.0265	0.0203	0.0274	0.0091	0.0106
	ჯამი	მგ/ლ	0.0247	0.0321	0.0281	0.0395	0.0100	0.0129
	ფსკერული ნალექი	მგ/კგ	16.1	11.6	14.2	12.5	4.3	8.8
	ნიადაგი	მგ/კგ	22.8	32.3	20.6	26.9	10.2	37.1
	მტკვარი- ქასპი							
7	წყლის ფაზა	მგ/ლ	0.0051	0.0076	0.0063	0.0097	0.0015	0.0074
	ტიგბივა ნატანი	მგ/ლ	0.0224	0.0281	0.0172	0.0143	0.0083	0.0140
	ჯამი	მგ/ლ	0.0275	0.0357	0.0235	0.0240	0.0098	0.0214
	ფსკერული ნალექი	მგ/კგ	17.9	14.6	12.7	14.6	3.3	7.3
8	ნიადაგი	მგ/კგ	36.4	27.5	19.1	30.2	7.8	26.9
	ლეხურა-							

	კასპი							
	წყლის ფაზა	გვ/ლ	0.0039	0.0066	0.0078	0.0127	0.0011	0.0082
	ტივტივა ნატანი	გვ/ლ	0.0194	0.0201	0.0207	0.0234	0.0078	0.0164
	ჯამი	გვ/ლ	0.0233	0.0267	0.0285	0.0361	0.0089	0.0246
	ფსკერული ნალექი	გვ/კგ	7.9	9.3	9.7	7.4	4.6	6.3
	ნიადაგი	გვ/კგ	26.3	29.8	26.2	24.8	15.2	27.4
1	2	3	4	5	6	7	8	9
	მტკვარი- ზაჟესი							
	წყლის ფაზა	გვ/ლ	0.0065	0.0128	0.0088	0.0019	0.0014	0.0018
9	ტივტივა ნატანი	გვ/ლ	0.0241	0.0223	0.0204	0.0112	0.0065	0.0124
	ჯამი	გვ/ლ	0.0306	0.0351	0.0292	0.0131	0.0079	0.0142
	ფსკერული ნალექი	გვ/კგ	14.6	13.7	14.2	15.8	2.9	6.2
	ნიადაგი	გვ/კგ	24.0	21.9	24.7	23.6	10.9	24.4
	მტკვარი- თბილისი							
10	წყლის ფაზა	გვ/ლ	0.0078	0.0162	0.0082	0.0014	0.0018	0.0028
	ტივტივა ნატანი	გვ/ლ	0.0217	0.0304	0.0203	0.0127	0.0077	0.0118

	ჯამი	მგ/ლ	0.0295	0.0466	0.0285	0.0141	0.0095	0.0146
	ფსკერული ნალექი	მგ/კგ	29.1	20.3	18.1	10.4	3.9	7.7
	ნიადაგი	მგ/კგ	40.7	41.1	50.5	26.2	15.2	41.8
11	მტკვარი- გაჩიანი							
	წყლის ფაზა	მგ/ლ	0.0085	0.0148	0.0078	0.0025	0.0022	0.0034
	ტივტივა ნატანი	მგ/ლ	0.0148	0.0321	0.0152	0.0213	0.0085	0.0184
	ჯამი	მგ/ლ	0.0233	0.0469	0.0230	0.0238	0.0107	0.0218
	ფსკერული ნალექი	მგ/კგ	30.4	20.6	22.5	15.8	6.3	8.6
	ნიადაგი	მგ/კგ	60.7	50.1	61.9	38.5	22.7	50.4
1	2	3	4	5	6	7	8	9
12	მტკვარი- რუსთავი							
	წყლის ფაზა	მგ/ლ	0.0098	0.0152	0.0097	0.0040	0.0039	0.0042
	ტივტივა ნატანი	მგ/ლ	0.0243	0.0297	0.0203	0.0193	0.0088	0.0106
	ჯამი	მგ/ლ	0.0341	0.0449	0.0300	0.0233	0.0127	0.0148
	ფსკერული ნალექი	მგ/კგ	30.3	24.7	21.6	19.3	7.1	9.1
	ნიადაგი	მგ/კგ	61.8	71.6	80.5	43.1	26.5	78.7

	სრამი-წით-ელი ხიდი							
	წყლის ფაზა	მგ/ლ	0.0168	0.0172	0.0128	0.0062	0.0047	0.0061
13	ტიპტივა ნატანი	მგ/ლ	0.0273	0.0306	0.0273	0.0142	0.0131	0.0225
	ჯამი	მგ/ლ	0.0441	0.0478	0.0401	0.0204	0.0178	0.0286
	ფსკერული ნალექი	მგ/კგ	23.6	29.3	27.9	24.3	9.1	20.8
	ნიადაგი, (10-20)სმ	მგ/კგ	48.9	52.8	54.1	53.1	20.6	47.3
	არაგვი- ჟინვალი							
14	წყლის ფაზა	მგ/ლ	0.0012	0.0022	0.0057	0.0041	0.0006	0.0032
	ტიპტივა ნატანი	მგ/ლ	0.0081	0.0109	0.0131	0.0146	0.0039	0.0125
	ჯამი	მგ/ლ	0.0093	0.0131	0.0188	0.0187	0.0045	0.00157
	ფსკერული ნალექი	მგ/კგ	7.2	8.9	7.6	6.3	3.3	6.5
	ნიადაგი	მგ/კგ	23.1	20.7	24.7	20.9	9.1	28.6

1	2	3	4	5	6	7	8	9
15	იორი ზედა-თიანეთი							
	წყლის ფაზა	მგ/ლ	0.0027	0.0033	0.0053	0.0027	0.0008	0.0040
	ტივტივა ნატანი	მგ/ლ	0.0084	0.0104	0.0128	0.0072	0.0037	0.0113
	ჯამი	მგ/ლ	0.0111	0.0137	0.0181	0.0099	0.0045	0.0153
	ფსკერული ნალექი	მგ/კგ	9.4	8.2	8.1	6.2	3.1	6.2
	ნიადაგი	მგ/კგ	32.7	21.5	22.3	24.1	9.8	31.6
16	იორი ქვედა-სართიჭალა							
	წყლის ფაზა	მგ/ლ	0.00543	0.0050	0.0066	0.0036	0.0009	0.0031
	ტივტივა ნატანი	მგ/ლ	0.0115	0.0126	0.0108	0.0092	0.0082	0.0147
	ჯამი	მგ/ლ	0.0158	0.0176	0.0174	0.0128	0.0091	0.0178
	ფსკერული ნალექი	მგ/კგ	21.2	38.4	7.2	17.9	7.6	10.9
17	ნიადაგი	მგ/კგ	32.9	71.6	30.9	35.3	28.1	38.8
	ალაზანი ზედა-ახმეტა							
	წყლის ფაზა	მგ/ლ	0.0039	0.0047	0.0034	0.0019	0.0010	0.0027
	ტივტივა ნატანი	მგ/ლ	0.0089	0.0183	0.0117	0.0131	0.0102	0.0162

	ჯამი	გვ/ლ	0.0128	0.0230	0.0151	0.0150	0.0112	0.0189
	ფსკერული ნალექი	გვ/კბ	8.2	27.7	8.4	10.9	5.5	10.6
	ნიადაგი	გვ/კბ	29.3	37.2	33.6	31.7	25.3	36.8
	1	2	3	4	5	6	7	8
18	ალაზანი ქვედა- შაქრიანი							
	წყლის ფაზა	გვ/ლ	0.0040	0.0041	0.0053	0.0026	0.0009	0.0017
	ტივივა ნატანი	გვ/ლ	0.0142	0.0152	0.0139	0.0129	0.0072	0.0132
	ჯამი	გვ/ლ	0.0182	0.0193	0.0192	0.0155	0.0081	0.0149
	ფსკერული ნალექი	გვ/კბ	13.6	29.7	30.5	10.7	4.2	11.2
	ნიადაგი	გვ/კბ	36.2	40.9	42.4	39.8	21.8	34.3

ცხრილი 15. მდ.მტკვარი სერთვისიდან ჭითელ ხილამზე – 20-27.IX.12

№	დასახელება	მოპგარი ხერთვი- სი	მოპგარი გორუნვი	სურამულა ხაშური	მოპგარი ხაშური	მოპგარი გორი	ლიახვი გორი	ლეხურა გასა	მოპგარი გასპა	პრაგბი ზონალი
1	გამჭვირვალობა, სმ	12	13	12	10	9	10	11	12	15
2	pH	8.90	9.07	8.80	8.91	8.70	8.60	8.50	8.80	8.90
3	ტემპერატურა, °C	14.9	15.6	15.7	15.6	16.8	16.5	17.7	19.1	18.8
4	გახსნილი ჟანგბადი, მგ/ლ	6.5	6.8	6.2	6.3	6.3	6.6	5.9	5.6	6.2
5	O ₂ -ის გაჯერების ხარისხი, %	80.1	78.1	54.2	64.0	59.8	64.0	60.7	67.6	94.5
6	კლემბროგამტარ- ობა, სმ/სმ	133	139	139	131	138	154	161	131	129
7	ჟანგვა-აღდღენითი ჰოტენციალი, მ/გ	189	160	190	182	213	188	209	188	188
8	ქბმ, მგ O ₂ /ლ	1.60	1.57	7.06	5.70	1.68	1.41	1.42	1.50	0.61
9	კარბონატი, მგ/ლ	1.1	0.7	0.3	2.6	1.7	4.1	0.6	2.1	0.9
10	სინიტე, მგ-კლ/ლ	2.00	2.13	2.18	2.03	2.53	3.11	4.78	2.08	1.04
11	ნიტრიტის აზოტი, მგ/ლ	0.051	0.030	0.270	0.082	0.037	0.024	0.030	0.025	0.011
12	ნიტრატის აზოტი, მგ/ლ	0.625	0.458	3.241	0.922	0.654	0.567	1.158	0.813	0.303
13	ამონიუმის აზოტი, მგ/ლ	0.188	0.243	0.377	0.236	0.281	0.142	0.057	0.152	0.104
14	ამიაკი, მგ/ლ	0.027	0.020	0.112	0.031	0.016	0.037	0.032	0.019	0.009
15	ფოსფატი, მგ/ლ	0.136	0.102	0.291	0.181	0.088	0.064	0.091	0.106	0.010
16	სულფატები, მგ/ლ	16.7	15.2	21.6	26.3	23.6	31.8	71.6	51.1	48.6
17	ქლორიდები, მგ/ლ	2.3	2.0	2.5	3.7	2.3	4.1	4.2	5.5	3.5
18	ჰიდროკარბონატი, მგ/ლ	120.6	122.7	145.6	180.2	157.1	181.3	247.8	226.3	120.5
19	კალიუმი, მგ/ლ	1.1	1.0	1.4	1.2	1.4	1.5	1.4	1.3	1.2
20	ნატრიუმი, მგ/ლ	7.9	7.4	10.2	12.3	10.1	13.6	17.7	16.2	8.9

21	კალციუმი, მგ/ლ	24.6	27.1	32.1	29.8	36.3	37.9	60.4	25.6	31.2
22	მაგნიუმი, მგ/ლ	8.6	8.8	10.6	7.2	9.1	12.7	20.8	8.1	5.3
23	მინერალიზაცია, %	0.2	0.2	0.2	0.3	0.3	0.3	0.4	0.3	0.2
24	ზასნ, მგ/ლ	0.01	0.02	0.09	0.04	0.03	0.03	0.02	0.02	0.00
25	რკინა, მგ/ლ	0.0012	0.0023	0.0084	0.0041	0.0071	0.0080	0.0013	0.0060	0.0008
26	თუთია, მგ/ლ	0.0074	0.0092	0.0164	0.0091	0.0134	0.0106	0.0062	0.0093	0.0074
27	სპილენდი, მგ/ლ	0.0062	0.0083	0.0135	0.0106	0.0162	0.0091	0.0077	0.0092	0.0065
28	ნიკელი, მგ/ლ	0.0023	0.0034	0.0042	0.0063	0.0051	0.0043	0.0034	0.0062	0.0034
29	ტუვია, მგ/ლ	0.0014	0.0022	0.0034	0.0026	0.0047	0.0035	0.0044	0.0052	0.0011
30	მანგანუმი, მგ/ლ	0.0033	0.0046	0.0037	0.0061	0.0072	0.0056	0.0056	0.0062	0.0023

ცხრილი 15. (გაგრძელება)

№	დასახელება	მომვარი ზაჟსი	მომვარი თბილისი	მომვარი განიანი	მომვარი რჟისტაზი	ხრამი ჭითელი ზედი	0ორი თიანეთი ზედა	0ორი სართიშალა შედა	ალაზანი (ზედა) ანგარი	ალაზანი (მედი) შარიანი
1	გამჭვირვალობა, სმ	13	14	8	6	7	9	8	7	5
2	pH	8.80	8.72	8.88	8.80	8.97	8.93	8.90	8.94	9.00
3	ტემპერატურა, °C	18.8	17.0	18.1	19.8	19.9	16.3	17.4	18.0	15.0
4	გახსნილი ჯანგბადი, მგ/ლ	5.9	6.1	6.7	5.9	6.9	6.4	7.3	6.1	6.9
5	O ₂ -ის გაჯერების ხარისხი, %	58.8	56.1	63.4	67.7	65.9	89.9	87.8	80.2	68.1
66	ელექტროგამტარო ბა, სმ/სმ	147	140	147	149	150	125	148	122	124
7	ჟანგვა-აღდგენითი ჰოტენციალი, მ/3	199	210	221	211	205	206	211	211	203
8	ჟმ, მგ O ₂ /ლ	1.19	1.67	3.01	4.24	2.58	0.89	1.24	1.90	3.16
9	კარბონატი, მგ/ლ	6.2	6.1	1.3	1.6	1.8	1.9	2.0	0.9	1.3
10	სიხისტე, მგექვ/ლ	2.62	3.11	4.03	4.17	3.03	1.75	2.27	2.11	2.01
11	ნიტრიტის აზოტი, მგ/ლ	0.041	0.073	0.095	0.031	0.061	0.016	0.024	0.016	0.029
12	ნიტრატის აზოტი,	0.361	0.739	0.878	0.911	1.482	0.072	0.107	0.756	1.057

	გვ/ლ									
13	ამონიუმის აზოტი, გვ/ლ	0.344	0.415	0.317	0.142	0.280	0.103	0.164	0.517	0.720
14	ამიაკი, გვ/ლ	0.011	0.019	0.013	0.014	0.052	0.021	0.011	0.010	0.009
15	ფოსფატი, გვ/ლ	0.371	0.155	0.102	0.082	0.016	0.064	0.172	0.088	0.131
16	სულფატები, გვ/ლ	26.4	47.8	54.6	84.6	62.9	30.8	40.3	46.1	41.6
17	ქლორიდები, გვ/ლ	1.9	2.3	2.6	3.5	3.8	5.4	6.0	1.6	1.9
18	ჰიდროკარბონატი, გვ/ლ	147.6	168.1	211.9	221.3	182.4	170.6	187.3	170.6	140.5
19	კალიუმი, გვ/ლ	1.3	1.5	1.7	1.8	1.7	1.0	1.1	1.2	1.1
20	ნატრიუმი, გვ/ლ	9.1	11.6	12.8	14.6	24.4	9.0	9.3	9.1	8.8
21	კალციუმი, გვ/ლ	37.0	46.9	53.5	61.4	41.7	19.8	21.6	26.7	35.2
22	მაგნიუმი, გვ/ლ	8.8	10.9	14.6	11.9	13.5	6.6	6.1	7.8	11.0
23	მინერალიზაცია, %	0.2	0.3	0.4	0.4	0.3	0.2	0.2	0.2	0.3
24	ზასი, გვ/ლ	0.04	0.06	0.05	0.04	0.03	0.01	0.01	0.01	0.01
25	რკინა, გვ/ლ	0.0044	0.0086	0.0081	0.0085	0.0091	0.0007	0.0008	0.0007	0.0008
26	თუფითა, გვ/ლ	0.0091	0.0132	0.0163	0.0211	0.0701	0.0082	0.0073	0.0091	0.0108
27	სპილენდი, გვ/ლ	0.0072	0.0080	0.0109	0.0142	0.0824	0.0062	0.0053	0.0072	0.0054
28	ნიკელი, გვ/ლ	0.0043	0.0055	0.0072	0.0061	0.0106	0.0033	0.0042	0.0021	0.0026
29	ტუფითა, გვ/ლ	0.0022	0.0032	0.0033	0.0040	0.0090	კვანძი	კვანძი	კვანძი	კვანძი
30	მანგანუმი, გვ/ლ	0.0091	0.0091	0.0106	0.0081	0.0112	0.0062	0.0054	0.0042	0.0033

ცხრილი 16. მდინარე მტკვრის აუზში აღებულ ნიმუშებში მძიმე ლითონების შემცველობა
 (20-27 სექტემბერი, 2012)

№	დაკვირვების პუნქტი, ნიმუშის სახეობა	განზომილება	რკინა Fe	თუთია Zn	სპილენდი Cu	ნიკელი Ni	ტყვია Pb	მანგანუმი Mn
1	2	3	4	5	6	7	8	9
1	მტკვარი- სერთვისი							
	წყლის ფაზა	მგ/ლ	0.0012	0.0074	0.0062	0.0023	0.0014	0.0033
	ტივილის ნატანი	მგ/ლ	0.0102	0.0267	0.0201	0.0120	0.0042	0.0200
	ჯამი	მგ/ლ	0.0114	0.0341	0.0263	0.0143	0.0056	0.0233
	ფსკერული ნალექი	მგ/კგ	11.2	19.8	10.3	9.1	8.7	5.9
2	ნიადაგი (0-10)სმ	მგ/კგ	34.3	26.1	18.2	18.3	30.8	10.6
	მტკვარი- ბორჯომი							
	წყლის ფაზა	მგ/ლ	0.0023	0.0092	0.0083	0.0034	0.0022	0.0046
	ტივილის ნატანი	მგ/ლ	0.0206	0.0261	0.0235	0.0126	0.0078	0.0165
	ჯამი	მგ/ლ	0.0229	0.0353	0.0318	0.0160	0.0100	0.0211
	ფსკერული ნალექი	მგ/კგ	24.1	20.3	25.3	10.7	8.7	6.1
	ნიადაგი	მგ/კგ	37.8	39.6	32.6	23.2	32.1	13.2

1	2	3	4	5	6	7	8	9
3	მტკვარი-საშური							
	წყლის ფაზა	მგ/ლ	0.0041	0.0091	0.0106	0.0063	0.0026	0.0061
	ტიპტივა ნატანი	მგ/ლ	0.0227	0.0277	0.0234	0.0123	0.0068	0.0204
	ჯამი	მგ/ლ	0.0268	0.0368	0.0340	0.0186	0.0094	0.0265
	ფსკერული ნალექი	მგ/კგ	19.6	21.9	17.8	13.9	8.7	4.7
	ნიადაგი	მგ/კგ	24.0	33.4	23.1	22.3	27.9	10.8
4	სურამული-საშური							
	წყლის ფაზა	მგ/ლ	0.0084	0.0164	0.0135	0.0042	0.0034	0.0037
	ტიპტივა ნატანი	მგ/ლ	0.0215	0.0195	0.0151	0.0070	0.0101	0.0080
	ჯამი	მგ/ლ	0.0299	0.0359	0.0286	0.0112	0.0135	0.0117
	ფსკერული ნალექი	მგ/კგ	15.1	20.6	18.3	16.1	8.1	6.2
	ნიადაგი	მგ/კგ	30.8	37.3	34.6	25.9	28.8	14.8
5	მტკვარი-გორი							
	წყლის ფაზა	მგ/ლ	0.0071	0.0134	0.0162	0.0051	0.0047	0.0072
	ტიპტივა ნატანი	მგ/ლ	0.0202	0.0254	0.0261	0.0197	0.0109	0.0201

	ჯამი	მგ/ლ	0.0273	0.0388	0.0423	0.0248	0.0156	0.0273
	ფსკერული ნალექი	მგ/კგ	20.6	31.3	25.3	23.4	20.2	7.1
	ნიადაგი	მგ/კგ	30.3	54.6	33.2	30.2	51.6	11.3
1	2	3	4	5	6	7	8	9
	ლიახვი-გორი							
6	წყლის ფაზა	მგ/ლ	0.0080	0.0106	0.0091	0.0043	0.0035	0.0056
	ტიპტივა ნატანი	მგ/ლ	0.0196	0.0253	0.0130	0.0131	0.0102	0.0111
	ჯამი	მგ/ლ	0.0276	0.0359	0.0221	0.0174	0.0137	0.0167
	ფსკერული ნალექი	მგ/კგ	36.3	30.3	26.7	24.5	23.4	7.3
	ნიადაგი	მგ/კგ	39.8	47.8	30.9	29.3	54.7	16.2
	მტკვარი- ქასპი							
7	წყლის ფაზა	მგ/ლ	0.0060	0.0093	0.0092	0.0062	0.0052	0.0062
	ტიპტივა ნატანი	მგ/ლ	0.0216	0.0276	0.0226	0.0134	0.0112	0.0173
	ჯამი	მგ/ლ	0.0276	0.0369	0.0318	0.0196	0.0164	0.0235
	ფსკერული ნალექი	მგ/კგ	27.8	13.3	18.1	10.7	6.0	4.1
	ნიადაგი	მგ/კგ	40.6	20.6	23.4	22.3	20.7	9.7
8	ლეხურა-							

	კასპი							
	წყლის ფაზა	გვ/ლ	0.0013	0.0062	0.0077	0.0034	0.0044	0.0056
	ტივტივა ნატანი	გვ/ლ	0.0093	0.0111	0.0206	0.0102	0.0092	0.0107
	ჯამი	გვ/ლ	0.0106	0.0173	0.0283	0.0136	0.0136	0.0163
	ფსკერული ნალექი	გვ/კგ	29.8	10.7	13.2	8.3	3.6	5.9
	ნიადაგი	გვ/კგ	34.3	21.9	22.6	15.7	10.2	22.5
1	2	3	4	5	6	7	8	9
	მტკვარი- ზაჟესი							
	წყლის ფაზა	გვ/ლ	0.0044	0.0091	0.0072	0.0043	0.0022	0.0091
9	ტივტივა ნატანი	გვ/ლ	0.0206	0.0205	0.0187	0.0136	0.0073	0.0147
	ჯამი	გვ/ლ	0.0250	0.0296	0.0259	0.0179	0.0095	0.0238
	ფსკერული ნალექი	გვ/კგ	27.3	15.6	13.2	12.3	4.1	8.2
	ნიადაგი	გვ/კგ	33.8	23.2	24.1	21.7	10.6	22.6
	მტკვარი- თბილისი							
10	წყლის ფაზა	გვ/ლ	0.0086	0.0132	0.0080	0.0055	0.0032	0.0091
	ტივტივა ნატანი	გვ/ლ	0.0203	0.0279	0.0216	0.0143	0.0091	0.0137

	ჯამი	მგ/ლ	0.0289	0.0411	0.0296	0.0198	0.0123	0.0228
	ფსკერული ნალექი	მგ/კგ	34.2	20.1	19.8	15.3	4.4	7.2
	ნიადაგი	მგ/კგ	43.6	26.9	23.7	30.6	16.2	19.9
11	მტკვარი- გაჩიანი							
	წყლის ფაზა	მგ/ლ	0.0081	0.0163	0.0109	0.0072	0.0033	0.0108
	ტივტივა ნატანი	მგ/ლ	0.0179	0.0375	0.0227	0.0209	0.0093	0.0237
	ჯამი	მგ/ლ	0.0260	0.0538	0.0336	0.0281	0.0126	0.0345
	ფსკერული ნალექი	მგ/კგ	31.7	23.6	20.4	28.2	4.9	6.9
	ნიადაგი	მგ/კგ	48.2	37.3	27.9	40.7	19.1	20.7
1	2	3	4	5	6	7	8	9
12	მტკვარი- რუსთავი							
	წყლის ფაზა	მგ/ლ	0.0085	0.0211	0.0142	0.0061	0.0040	0.0081
	ტივტივა ნატანი	მგ/ლ	0.0209	0.0286	0.0240	0.0216	0.0091	0.0125
	ჯამი	მგ/ლ	0.0294	0.0497	0.0382	0.0277	0.0131	0.0206
	ფსკერული ნალექი	მგ/კგ	47.8	21.9	20.6	20.4	8.6	6.7
	ნიადაგი	მგ/კგ	51.6	50.5	59.2	39.7	11.4	60.4

	სრამი-წით-ელი ხიდი							
	წყლის ფაზა	მგ/ლ	0.0091	0.0701	0.0824	0.0106	0.0090	0.0112
13	ტიპტივა ნატანი	მგ/ლ	0.0200	0.0507	0.0402	0.0197	0.0126	0.0346
	ჯამი	მგ/ლ	0.0291	0.1208	0.1226	0.0303	0.0216	0.0458
	ფსკერული ნალექი	მგ/კგ	53.2	46.3	31.8	36.2	12.0	33.6
	ნიადაგი, (10-20)სმ	მგ/კგ	60.6	52.3	60.4	47.2	14.9	46.2
	არაგვი- ჟინვალი							
14	წყლის ფაზა	მგ/ლ	0.0008	0.0074	0.0065	0.0034	0.0011	0.0023
	ტიპტივა ნატანი	მგ/ლ	0.0022	0.0123	0.0106	0.0082	0.0047	0.0061
	ჯამი	მგ/ლ	0.0030	0.0197	0.0171	0.0116	0.0058	0.0084
	ფსკერული ნალექი	მგ/კგ	8.4	9.6	8.7	8.1	2.9	6.8
	ნიადაგი	მგ/კგ	34.2	27.2	23.2	21.9	11.6	21.6

1	2	3	4	5	6	7	8	9
15	იორი ზედა-თიანეთი							
	წყლის ფაზა	მგ/ლ	0.0007	0.0082	0.0062	0.0033	კვალი	0.0062
	ტივტივა ნატანი	მგ/ლ	0.0020	0.0143	0.0097	0.0082	0.0032	0.0111
	ჯამი	მგ/ლ	0.0027	0.0225	0.0159	0.0115	0.0032	0.0173
	ფსკერული ნალექი	მგ/კგ	10.2	56.8	10.2	19.7	7.2	30.1
	ნიადაგი	მგ/კგ	29.3	78.1	26.3	23.8	14.4	30.9
16	იორი ქვედა-სართიჭალა							
	წყლის ფაზა	მგ/ლ	0.0008	0.0073	0.0053	0.0042	კვალი	0.0054
	ტივტივა ნატანი	მგ/ლ	0.0028	0.0166	0.0134	0.0093	0.0076	0.0126
	ჯამი	მგ/ლ	0.0036	0.0239	0.0187	0.0135	0.0076	0.0180
	ფსკერული ნალექი	მგ/კგ	10.6	49.7	11.2	19.2	9.3	23.6
17	ნიადაგი	მგ/კგ	30.2	63.4	28.3	28.7	18.2	35.8
	ალაზანი ზედა-ახმეტა							
	წყლის ფაზა	მგ/ლ	0.0007	0.0091	0.0072	0.0021	კვალი	0.0042
	ტივტივა ნატანი	მგ/ლ	0.0035	0.0137	0.0154	0.0076	0.0037	0.0128

	ჯამი	გვ/ლ	0.0042	0.0228	0.0226	0.0097	0.0037	0.0170
	ფსკერული ნალექი	გვ/კბ	11.6	42.9	12.3	18.6	8.8	20.3
	ნიადაგი	გვ/კბ	27.2	57.4	31.7	30.4	21.6	33.5
	1	2	3	4	5	6	7	8
18	ალაზანი ქვედა- შაქრიანი							
	წყლის ფაზა	გვ/ლ	0.0008	0.0108	0.0054	0.0026	გვლი	0.0033
	ტივივა ნატანი	გვ/ლ	0.0028	0.0192	0.0127	0.0064	0.0027	0.0107
	ჯამი	გვ/ლ	0.0036	0.030	0.0181	0.0090	0.0027	0.0140
	ფსკერული ნალექი	გვ/კბ	10.4	31.3	11.8	17.0	9.1	17.6
	ნიადაგი	გვ/კბ	30.8	49.8	30.1	27.9	20.9	32.7